



TÜRKİYE BİLİMSEL VE
TEKNİK ARAŞTIRMA KURUMU

THE SCIENTIFIC AND TECHNICAL
RESEARCH COUNCIL OF TURKEY

2003-7
**ÇAMELİ HAVZASININ
SEDİMANTOLOJİK İNCELEMESİ
(GEÇ MİYOSEN-GEÇ PLİYOSEN,
DENİZLİ, GB ANADOLU)**

1009004

Yer Deniz ve Atmosfer Bilimleri Araştırma Grubu

Earth Marine and Atmospheric Sciences
Researches Grant Group

2003-7

**ÇAMELİ HAVZASININ
SEDİMANTOLOJİK İNCELEMESİ
(GEÇ MİYOSEN-GEÇ PLİYOSEN,
DENİZLİ, GB ANADOLU)**

1009004

PROJE NO: YDABÇAG 100 Y 004

Prof. Dr. Nizamettin KAZANCI

Prof Dr. Sevket SEN

Doç. Dr. Mehmet ÖZKUL

Dr. Mehmet Cihat ALÇİÇEK

Dr. Levent KARADENİZLİ

Hüseyin ERTEM

**AĞUSTOS 2002
ANKARA**

KATKI BELİRTME VE ÖNSÖZ

Çameli Neojen Havzası'nın sedimentolojisini incelemeyi ve jeolojik evimini ortaya koymayı amaçlayan bu proje raporuna bir çok araştırmacının katkısı olmuş, yardımcı araştırcılardan M. Cihat Alçıçek'in doktora çalışması da bu proje kapsamında gerçekleştirılmıştır. Araştırmanın farklı aşamalarında Pamukkale Üniversitesi ve Ankara Üniversitesi'nin laboratuar olanaklarından geniş ölçüde yararlanılmıştır.

İnceleme bölgesi tektonik bakımdan aktiftir. Bunun yanında, farklı süreçlerin etkinliği ve kayaçların çeşitliliği, bir çok uzmandan yardım alınmasını gerektirmiştir. Çalışma yöntemi ve verilerin yorumunda önerilerinden yararlandığımız Prof. Dr. Ergun GÖKTEN'e (Ankara Univ.), Prof. Dr. Baki VAROL'a (Ankara Univ.), yörede daha önce çalışmış olmaları nedeniyle mevcut bilgi ve birikimlerini bizimle paylaşan Dr. Yavuz HAKYEMEZ'e (Maden Tetkik ve Arama Genel Müdürlüğü), Dr. Fuat ŞAROĞLU'na (Türkiye Petrolleri Anonim Ortaklısı) ve Dr. Neşet KONAK'a (MTA), Dr. Ömer EMRE'ye (MTA), Dr. Tevfik ERKAL'a (MTA) ve Mustafa KEÇER'e (MTA) teşekkür borçluyuz. Yine görüşlerinden yararlandığımız Prof. Dr. Wojtek NEMEC'e (Bergen Üniversitesi), Doç. Dr. Gürol SEYİTOĞLU'na (AÜ), Prof. Dr. İbrahim ÇEMEN'e (Oklahoma Üniversitesi), bölgedeki paleontolojik bulgu, tayin ve bölge hakkındaki birikimlerini paylaşarak destek sağlayan Dr. Gerçek SARAÇ'a (MTA), ayrıca Doç. Dr. İbrahim TÜRKMEN'e (Fırat Üniversitesi), Dr. Melih ÖZDOĞAN'a (TPAO) ve Yurdal ÖZTAŞ'a (TPAO), gölsel molluskaların tayinini yapan Dr. Sevinç KAPAN-YEŞİL YURT'a (MTA), çalışmanın her safhasında verdikleri destek ve yardımları için Dr. Özden İLERİ'ye (AÜ), Arş. Gör. Hülya HEYBELİ'ye (PAÜ) ve Arş. Gör. Ediz KIRMAN'a (AÜ) minnettarız.

Arazi çalışmaları boyunca her zaman sıcak ilgi ile yardım ve destekte bulunan Acıpayam, Çameli ve Gölhısar kaymakamlıkları, yerel yönetimleri ve güvenlik birimlerine, Devlet Su İşleri Acıpayam Şube Müdürü Selçuk ÇAKAR'a ve personeline, Kelekçi Orman İşletme Şefi Birol DÜNDAR'a ve personeline, Acıpayam Orman İşletme Müdürü Kadir ÜNLÜ'ye, Çameli Orman İşletme Müdürü Kemal DİKİLİTAŞ'a ve Gölhısar Orman İşletme Müdürü Arif YILMAZ'a içtenlikle teşekkür ederiz.

Proje ekibi adına

Prof. Dr. Nizamettin KAZANCI

Proje Yürüttücsü

İÇİNDEKİLER

ÖZET

ABSTRACT

1. GİRİŞ

1.1. Çalışmanın Amacı ve Kapsamı.....	1
1.2. Materyal ve Metod	2
1.3. Önceki Çalışmalar	4

2. GENEL JEOLOJİ

2.1. Stratigrafi	7
2.1.1. Eski temel	7
2.1.2. Genç temel	7
2.1.3. Çameli Formasyonu (Üst Miyosen-Üst Pliyosen)	8
2.1.4. Kuvaterner	13
2.1. Jeolojik Yapı ve Tektonik Çerçeve	14

3. SEDİMANTER JEOLOJİ

3.1. Giriş	17
3.2. Çameli Formasyonu'nu Oluşturan Fasiyesler	17
3.3. Çameli Formasyonu'nu Oluşturan Fasiyes Toplulukları ve Depolanma Ortamları..	47

4. TARTIŞMA: ÇAMELİ HAVZASININ JEOLOJİK EVRİMİ

4.1. Havza Öncesi Durum	61
4.2. Havza Oluşumu ve Tortullaşma	62

5. SONUÇLAR

6. KAYNAKLAR

EKLER

ÇAMELİ HAVZASI'NIN SEDİMANTOLOJİK İNCELEMESİ (GEÇ MİYOSEN-GEÇ PLİYOSEN, DENİZLİ, GB ANADOLU)

ÖZET

Çalışma, batı Anadolu grabenlerinden biri olan Çameli Havzası tortul dolgusunun sedimentolojik yöntemlerle incelenmesini ve böylece oluşumundan günümüze kadar geçirdiği jeolojik evrimi açıklamayı amaçlar.

Havzanın temelini oluşturan Likya naplarının yerlesimi Geç Miyosen başında tamamlanır. Bu yerleşimin ardından Çameli havzası, Memeli fosil bulgularına göre, Geç Miyosen'de (10.8-9.7 My), doğuda Dirmik fayı batıda ise Bozdağ fayı denetiminde graben havzası tarzında açılmaya başlar ve dolgulanması Geç Pliyosen'e kadar sürer. Alüyyon yelpazesi, fluvyal ve gölsel tortullardan oluşan, havzanın ilk ürünleri içinde yaygın olarak görülen büyümeye fayları, genişlemenin yoğun bir şekilde devam ettiğini gösterir. Oldukça etkin olan bu genişleme evresi memeli fosillerine göre Orta Pliyosen'e (3.8-3.2 My) kadar devam eder ve bu zamanda havza, bir traverten seviyesi ile belirgin olan büyük bir faylanma ile ikiye bölünür (Sarıkavak-Kumafşarı fayı). Bu dönemden sonra genişleme tektoniğinin etkinliği nispeten azalır ve havza büyük bir göl ortamına dönüşür. Gölsel tortullar havza kenar fayları dahil, havzayı sonradan ikiye bölen fayı da aşar ve bu dönem memeli fosillerine göre Geç Pliyosen'e (3.5-2.5 My) kadar sürer. Bu göl ortamı, kenarlardan yelpaze deltaları ve deltaların ilerlemesi ile tortulla doldurularak siğlaşır ve aynı zamanda havzanın merkez kesimlerinde siğ göl karbonatları depolanır. Havza bu dönemden sonra kenar faylarına paralel olmak üzere ve bir traverten seviyesi ile belirgin olan iki ayrı fay sistemi (Alçı-Kelekçi ve Uzunoluk-Çameli fayları) ile en Geç Pliyosen sonunda yeniden kırılır (3.0-2.0 My). Havzanın en son ürünleri bu faylanma evresinin neden olduğu alüyyon yelpazesi tortullarıdır. Bu kırılma evresinden sonra depolanan tortullar içinde görülen büyümeye fayları genişlemenin yeniden etkinlik kazandığını gösterir. Bu olayın ardından Çameli Havzası'nın ve dolayısı ile Çameli Formasyonu'nun oluşumu tamamlanır.

Anahtar Kelimeler : Güneybatı Anadolu, Çameli, Neojen, alüyyon, akarsu ve gölsel graben dolgusu tortulları.

SEDIMENTOLOGICAL INVESTIGATION OF ÇAMELİ BASIN (LATE MIocene-LATE PLIOCENE, DENİZLİ, SW ANATOLIA)

ABSTRACT

The aim of this study is to investigate the sedimentology of the infill of Çameli basin and to explain evolution of the basin, in southwestern Anatolia.

The southeastward emplacement of Lycian nappes, which is the basement of the basin, had been completed at the begining of Late Miocene. After that Çameli basin was opened as a graben under the control of graben boundary faults, Dirmil fault to the east and Bozdağ fault to the west during Late Miocene (10.8-9.7 Ma) according to mammalian faunas and filled up to Late Pliocene. The preliminary products of the basin consist of alluvial fan, fluvial and lacustrine sediments contain very common growth faults that show the existence of extensional tectonics. Mammalian faunas demonstrate that this active extension period continues up to Middle Pliocene (3.8-3.2 Ma). At this time the basin had divided in two parts by a major secondary faulting with travertine deposits (Sarıkavak-Kumafşarı fault) parallel to the basin margin faults. After this period the activity of the extensional tectonics relatively decreased and the basin was covered by large lacustrine environment. The lacustrine sediments overlap both the basin marginal faults and the secondary fault. This period goes on up to Late Pliocene (3.5-2.5 Ma) according to mammalian faunas. The lacustrine environment become shallower due to progressing fan deltas and deltas from margins. At the same time shallow water carbonates is precipitated at the basin center. After this time the extensional tectonics reactivated in the latest Pliocene (3.0-2.0 Ma) and the basin is cut by two new faults systems (Alçı-Kelekçi and Uzunoluk-Çameli faults) with travertine deposits parallel to basin margin faults. After this event the basin gain actual configuration. This stage is also the end of accumulation of Çameli formation.

Key Words : Southwestern Anatolia, Çameli, Neogene, alluvial-fluvial-lacustrine graben fill.

1. GİRİŞ

1.1. Çalışmanın Amacı ve Kapsamı

Çameli havzası, batı Anadolu grabenlerinden biri olarak, bu sistemin en güneyinde ve batı Toroslar'da, Denizli, Burdur ve Muğla sınırları içinde Türkiye 1/100.000 ölçekli topografik haritalarından Denizli N 22-23 ve Fethiye O 22-23 paftalarında yer alır. Havza sınırları içinde, Denizli iline bağlı Acıpayam ve Çameli ilçeleri ile Burdur iline bağlı Gölhisar ve Çavdır ilçeleri en büyük yerleşim yerledir (Şekil 1.1).

Havzanın temel kayaçları; ofiyolitler, metamorfik kireçtaşları ve bunları uyumsuz olarak üzerleyen transgresif birimlerden oluşan Likya Napları'na aittir. İnceleme konusu edilen Çameli Formasyonu, Geç Miyosen'de depolanmaya başlamıştır. Bu dönemden önce bölgede en son Erken Miyosen'de, temel üzerine açısal uyumsuzlukla gelen karasal ortamda ve bu birimi transgresyonla üzerleyen sıçan denizel ortamda çökelse olmuştur. Havzada Orta Miyosen yaşı tortul bulunmaz. Geç Miyosen'de ise KD-GB gidişli açılan bir grabende depolanmaya başlayan Çameli Formasyonu'nun oluşumu Geç Pliyosen'e kadar sürmüştür.

Çalışma, Geç Miyosen'de bir graben olarak açılan Çameli havzasının, Çameli Formasyonu olarak adlandırılan tortul dolgusunu sedimentolojik yöntemlerle çalışmayı konu eder. Havza dolgusunun litolojisi, depolanma özelliklerinin ayrıntılı olarak ortaya konması çalışmanın esas konusudur. Bununla beraber Çameli havzasında, başlangıçtan günümüze kadar, depolanmayı denetleyen jeolojik olaylar da tartışılmıştır.

Bu çalışmada, çalışmanın konusu olan Çameli Formasyonu'ndan daha yaşlı temel birimler ile daha genç olan birimler incelenmemiştir. Ancak bölge stratigrafisinden sözde dilirken temel ve daha genç birimler ile ilgili bilgiler önceki çalışmalarдан derlenerek verilmiştir. Çalışma konusu edilen Çameli Formasyonu'nun sedimentolojik özelliklerinin yanında stratigrafik konumunun da aydınlatılması çalışmanın bir diğer amacıdır ve bunun için paleontolojik veriler kullanılmıştır. Birim litostratigrafik olarak üyelerine ayrılarak incelenmiştir. Bu çalışma ile havza dolgusunun yaşı, istifin çeşitli seviyelerinden elde edilen memeli fosil toplulukları yardımı ile tamamen paleontolojik verilere dayandırılmıştır.

Havza tortullarının nereden türdetiği, ne yönlü taşıdığı ve ne şekilde depolanmış oldukları, havzanın dışa kapalı mı, yoksa açık mı olduğu ve bunları yansitan izlerin

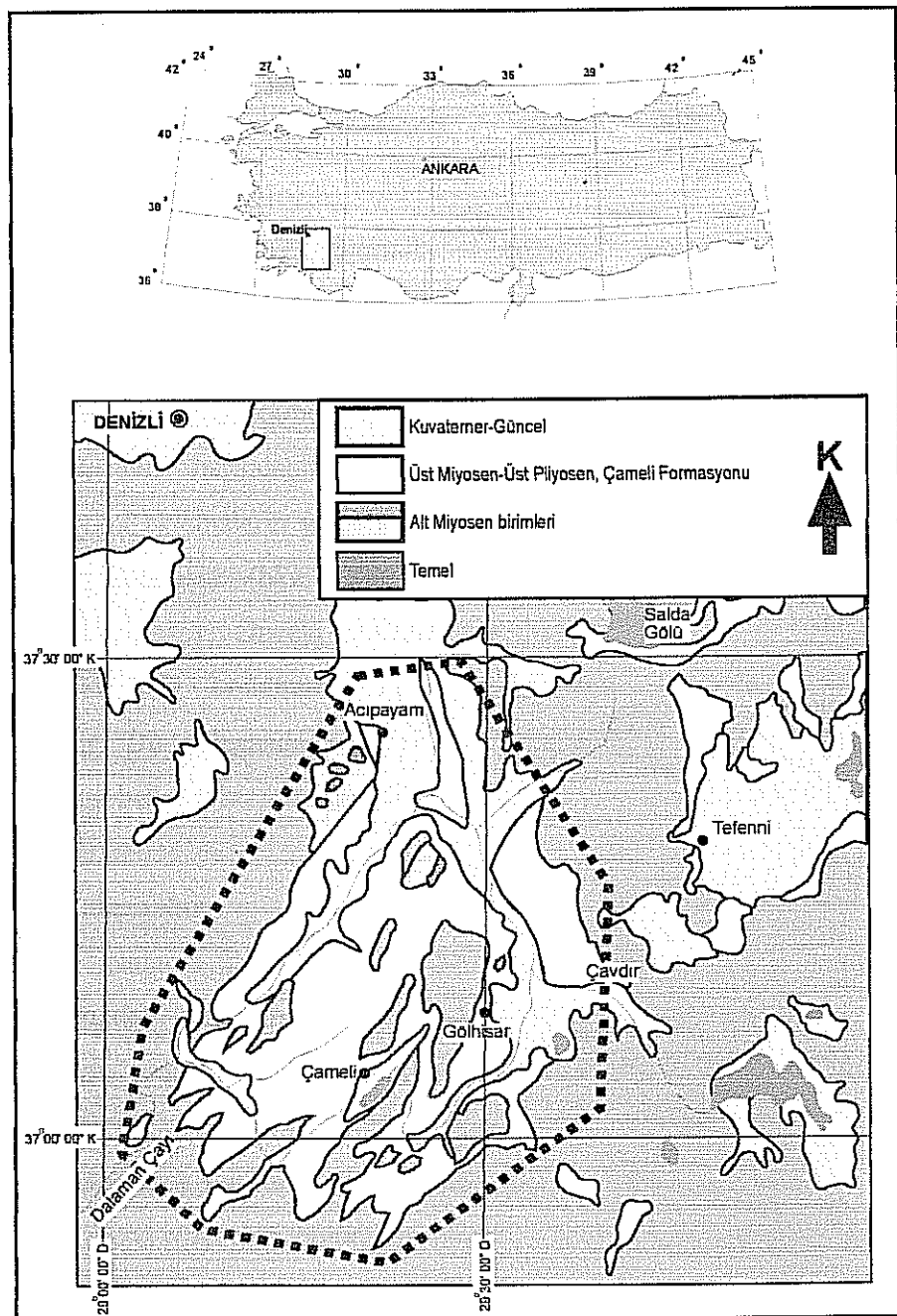
neler olduğunun araştırılması gibi konular havza geometrisinin ve bu geometrinin zaman içindeki değişiklikleri yansıtması bakımından önemli olup tartışılmıştır.

Çameli havzası, batı Anadolu graben sistemi içindeki diğer havzalara göre nispeten daha az çalışılmıştır. Buna göre, tektonik-şedimentasyon ilişkilerine çok iyi örnekler sunan havza dolgusu tortullarının depolanmasına ilişkin özelliklerinin aydınlatılması, havzanın içinde bulunduğu sistemle ilgili mevcut görüşlere çeşitli yönlerden yeni yaklaşımlar getirecektir. Böylece havza istiflerinin çalışılması ile elde edilecek bilgiler bölge jeolojisine de katkılar sağlayabilecektir.

1.2. Materyal ve Metod

İnceleme materyali Çameli-Acipayam-Gölhisar yörelerinde yüzeyleyen Geç Miyosen-Geç Pliyosen yaşı, graben dolgusu tortullarıdır. İncelenen birim özellikle Dalaman Çayı ve kollarının yerleştiği vadi yamaçlarında çok iyi yüzeylemektedir. Çalışmalar saha, laboratuvar ve büro çalışmaları olarak üç aşamada gerçekleştirilmiştir.

Saha incelemeleri çalışmanın esasını oluşturmuş, haritalama çalışması ve istifin en iyi yüzeylediği yerlerden alınan ölçülü stratigrafik kesitlere dayalı fasiyes analizi şeklinde yürütülmüştür. Fasiyes, bir kayaç biriminin görünüş ve karakteristikleri olarak ilk defa Gressly (1838) tarafından tanımlanmış ve Moore (1949)'dan sonra sedimanter kayaçlar için kullanılmaya başlanmıştır (Bates ve Jackson 1980). Belirli bir ortamda kendine has depolanma koşullarında birikmiş tortullara sedimanter fasiyes denir (Walker ve Cant 1979, Miall 1984). Fasiyes kendine has özellikleri olan kayaç topluluğu olmasından dolayı, yorumlanması ile depolandığı ortama ilişkin bilgi elde edilebilir. Fasiyes; belirgin özellikleri ile diğer kayaç veya kayaç gruplarından ayrılabilir ve tek bir kayaç veya birden fazla kayaçtan oluşabilir. Oluştuğu ortamın fiziksel, kimyasal ve biyolojik şartlarından etkilendiği için iyi bir ortam belirtecidir. Bunun için grпланarak fasiyes birlükleri oluşturulur (Collinson 1978). Bir fasiyes sadece ilgili depolanma mekanizmasını yansıtırken, fasiyes toplulukları zaman ve mekan içinde depolanma ortamındaki farklılıklarını ve bu ortamda etkili olan işlemleri ifade eder. Bu nedenle fasiyes topluluklarının ortam yorumunda en yarayışlı unsurlardır. Fasiyes analizlerinin gerçekleşmesinde; alüvyal yelpaze ve akarsu tortullarında özellikle Miall (1977) ve Miall (1978), karbonat kayaçlarda Folk (1962) ve Dunham (1962)'ın tanımları kullanılmıştır.



Şekil 1.1. Çameli havzasının yer bulduru haritası.

Ölçülü stratigrafik kesitlerin alınmada, havza dolgusunun özelliklerini yansımasına dikkat edilmiş bunun için uygun yüzeylemeler seçilmiştir. Kesitlerin deneştirilebilir olmasını sağlamak için ölçüm işlemeye istifin en altından başlanıp en üstüne kadar sürdürilmiş ve böylece havza dolgusunu temsil etmesi sağlanmıştır. Ölçülü stratigrafik kesitlerin sıklığını fasiyeslerin yanal yöndeği değişimleri denetlemiştir. Sahada, metre ile yapılan ölçümlerde her bir tabakanın özelliği yerinde

gözlenmiş ve 1/400 ölçüğünde kaydedilmiştir. Her bir ölçülü stratigrafik kesitin başlangıç ve bitiş koordinatları belirlenmiştir. Ölçülü stratigrafik kesitler boyunca fasiyeler ayrılmış ve fasiyes toplulukları da bu kesitler üzerinde gösterilmiştir. Fasiyes toplulukları fasiyelerin birarada bulunmaları ve kökensel ilişkileri esas alınarak tanımlanmıştır. Ayrıca ölçümler sırasında kalınlık, litoloji, doku, sedimanter yapı ve fosil içeriğinin belirlenmesi, petrografik incelemeler için örnek alımı, paleoakıntı yönü ölçü, ortalama tane boyu ve maksimum tane boyu ölçümü gerçekleştirilmiştir. Bazı örneklerin kum, kil ve karbonat miktarlarının belirlenmesi için rezidüel analiz yapılmıştır. Birimin haritalanması, önceki yıllarda yapılmış haritaların sahada denetlenmesi, yeni eklemelerin yapılması ile tamanlanmış ve birim içinde ayrılan üyeler de ayrıca haritalanmıştır (bkz; Bölüm 2; Şekil 2.1). Yaş vermede paleontolojik yöntemler kullanılmıştır. Önceki çalışmalarında karasal Çameli Formasyonu'nun yaşı daha çok stratigrafik konumuna göre saptanmış ve yeterince paleontolojik veri sağlanamamıştır. Bu çalışmada elde edilen yeni memeli fosil bulguları ile Çameli Formasyonu'nun belirgin bir stratigrafisi kurulmuştur.

1.3. Önceki Çalışmalar

İnceleme alanının bulunduğu güneybatı Anadolu bölgesi, tektono-stratigrafik konumu gereği, bir çok yönden jeolojik ilgi çekmektedir. Denizli bölgesi ve yakın çevresi özellikle jeotermal enerji potansiyeli ile eski ve yeni traverten oluşukları nedeniyle bir çok çalışmaya konu olmuştur. Çameli çevresi ise batı Anadolu grabenlerinin en güney kesimi olması, Isparta yapısal büklümünün KB kanadı üzerinde oluşu, zengin krom rezervleri bulundurmasının yanında yöredeki Kuvaterner olaylarına ışık tutan güncel göllerin varlığı nedeniyle üzerinde çok durulan ve çeşitli yorumlar yapılan bir bölgedir. Özellikle Çameli yöresindeki ofiyolitik kayaların krom içermesi nedeniyle bu konuda çok sayıda çalışma yapılmıştır. Ancak, Çameli havzası tortullarının, ekonomik değerde herhangi bir maden yatağı içermemesi nedeniyle olsa gerek, fazla ilgi görmemiştir. Dolgunun flüyyal kesimlerinde dar alanlarda ve sınırlı sayıdaki kömür damarları günümüzde yöre halkına hitap edecek şekilde işletilmektedir.

Bölgedeki ilk çalışmalar Hamilton ve Strickland (1841) ve Tchihatchef (1854) ile 19. yüzyılda başlamış ve çoğunlukla bölgenin krom, kömür ve jeotermal enerji potansiyeli ile ilgili olmuştur (Becker-Platen 1970). Daha sonra jeolojik çalışmalar

artarak devam etmiştir (örn; Altınlı 1954, Nebert 1956, Kastelli 1971, Balcı vd. 1974, Kara 1976, Benda vd. 1977, Dumont vd. 1979, Hakyemez ve Örçen 1982, Aral 1982-83, Meşhur ve Yoldemir 1983, Erakman vd. 1982, Erakman vd. 1986, Ercan vd. 1983, Koçyiğit 1984, Meşhur ve Akpinar 1984, Özpinar 1987, Hakyemez 1989, Ünal 1999).

Ancak bu çalışmaların çoğu ya Türkiye jeolojisinin bir parçası olarak, ya da güneybatı Anadolu'nun bölgesel jeolojisini çeşitli yönleriyle ele alan çalışmalardır. Bunlardan çok az sayıda olanları doğrudan Çameli havzası ve tortulları ile ilgilidir (örn; Kara 1976, Erakman vd. 1982, Erakman vd. 1986, Meşhur ve Yoldemir 1983, Meşhur ve Akpinar 1984, Ünal 1999). Bunların yanında bölgede temel kayaları, ve cevher potansiyeli ile ilgili çalışmalar oldukça fazladır (örn; Balcı vd. 1974, Balcı vd. 1976, Nebert 1956, Kastelli 1971 gibi). Havzada Güncel/Geç Kuvaterner yaşı tortullaşma ile ilgili çalışmalar da son yıllarda giderek artmıştır (Roberts vd. 1997, Eastwood vd. 1998, Eastwood vd. 1999, Eastwood ve Pearce 1998). Ancak doğrudan Çameli havzasının tortul dolgusunun sedimentolojisini konu alan bir çalışma bulunmamaktadır. Aşağıda sadece Çameli havzasının genç temeli ve dolgusuna kısmen veya tamamen degenmiş çalışmalardan söz edilecektir;

Altınlı (1954) ve Altınlı (1955), Acıpayam batısındaki resifal kireçtaşlarının (Kale Formasyonu), Erken Miyosen'de, olasılıkla güneydeki Akdeniz'in bölgeyi istilası ile çökeldiklerini belirtir. Araştırmacı bu resifal kireçtaşları tüm orta ve batı Toros kuşağında farklı yüksekliklerde izlendiğini ve güneybatı Anadolu'da Burdigaliyen tortullaşmasının gözlemebildiği her yerde karasaldan denize doğru bir çökelme özelliği sunduğunu belirtir. Bu birimin başlıca yüzlekleri Ören (Milas) ve Çökertme arasında, Acıpayam ve Dedebağı yöresinde ve Kale-Tavas Havzası'ndadır. Ayrıca, Nebert (1956) ve Hakyemez ve Örçen (1982) bu çökellere ilişkin ayrıntılı çalışmalar yapmışlardır.

Becker Platen (1970) ilk olarak güneybatı Anadolu Neojen birimlerini litostratgrafik benzerliklerine göre ayırt ederek deneştirmiştir. Buna göre güneybatı Anadolu'da sedimentasyon iki stratigrafik boşlukla Oligosen'den başlayıp Tersiyer-Kuvaterner sınırına kadar erişen bir istif sunar. Yazanın litostratigrafik ayrimına paralel olarak, Erken Pleyistosen ve Neojen dönemlerinin ayrimi sporomorf, gölsel molluskalar, ostrakodalar ve omurgalılara göre, önce Türkiye sonra çevre alanlar için yapılmıştır. Yazara göre güneybatı Anadolu'da en yaşlı birim Acıgöl ve Alakilise arasında uzanan, tabanda koyu kırmızı renkli konglomeraları überleyen kaba ve ince

taneli tortulların ardışımından oluşan ve Kale bölgesinde yüzeyleyen istiflerdir. Denizel molluskalar ve mikrofaunal topluluklar gibi palinolojik bulgular yardımı ile bu istifin en üstünün Üst Oligosen-Akitaniyen yaşı olduğu ve buna göre sedimentasyonun Orta Eosen'den sonra Alt-Orta Oligosen'de başladığını belirtir. Kale yakınılarında, Orta-Üst Akitaniyen yaşı bu istif hafifçe kıvrımlanmıştır ve üzerinde uyumsuz olarak Burdigaliyen-Langiyen yaşı denizel birimler bulunur. Bu denizel birimler Adana-Silifke bölgesinden Kale'ye kadar uzanan ve bir denizel istilanın belirteci olarak Denizli-Muğla arasındaki hat içerisinde bulunurlar. Burdigaliyen-Langiyen denizi muhtemelen Orta-Üst Langiyen'de güneybatı Anadolu'dan çekilmiş, Tortoniyen'de ise güneybatı ve batı Anadolu'nun ayrı kabuksal parçaları subsidansa başlamıştır.

Kara (1976) Çameli havzası tortul dolgusu içindeki kömürlere ilişkin yaptığı çalışmasında, sadece bir lokaliteden elde ettiği palinolojik sonuçlara göre havza dolgusunu Pliyosen olarak geniş bir aralıkta yaşılmıştır. Ayrıca havza tortullarını bölgedeki farklı kömür seviyelerine göre Alt ve Üst Pliyosen olarak ayırmıştır. Yazara göre Alt Pliyosen'de alüvyon yelpazesi ve örgülü akarsu tortulları, Üst Pliyosen'de ise menderesli akarsu ve gölsel kireçtaşları çökelmiştir.

Türkiye Petrolleri Anonim Ortaklığı (TPAO) güneybatı Anadolu'da petrol aramacılığına yönelik yaptığı çalışmaların tümünde, Neojen birimlerini örtü birimler olarak haritalamıştır. Bu çalışmalarında havza dolgusu çökelleri sadece litolojileri ile belirtilmiş ve yaşı, herhangi bir yaş verisi olmaksızın stratigrafik konumlarına göre Neojen olarak verilmiştir (Bölükbaşı 1987, Erakman vd. 1982, Erakman vd. 1986, Meşhur ve Yoldemir 1983, Meşhur ve Akpinar 1984).

Maden Tetkik ve Arama Genel Müdürlüğü'nün (MTA) bölgede yaptığı jeoloji çalışmalarında ise yine temel kayalara ağırlık verilmiş ve Çameli havzasının tortullarının sedimentolojik özellikleri yüzeysel olarak ele alınmıştır. Bu çalışmalarında havza dolgusunun alt yaşı bir omurgalı fosiline göre Geç Miyosen olarak verilmiştir (Şenel 1997a, Şenel 1997b). Ancak çalışmaların çoğunda Çameli havzası tortullarının yaşı, ya stratigrafik konumuna veya komşu havzalarda, içinden yaş elde edilmiş birimlerle litolojik benzerliğine göre Pliyosen olarak verilmiştir (Altınlı 1954, Altınlı 1955, Nebert 1956, Becker-Platen 1970, Becker-Platen 1971, Göktaş 1990).

2. GENEL JEOLOJİ

2.1. Stratigrafi

İnceleme bölgesi başlıca Likya napları olarak adlandırılan ofiyolitler, metamorfik kireçtaşları ve bunlar üzerine gelen transgresif birimler, nap yerleşimi sonrası genişleme tektoniği ile ilişkili birimler ve günümüzde oluşumunu sürdürden birimlerden kuruludur. Bölüm 1.1'de sınırları belirtilen çalışma bölgesinde yüzeyleyen kayaçlar, bu bölümde, çalışma amacı ve kapsamı esas alınarak, Geç Miyosen öncesi temel birimleri, Geç Miyosen-Geç Pliyosen yaşılı graben dolgusu birimleri ve Kuvaterner birimleri olarak üçe ayrılarak ele alınmıştır. Temel kayaçlar kendi içinde ikiye ayrılmıştır. Erken Miyosen öncesi yaşındaki temel kayaçlar 'Eski Temel' adı altında ele alınmıştır. Bölgede yüzeyleyen ve temele dahil olan Erken Miyosen tortullarına, temel birimlerinin en genç çökelme yaşını ve Likya naplarının ilerlemeye başlama zamanını temsil etmelerinden dolayı 'Genç Temel' adı altında ele alınmış, bu nedenle jeoloji haritasında ve stratigrafik kesitte gösterilmiştir. Ancak metin içinde eski ve genç temel beraberce 'temel' adı altında ele alınacaktır.

2.1.1. Eski temel

Oluşum yaşı Mesozoyik olan, ofiyolit ve metamorfik kireçtaşlarından oluşan eski temel batı Toros kuşağına aittir (Şenel 1997b). Batı Torosların otokton kaya birimlerini temsil eden Beydağları otoktonu bölgede yüzeylemez. Likya napları GB Anadolu'da bu otokton kütle üzerine en son olarak, K-KB yönünde Erken Langiyen'den itibaren Orta Miyosen boyunca hareket etmiş ve bu hareket Tortoniyen'e kadar sürmüştür (Hayward 1984, Şenel vd. 1989, Kissel vd. 1993, Şenel 1997a, Şenel 1997b).

2.1.2. Genç temel (Akitaniyen-Alt Langiyen)

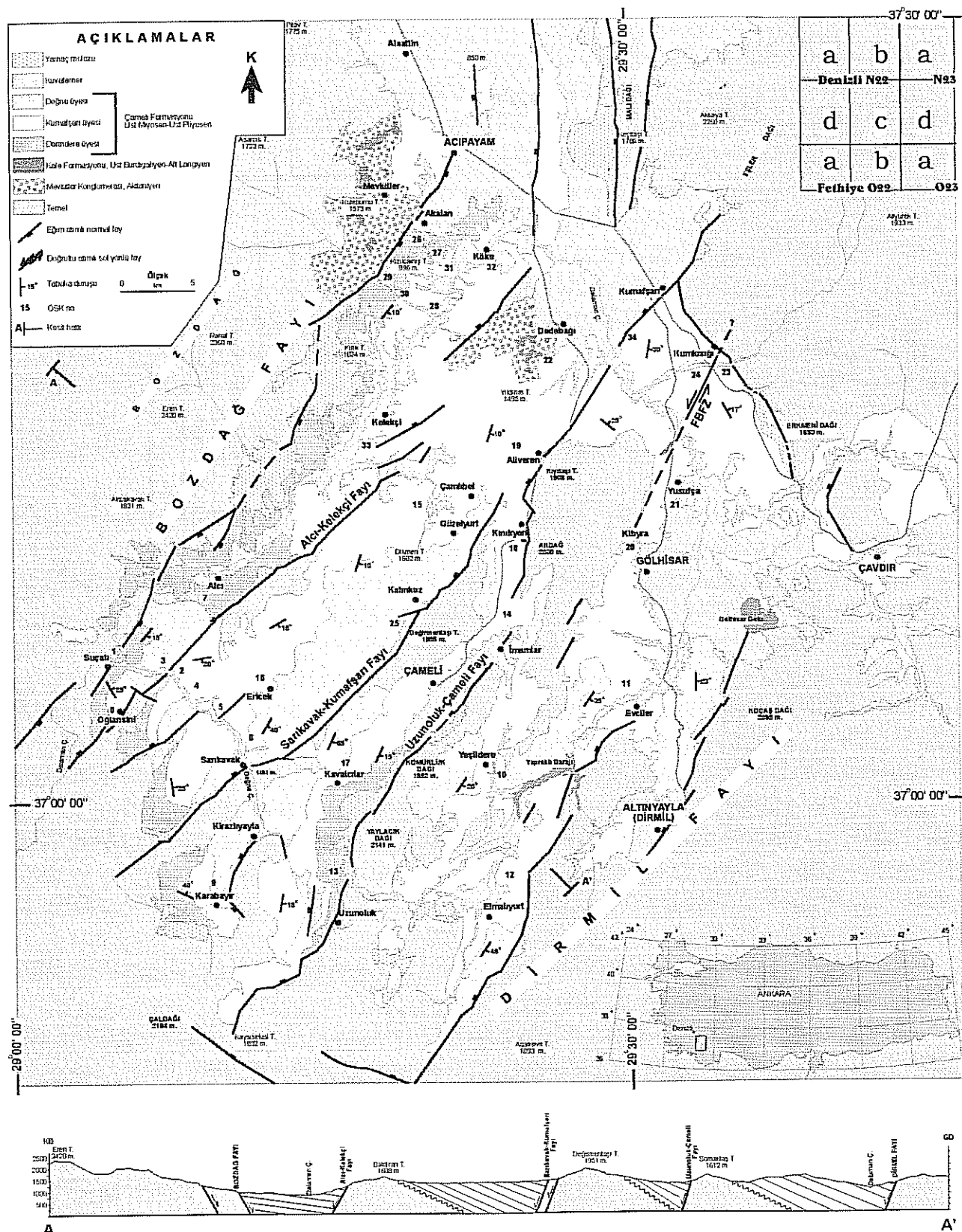
Temel birimler üzerine kırmızı renkli kaba taneli alüvyal yelpaze tortulları ile uyumsuz olarak yerleşir. İstifin büyük bölümünü alüvyal tortullar oluşturur. Yukarı doğru tane boyunda incelerek yelpaze deltası, lagün ve resif tortullarına geçer (Şekil 2.1 ve 2.2). Eski çalışmalarda yaşı, stratigrafik konumuna göre Akitaniyen olarak belirtilmiş, "Denizel Miyosen", "Alt Miyosen Çakıltaş-Kumtaş" (Becker-Platen 1970, Kara 1976, Özpinar 1987) olarak tanımlanmıştır. Birimin lagün ve resif tortulları ise

önceki çalışmalarında “Kale Denizel Helvesiyeni” (Altınlı 1955), “Mevlütler Miyosen Deniz Tortulları” (Becker-Platen 1970), “Denizel Miyosen” (Kara, 1976) ve “Burdigaliyen Kireçtaşı” (Özpınar, 1987) olarak adlanmıştır. Dedebağ’da, ve Mevlütler’de gözlenen birim tamamen kırmızı renktedir. En kalın olduğu Acipayam batosundaki Kuleburnu Tepe’de kalınlığı 570 m’dır ve yanal olarak sıkça değişir. Birimin üzerine açısal uyumsuzlukla Çameli Formasyonu gelir.

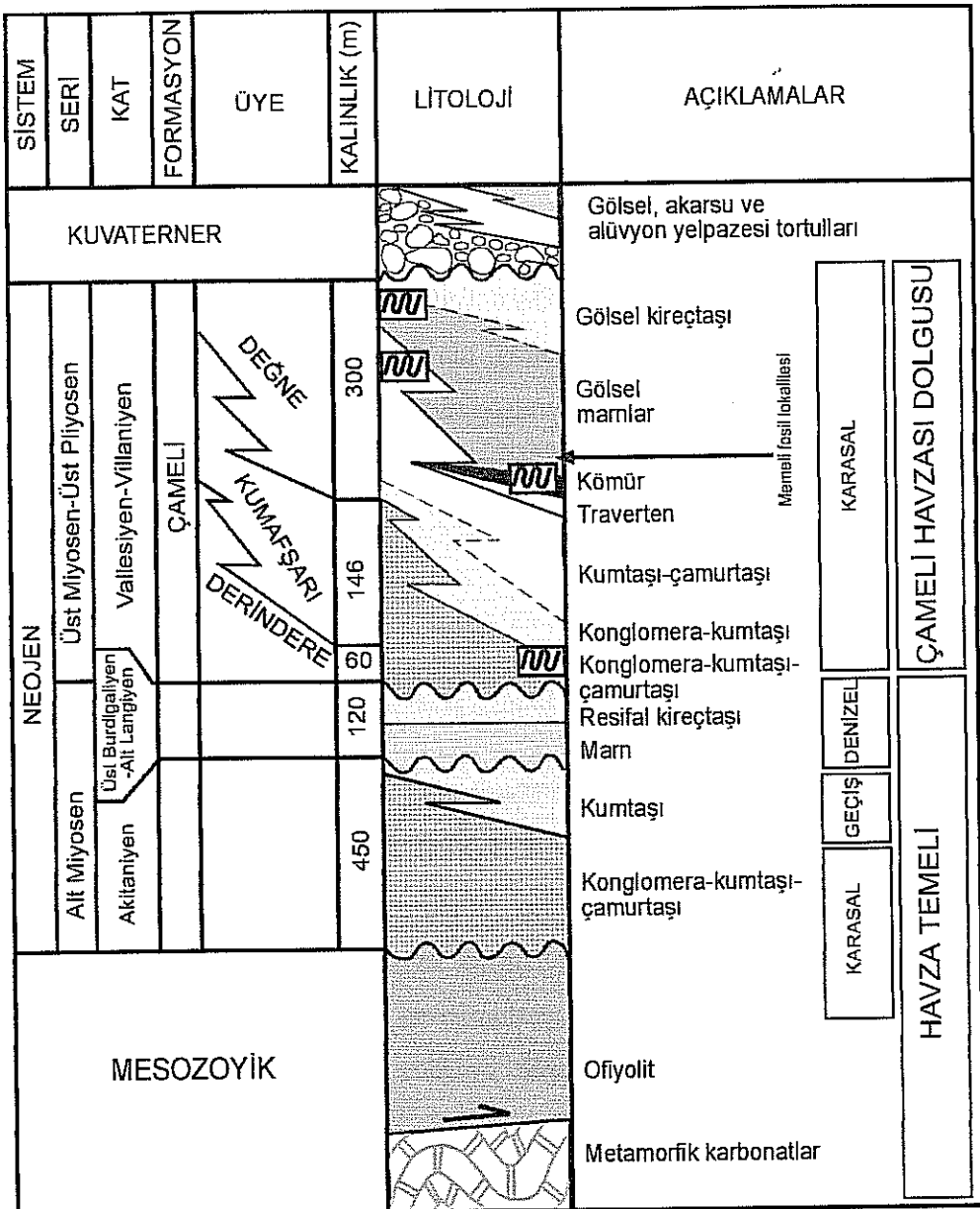
Yaşı denizel fosillere göre Geç Burdigaliyen-Erken Langiyen’dir (Altınlı 1954, Altınlı 1955, Becker-Platen 1970, Becker-Platen 1971, Şenel 1997a, Şenel 1997b). En üstte bol algli, mercanlı kumlu kireçtaşı ve resifal kireçtaşlarına geçer. Kireçtaşları kalın tabakalı, bej, kirli beyaz renkli, lamelli, ekinid, alg, mercan ve gastropoda yiğisimidir. Üst Burdigaliyen-Alt Langiyen yaşı olarak kabul edilen bu kireçtaşı birimi formasyon, sıg şelf ortamında çökelmiştir. Birimin bu kesimi Gölhisar kuzeyinde tanımlanan Tepeciktepe Formasyonu’nun eşdeğeridir (Şenel vd. 1989). Çalışma sahasında en iyi yüzeylemeleri Acipayam batosunda Kuleburnu Tepe, Dedebağ batosunda ve Yusufça kuzeyinde görülür (Şekil 2.1). Kolay işlenebilir olması nedeniyle yöre halkı tarafından yapıtaşı malzemesi olarak kullanılmaktadır.

2.1.3. Çameli Formasyonu (Üst Miyosen-Üst Pliyosen)

Erakman vd (1982) tarafından tanımlanan bu formasyon Çameli havzasının dolgusudur ve çalışmanın esas konusunu teşkil eder. Çameli Formasyonu, tümüyle karasal ortamda çökelmiş alüvyon yelpazesi, akarsu ve gölsel tortullardan kuruludur. Uyumsuz olarak eski ve genç temel üzerinde görüldüğü gibi yer yer de bu birimlerle faylı dokanaklıdır. Ölçülü stratigrafik kesitlerde 506 m kalınlık ölçülülmüştür (Şekil 2.2). Bölgede yapılan önceki çalışmalarında birim “Neojen örtü” olarak haritalanmış ve “Çameli Formasyonu” veya bazı eski çalışmalarında olduğu gibi “Yatağan Formasyonu” adlarıyla tüm güneybatı Anadolu’daki aynı yaş ve litolojik özellikteki birimlerle eş tutulmuş, litolojisi genel olarak ele alınmıştır (Meşhur ve Yoldemir 1983, Meşhur ve Akpinar 1984, Erakman vd. 1982, Erakman vd. 1986, Aral 1982-83, Balçı vd. 1974, Balçı vd. 1976, Böyükbaş 1987, Şenel 1997a, Şenel 1997b). Bunun yanında birim kömür içermesi nedeniyle çalışılmış ancak bu çalışmalar da birimin litolojisine ayrıntılı olarak değinilmemiştir (Kara 1976).



Şekil 2.1: Çameli havzasının jeoloji haritası ve enine jeolojik kesiti (O22a-b (Şenel 1997a), O23a (Şenel 1997b), N23 a-d (Şenel 1997c) derleme haritaları ile N22 a-b-d'nin F. Göktaş'ın (MTA İzmir Bölge Müd.) 1996 yılında yaptığı Neojen bölümünün revizyonu ve N22 c'nin Y. Hakyemez (MTA Genel Müd.) 1996 yılında yaptığı revizyonundan (Y. Hakyemez 2000, sözlü görüşmeler) yararlanılarak hazırlanmıştır).



Şekil 2.2. Çameli yörensinin genelleştirilmiş stratigrafik dikme kesiti (ölçeksiz).

Formasyonun yaşı önceki tüm çalışmalarda, altındaki ve üstündeki birimlere göre Pliyosen olarak verilmiştir. Ancak son yıllarda havzadaki omurgalı bulguları ile birimin yaşı paleontolojik verilere dayanırmıştır. Çameli ilçesi güneyindeki Elmaliyurt köyü güneyinde Geç Miyosen yaşıni belirten *Hipparium* sp. fosili bulunmuştur (Şenel 1997a, Şenel 1997b). Aynı bulgu bu çalışma kapsamında yeniden incelenerek, Perissodactyle-Equidae *Hipparium* cf. *primigenium* sp. olarak tayin edilmiş ve böylece birimin alt yaşıının Vallesiyen (MN 9-10, 10.8-9.7 My) olduğu belirlenmiştir. Bu lokalite Çameli Formasyonu'nun en alt kesimlerine aittir (12. ÖSK, Ek 1). Bundan başka Çameli ilçesi

kuzeyinde yeralan Çamlıbel (15. ÖSK, Ek 1) köyünde bulunan bir başka memeli fosilinin ise Rodentia-Arviccolidae *Mimomys* sp. ile MN 15-16[”](3.5-2.5 My) yaşında olduğu belirlenmiştir. Bu çalışmada ise Çameli ilçesi güneybatısı Ericek köyünde yeni bir omurgalı fosil lokalitesi daha saptanmıştır (16. ÖSK, Ek 1). Bu yeni lokaliteden bulunan *Mimomys occitanus*, *Apodemus dominans*, *Orientalomys similis*, ve *Pseudomeriones tchaltaensis* memeli fosil topluluklarından MN 15 (3.8-3.2 My) yaşı elde edilmiştir (Çizelge 2.1). Çameli’nin güneyinde yeralan Bıçakçı’da bulunan bir başka yeni lokalitede ise *Mimomys pliocaenius*, *Apodemus dominans* ve *Micromys praeminitus* fosilleri ile Geç Villaniyen yaşı (MN 17, 3.0-2.0 My) elde edilmiştir. Çameli Formasyonu, Derindere üyesi, Kumafşarı üyesi ve Değne üyesi olarak üç üyeye ayrılarak ele alınmıştır (Şekil 2.1 ve 2.2):

A. Derindere üyesi: En iyi yüzeylemeleri Acıpayam güneyindeki Derindere’dir. Özellikle havzanın kenar kesimlerinde ve havza dolgusunun en üst kesimlerinde yaygın olarak yüzeyler. Tip kesiti 29. ÖSK olup (başlancıç: 29°21'17"-37°21'15"-920 m, bitiş: 29°21'21"-37°21'19"-955 m) ayrıca, ÖSK 1, 8, 9, 10, 12, 13, 14, 15, 17, 20, 23, 24, 26 ve 27’de de görülür (Ek 1). Egemen olarak konglomera ve çamurtaşlarından kuruludur (bkz: Bölüm III) ve çoğunlukla koyu kırmızı renktedir. Kalınlığı 40-60 m olan üye içinde matriks destekli konglomera ve çamurtaş fasiyeleri ayırmıştır (bkz: Bölüm III). Kumafşarı ve Değne üyeleri ile yanal ve düşey geçişlidir. Temel kayaçları üzerine uyumsuz olarak yerlesir (Ek 1, ÖSK 9, 12 ve 20), bazı yerlerde ise dokanağı faylıdır. Üzerinde hemen daima Kumafşarı üyesi görülür (Ek 1, ÖSK 1, 9, 10, 12, 20, 23 ve 24). Bazı yerlerde ise Değne üyesi tarafından örtülür (ÖSK 5 ve 8). ÖSK 11 ve 17’de Değne üyesini üzerler. Ayrıca ÖSK 14, 15, 17, 23, 26 ve 27’de Kumafşarı üyesini üzerler ve yer yer Kumafşarı üyesi ile yanal geçişlidir (Ek 1). 9. ÖSK’da bu üyenin üst kesimlerinde ve üzerine gelen Kumafşarı üyesinin alt kesimlerinde bulunan omurgalı fosiline göre en alt yaşı Vallesiyen’dir (MN 9-10, 10.8-9.7 My). Havza dolgusunun en üst kesimi olarak görüldüğü, Çameli güneyindeki Bıçakçı lokalitesinde ise *Mimomys pliocaenius*, *Apodemus dominans* ve *Micromys praeminitus* mikro-memeli fosillerine ile Geç Villaniyen yaşı elde edilmiştir.

Çizelge 2.1: Çameli havzasında bulunmuş memeli fosillerinin yaşıları, zonları ve lokaliteleri,

LOKALİTE ve KOORDİNAT	FOSİL ADI	MN ZONU ve YAŞI (Steininger vd. (1996)'ne göre)
Bıçakçı K $37^{\circ} 00' 53''$ D $29^{\circ} 17' 57''$	<i>Mimomys pliocaenius</i> <i>Apodemus dominans</i> <i>Micromys praeminutus</i>	MN17 3.0-2.0 My GEÇ VİLLANIYAN (Gelasiyen/Geç Pliosen)
Çamlıbel K $37^{\circ} 10' 27''$ D $29^{\circ} 22' 21''$	Rodentia-Arvicolidae <i>Mimomys</i> sp.	MN 15-16 3.5-2.5 My GEÇ RUSKİNYEN-ERKEN VİLLANIYEN (Piyazensiyan-Gelasiyen/Orta-Geç Pliyosen)
Ericek K $37^{\circ} 04' 12''$ D $29^{\circ} 11' 55''$	<i>Mimomys occitanus</i> <i>Apodemus dominans</i> <i>Orientalomys similis</i> <i>Pseudomeriones ichaltaensis</i>	MN 15 3.8-3.2 My GEÇ RUSKİNYEN (Zankliyen-Piyazensiyan/Erken-Orta Pliyosen)
Elmahiyurt K $36^{\circ} 53' 17''$ D $29^{\circ} 23' 34''$	Perissodactyla-Equidae, <i>Hipparium</i> cf. <i>primigenium</i>	MN 9-10 10.8-9.7 My VALLESİYEN (Erken Tortoniyen/Geç Miyosen başı)

B. Kumafşarı üyesi: En iyi görüldüğü yer Acipayam doğusundaki Kumafşarı köyü çevresi ve özellikle havzannın kuzeyidir. Tip kesiti 34. ÖSK (başlangıcı: $29^{\circ}31'30''$ - $37^{\circ}17'35''$ -920 m, bitiş: $29^{\circ}32'17''$ - $37^{\circ}16'45''$ -960 m), yardımcı kesitleri ÖSK 18, 19, 32 ve 33'tür. Ayrıca, ÖSK 1, 3, 4, 6, 7, 9, 10, 11, 12, 14, 15, 16, 17, 20, 21, 22, 23, 24, 26, 27, 28, 30 ve 31'de de görülür (Ek 1). Başlıca tabakalı-gözenekli kireçtaşı, kömür, laminalı silttaşlı-çamurtaşlı, ince taneli konglomera-kaba kumtaşı, epsilon çapraz tabakalı kumtaşı, paralel tabakalı kumtaşı, düzlemsel çapraz tabakalı kumtaşı, teknesi çapraz tabakalı kumtaşı, ripil laminalı ince kumtaşı, tane destekli konglomera ve düzlemsel çapraz tabakalı konglomera fasyelerinden kuruludur. Kalınlığı 34. ÖSK'da 146 m olarak ölçülümustür. Derindere ve Değne üyeleri ile yanal ve düşey ilişkidedir. Hemen daima Derindere üyesinin üzerine gelir (Ek 1, ÖSK 1, 9, 10, 12, 20 ve 23). Üzerine ise ya Derindere (ÖSK 14, 15, 23, 26 ve 27) ya da Değne üyesi yerlesir (Ek 1, ÖSK 3, 4, 7, 9, 10, 16 ve 22). Egemen olarak örgülü akarsu, menderesli akarsu, delta ve yelpaze deltası litofasyes topluluklarından kuruludur (bkz: Bölüm III). 16. ÖSK'da üyenin, Değne üyesi tarafından üzerlendiği en üst kesiminde elde edilen memeli fosillerinden MN 15 (3.8-3.2 My) yani Geç Ruskiniyen (Erken-Orta Pliyosen) yaşı elde edilmiştir. Ayrıca Çameli kuzeyindeki Çamlıbel köyünde üyenin Değne üyesi ile yanal geçişli olduğu yerden ise MN 15-16 (3.5-2.5 My) yani Geç Ruskiniyen-Erken Villaniyen (Orta-Geç Pliyosen) yaşı elde edilmiştir. Her iki lokalitenin Değne üyesinin alt,

Kumafşarı üyesinin üst kesimine ait olmasına rağmen farklı yaşıarda fosiller bulunması, Değne üyesinin Kumafşarı üyesi üzerine ilerlemesinden ileri gelmektedir.

C. Değne üyesi: Çameli Formasyonu'nun gölsel tortullarını kapsar. En iyi görüldüğü yer, havzanın güney kesimlerinde Değne Çayı vadisi, Sarıkavak ve Kirazlıyayla çevresidir. Tip kesiti 6. ÖSK (başlangıç: $29^{\circ}11'35''$ - $37^{\circ}02'40''$ -705 m, bitiş: $29^{\circ}10'40''$ - $37^{\circ}02'25''$ -815 m) yardımcı kesitleri ÖSK 9, 11 ve 17'dir. Ayrıca, ÖSK 2, 3, 4, 5, 7, 8, 10, 15, 16, 22 ve 25'te de görülür (Ek 1). Başlıca tabakalı-gözenekli kireçtaşı killi kireçtaşı ve laminalı marn fasiyelerinden ve açık göl ve sığ göl litofasiyes topluluklarından kuruludur (Bölüm III). Kalınlığı tip kesitinde 300 m olarak ölçülmüştür. Ayrıca, 9. ÖSK'da 75 m, 11. ÖSK'da 220 m ve 17. ÖSK'da 170 m kalınlığa sahiptir. Derindere ve Kumafşarı üyeleri ile yanal ve düşey ilişkidedir. ÖSK 17 ve 25'te doğrudan temel üzerine yerleşir. Hemen daima Kumafşarı üyesi üzerinde bulunur (ÖSK 3, 4, 6, 7, 9, 10, 11, 16 ve 22), yer yer Kumafşarı üyesi tarafından (ÖSK 7, 16 ve 17) yer yer ise yelpaze deltası veya delta litofasiyes toplulukları tarafından üzerlenir (17. ÖSK, Ek 1). 16. ÖSK'da üyenin tabanındaki kömürlü seviyeler içinden elde edilen mikro-memeli fosillerine göre en alt yaşı Geç Ruskiniyen'dir (MN 15, 3.8-3.2 My). 15. ÖSK'da, Kumafşarı üyesini üzerlediği yerde, üyenin altında 3.5-2.5 My (Geç Ruskiniyen-Erken Villaniyen) yaşı bulunmuştur. Bu lokalitenin üzerinde üyenin kalınlığı 25 m'dir.

2.1.4. Kuvaterner

Günümüzdeki Acıpayam ve Gölhisar ovaları, Dalaman Çayı ve kollarındaki birikimler, özellikle havzayı kenarlardan sınırlayan ana faylar ve havza içinde gelişen ikincil fayların önünde biriken güncel kolüvyonlar ve alüvyon yelpazeleri ile temsil edilir. Halen var olan Gölhisar gölü bir başka Kuvaterner oluşmaktadır. Bunların yanında yakın geçmişe kadar var olan ancak tarım alanı sağlamak amacıyla kurutulmuş eski Acıpayam gölü ve Çameli ilçesindeki Karaman gölü (günümüzde 'gölyeri' adını taşıyan ve turba işletilen yerler) Kuvaterner oluşuklarıdır. Son yıllarda Gölhisar gölü ve Geç Kuvaterner yaşı tortullar ilgi kazanmış ve bu konularda çalışmalar yapılmaktadır (Roberts vd. 1997, Eastwood vd. 1999, Eastwood vd. 1998, Eastwood ve Pearce 1998).

2.2. Jeolojik Yapı ve Tektonik Çerçeve

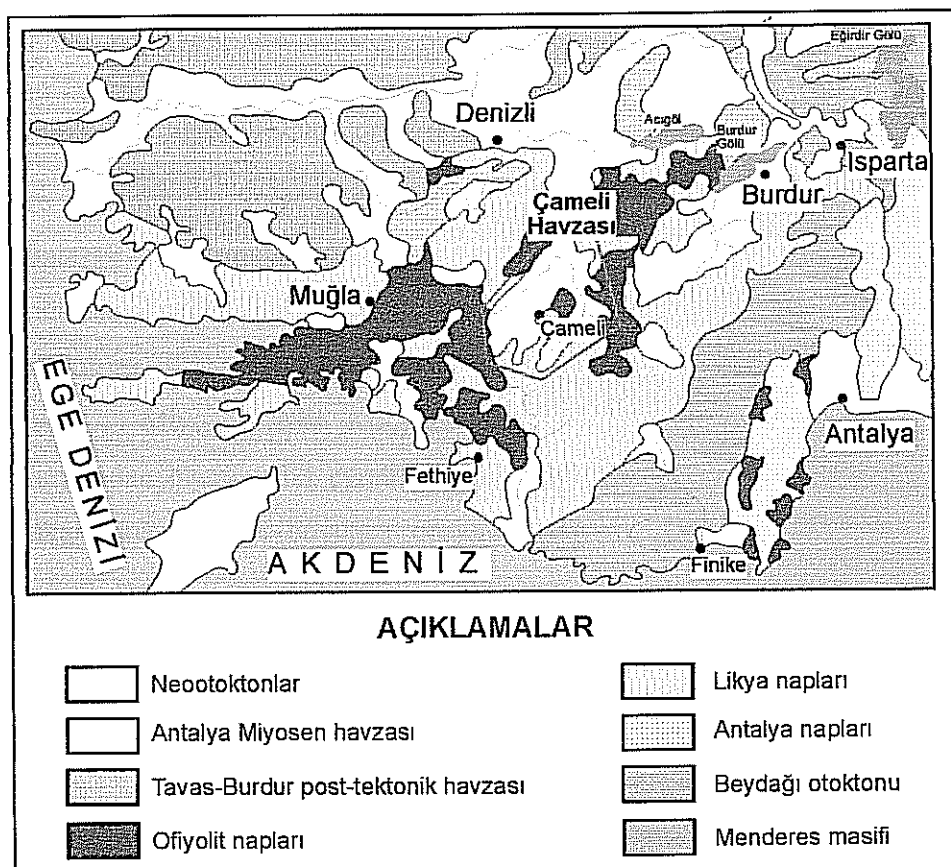
Çalışma alanı Geç Miyosen-Geç Pliyosen aralığında, özellikle paleoakıntı verileri ışığında, kendine has depolanma özellikleri olan bir çöküntü alan özelliğinde olmasından dolayı bir tortul havza niteliğindedir. Havzanın temelinde Likya naplarına ait metamorfik karbonatlar ve ofiyolitik kayaçlar bulunur (Şekil 2.3). Bir graben tarzında açılan ve gelişen havza batıda Bozdağ fayı, doğuda ise Dirmil fayı ile sınırlanır. Bölge günümüzde ise 650 (Suçatı)-1682 m (Dikmen Tepe) arasında değişen yüksekliklerde yeralan havza dolgusu, kuzeyde en fazla 2268 m (Akkaya Tepe) yüksekliğe sahip Eşler Dağı, Güneyde Çaldağı (2184 m), batıda en fazla 2420 m (Eren Tepe) yüksekliğe erişen Bozdağ ve doğuda Koçaş Dağı (2095 m) ile sınırlı bir depolanma alanıdır. Bu alanın ortasında yeralan en büyük yerleşim yeri olan Denizli iline bağlı Çameli ilçesinin adı kullanılarak, bu alana ‘Çameli havzası’ denmiştir.

Çameli havzasının içinde bulunduğu güneybatı Anadolu'daki jeolojik gelişim, Geç Kretase'den Erken Tersiyer'e kadar geçen sürede Alp-Himalaya dağ oluşumu süreci, Paleotetis'in kapanması, Neotetis'in açılması ve Arap-Afrika ve Avrasya levhaları arasındaki çarpışmanın meydana getirdiği olayları kapsar (Şengör ve Yılmaz 1981, Robertson ve Dixon 1984). Batı Toroslar'ın en belirgin tektonik yapısı olan ve Çameli havzasının batı kanadı üzerinde yeraldığı Isparta büklümü Likya Torosları ile Akseki-Beyşehir Toroslarını bağlar ve Geç Kretase'den Geç Miyosen'e kadar çeşitli evrelerdeki tektonik gelişimleri sırasında GD yönünde yerleşen allokton Likya napları ve GB yönlü yerleşen Akseki-Beyşehir naplarının karşılaşması ile oluşmuştur. Bu napolar bölgesel olarak ‘Toros otoktonu’ olarak bilinen ve kalın Mesozoyik istifleri (Triyas kırıntıları, Jura ve Kretase kireçtaşları) ve Alt Paleozoyik birimlerini (Kambriyen kireçtaşları ve Ordovisyen şeylleri) überleyen ince bir Senozoyik biriminden (Paleosen-Eosen nummulitik kireçtaşları ve Orta Eosen flişi) oluşan kalın karbonat platformunu üzerler (Kissel vd. 1993). Paleomanyetizma çalışmalarına göre tüm Akseki-Beyşehir Torosları Orta Eosen sonunda 40° saat yönünde dönmeye uğramıştır. Orta Miyosen sırasında Antalya naplarının batısında bulunan Toros platformu birimleri ile beraber Likya Torosları 30° saat tersi yönde dönmeye uğramıştır. Bu olay Alpin orojenezi sırasında günümüzdeki Isparta büklümünün oluşuma neden olmuştur (Kissel vd. 1986). Ayrıca, Hayward (1984), Likya napları önündeki bindirme önü havzalardan elde ettiği verilerle, napların Geç Akitaniyen-Tortoniyen aralığında ilerlemiş olduğunu saptamıştır.

2.2. Jeolojik Yapı ve Tektonik Çerçeve

Çalışma alanı Geç Miyosen-Geç Pliyosen aralığında, özellikle paleoakıntı verileri ışığında, kendine has depolanma özellikleri olan bir çöküntü alanlığında olmasından dolayı bir tortul havza niteliğindedir. Havzanın temelinde Likya naplarına ait metamorfik karbonatlar ve ofiyolitik kayaçlar bulunur (Şekil 2.3). Bir graben tarzında açılan ve gelişen havza batıda Bozdağ fayı, doğuda ise Dirmil fayı ile sınırlanır. Bölge günümüzde ise 650 (Suçatı)-1682 m (Dikmen Tepe) arasında değişen yüksekliklerde yeralan havza dolgusu, kuzeyde en fazla 2268 m (Akkaya Tepe) yüksekliğe sahip Eşler Dağı, Güneyde Çaldağı (2184 m), batıda en fazla 2420 m (Eren Tepe) yüksekliğe erişen Bozdağ ve doğuda Koçaş Dağı (2095 m) ile sınırlı bir depolanma alanıdır. Bu alanın ortasında yeralan en büyük yerleşim yeri olan Denizli iline bağlı Çameli ilçesinin adı kullanılarak, bu alana ‘Çameli havzası’ denmiştir.

Çameli havzasının içinde bulunduğu güneybatı Anadolu'daki jeolojik gelişim, Geç Kretase'den Erken Tersiyer'e kadar geçen sürede Alp-Himalaya dağ oluşumu süreci, Paleotetis'in kapanması, Neotetis'in açılması ve Arap-Afrika ve Avrasya levhaları arasındaki çarpışmanın meydana getirdiği olayları kapsar (Şengör ve Yılmaz 1981, Robertson ve Dixon 1984). Batı Toroslar'ın en belirgin tektonik yapısı olan ve Çameli havzasının batı kanadı üzerinde yeraldığı Isparta büklümü Likya Torosları ile Akseki-Beyşehir Toroslarını bağlar ve Geç Kretase'den Geç Miyosen'e kadar çeşitli evrelerdeki tektonik gelişimleri sırasında GD yönünde yerleşen allokton Likya napları ve GB yönlü yerleşen Akseki-Beyşehir naplarının karşılaşması ile oluşmuştur. Bu napolar bölgesel olarak ‘Toros otoktonu’ olarak bilinen ve kalın Mesozoyik istifleri (Triyas kırıntıları, Jura ve Kretase kireçtaşları) ve Alt Paleozoyik birimlerini (Kambriyen kireçtaşları ve Ordovisen şeylleri) überleyen ince bir Senozoyik biriminden (Paleosen-Eosen nummulitik kireçtaşları ve Orta Eosen flişi) oluşan kalın karbonat platformunu üzerler (Kissel vd. 1993). Paleomanyetizma çalışmalarına göre tüm Akseki-Beyşehir Torosları Orta Eosen sonunda 40° saat yönünde dönmeye uğramıştır. Orta Miyosen sırasında Antalya naplarının batısında bulunan Toros platformu birimleri ile beraber Likya Torosları 30° saat tersi yönde dönmeye uğramıştır. Bu olay Alpin orojenezi sırasında günümüzdeki Isparta büklümünün oluşuma neden olmuştur (Kissel vd. 1986). Ayrıca, Hayward (1984), Likya napları önündeki bindirme önü havzalardan elde ettiği verilerle, napların Geç Akitaniyen-Tortoniyen aralığında ilerlemiş olduğunu saptamıştır.



Şekil 2.3. Çameli havzasının bölgesel konumu (Şenel 1997a'dan).

Çalışmanın amaçlarından biri de Geç Miyosen-Geç Pliyosen yaşılı Çameli graben havzasının evrimini tartışmak olması nedeniyle, havzanın içinde bulunduğu batı Anadolu graben sistemi hakkında önceden yapılmış çalışmalar ve bunlar arasındaki görüş farklılıklarına kısaca değinilecektir. Ege bölgesinde günümüze kadar süren genişleme tektoniğine ilişkin farklı görüşler bulunmaktadır: Dewey ve Şengör (1979) ve Dewey vd. (1986)'nin savunduğu tektonik kaçma modeline göre Anadolu plakacığının batı-güneybatı yönlü hareketi, Geç Serravaliyen'de Arap-Avrasya levhalarının güneydoğu Anadolu'da Bitlis kenedi boyunca çarşışmasından sonra, Batı Anadolu'da bir genişleme rejimi oluşturulmuştur. Anadolu levhası bu çarşışmanın ardından meydana gelen sıkışmayı önce kalınlaşarak, daha sonra Kuzey ve Doğu Anadolu fayları boyunca batıya doğru hareket ederek karşılamıştır. Orta Miyosen sonu-Geç Miyosen başında meydana gelen bu hareket Yunan makaslama zonunda engellenmiş ve Ege Denizi ile batı Anadolu'da D-B yönlü bir sıkışma, buna karşılık K-G yönlü bir genişleme meydana

gelmiştir (Şengör 1979, Şengör 1980, Şengör 1982). Le Pichon ve Angelier (1979) ve Maulenkamp vd. (1988) tarafından savunulan yayındı açılma modeline göre, Afrika levhasının kuzey kenarının Hellen yayı boyunca kuzeye dalması sonucu Ege bölgesinde Geç Serravaliyen-Tortoniyen'de başlayan kabuksal gerilme meydana gelmiştir. Dewey (1988) ve Seyitoğlu ve Scott (1991) tarafından önerilen orojenik çökme modeline göre aşırı kalınlaşan kabuğun yayılması sonucu genişlemeli neotektonik rejim başlamıştır. Bu rejimin batı Anadolu'daki yerleşimi, Paleosen çarşılması ile İzmir-Ankara-Erzincan Neotetis süturu boyunca Anadolu levhasının kısalıp kalınlaşmasını takiben Geç Oligosen-Erken Miyosen'dedir. Koçyiğit vd. (1999), Koçyiğit vd. (2000) ve Bozkurt (2000) tarafından önerilen iki evreli grabenleşme modeline göre bölgedeki ilk gerilme İzmir-Ankara kenet zonu boyunca orojenik çökme sonucu gelişir ve bu gerilmeyi bölgede kısa süreli (Geç Miyosen-Erken Pliyosen) K-G yönlü sıkışma rejimi izler. Bundan sonra gelişen ikinci gerilme fazı ise Anadolu levhasının batıya doğru kaçma hareketinin sonucudur. Neotektonik rejimin yerleşim yaşının Orta Pliyosen olduğunu savunan modele göre hem batı hem de orta Anadolu'da horst-graben sistemleri, Geç Miyosen-Erken Pliyosen sıkışma fazı ile bölünen, iki genişleme fazında (Erken-Orta Miyosen ve Pliyo-Kuvaterner) gelişmiştir.

3. SEDİMANTER JEOLOJİ

3.1. Giriş

Çameli yöresinde yüzeyleyen tortul birimler, önceki çalışmalarda, tüm güneybatı Anadolu'daki litolojik olarak benzer ve yaş konağı az çok aynı olan diğer birimlerle eş tutulmuş, detaylı sedimentolojik incelemeleri yapılmamıştır. Bölüm II'de stratigrafisi verilen Çameli yöresinde, Geç Miyosen'deki genişleme rejimine bağlı olarak, tamamen karasal ortamda graben dolgusu tarzında alüvyal, flüvyal ve gölsel tortullardan kurulu Çameli Formasyonu depolanmıştır. Bu çalışmada Geç Miyosen'de bir graben havzası olarak açılan ve gelişimi Geç Pliyosen'e kadar sürden Çameli havzasının sedimanter dolgusunu çalışmak ve bu dolgunun istiflenme tarzından yola çıkarak havzanın paleocoografik evriminin aydınlatılması konu edilmektedir. Bunun için fasiyes analizi asıl çalışma yöntemini teşkil edecektir.

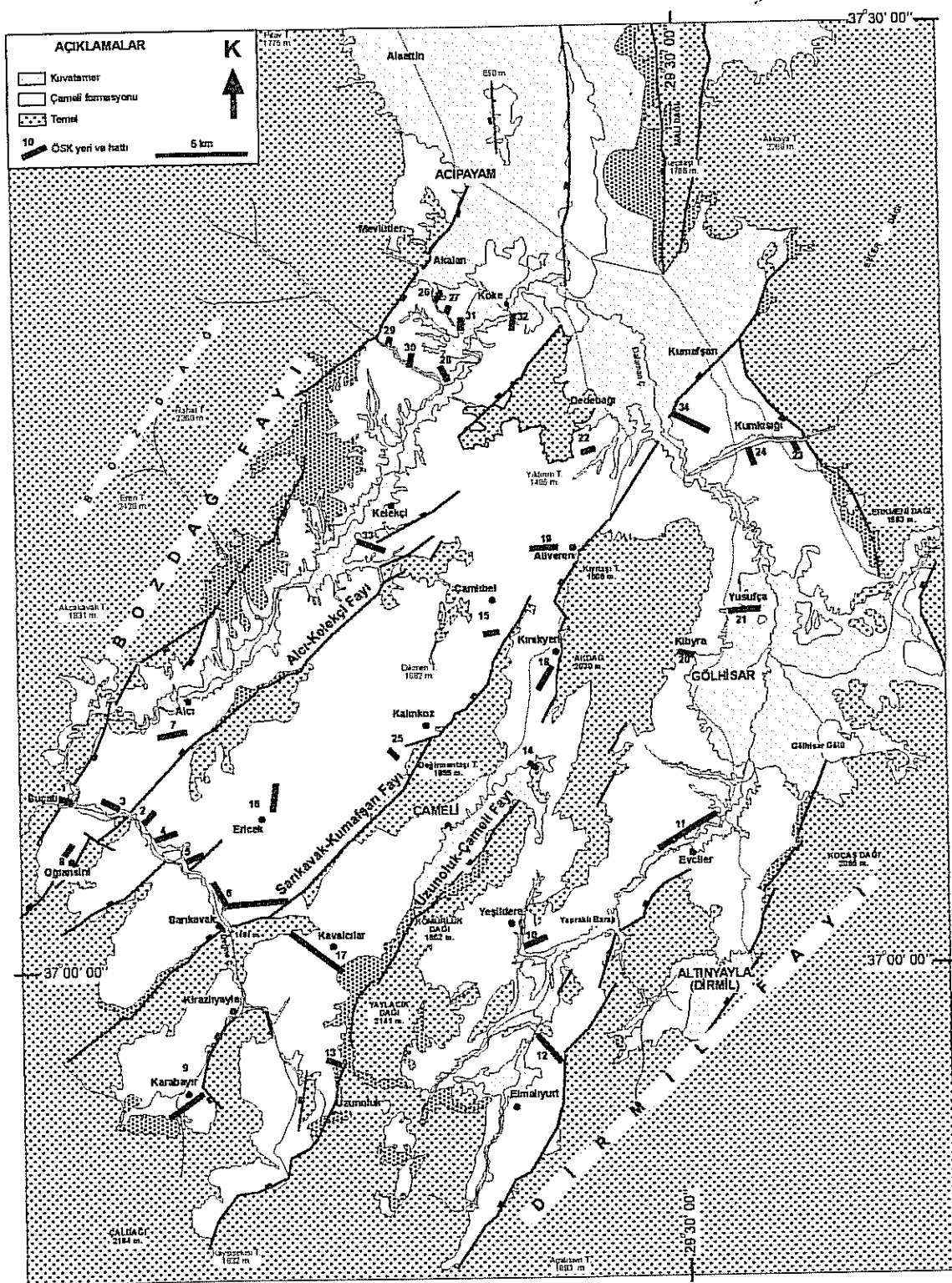
Bu bölümde, Çameli yöresinde bulunan tortul birimlerin sedimentolojisi fasiyes analizi yöntemi ile incelenmiş ve bu yönteme göre depolanma ortamları fasiyes toplulukları tanımlamak belirlenmiştir. Bunun için, tüm litolojik verilerin görülebildiği 34 adet ölçülu stratigrafik kesit çalışılmıştır (Şekil 3.1, Çizelge 3.1). Fasiyes analizi yapmak için her bir ölçülu kesitten ayrı ayrı, sedimanter yapı, doku, geometri, renk ve fosil içeriği gibi bilgiler elde edilmiştir (Şekil 3.2, 3.3). Bunlar her bir ölçülu kesit için ayrı ayrı tanımlanmış, kodlanmış ve birlikte bulunma ve sıklıklarına göre gruplandırılarak fasiyes toplulukları tanımlanıp çökelme ortamları bulunmuştur. Fasiyes toplulukları deneştirilerek havza geometrisi kurulmuş ve belli bir zaman içinde oluşan bu havzaların jeolojik zaman boyunca üst üste gelmeleri ile de jeolojik evrim açıklanmıştır. Fasiyes analizi yapılırken ortam, formasyon ve üye isimleri yerine fasiyes adları ve kodları kullanılmıştır. Çameli formasyonu içindeki üyelerde tanımlanan fasiyesler ve bu üyeleri oluşturan topluluklar Çizelge 3.2'de görülmektedir.

3.2. Çameli Formasyonu'nu Oluşturan Fasiyesler

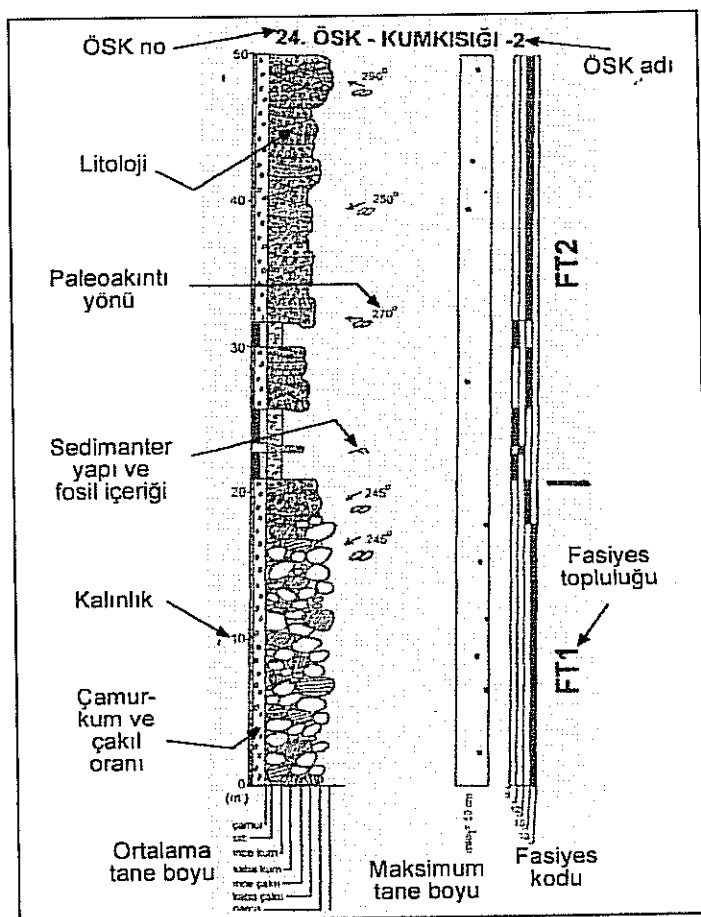
Uygulanan fasiyes analizi yöntemi ile Derindere, Kumafşarı ve Değne üyelerinden oluşan Çameli Formasyonu'nda 17 adet fasiyes, 8 adet fasiyes topluluğu tanımlanmıştır. Fasiyes ve fasiyes topluluklarının özellikleri anlatılırken kodlarına deðinme yapıldığı için tanım ve yorumları, aşağıda, Çizelge 3.3 ve 3.4'te özetle verilmiştir.

Çizelge 3.1. Ölçülü stratigrafik kesitlerin adları, numaraları, koordinatları ve kalınlıkları.

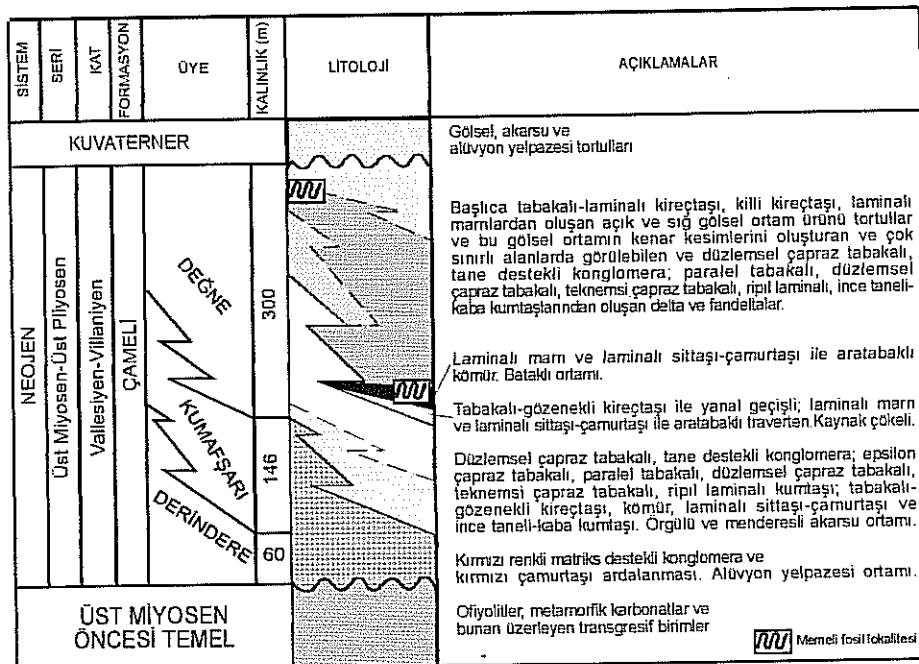
ÖSK NO	ÖSK ADI	BAŞLANGIÇ	BİTİŞ	KALINLIK (m)
1	SUÇATI	29°05'55"-37°06'16"-610 m	29°06'45"-37°06'20"-720 m	130
2	GERİZ	29°08'45"-37°04'30"-630 m	29°08'50"-37°04'35"-690 m	70
3	DİKMEN	29°08'25"-37°05'00"-640 m	29°08'40"-37°05'45"-660 m	126
4	ÇELEL	29°09'05"-37°04'25"-650 m	29°09'10"-37°04'15"-655 m	35
5	KIZILARMUT	29°10'20"-37°03'25"-695 m	29°10'40"-37°03'15"-715 m	102
6	SARIKAVAK	29°11'35"-37°02'40"-705 m	29°10'40"-37°02'25"-815 m	567
7	ALCI	29°08'50"-37°07'15"-760 m	29°09'30"-37°07'25"-890 m	147
8	OĞLANSINI	29°05'00"-37°03'30"-630 m	29°05'10"-37°03'45"-670 m	42
9	KARABAYIR	29°05'45"-36°55'10"-1069 m	29°10'20"-36°55'45"-1013 m	287
10	YEŞİLDERE	29°23'30"-37°01'10"-1095 m	29°23'55"-37°01'15"-1240 m	116
11	EVÇİLER	29°29'15"-37°03'42"-1055 m	29°32'30"-37°06'17"-1022 m	378
12	ELMALIYURT	29°20'32"-36°55'40"-1180 m	29°20'55"-36°55'12"-1198 m	145
13	UZUNOLUK	29°15'17"-36°55'45"-1140 m	29°15'24"-36°55'37"-1255 m	120
14	İMAMLAR	29°23'42"-37°07'15"-1390 m	29°24'15"-37°06'54"-1460 m	118
15	ÇAMLIBEL	29°21'35"-37°11'25"-1125 m	29°22'10"-37°11'55"-1170 m	60
16	ERİCEK	29°11'52"-37°04'15"-885 m	29°11'47"-37°03'45"-1070 m	190
17	KAVALCILAR	29°15'17"-37°01'25"-995 m	29°16'57"-37°00'21"-1240 m	700
18	KINKIYERİ	29°24'20"-37°10'35"-1395 m	29°24'50"-37°11'00"-1520 m	144
19	ALİVEREN	29°25'05"-37°13'17"-1240 m	29°24'48"-37°13'05"-1346 m	142
20	KİBYRA	29°30'00"-37°09'14"-1088 m	29°32'40"-37°09'21"-1040 m	144
21	YUSUFÇA	29°30'05"-37°12'29"-1035 m	29°33'40"-37°12'35"-1055 m	61
22	DEDEBAĞ	29°25'35"-37°15'45"-1150 m	29°25'42"-37°15'35"-1206 m	60
23	KUMKİSİĞI-1	29°36'10"-37°17'05"-980 m	29°36'10"-37°17'05"-1039 m	40
24	KUMKİSİĞI-2	29°33'17"-37°17'45"-950 m	29°33'25"-37°17'35"-990 m	50
25	KALINKOZ	29°18'40"-37°06'15"-1400 m	29°18'30"-37°06'25"-1395 m	110
26	AKDERE-1	29°19'00"-37°19'20"-920 m	29°19'14"-37°19'28"-990 m	80
27	AKDERE-2	29°20'21"-37°18'55"-870 m	29°20'25"-37°19'20"-955 m	90
28	ÜMİT KUM OC.	29°21'34"-37°20'05"-840 m	29°21'20"-37°20'25"-895 m	80
29	DERİNDERE-1	29°21'17"-37°21'15"-920 m	29°21'21"-37°21'19"-955 m	40
30	DERİNDERE-2	29°21'40"-37°21'15"-905 m	29°21'41"-37°21'35"-955 m	60
31	TÜRKMEN T.	29°22'13"-37°20'45"-900 m	29°22'17"-37°20'55"-952 m	60
32	ULUÇAM T.	29°23'20"-37°20'27"-857 m	29°23'17"-37°20'04"-935 m	90
33	YÜNLÜK T.	29°19'15"-37°15'20"-920 m	29°19'55"-37°15'27"-1040 m	146
34	KUMAFŞARI	29°31'30"-37°17'35"-920 m	29°32'17"-37°16'45"-960 m	65



Şekil 3.1. Ölçülü stratigrafik kesitlerin aldığı yerleri gösteren harita.



Şekil 3.2. Ölçülü stratigrafik kesitlerdeki verilerin kaydedilme düzeni.



Şekil 3.3. Çameli Formasyonu'nun stratigrafik ve litolojik özellikleri.

Çizelge 3.2. Çameli Formasyonu'nu oluşturan fasiyes toplulukları ve çökelme ortamları.

ÇAMELİ FORMASYONU	ÜYE	FASIYES	FASIYES TOPLULUĞU	ORTAM YORUMU
	Değne	F1, F2, F3, F4, F5, F7	FT4, FT5, FT6, FT7, FT8	Açık ve sığ göl
	Kumafşarı	F2, F5, F6, F7, F8, F9, F10, F11, F12, F13, F14, F15	FT2, FT3, FT5	Akarsu
	Derindere	F13, F14, F16, F17	FT1	Alüvyon yelpazesi

Çizelge 3.3. Çameli Formasyonu'nu oluşturan fasiyeslerin tanım ve yorumları

Fasiyes	Tanımlama	Yorum
F1.Traverten	Sert, boşluklu/gözenekli, bol bitki kök ve kalıplı, kalınlığı 7-60 m arasında, açık-koyu kahve renkli.	Kaynak çökeli (traverten) (Leslie vd. 1992)
F2.Tabakalı, gözenekli kireçtaşı	Beyaz-kırkı, beyaz-çirk sarı renkli, boşluklu, sert, masif, yer yer tabakanımlı, bol bitki parça, kök ve kalıplı, gastropoda fosilli, az oranda killi veya kumlu, 0.5-60 m kalınlıkta, yüzlerce m yanal devamlı, mikritik, biyoturbasyonlu, kalsitile doldurulmuş kırık-boşluklu.	Geçici sığ, tatlı su göllerinde kimyasal yollarla çökelmiş (Ghosh 1987, Alonso Zarza vd. 1992)
F3.Killi kireçtaşı	Gri-çirk yeşil renkli, gevşek, bütün olarak masif görünümü iç yapısı zayıfca tabakalı/laminalı, yer yer gastropoda fosilli ya da fosil kalıplı, toplam kalınlığı bir kaç dm ile 25 m arasında.	Gölsel killi kireçtaşı (Hardie vd. 1978)
F4.Laminalı marn	Gri-çirk yeşil renkli, gevşek/dağılgan, gastropoda fosilli, konkav kırılmalı, tabakalı/ laminalı.	Gölsel marn (Hardie vd. 1978)
F5.Kömür	Olgunlaşmamış, bol bitki kök-kırıntı ve parçalı, koyu kahve-siyah renkli, laminalı silt ve çamur arakatkılı, ezilmiş/sağlam gastropoda fosilli, oldukça gevşek ve dağılgan, merceksi geometrelili, kalınlık bir kaç cm ile bir kaç dm arasında.	Bataklık çökeli (Fielding 1984, McCabe 1984).
F6.Laminalı silttaşçı-çamurtaşçı	Paralel laminalı sittaşı ve çamurtaşları ile merceksi, iyi yuvarlaklaşmış ince çakılı ve kumlu seviyeli, ripil çapraz laminalı kumtaşları. Gastropadalı, fosilleşmiş bitki kök, kahp ve parçalı, gri-yeşil renkli, dm-m kalınlıkları, bir kaç yüz m yanal devamlı, fasiyes içindeki tabakanma ara yüzeyleri düzgün, çoğu kez sıkışma veya biyoturbasyon ile bozulmuş.	Sellenmenin azlığı, asılı çökelimin fazla olduğu akarsu-bataklık, tali kanal (Fielding 1984). Süspansiyon (Collinson 1978).
F7.İnce taneli konglomera kumtaşı	Zayıf-orta derecede tutturulmuş, açık yeşil-gri renk, orta-iri kum boyunda taneli, orta-kötü boyanmış, iyi yılanmış, orta derecede yuvarlaklaşmış, taban kesimlerinde seyrek olarak yuvarlaklaşmış ince-orta boy çakal saçılımlı ve normal derecelenmeli, kalınlığı bir kaç on cm-bir kaç m arasında, yanal devamlılığı en fazla bir kaç on m, aşınmalı tabanlı.	Kanalda kuvvetli akıntılar ve yatak yükü taşınması (Middleton ve Hampton 1976), örgülü kanal tortulu (Miall 1977, Rust 1978).
F8.Epsilon çapraz tabakalı kumtaşı	Orta-iri taneli kumlar ve saçılımlı veya çapraz tabaka setlerinin tabanına yerleşmiş ince-iri boy iyi yuvarlaklaşmış çakillardan kurulu, kumlu kesimleri orta-iyi boyanmış, çakıl içeriği kesimlerinde boyanma kötü, tane destekli, iyi yılanmış, orta-iyi derecede yuvarlaklaşmış ve orta-zayıf derecede tutturulmuş, çapraz tabaka kalınlığı 5-20 cm ve kendi içinde normal dereceli, fasiyesin kalınlığı bir kaç m, bir kaç m ile onlarca m arasında yanal devamlı, merceksi.	Menderesli nehirlerin dirsek barlarına ait yanal yığışım yüzeyleri, dirsek bari (Allen 1963, Cant 1982),

Çizelge 3.3. (devam)

F9.Paralel tabakalı kumtaşı	Orta-iri taneli, yatay tabakalı kumtaşlarından kurulu, çoğu yerlerde saçılı halde iyi yuvarlaklaşmış ince çakıl taneli, normal dereceli, iyi yuvarlaklaşmış, iyi yakanmış, orta-kötü derecede boyanmış, tane destekli, zayıf-orta derecede tutturulmuş, 10-20 m yanal devamlılıkta, merceksi geometride, tabaka kalınlıkları 5-15 cm, fasiyes kalınlığı bir kaç m açık yeşil-yeşilimsi gri-gri renkli.	Sellenme döneminde gelişen yatak yükünün yaygı çökelleri (Rust 1978). Üst akış rejimi-sığ derinlikte yüksek hızlı akıntı rejimi ürünü (Collinson 1978).
F10.Düzlemsel çapraz tabakalı kumtaşı	Orta-kaba kum boyunda, tane destekli, iyi yakanmış, orta derecede boyanmış ve zayıf-orta derecede tutturulmuş, çapraz tabakalar 5-20 cm kalınlıkta ve dereceli ve 10°-15°arasında eğimli, fasiyesin toplam kalınlığı 1.5-2 m.	Su akımları ile yatak yükünün yanal yönde taşınımı (Rust 1978).
F11.Teknemsi çapraz tabakalı kumtaşı	Orta-iri kum boyu taneli, seyrek olarak iyi yuvarlaklaşmış ince çakılı, daha iri çakıl taneleri yoğunlukla çapraz tabaka düzlemlerine paralel olarak dizilmiş ve taban kesimlerinde yoğunlaşmış. Fasiyesin toplam kalınlığı bir kaç cm-2 m arasında, tabaka kalınlığı 2-5 cm arasında, kumtaşları tane destekli, iyi yakanmış, iyi yuvarlaklaşmış, orta derecede boyanmış ve zayıf-orta derecede tutturulmuş, merceksi geometride, yanal devamlılığı en fazla bir kaç metre.	Üç boyutlu kumulların göçü ya da küçük kanal dolgusu, kazıntı çukurlarının dolması (Miall 1977, Harms vd. 1982, Tyler ve Ethridge 1983, Siegenthaler ve Huggenburger 1993).
F12.Ripil laminalı ince kumtaşı	Çok ince taneli kum veya silt boyu tanelerden oluşan ripil çapraz laminalı, açık yeşil-yeşilimsi gri-gri renkli, merceksi geometride, tane destekli, iyi yakanmış, iyi boyanmış ve zayıf-orta derecede tutturulmuş.	Akıntı ripillerinin göçü, alt akıntı rejimi (Miall 1977, Collinson 1978, Simons vd. 1965).
F13.Tane destekli konglomera	Tane destekli, normal dereceli ve kum-ince çakıl matriksli, iyi yuvarlaklaşmış, iyi yakanmış ve orta-kötü derecede boyanmış açık yeşil-yeşilimsi gri-gri renkli, aşınmalı tabanlı, onlarca m yanal devamlı, merceksi geometride, maksimum tane boyu 30 cm, ortalama 5 cm, nadiren 1 m boyunda bloklu, b ekseni kiremitlenmesi, zayıf-orta derecede tutturulmuş.	Aşırı konsantre taşkınlar sırasında veya yüksek sediment konsentrasyonu ve akıntı yoğunluğuna sahip akarsu tortulu (Morison ve Hein 1987).
F14.Paralel tabakalı konglomera	Maksimum tane boyu 25 cm, ortalama 5 cm, seyrek olarak 80 cm boyunda bloku, orta derecede boyanmış ve yuvarlaklaşmış, zayıf-orta derecede tutturulmuş, uzun ekseni belirgin taneler akıntıya paralel dizilmiş, normal dereceli ve b ekseni kiremitlenmeli, kum ve ince çakıl matriksli, açık yeşil-gri renkte, yanal devamlılığı onlarca m ve merceksi.	Akarsu taşıması (Miall 1978), boyuna çakıl barları veya çakıl yaygıları (Rust 1972, Hein ve Walker 1977, Nemec ve Postma 1993).
F15.Düzlemsel çapraz tabakalı konglomera	Tane destekli, kum ve ince çakıl matriksli, iyi yakanmış, orta derecede boyanmış, iyi yuvarlaklaşmış ve zayıf-orta derecede tutturulmuş, açık yeşil-gri renkli, maksimum tane boyu 10 cm, ortalama 3 cm, 5-20 cm'lik tabakalar, normal dereceli.	Boyuna barların deltayık tarzda büyümesi (Miall 1978)
F16.Matriks destekli konglomera	Matriks destekli, yer yer tane destekli, yoğunlukla çamur, daha az oranda silt, kum ve ince çakıl matriksli, masif ve düzensiz konglomeralar, kırmızı/kiremit renkli çamurtaşları ile ardalanmalı, merceksi, yüzlerce m yanal devamlı, maksimum tane boyu 1 m, ortalama 20 cm, düzensiz dağılmış 2.5 m'lik iri bloklu, yönlenmesiz taneler, ters dereceli, kalınlığı en fazla 90 m, ortalama 10 m.	Moloz akması (Shultz 1984, Costa 1988, Miall 1996), moloz akması (Hooke 1967, Lowe 1979, Lowe 1982, Gloppe ve Steel 1981, Nemec ve Muszynski 1982).
F17.Masif çamurtaşı	Kırmızı-kahve renkli, siltli ve kumlu mercekli, çok ince çakıl saçılımlı, bitki kök ve parçalı, F16 ile keskin dokanaklı ve alt yüzeyi düzgün, kalınlığı değişken olup en fazla 15 m, yanal yayılımı yüzlerce m, masif görünümülü, zayıf tutturulmuş.	Alüvyon yelpazesi ortamı (Hooke 1967, Collinson 1978).

Çizelge 3.4. Çameli Formasyonu’nu oluşturan fasiyes topluluklarının tanım ve yorumları

Fasiyes Topluluğu	Tanımlama	Yorum
FT1	Matriks destekli masif konglomera (F16), tane destekli konglomera (F13), paralel tabakalı konglomera (F14), masif çakılı kumtaşları (F7), masif çamurtaşları (F17) fasiyeslerinden kuruludur. Derindere üyesinin tamamını oluşturur.	Alüvyal yelpaze ortamının ürünleri olarak yorumlanabilir (Rust 1979).
FT2	Masif çakılı kumtaşları (F7), düzlemsel çapraz tabakalı kumtaşları (F10), teknemsi çapraz tabakalı kumtaşları (F11) ve tane destekli konglomera (F13) fasiyeslerinden kuruludur. Kumafşarı üyesinin alt kısımlarını oluşturur.	Alüvyon yelpazesinde tortulları ile geçişli olduğu yerlerde yaygın olan topluluk çakılı derin kanallı örgülü akarsu ürünüdür (Miall 1985)
FT3	Düzlemsel çapraz tabakalı kumtaşları (F10), epsilon çapraz tabakalı kumtaşları (F8), teknemsi çapraz tabakalı kumtaşları (F11), paralel tabakalı kumtaşları (F9) ve laminalı silttaşçı-çamurtaşçı (F6) fasiyeslerinden kuruludur. Kumafşarı üyesinin büyük bir bölümünü oluşturan topluluk daha çok üyenin üst kesimlerinde yayındır.	İçerdiği epsilon çapraz tabakalar, menderesli nehirlerin dirsek barlarına ait yanal yığışın yüzeyleri, çamurtaşları ise taşın düzlüklerini temsil ederler. Menderesli nehirde çökelmiştir (Cant 1982, Miall, 1985).
FT4	Laminalı marn (F4) ve killi kireçtaşçı (F3) fasiyeslerinden kurulu olup Değne üyesinin önemli bir bölümünü oluşturur.	İçerdiği fosiller, sürekli, dışa açık tatlı su gölünde depolandığına işaret eder.
FT5	Tabakalı-gözenekli kireçtaşçı (F2) ve killi kireçtaşçı (F3) fasiyeslerinden kuruludur Değne üyesinin en üst kesimini temsil eder.	Fosilli ve bitki köklü, laminalı marnlar içeren topluluk sığ gölde çökelmiştir (Anadon vd. 1989).
FT6	Masif çakılı kumtaşı (F7), paralel tabakalı kumtaşı (F9), düzlemsel çapraz tabakalı kumtaşı (F15) ve ripil laminalı kumtaşı (F12) fasiyeslerinden oluşur. Değne üyesinin en üst kesimlerini oluşturur.	Menderesli akarsularla olmuş Gilbert tipi delta çökelleridirler.
FT7	Masif çakılı kumtaşı (F7), paralel tabakalı kumtaşları (F9), düzlemsel çapraz tabakalı kumtaşları (F10), teknemsi çapraz tabakalı kumtaşları (F11), tane destekli konglomera (F13), paralel tabakalı konglomera (F14) ve laminalı silttaşçı-çamurtaşçı (F6) fasiyeslerinden kuruludur	Bu topluluk yelpaze deltası istifi olarak yorumlanmıştır (Nemec ve Steel 1988, Kazancı 1988, Kazancı 1990).
FT8	Travertenler (F1) ve bunlarla çok ince ara tabakalı olmak üzere laminalı silttaşçı-çamurtaşçı (F6), killi kireçtaşçı (F3) ve laminalı marn (F4) fasiyeslerinden oluşur.	fay düzlemi boyunca yükselen suların bünyesine aldığı karbonatları yüzeye çıkışına çökelmesi ile oluşmuşlardır.

F1. Traverten

Tanım: İki ayrı stratigrafik seviye halinde Değne üyesinin en alt ve en üst seviyelerinde görülür (Şekil 3.4; Ek 1, ÖSK 6, 16 ve 17). Alttaşı seviyede yer alan travertenler (6 ve 16. ÖSK'lar) çoğunlukla kultaşı ve kireçtaşçı ara seviyeleri bulundururlar. Yer yer açık, yer yer ise koyu kahve renkte ve 5-15 cm kalınlığında tabakalardan oluşur. Bu seviye, arada çok ince çamurtaşçı seviyeleri içermek üzere en fazla 60 m kalınlıktadır (6. ÖSK). Bu seviyenin kalınlığı yanal olarak 10 m'ye kadar iner (16. ÖSK). Kuzeybatı yönünde, kaynaklandığı Sarıkavak-Kumafşarı Fay'ından uzaklaşıkça da kalınlığı azalır. Altında

ve üzerinde menderesli akarsu fasiyes topluluğu (FT3) yeralır (ÖSK 6 ve 16). Değne üyesinin en üst kesimindeki ikinci seviye travertenler ise, tek tabaka halinde, sert, gözenekli, bolca bitki kök ve kalıpları içerirler. Açık-koyu kahve renkte olan fasiyesin kalınlığı en fazla 7 m'dir (17. ÖSK). Fasiyesin KD-GB doğrultulu Uzunoluk-Kömürlüdağ Fayı'na bağlı olarak ve bu fay boyunca, aynı doğrultuda yayılım gösterir ve bu faydan kuzeybatıya doğru uzandıkça kalınlığı azalır. Fasiyesin altında örgülü akarsu fasiyes topluluğu (FT2), üzerinde ise taşın düzlüğü altfasiyes topluluğu (AFT3.2) yer alır. Alınan bazı traverten örneklerden petrografik incelemeler yapılmıştır (Çizelge 3.5). Faylarla denetlenen her iki traverten seviyesinin kalınlığı bu faylara yaklaşıkça artar. Her iki seviyenin altındaki ve üstündeki fasiyelerle dokanağı düzgün fakat ani geçişlidir. Traverten seviyeleri, oluşumlarını denetleyen faylardan uzaklaşıkça özellikle kireçtaşları aratabakalarında artış ve daha ilerlerde ise tamamen sıçgöl fasiyes topluluğuna (FT5) yanal yönde geçiş gösterir. En iyi yüzeylemeleri Sarıkavak köyü kuzeybatısı ve Kavalcılar köyü batısındadır.

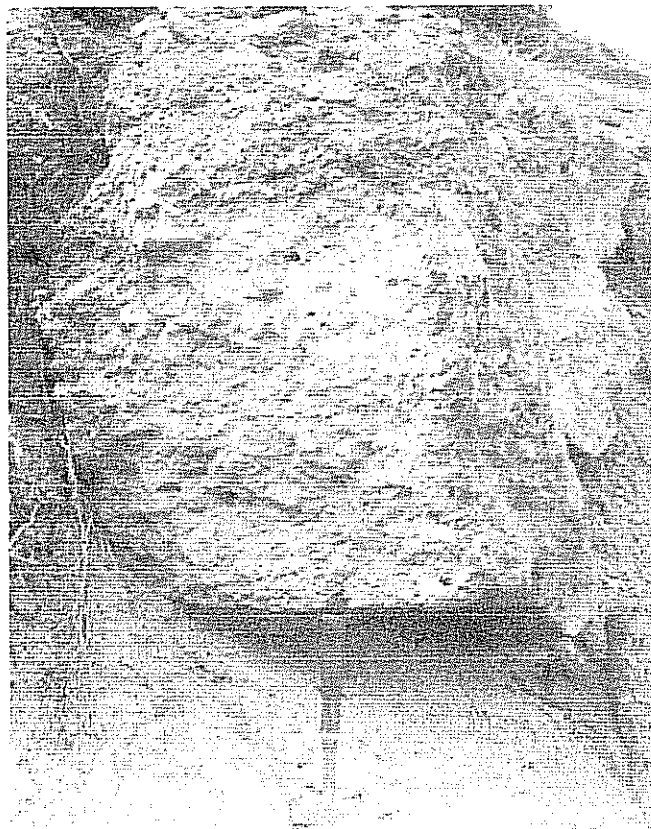
Yorum: Travertenler, karbonatça zengin sular tarafından çökeltilen kayaçlar olup, kurak ve yarı kurak iklimi karakterize ederler (Pedley 1990, Leslie vd. 1992). Travertenler tektonizma ile ilişkilidirler ve özellikle genişlemeli tektonik rejime bağlı olarak açılan havzalarda yaygın olarak görülebilirler (Heimann ve Sass 1989). Güncel örnekleri bölge yakınlarında özellikle Denizli çevresinde yaygın olarak izlenir. Bu güncel traverten oluşumları da genişlemeli tektonik rejim nedeniyle oluşmuş normal faylarla ilişkilidirler (Ford ve Pedley 1996, Altunel ve Hancock 1993, Altunel ve Hancock 1994, Özkul ve Alçıçek 2000). Gölsel karbonatlı fasiyelerle geçişli ve kökensel olarak yanal ve düşey ilişkide olan bölgedeki travertenler yüksek karbonatlı kaynak sularının gölsel bir alanı beslediği yerlerde sıçg/çok sıçg şartlarda alg (mavi-yeşil alg, chara) üretiminin fazla olduğu ve bu arada bunlara eşlik eden sucul makrobitkilerin var olduğu şartlarda depolanmışlardır.

F2. Tabaklı-gözenekli kireçtaşı

Tanım: Fasiyes esas olarak Değne üyesinin en üst seviyelerinde kalın ve yaygın olarak, Kumafşarı üyesi çamurtaşları içinde ise sınırlı olarak yayılım gösterir ve çoğunlukla Çameli havzasının güney kesimlerine yaygındır (Şekil 3.5; Ek1; ÖSK 2, 3, 4, 6, 7, 9, 10, 11, 12, 13, 14, 15, 16, 17, 18, 19, 20 ve 21).

Çizelge 3.5. Traverten (F1) fasiyesine ait bazı örneklerin petrografik özellikleri.

Alındığı yer	Açıklama
ÖSK 6, 136. m	Boşluklu mikritik kireçtaşı (traverten). Boşluklar kısmen ikincil spariksit ile doldurulmuş. Bazı büyük boşlukların duvarlarından/çeplerinden boşluk merkezine doğru drusy kalsit gelişimleri gözlenir. Boşlukların çoğu kuruma/büzülme ile ilgilidir.
ÖSK 6, 147. m	Mikritik kireçtaşı (traverten). Mikrit algal kökenli olmamış. Depolanma yüzeyine paralel ince uzun dalgı/şerit boşluklar şeklinde kuruma düzlemleri ve diğer kuruma/büzülme boşlukları da var. Mikritik doku yer yer ikincil sparitleşme ile (mikrosparitik) kısmen kaybolmuştur.
ÖSK 16, 8. m	Algal biyomikrit (traverten). Açık krem renkli, boşluklu, boşluk duvarlarında ince bir kordon şeklinde mikrosparitik kalsit oluşumları gözlenir. Boşluklar dar, uzun, yer yer merceksi. Bazı boşluklar tamamen, bazıları ise kısmen sparitle dolu.
ÖSK 17, 314.m	Açık krem-bej renkli traverten, boşluksuz veya tamamen mikritik, belirsiz laminalı, çok az boşluklu. Hilal şeklinde seyrek ostrakoda kavkı ve kavkı parçalı.
ÖSK 17, 318.m	Sütlü kahverenkli traverten. Boşluklu. Doğrusal bitki sapları mevcut. Alglerden oluşan açık renkli alanlar sparitik özellikte. Koyu renkli mikritik kısımlar mevcut.



Şekil 3.4. F1 Traverten fasiyesi (17. ÖSK, 315-322. m'ler arası, çekiç 35 cm, Kavalcılar köyü).

Fasiyes, mikritik, beyaz-kirli beyaz-açık sarı renkli, boşluklu/gözenekli, sert, yer yer masif, yer yer tabakalanmalı, bol bitki parça-kök ve kalıplı, biyoturbasyonlu, çoğu yerde gastropoda fosilli, az oranda killi veya kumlu özelliktedir. Kalsitle doldurulmuş küçük kırık ve boşluklara sahiptir. Yer yer kalsit tarafından çimentolanmış intraklast ve taşınmış kirintili malzeme bulundurur. Fasiyes içinden alınan bazı örneklerden petrografik incelemeler yapılmıştır (Çizelge 3.6). Değne üyesi içindeki fasiyesin kalınlığı 60 m (2. ÖSK), 20 m (16. ÖSK) ve 13 m (6. ÖSK) arasında değişir. Fasiyes, Değne üyesi içerisinde yer alındığında, daima bu üyenin en üst kesmini oluştur ve üye daima bu fasiyes ile sonlanır. Üzerine geldiği açık göl fasiyes topluluğu (FT4) ile geçişlidir (16. ÖSK). Fasiyes bu üye içerisinde yüzlerce metre yanal devamlılığa sahiptir. Fasiyesin Kumafşarı üyesi içindeki kalınlığı en fazla bir kaç dm kadardır. Fasiyes, bu üye içerisinde bir kaç metre ile bir kaç on metre yanal devamlılıktadır. Kumafşarı üyesi içinde fasiyes, alttan, bazen laminalı silttaşçı-çamurtaşı (F6) ve çoğunlukla dirsek barı ve set altfasiyes topluluğu (AFT3.1) üzerine geçişli olarak gelirken, üstten hemen daima laminalı silttaşçı-çamurtaşı (F6) tarafından yer yer geçişli dokanaklı, çoğunlukla keskin dokanak ile üzerlenir. Travertenlerin yayılım gösterdiği yerlerde onlarla yanal geçişli ve aratabakalıdır. En iyi yüzeylemeleri Yeşildere, Suçatı ve Ericek köylerindedir.

Yorum: Bol bitki kirintisi ve gastropoda fosili içeren bu kireçtaşları geçici tatlı su göllerinde veya küçük gölcüklerde çökelmiş olmalıdır (Ghosh 1987, Alonso Zarza vd. 1992). Çoğunlukla killi kireçtaş (F3) ve laminalı marn (F4) ardalanmasından oluşan istiflerin üzerinde görülmesi, gittikçe sıqlaşan bir ortama ait çökeller olduğunu işaret eder. Benzer fasiyesin yer yer laminalı silttaşçı-çamurtaşı (F6) fasiyesi ile beraber bulunması ise taşkınlar sonrasında oluşan kısa ömürlü göl koşullarında depolandıklarını düşündürür. Daha doğrusu bu tür taşkınlar gölü beslemiş olmalıdır.

F3. Killi kireçtaş

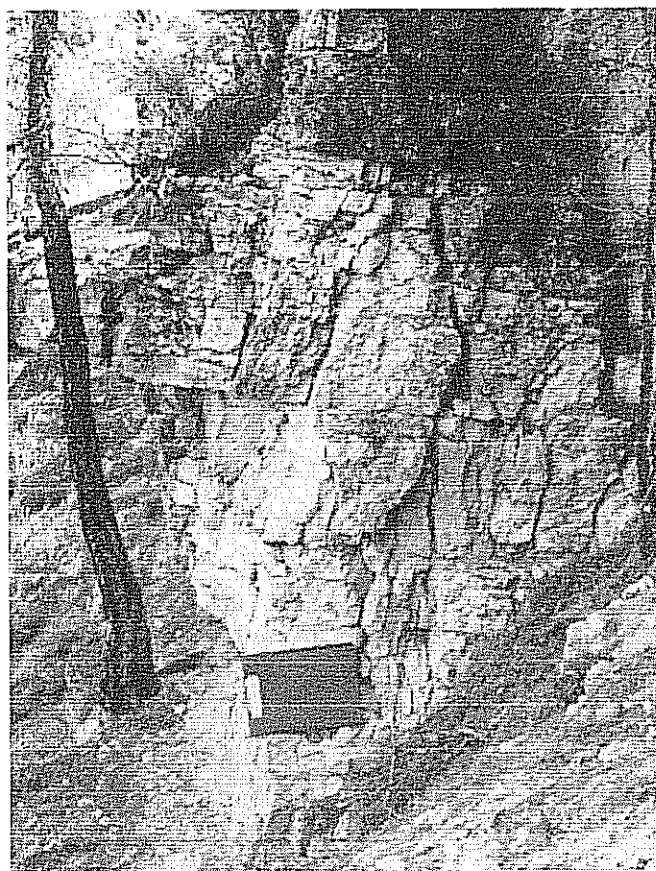
Tanım: Laminalı marn fasiyesi (F4) ile birlikte Değne üyesinin büyük bir bölümünü oluşturan fasiyes daha çok Çameli havzasının güney kesimlerinde yayılım gösterir (Şekil 3.6; Ek 1; ÖSK 5, 6, 8, 9, 11, 12, 16 ve 17). Fasiyes, gri-açık yeşil renkli, gevşek/dağılgan, bütün olarak masif görünümülü ancak iç yapısı zayıfça tabakalanlamalı/laminalanmalıdır. Çok az oranda olmak üzere yer yer gastropoda fosilleri ya da fosil kalıpları içerir. Tümyle Değne üyesinin laminalı marn fasiyesi (F4)

içinde onlardan her zaman daha kalın ve onlarla daima ardalanmalı olmak üzere aratabakalar halinde gözlenir. Fasiyesin toplam kalınlığı bir kaç dm ile 25 m (6. ÖSK) arasında değişir. Tektonik eğimlenme nedeniyle bolca kırıklıdır. Nispeten masif olduğu yerlerde darbelere karşı konkav kırılma yüzeyleri gösterir. Taban ve tavanı düz olan fasiyesin üzerine tabakalı-gözenekli kireçtaşları fasiyesi (F2) geldiği yerlerde, bu fasiyesle geçişlidir (16. ÖSK). Fasiyesin yanal devamlılığı yüzlerce metredir. Değne üyesinin en altında doğrudan bataklık altfasiyes topluluğu (AFT3.3) üzerine yerlesir. 17. ÖSK'da doğrudan metamorfik temel üzerine açısal uyumsuzlukla yerlesir. Bu kesimlerde, karbonat tanelerden oluşan ince kumtaşı seviyeleri de bulundurur. En iyi yüzeylemeleri Sarıkavak, Oğlansını, Evciler, Karabayır ve Kirazliyaya köylerindedir.

Yorum: Gölsel ortamda, göle kıritili malzeme geliminin nispeten az olduğu dönemlerde çökeliş olmalıdır. Killi kireçtaşları; sellenme dönemlerinde karbonatça zengin suların göle taşınması ve göl suyunun karbonata doyması ile depolanırlar (Hardie vd. 1978).

Çizelge 3.6. Tabakalı-gözenekli kireçtaşları (F2) fasiyesine ait örneklerin petrografik özellikleri

Alındığı yer	Açıklama
ÖSK 2, 45. m	Gölsel kireçtaşları. Açık krem renkli alg kökenli peloidal mikrit. Boşluklu ve boşluk duvarlarında ikincil sparikalsit oluşumu. Gastropoda ve ostrakoda kavaklı parçaları içerir. Boşluklar kuşgözü tarzında az çok çökelme yüzeyine平行 ve uzunlamasına gelişmiş. Kısmen taneli dokuda.
ÖSK 2, 62. m	Gölsel kireçtaşları. Koyu renkli mikrit. Bütünsel kavaklı bol ostrakod kavaklı, laminalı mikritik kireçtaşları. Kavaklı parçaları lamina düzlemlerine parallel dizilmiş. Merceksi ve bütün kavaklıların içi sparikalsitle doldurulmuş. Boşluklarda lamina düzlemlerine parallel ve merceksi geometriye sahip.
ÖSK 6, 138. m	Boşluklu mikritik kireçtaşları. Boşluklar kısmen ikincil sparikalsit ile doldurulmuş. Bazı büyük boşlukların duvarlarından/çeplerinden boşluk merkezine doğru drusy kalsit gelişimleri gözlenir. Boşlukların çoğu kuruma/büzülme ile ilgilidir.
ÖSK 7, 115.m	Boşluklu peloidal mikrit, boşluklarda ikincil sparikalsit oluşumları. Su yüzeyine yakın ve zaman zaman su üstü olma ile kuruma/büzülme olaylarının gerçekleştiği çok sık, düşük enerjili bir tatlı su gölü ürünü.
ÖSK 9, 254.m	Kahverenkli, dalgalı laminalı, açık ve koyu kahve kısımları var. Lamina düzlemlerine parallel dizilmiş çubuk şeklinde bitki yapıları mevcut. Bütün ve parça halinde ostrakoda, gastropoda kavaklı ve boşluklu.
ÖSK 11, 290.m	Taneli gölsel kireçtaşları. Açık krem renkli, irili ufaklı mikritik tanelerden oluşmuş. Tane çapları 7-8 mm'den 0.5 mm veya daha az. İri tanelerden bazıları intraklast. Seyrek ostrakoda kavaklı. Taneler arasında boşluklar ve duvarları ve tane dış kenarları açık renkli bir halka ile çevrilmiş.
ÖSK 11, 112.m	Açık krem-bej renkli gölsel kireçtaşları. Boşluklu, boşluk çeperlerinde ince açık renkli mikrosparitik bir kordon oluşmuş. Bazı boşluklarda kırmızı kahve demir oksit yerleşimleri var. Mikritik kısımlar benekli ve algal kökenli.



Şekil 3.5. F2 Tabakalı-gözenekli kireçtaş fasiyesi (10. ÖSK, 60-118. m arası, Yeşildere köyü).



Şekil 3.6. F3 Killi kireçtaş fasiyesi (5. ÖSK, 50-100. m'ler arası, döküntü nedeniyle yarma yüzeyi nispeten örtülmüştür, Kızılarmut mahallesi).

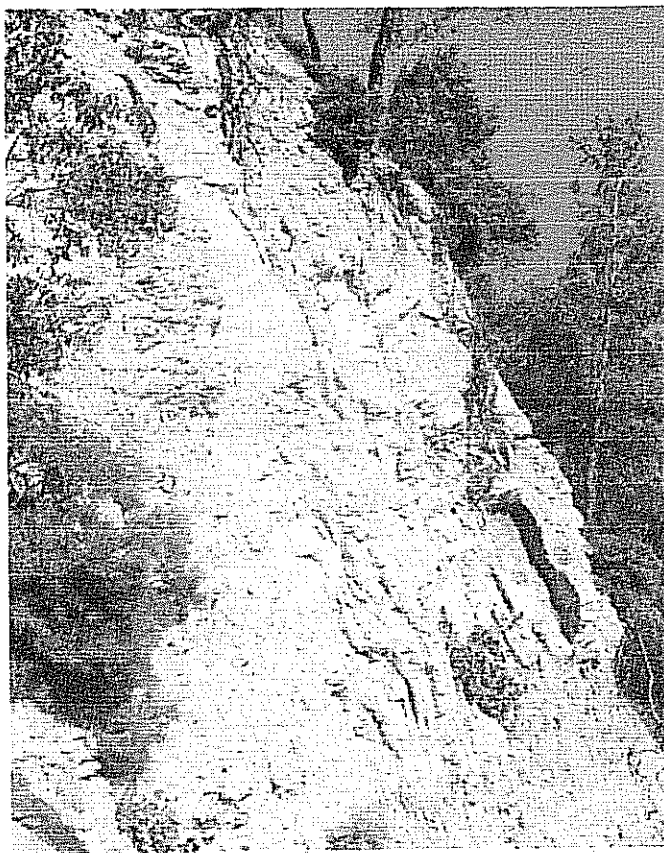
F4. Laminalı marn

Tanım: Killi kireçtaş fasiyesi (F3) ile birlikte Değne üyesinin büyük bir bölümünü oluşturan fasiyes daha çok Çameli havzasının güneyinde yayılım gösterir (Şekil 3.7; Ek 1; ÖSK 4, 5, 6, 8, 9, 10, 11, 12, 15, 16 ve 17). Gri-Açık yeşil renkli, gevşek/dağılgan, tektonik eğimlenme nedeniyle bol kırıklı olup bundan dolayı masif olarak görünümeye ancak zayıfça laminalanma izlenebilmektedir. Çok az oranda gastropoda fosil ve fosil kalıntıları içerir. Kalınlığı bir kaç dm (12. ÖSK) ile 22 m (6. ÖSK) arasında değişir. Daha az kırıklı, nispeten masif olduğu yerlerde darbelere karşı konkav kırılma gösterir. Tabaka alt ve üst yüzeyi genellikle düzgün olmakla beraber altındaki ve üstündeki fasiyelerle geçişli olarak da gözlenebilir. Fasiyes içinden; *Melanopsis (Lyrcea)* *narzolina* BONELLI, *Pseudamnicola (Sandria) kochi*, BRUSINA, *Pseudamnicola margarita* NEUMAYR ve *Pseudamnicola margarita nuda* JEKELIUS fosilleri elde edilmiştir (Kapan-Yeşilyurt 2001, sözlü görüşme). Fasiyes içinden alınan örneklerin % 10 HCL asit ile yapılan rezidüel analiz sonucunda belli oranlarda CaCO₃ içerdiği belirlenmiştir (Çizelge 3.7). Sarıkavak-Kumafşarı, Uzunoluk-Çameli ve Dirmil fayları ile normal faylı ilişkidedir (Şekil 2.1). Daima killi kireçtaş fasiyesi (F3) ile ardalanmalıdır ve daha az kalınlıktadır. Bazen, özellikle 16. ÖSK'da olduğu gibi, tabaklı-gözenekli kireçtaş fasiyesi (F2) ile üzerlenir. En iyi yüzeylemeleri Sarıkavak, Oğlansını, Karabayır, Evciler ve Ericek köylerindedir.

Çizelge 3.7. Laminalı marn (F4) fasiyelerinden alınan bazı örneklerin rezidüel analiz değerleri.

Örneğin alındığı ÖSK no	CaCO ₃ (gr)	KİL (gr)	KUM (gr)
6	1,5	8,3	0,2
9	3,1	6,9	-
11	1,9	8,1	-
16	3,4	6,6	-
17	6,7	3,1	0,2

Yorum: *Melanopsis (Lyrcea) narzolina* BONELLI, *Pseudamnicola (Sandria) kochi*, BRUSINA, *Pseudamnicola margarita* NEUMAYR ve *Pseudamnicola margarita nuda* JEKELIUS fosillerini içeren fasiyes açık göl ortamını temsil eder (Kapan-Yeşilyurt 2001, sözlü görüşme). Gölsel ortamda, göle kirintılı malzeme geliminin çok az olduğu dönemlerde çökelmiş olmalıdır (Hardie vd. 1978).



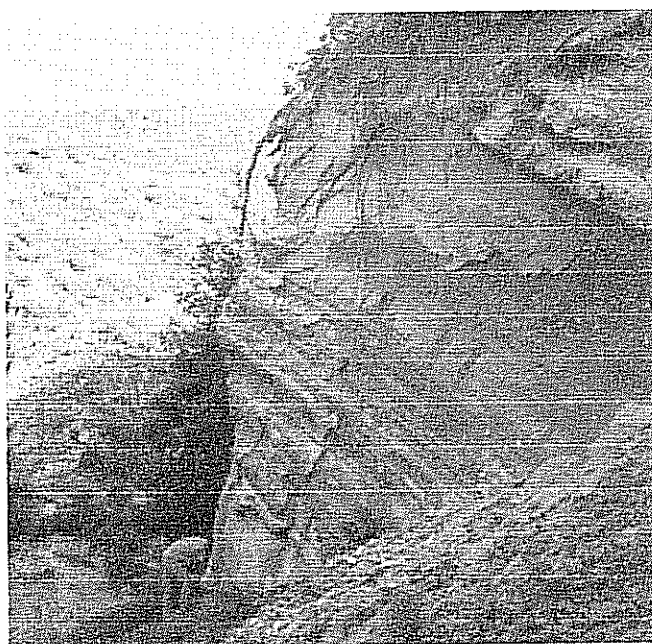
Şekil 3.7. F4 Laminalı marn fasiyesi (8. ÖSK, 30-45. m'ler arası).

F5. Kömür

Tanım: Genellikle Kumafşarı üyesinin en üst kesimi ve Değne üyesinin tabanındaki bataklık altfasiyes topluluğu (AFT3.3) içinde yaygın olarak gözlenen fasiyes daha az oranda Kumafşarı üyesi içindeki laminalı silttaşçı-çamurtaş fasiyesi (F6) içinde gözlenir (Şekil 3.8; Ek 1; ÖSK 4, 6, 9, 12, 16 ve 17). Olgunlaşmamış, bol bitki kök-kırıntı ve parçalı, koyu kahve-siyah renkli, laminalı silt ve çamur arakatkılı, ezilmiş veya sağlam gastropoda fosilli, oldukça gevşek ve dağılgan, merceği geometrili olan fasiyes bir kaç cm'den bir kaç on cm'ye kadar kalınlıktır. Fasiyes, Değne üyesinin altındaki bataklık altfasiyes topluluğu (AFT3.3) içinde bulunduğuunda topluluk içindeki çamurtaşları ile aratabakalı olmak üzere 10 m'den fazla kalınlığa ve onlarca metre yanal devamlılığa sahiptir. Fasiyes içinde bol miktarda mikro-memeli diş ve kemik fosilleri ile balık diş ve kemik fosilleri bulundurur. Tektonik eğimlenmeden etkilendiği için çoğu yerde normal faylarla kesilmiş, kırıklı yapıdadır. Bu kırılmalar ve fasiyesin kendi dağılgan özelliği çoğu yerde iç yapıyı gözlemlemeyi güçleştirir. Bu kömür seviyelerinden bazıları yöre

halkı tarafından mevsimlik kullanım için basit yöntemlerle işletilmektedir. En iyi yüzeylemeleri Ericek, Sarıkavak, Kolak, Oğlansını ve Elmaliyurt köylerindedir.

Yorum: Bol bitki kök ve kirintisi içeren, olgunlaşmamış bu kömürler otokton bataklık çökelleridir (Fielding 1984, McCabe 1984). Bölgedeki kömürlerin düşük eğimli akarsuların set üstü ve taşkin düzлüklerinde depolandıkları söylenebilir. Büyüme fayları içermesi, depolanması sırasında subsidansın sürdürünü işaret eder.



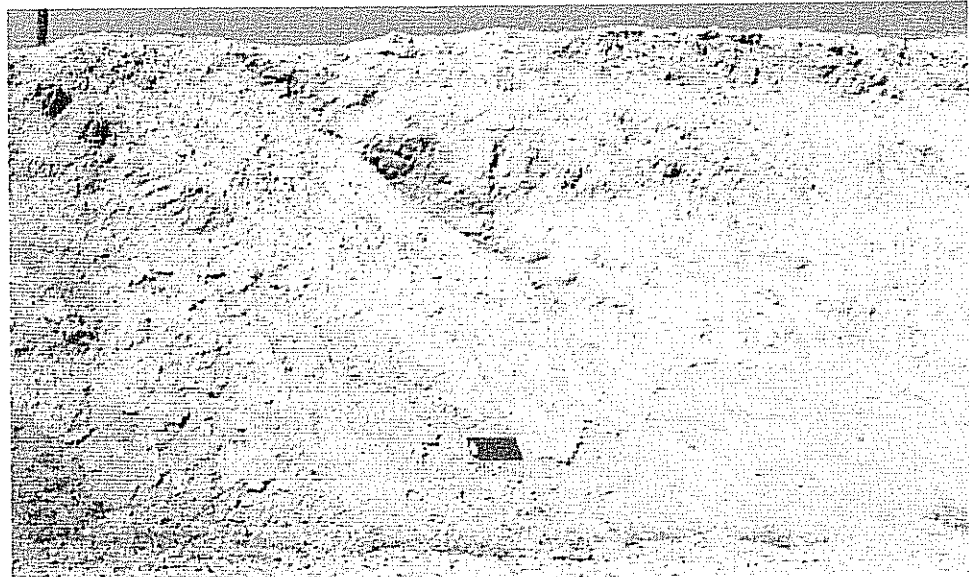
Şekil 3.8. F5 Kömür fasiyesi (16. ÖSK, 42-85. m'ler arası, aynı zamanda Çizelge 2.1'de görülen Ericck memeli fosil lokalitesidir, Ericek köyü).

F6. Laminalı silttaşçı-çamurtaşı

Tanım: Özellikle Kumafşarı üyesin içinde büyük yer tutan fasiyes daha çok havzanın kuzeyi kesimlerinde yaygındır (Şekil 3.9; Ek 1; ÖSK 2, 3, 4, 6, 7, 8, 9, 11, 12, 13, 14, 15, 16, 17, 18, 19, 20 ve 21). Fasiyes paralel laminalı ve ince tabakalı silttaşları ile kalın ve zayıfça tabakanmanın izlenebildiği masif çamurtaşları ve silttaşları ile bunlar içinde bulunan merceğiği iyi yuvarlaklaşmış ince çakılı ve kumlu seviyelerden oluşur. İçerdiği merceklerde ripil laminalı kumtaşı fasiyesi (F12) görülebilir. Bu merceklerin yanal devamlılıkları en fazla 10 m, kalınlıkları 5-30 cm arasında değişir. Saçınaklı halde, çoğunuğu ofiyolitik malzemeden oluşan iyi yuvarlaklaşmış çok ince çakıllar bulundurabilir. Zayıf-orta derecede tutturulmuş olan fasiyes, biyoturbasyonlu, ender olarak gastropoda fosilleri ve fosilleşmiş bitki kök, kalıp ve parçaları bulundur. Gri,

çok açık yeşil ve yer yer açık kahve renklidir. Fasiyesin kalınlığı genellikle bir kaç metre olup en fazla 14 m (19. ÖSK), yanal devamlılığı bir kaç yüz metredir. Tabanı ve tavanı çoğunlukla düzgün yüzeyli olmasına karşın, kaba taneli fasiyeler (F7, F8, F10, F11, F13, F15) bu fasiyes içine kazıma ile yerleşmiştir. Fasiyes içindeki tabakalanma ara yüzeyleri düzgündür, bu ara yüzeyler genellikle renk tonu farkından ayırt edilebilir. Bu yüzeylerin görülemediği yerler sıkışma veya biyoturbasyon nedeniyle bozulmaya uğramıştır. Fasiyes, tabaklı-gözenekli kireçtaşı (F2), kömür (F5), traverten (F1), masif çakılı kumtaşı (F7), epsilon çapraz tabaklı kumtaşı (F8), paralel tabaklı kumtaşı (F9), düzlemsel çapraz tabaklı kumtaşı (F10), teknemsi çapraz tabaklı kumtaşı (F11), ripil laminalı kumtaşı (F12), tane destekli konglomera (F13), paralel tabaklı konglomera (F14) ve düzlemsel çapraz tabaklı konglomera (F15) fasiyeleri ile yanal ve düşey ilişkidedir. Sarıkavak-Kumafşarı, Uzunoluk-Çameli ve Alçı-Kelekçi fayları ile normal faylı ilişkidedir.

Yorum: Fasiyesin siltli kısımları bar üstü ve set üstü tortullarına karşılık gelirler (Bull 1977). Ara seviyeler halinde görülen merceksi kumtaşları küçük tali kanal çökellerine karşılık gelirler (Fielding 1984). Merceksi geometrili, çapraz tabaklı iyi yuvarlaklaşmış ince çakılı kumtaşları içeren fasiyes, kanallar arası bölgelerde veya taşın düzlüklerinde süspansiyondan çökelmiş olmalıdır (Collinson 1978).



Şekil 3.9. F6 Laminalı silttaşçımurtaş fasiyesi (21. ÖSK, Yusufça köyü).

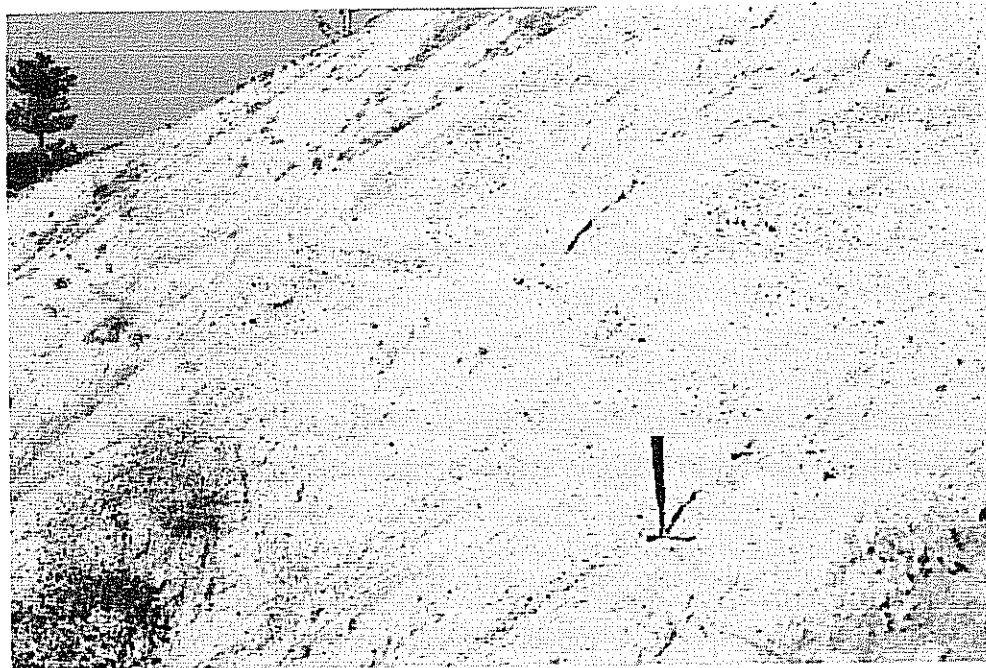
F7. İnce konglomera-kaba kumtaşı

Tanım: Kumafşarı üyesi, içinde önemli bir yer tutan fasiyes, daha çok havzanın kuzey kesimlerinde yaygındır (Şekil 3.10; Ek 1; ÖSK 1, 2, 3, 4, 5, 6, 7, 8, 9, 10, 11, 12, 13, 14, 15, 16, 17, 18, 19, 20 ve 21).

Zayıf-orta derecede tutturulmuş olan fasiyesin tane bileşenleri büyük oranda ofiyolitlerden türeme tanelerden ve az oranda da metamorfik karbonat tanelerinden oluşur. Bu haliyle sahada genellikle açık yeşil-yeşilimsi gri-gri renklerde izlenir. Egemen olarak orta-iri kum boyunda tanelerden oluşan fasiyesin içindeki çakıl taneleri maksimum 3 cm, ortalama 0.5 cm'dir. Fasiyes, bir bütün olarak ele alındığında orta-kötü boylanmış, iyi yıkanmış ve taneler orta derecede yuvarlaklaşmıştır. Fasiyesin özellikle taban kesimlerinde, seyrek olarak, yuvarlaklaşmış ince-orta boy çakıl saçınımlı ve genellikle normal derecelenme izlenir. Çakıllar yer yer bir kaç cm'den bir kaç on cm'ye kadar kalınlıktaki seviyeler içinde yoğunlaşırlar ve daha çok fasiyesin alt kesimlerinde bulunurlar. Çakıl içerdiği kesimlerinde normal dereceli olan fasiyesin toplam kalınlığı bir kaç on cm ile bir kaç metre arasında, yanal devamlılığı en fazla bir kaç on metre arasındadır.

Aşınmalı tabanla bazen laminalı silttaşçı-çamurtaşlı fasiyesinin (F6) bazen de epsilon çapraz tabakalı kumtaşı (F8), teknemsi çapraz tabakalı kumtaşı (F11) ve düzlemsel çapraz tabakalı kumtaşı (F10) fasiyelerinin üzerine yerlesir. Üzerine çoğunlukla laminalı silttaşçı-çamurtaşlı fasiyesi (F6) gelir. Bazen de paralel tabakalı kumtaşı fasiyesine (F9) geçer. Epsilon çapraz tabakalı kumtaşı (F8), teknemsi çapraz tabakalı kumtaşı (F11), düzlemsel çapraz tabakalı kumtaşı (F10) fasiyelerinin üst kesimlerinde, onlarla yanal geçişli veya yer yer onların içinde merceksi geometride bulunur.

Yorum: Aşınmalı taban, merceksi geometri ve iri tane boyuna sahip tortullar kanalların içerisindeki kuvvetli akıntılar ve yatak yükü taşınmasını işaret eder. Middleton ve Hampton (1976) masif kumtaşlarını, akıntı içinde tane-tane etkileşmesinin ortaya çıkardığı yönlü basınçların meydana getirdiği akıntılar sonucu oluşabileceğini belirtir. Kumtaşları geniş bir kanal içerisinde oygu-dolgu şeklinde çökelebileceği gibi, örgülü kanallarda da oluşabilirler. Sellenme sonucu yatak yükünün kum yaygısı şeklinde birikmesi ile depolanmış olmalıdır (Miall 1977, Rust 1978, Todd 1989, Maizels 1993).



Şekil 3.10. F7 İnce konglomera-kaba kumtaşı fasiyesi (21. ÖSK, Yusufça köyü).

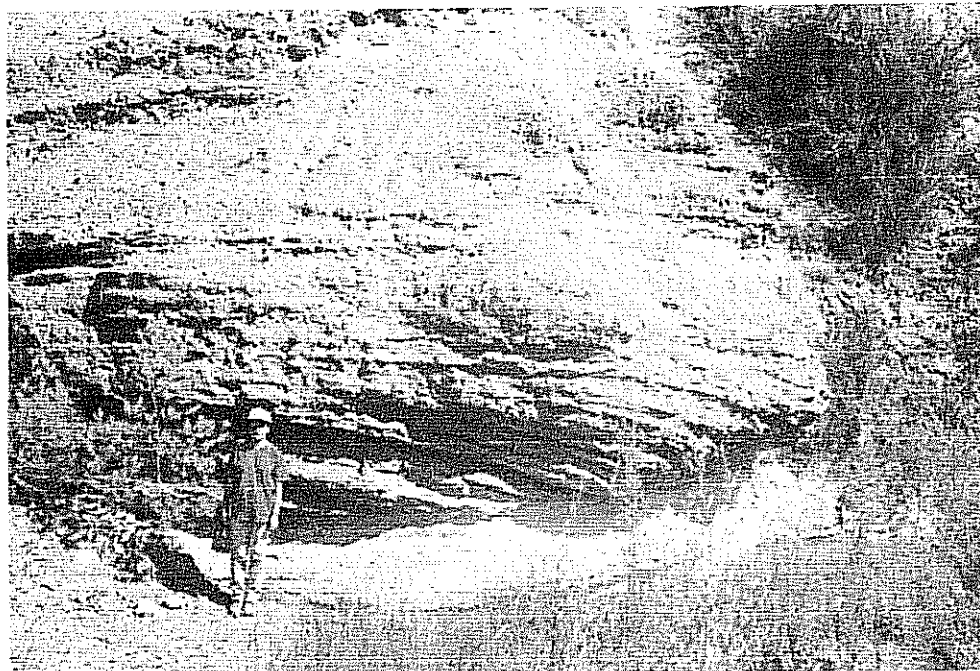
F8. Epsilon çapraz tabakalı kumtaşı

Tanım: Epsilon çapraz tabakalı kumtaşlarından oluşan fasiyes, havzanın kuzey kesimlerinde başlıca Kumafşarı üyesi içinde yaygındır (Şekil 3.11; Ek 1; ÖSK 1, 2, 3, 4, 5, 6, 7, 8, 9, 10, 11, 12, 13, 14, 15, 16, 17, 18, 19, 20 ve 21). Orta-iri taneli kumlar ve saçılımlı veya çapraz tabaka setlerinin tabanına yerleşmiş ince-iri boy iyi yuvarlaklaşmış çakıllardan kurulu olan fasiyesin kumlu kesimleri orta-iyi boylanmıştır. Çakıl içерdiği kesimlerinde boylanma kötüdür. Fasiyes tümüyle tane destekli, iyi yıklanmış, orta-iyi derecede yuvarlaklaşmış ve orta-zayıf derecede tutturulmuştur. Tane bileşenlerinin büyük çoğunluğu ofiyolitik, daha az miktarı ise metamorfik karbonatlardan oluşur. Bu nedenle rengi genellikle açık yeşil-yeşilimsi gri-gridir. Çapraz tabaka kalınlığı 5-20 cm, fasiyesin kalınlığı en az 1 m, en fazla birkaç metredir. Her bir çapraz tabaka kendi içinde normal derecelidir. Yanal devamlılığı bir kaç metre ile onlarca metre arasında değişip merceği geometridedir.

Çoğunlukla masif çakıllı kumtaşları (F7), düzlemsel çapraz tabakalı kumtaşları (F10), teknemsi çapraz tabakalı kumtaşları (F11), ripil laminalı kumtaşları (F12), paralel tabakalı kumtaşları (F9), tane destekli konglomeralar (F13) ve düzlemsel çapraz tabakalı konglomeralar (F15) ile yanal ve düşey ilişkidedir. Fasiyes tümüyle laminalı silttaşçıcamurtaşı (F6) fasiyesi içine aşınmalı olarak yerleşmiştir, bu durumda tabanında

daima çamurtaşı tanelerini gecikme çökeli olarak bulundurur. Çoğunlukla da fasiyes tabanında gecikme çökeli olarak iri ($\text{max}_t = 30 \text{ cm}$) çamurtaşısı, metamorfik karbonat ve az oranda da ofiyolit blokları bulundurur. Üzerine hemen daima paralel tabakalı kumtaşı (F9) veya masif çakılı kumtaşı (F7) fasiyesleri gelir. Bazen doğrudan laminalı silttaşçı çamurtaşısı (F6) fasiyesi tarafından, çok ender olarak da tabakalı-gözenekli kireçtaşısı (F2) fasiyesi tarafından üzerlenir. Üst seviyelerinde ripil laminalı kumtaşı (F12) veya paralel tabakalı kumtaşı (F9) fasiyeslerini bulundurabilir. Fasiyes içinde bazen çapraz tabakalar birbirlerini keser durumdadır. Bazen laminalı silttaşçı-çamurtaşısı (F6) içinde tek başına merceksi geometride yer alabilen fasiyes, tabandan diğer fasiyesleri çoğunlukla aşınmalı olarak üzerler.

Yorum: Epsilon çapraz tabakalanmalar Allen (1963) tarafından adlanmış ve menderesli nehirlerin dirsek barlarına ait yanal yığışım yüzeyleri oldukları belirtilmiştir. Collinson (1978), aşınma yüzeyi üzerinde çamurtaşı parçaları içeren, düşük açılı çapraz tabakalı benzer fasiyeslerin düzensiz hidrolik rejimi yansittığını, Cant (1982) ise epsilon çapraz tabakalanmaların menderesli nehirlerin dirsek barlara karşılık geldiğini belirtir. Çamurtaşları içinde yer alan bu fasiyesin yukarıdaki yorumlara dayanarak, menderesli nehirlerin dirsek barlarına ait yanal yığışım yüzeyleri olduğu düşünülmektedir.



Şekil 3.11. F8 Epsilon çapraz tabakalı kumtaşı fasiyesi (7. ÖSK, 43-47. m'ler arası, Alçı köyü).

F9. Paralel tabakalı kumtaşı

Tanım: Kumafşarı üyesi içinde bulunan fasiyes, havzanın kuzey kesimlerinde daha yaygındır. (Şekil 3.12; Ek 1; ÖSK 1, 2, 3, 4, 5, 6, 7, 8, 9, 10, 11, 12, 13, 14, 15, 16, 17, 18, 19, 20 ve 21). Fasiyes orta-iri taneli, yatay tabakalı kumtaşlarından oluşur ve çoğu yerlerde saçılı halde iyi yuvarlaklaşmış ince çakıl taneleri içerir. Bu çakıllar çoğunlukla alt kesimlerde yaygındırlar ve yer yer fasiyesi oluşturan tabakalar içinde normal derecelenme gözlenebilir. Orta-iri boy kumlardan oluşan fasiyes iyi yuvarlaklaşmış, iyi yıkanmış, orta-kötü boylanmış, tane destekli olup zayıf-orta derecede tutturulmuştur. 10-20 m kadar yanal devamlılıkta ve merceksi geometridedir. Tabaka üst yüzeyi daha ince taneli fasiyeler tarafından örtülüduğunda düzgündür, taban yüzeyi ise genellikle düzgündür. Tabaka kalınlıkları 5-15 cm, fasiyes kalınlığı ise bir kaç metre kadar olabilmektedir. Tane bileşenlerinin büyük bir kısmı ofiyolitik, daha az kısmı ise metamorfik karbonatlardan oluşur. Bu nedenle açık yeşil-yeşilimsi gri-gri renklerde gözlenir. Kumafşarı üyesi içinde yukarı doğru incelen kanal dolgusu istiflerinin çoğunlukla üst kesimlerini oluşturur. Paralel tabakalı konglomeralar (F14) üzerinde yer alan fasiyes çoğunlukla laminalı silttaşçımurtaşı (F6) fasiyesi tarafından örtülür. Ayrıca üst kesimlerinde ripel laminalı kumtaşları (F12) ile teknemsi çapraz tabakalı kumtaşları (F11), düzlemsel çapraz tabakalı kumtaşları (F10) bulanabilir ve bu fasiyelerle hemen daima yanal ve düşey ilişkidedir.

Yorum: Sellenme dönemlerinde gelişmiş yatak yükünün yaygı çökelleridirler (Rust 1978). Üst akış rejimi ürünü olup, sığ derinlikte yüksek hızlı akıntılar ile gelişmiş olmalıdır (Collinson 1978).

F10. Düzlemsel çapraz tabakalı kumtaşı

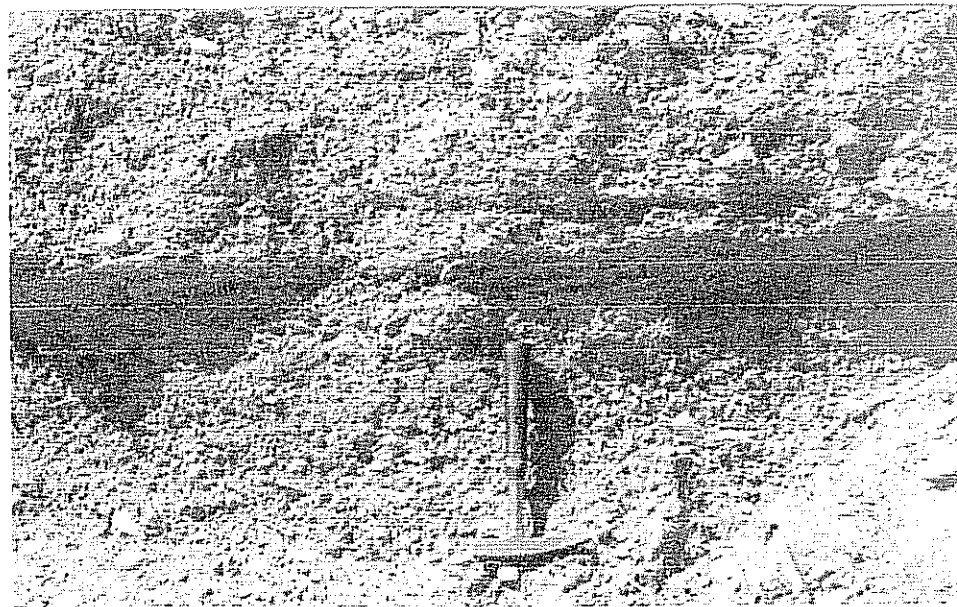
Tanım: Kumafşarı üyesi içinde yaygın olarak görülen fasiyes daha çok havzanın kuzey kesimlerinde yayılım gösterir (Şekil 3.13; Ek 1; ÖSK 1, 2, 3, 4, 5, 6, 7, 8, 9, 10, 11, 12, 13, 14, 15, 16, 17, 18, 19, 20 ve 21). Orta-iri boy kumlardan ve bunlar içinde seyrek olarak saçılımış ince çakıllardan kurulu olan fasiyes, tane destekli, iyi yıkanmış, orta derecede boylanmış ve zayıf-orta derecede tutturulmuştur. Çapraz tabakalar 5-20 cm kalınlığında olup kendi içinde derecelidirler ve fasiyesin toplam kalınlığı 1.5-2 m'dir. Çapraz tabaka eğimleri (foresetler) 5° - 10° arasındadır. Fasiyesin içerdiği ince çakıl taneleri çoğunlukla çapraz tabaka yüzeylerinin (ön takımlara paralel) alt kesimlerinde dizili halde dirler. Çapraz tabakaların her biri kendi içinde dereceli oldukları görülür.

Fasiyes bir çok dülemsel çapraz tabaka setlerinin üst üste gelmesinden oluşabilir. Ofiyolitik tane bileşenlerin bolluğuundan dolayı açık yeşil-yeşilimsi gri-gri renktedir. Daha az oranda metamorfik karbonat taneleri içerir. 17. ÖSK'da fasiyes içinde bol miktarda fosil balık dişleri ve fosil balık kemikleri bulunmuştur. Fasiyes hemen daima diğer kumtaşı fasiyeleri ile yanal ve düşey ilişkidedir. Çoğu zaman üzerine paralel tabakalı kumtaşı (F9), ripil laminalı kumtaşı (F12) ve masif çakılı kumtaşı (F7) fasiyeleri yerlesir. Yanal devamlılığı her zaman içinde bulunduğu diğer kumtaşı fasiyeleri ile uyumlu ve bir kaç on metre kadar olup merceksi geometridedir. Tabanı çoğu zaman aşınmalı ve çoğu zaman da üzerine gelen diğer kaba kirintılı fasiyeler (özellikle kumtaşı fasiyeleri), bu fasiyesi aşındırarak yerleşirler. Çoğunlukla laminalı silttaşçı-çamurtaşı (F6) üzerine aşınmalı taban ile yerlesir, bu durumda taban kesimlerinde iri çamurtaşı topacıkları bulundurur. Altan ve üstten aşınmalı taban ile aynı fasiyes tarafından değişik açılarla kesilebilir.



Şekil 3.12. F9 Paralel tabakalı kumtaşı fasiyesi (17. ÖSK, 280-290. m'ler, Kavalcılar köyü).

Yorum: Fasiyesin çapraz tabakalı oluşu su akımları ile depolandığı ve yatak yükünün yanal yönde taşınımı ile olduğunu gösterir (Rust 1978). Bu tür düzlemsel çapraz tabakalar, iki boyutlu (2D) kumlu barların (Harms vd. 1982), kumlu boyuna barların (Boothroyd ve Ashley 1975, Miall 1977, Allen 1983, Crowley 1983), enine barların (Smith 1972) ya da verev barların (Todd 1996) göçü ile meydana gelirler. Fasiyesin, enine barların akıntı yönünde ilerlemesi sonucu olduğu söylenebilir.



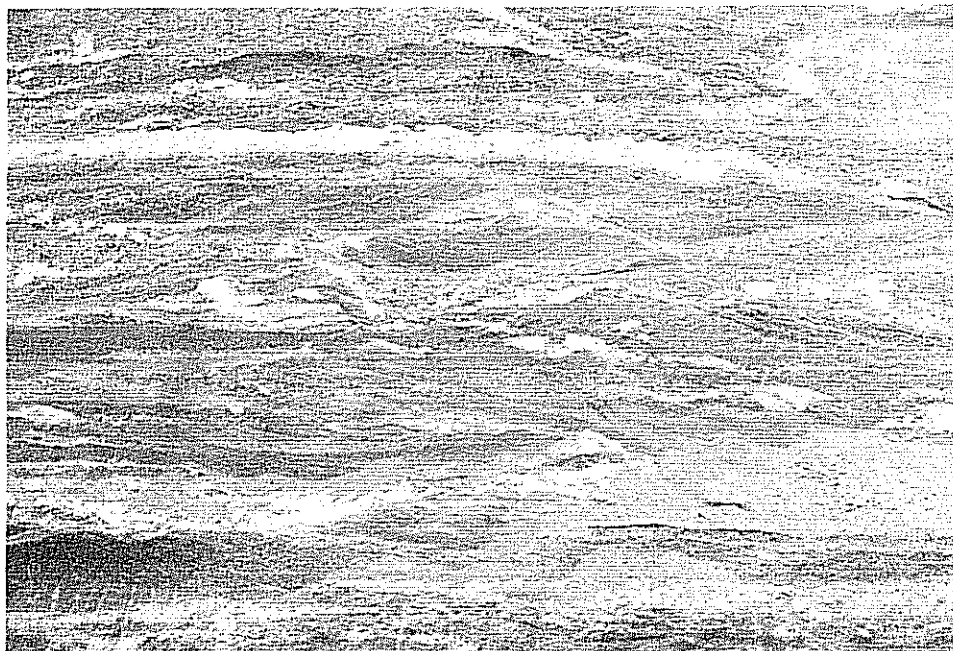
Şekil 3.13. F10 Düzlemsel çapraz tabakalı kumtaşı fasiyesi (31. ÖSK, 35-36. m, Köke köyü).

F11. Teknemsi çapraz tabakalı kumtaşı

Tanım: Kumafşarı üyesi içinde yaygın olarak görülen fasiyes daha çok havzanın kuzey kesimlerinde yaygındır (Şekil 3.14; Ek 1; ÖSK 1, 2, 3, 4, 5, 6, 7, 8, 9, 10, 11, 12, 13, 14, 15, 16, 17, 18, 19, 20 ve 21). Bu fasiyesi oluşturan kumtaşları tane destekli, iyi yılanmış, iyi yuvarlaklaşmış, orta derecede boylanmış ve zayıf-orta derecede tutturulmuştur. Merceksi geometride olup yanal devamlılığı en fazla bir kaç metredir. Fasiyes, orta-iri taneli kumtaşlarından oluşup seyrek olarak iyi yuvarlaklaşmış ince çakıllar içerir. Daha iri çakıl taneleri çoğunlukla çapraz tabaka düzlemlerine paralel olarak dizilmiş ve taban kesimlerinde yoğunlaşmışlardır. Bu durumda her bir çapraz tabaka kendi içinde derecelidir. Her zaman diğer kaba kıritılı fasiyeler içinde veya üzerinde bulunur. Tane bileşenleri, yayılımı ve Kumafşarı üyesi içindeki bolluğu diğer kumtaşı fasiyelerine az çok benzerdir. Ofiyolitik tane bileşenlerin bollığından dolayı açık yeşil-yeşilimsi gri-gri renktedir. Az oranda metamorfik karbonat taneleri içerir. Fasiyesin toplam kalınlığı genellikle bir kaç on cm'dir ve 2 m'yi geçmez. Tabaka kalınlığı ise 2-5 cm'dir. Fasiyes, bazen laminalı silttaşçımurtaşı (F6) üzerine aşınmalı olarak, çoğu zaman ise diğer kıritılı fasiyelerin (F6, F8, F10, F13, F14, F15) içinde, bunlarla yanal ve düşey ilişkide görülür. Bazen de düzlemsel çapraz tabakalı kumtaşları (F10) ile yanal geçişlidir. Laminalı silttaşçımurtaşı fasiyesi (F6) üzerine geldiği yerlerde oluk ve kaval yapıları gibi taban yapıları ender olarak görülebilir ve bu

durumda taban seviyelerinde çamurtaşı parçaları içerir. Tavanı laminalı silttaşılı çamurtaşı fasiyesi (F6), ripil laminalı kumtaşı fasiyesi (F12) ve páralel tabakalı kumtaşı fasiyesi (F9) tarafından üzerlendiğinde düzgün, kendisinden daha kaba taneli fasiyeler (F13, F14, F15) tarafından üzerlendiğinde ise aşınmalıdır. Bazen paralel tabakalı kumtaşları (F9) ile geçişlidir.

Yorum: Fasiyes, üç boyutlu (3D) kumulların göçü ya da küçük kanal dolgusu, kazıntı çukurlarının dolması ile oluşabilir (Miall 1977, Harms vd. 1982, Tyler ve Ethridge 1983, Siegenthaler ve Huggenburger 1993). Büyük ölçekli teknelimi çapraz tabakalar, sinüslü nehirlerin dirsek ve yan barları üzerindeki "dune"lerin iç yapısıdır (Harms ve Fahnestock 1965, Williams 1971). Fasiyes oygu-dolgu tarzında kanal ortamında depolanmış olmalıdır.



Şekil 3.14. F11 Teknelimi çapraz tabakalı kumtaşı fasiyesi (28. ÖSK, 20-50. m'ler arası).

F12. Ripil laminalı kumtaşı

Tanım: Kumafşarı üyesi içinde yaygın fakat bolluğu az olan fasiyes, çok ince-ince taneli kum veya silt boyu tanelerden oluşup ripil çapraz laminalıdır (Şekil 3.15; Ek 1; ÖSK 1, 2, 3, 4, 5, 6, 7, 8, 9, 10, 11, 12, 13, 14, 15, 16, 17, 18, 19, 20 ve 21). İnce-orta boy kumlardan oluşan fasiyes, ofiyolitik tane bileşenlerin bolluğundan dolayı açık yeşil-yeşilimsi gri-gri renktedir. Kalınlığı 3-10 cm olan fasiyes laminalardan oluşur. Yanal devamlılığı bir kaç cm, ender olarak da bir kaç metre olabilmektedir. Ayrıca laminalı

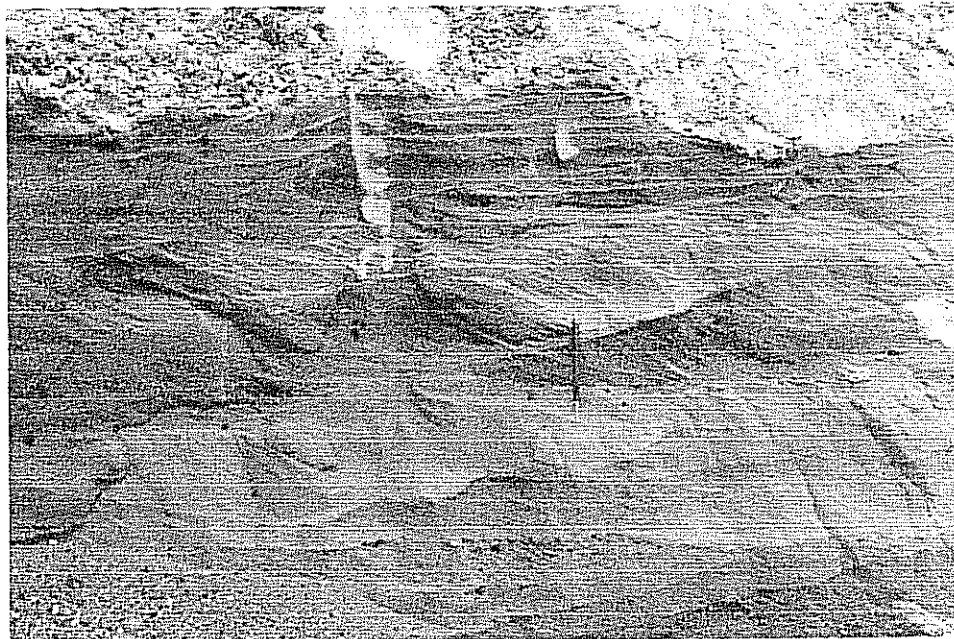
silttaşçımurtaşı fasiyesi (F6) içinde de görülür. Kumafşarı üyesinden ölçülen tüm kesitlerde yaygın olarak fakat az bollukta görülür. Merceksi geometride, tane destekli, iyi boylanmış ve zayıf-orta derecede tutturulmuştur. Çapraz laminasyon çoğunlukla asimetrik, bazı yerlerde ise simetrik gelişmiştir. Genellikle düzlemsel çapraz tabaklı kumtaşları (F10), teknesi çapraz tabaklı kumtaşları (F11) ve paralel tabaklı kumtaşları (F9) fasiyeleri ile beraber ve çoğunlukla bu fasiyelerin üst kesimlerinde bulunur. Üstte ince taneli tabaklı kumtaş fasiyesine (F10) ya da masif çakılı kumtaş fasiyesine (F7) dereceli olarak geçebilir. Yukarı doğru tane boyunda incelen istiflerin üst kesimlerinde bulunur. Laminalı silttaşçımurtaşı (F6) içindeki aşınmalı taban ile merceksi konumda bulunup çoğu kez bu fasiyes tarafından üzerlenir.

Yorum: Bu tür tortul yapılar küçük ölçekli akıntı ripillerinin göçü ile oluşur (Miall 1977, Bridge 1984, Collinson 1978). Benzer fasiyeler genellikle alt akıntı rejiminin alt kısımlarında akan tek yönlü akıntıları işaret eder (Simons vd. 1965). Benzer yapılar, orta-ince taneli kumlarda yaygın olmak üzere gürçel nehirlerde orta-ince taneli kumlar içinde, dirsek barlarının üst kısımlarında görülp, zayıf akıntılarla oluşurlar (Plint 1983). Çapraz laminasyon, üst akış sırasında oluşan ripillerin ön takımlarıdır. Set ve set üstü tortullarını işaret eder (Collinson 1978). Bunlarla birlikte çapraz laminalı setlerin bolluğu, dalgalı lamina setleri ve küçük ölçekli dalga ripilleri, sürekli olarak yeniden işlenmeyi ve sığ sudaki sedimantasyonu belirtir (Allen 1981). Reineck ve Sighn (1980)'e göre simetrik ripiller kıyı ortamında dalga etkisiyle oluşurlar. Bu fasiyesi oluşturan ripiller akıntı kökenli olup büyük olasılıkla set tortullarını temsil ederler.

F13. Tane destekli konglomera

Tanım: Yaygın olarak Kumafşarı üyesi içinde ve daha az oranda ise Derindere üyesi içinde görülen fasiyes, tane destekli, normal dereceli ve kum-ince çakıl matrikslidir (Şekil 3.16; Ek 1; ÖSK 1, 4, 5, 6, 7, 9, 10, 11, 12, 13, 14, 15, 16, 17, 18, 19, 20 ve 21). Fasiyesi oluşturan taneler hacimce yaklaşık olarak % 90 bolluktadır ve tane bileşenlerinin büyük çoğunluğu ofiyolitik, geri kalan kesimi metamorfik karbonatlardan oluşur. Taneler iyi yuvarlaklaşmış, iyi yıkanmış ve orta-kötü derecede boyanmıştır. Genellikle yukarı doğru tane boyunda incelerek normal derecelenme gösterir. Kum veya ince çakılı matriksten oluşup, zayıf-orta derecede tutturulmuştur. Kalınlığı bir kaç dm ile bir kaç m arasında, yanal devamlılığı ise onlarca metre olabilir. Maksimum tane

boyu 30 cm, ortalama tane boyu 5 cm'dir. Ender olarak 1 m boyunda metamorfik karbonat blokları bulundurabilir. Yaygın olarak b ekseni kiremitlenmesi gösterir. Üzerine çoğunlukla daha ince taneli olan kumtaşı fasiyesleri (F7, F8, F9, F10, F11) ya da laminalı silttaşçı-çamurtaşçı fasiyesi (F6) yerleşir. Bu durumda tavanı düzgün yüzeylidir. Onlarca metre yanal devamlılıkta ancak merceği geometridedir. Tüm kumtaşı fasiyesleri ve konglomera fasiyesleri ile yanal ve düşey ilişkidedir (F7, F8, F9, F10, F11, F12, F14, F15, F16). Hemen daima laminalı silttaşçı-çamurtaşçı fasiyesi (F6) üzerine aşınmalı taban ile yerleşir, tabanda çoğunlukla çamurtaşçı tanelerini gecikme çökeli olarak bulundurur. Laminalı silttaşçı-çamurtaşçı (F6), paralel tabakalı kumtaşı (F9), epsilon çapraz tabakalı kumtaşı (F8), düzlemsel çapraz tabakalı kumtaşı (F10), teknemsi çapraz tabakalı kumtaşı (F11) veya paralel tabakalı konglomeralar (F14) tarafından örtülür. Fasiyes çoğu yerde Sarıkavak-Kumafşarı, Uzunoluk-Çameli, Alçı-Kelekçi fayları ile normal faylı ilişkidedir.



Şekil 3.15. F12 Ripıl laminalı kumtaşı fasiyesi (29. ÖSK, Derindere).

Yorum: Yuvarlaklaşmış taneler, b ekseni kiremitlenmesi, merceği geometri ve aşınmalı taban fasiyesin flüvyal kökenli olduğunu gösterir (Rust 1979, Nilsen 1982). Masif veya kaba tabakalı çakıllar, ya aşırı konsantrasyonlu taşkınlar sırasında ya da yüksek sediment konsantrasyonu ve akıntı yoğunluğuna sahip akarsularda depolanır (Morison ve Hein 1987). Fasiyes kanal dolgusu veya boyuna bar çökelleri olmalıdır.



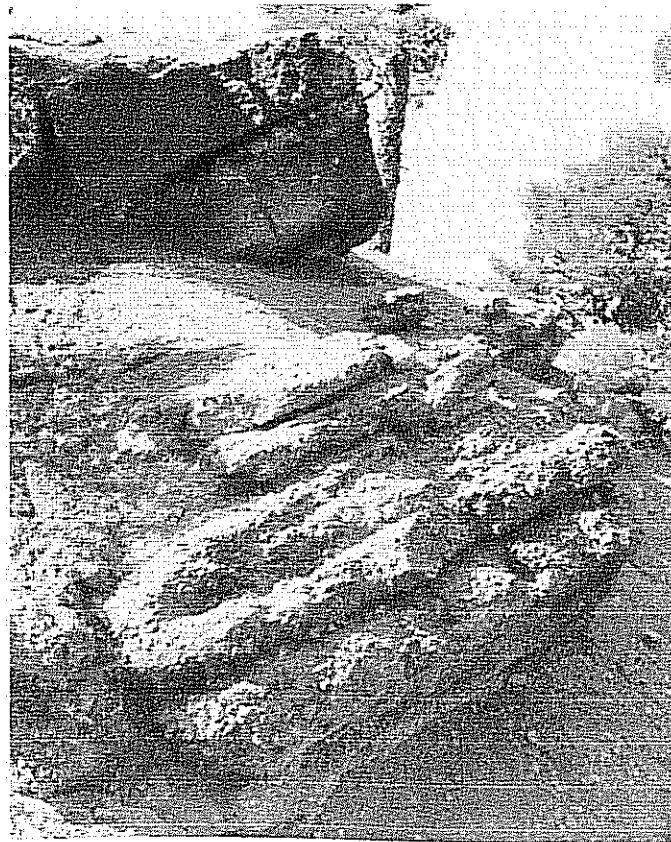
Şekil 3.16. F13 Tane destekli konglomera fasiyesi (30. ÖSK, Derindere).

F14. Paralel tabakalı konglomera

Tanım: Daha çok Derindere üyesi içinde, havzayı oluşturan istiflerin altında ve havzanın kenar kesimlerinde yaygındır (Şekil 3.17; Ek 1; ÖSK 1, 4, 5, 6, 7, 9, 10, 11, 12, 13, 14, 15, 16, 17, 18, 19, 20 ve 21). Fasiyesi oluşturan tanelerin maksimum tane boyu 25 cm, ortalama tane boyu 5 cm'dir. Ender olarak 80 cm boyunda metamorfik karbonat blokları bulundurur. Orta derecede boylanmış ve yuvarlaklaşmış, zayıf-orta derecede tutturulmuştur. Uzun ekseni belirgin taneler yaygın olarak tabaka düzlemine paralel dizilmiştir. Genelde derecelenme gözlenmese de yer yer fasiyes ve içindeki tabakalar kendi içinde normal derecelidir ve b ekseni kiremitlenmesi yaygındır. Kum ve ince çakıl matriksli olan fasiyesin tane bileşenleri hacimce yaklaşık % 90 bollukta ve büyük çoğunluğu ofiyolitik, geri kalan kesimi metamorfik karbonatlardan oluşur. Kireçtaşı tanelerinin tane boyu ofiyolitik tanelerden hemen daima daha fazladır. Fasiyes ofiyolitik tane bileşenlerin bolluğundan ötürü açık yeşil-yeşilimsi gri-gri renktedir. Yanal devamlılığı onlarca metre ve merceği geometridedir. Fasiyes 5-20 cm'lik tabakalardan oluşup, bu tabakalar en fazla 20 m kalınlığa erişebilirler. Uzunoluk-Çameli fayı ile normal faylı ilişkidedir. Coğunlukla laminalli silttaşçı-çamurtaşı fasiyesi (F6) içine aşınmalı taban ile yerleşir. Tavan yüzeyi düzgündür. Coğunlukla masif, tabakalı olup laminalli silttaşçı-çamurtaşı fasiyesi (F6) tarafından üzerlenir. Coğunlukla tane

destekli konglomera (F13) ve düzlemsel çapraz tabakalı konglomera (F15) fasiyeleri ile yanal ve düşey ilişkide ve bazen de ardalanmalı olarak gözlenir. Tek olarak laminalı silttaşçımurtaşı (F6) içinde bir kaç on metre yanal devamlılıkta ve merceksi geometride görülür. Çoğu yerde tabana yakın kesimlerde iri çamurtaşı topacıklarını gecikme çökeli olarak bulundurur. Bazı yerlerde ise üzerinde paralel tabakalı kumtaşçıfasiyesi (F9) bulunabilir.

Yorum: Normal derecelenme ve b ekseni kiremitlenmesi akarsu taşmasını gösterir (Miall 1978). Teknemsi çapraz tabakalı kumtaşları üzerine gelen benzer fasiyeler türbülanslı akantılarla çökelirler (Heward 1978). Kiremitlenmeli ve yatay tabakalı konglomeralar boyuna çakıl barları ya da çakıl yaygıları şeklinde depolanırlar (Rust 1972, Miall 1977, Boothroyd ve Ashley 1975, Bull 1977, Hein ve Walker 1977, Southard 1984, Nemeç ve Postma 1993, De Celles vd. 1991). Buna göre fasiyes sellenme dönemlerinde oluşan çakıl yaygıları olarak, çakılı kanal barları şeklinde çökelmiş olmalıdır.



Şekil 3.17. F14 Paralel tabakalı konglomera fasiyesi (13. ÖSK, Uzunoluk köyü).

F15. Düzlemsel çapraz tabakalı konglomera

Tanım: Kumafşarı üyesi içinde yaygın olarak görülen fasiyes düzlemsel çapraz tabakalı konglomeralardan oluşur (Şekil 3.18; Ek 1; ÖSK 1, 4, 5, 6, 7, 9, 10, 11, 12, 13, 14, 15, 16, 17, 18, 19, 20 ve 21). Fasiyes tane destekli, kum ve ince çakıl matriksli olup orta derecede boylamış, iyi yuvarlaklaşmış ve zayıf-orta derecede tutturulmuştur. Tane bileşenlerin büyük çoğunluğu ofiyolitik, geri kalanları ise metamorfik karbonatlardan oluşur. Ofiyolit tane bileşenlerin bolluğuundan dolayı açık yeşil-yeşilimsi gri-gri renklerde görülebilir. Maksimum tane boyu 10 cm, ortalama 3 cm'dir. Fasiyesin tabaka kalınlığı 5-20 cm olup, toplam kalınlığı bir kaç metreye erişir ve her tabaka kendi içinde normal dereceli olup yukarı doğru kum nispetinde artış görülür. Bu tabakalar içindeki çakıl taneleri çapraz tabaka yüzeyine paralel diziliyor. Çapraz tabaka eğim açıları 20°-35° arasında değişir. Masif çakılı kumtaşı (F7), epsilon çapraz tabakalı kumtaşı (F8), paralel tabakalı kumtaşı (F9), düzlemsel çapraz tabakalı kumtaşı (F10), teknemsi çapraz tabakalı kumtaşı (F11), ripil laminalı kumtaşı (F12), tane destekli konglomera (F13) ve paralel tabakalı konglomera (F14) fasiyeleri ile yanal ve düşey geçişli olup merkezi geometrilidir. Doğrudan laminalı silttaşçımurtaşı (F6) üzerine aşınmalı taban ile geldiği gibi tane destekli konglomeraları da (F13) überleyebilir.

Yorum: Miall (1978)'e göre bu tür fasiyeler boyuna barların deltayik tarzda büyümesi sonucu oluşabilir. Rust (1984)'a göre su ile taşınan kum ve çakılın bir kısmı bar doruğunda toplanırken, diğer kısmı ön takımlar üzerinde birikir. Bar doruğunda biriken çakılı malzemenin yıkanması ile tane akıntıları oluşur. Bu akıntılarla taşınan malzemeler ön takımlar üzerinde birikir, böylece düzlemsel çapraz tabakalı konglomeralar bar önünde oluşur.

F16. Matriks destekli konglomera

Tanım: Derindere üyesini büyük bir bölümünü oluşturan fasiyes matriks destekli, yer yer tane destekli, çokunlukla çamur, daha az oranda silt, kum ve ince çakıl matriksli, masif ve düzensiz konglomeralardan oluşur. Çameli formasyonunun en alt, en üst ve havzanın kenar kesimlerinde yaygın olarak görülür (Şekil 3.19; Ek 1; ÖSK 1, 5, 7, 8, 9, 10, 12, 13, 14, 15, 17 ve 20). Uzunoluk-Çameli, Bozdağ ve Dirmil fayları ile normal faylı ilişkidedir ve bu faylar boyunca oldukça yaygındır. Ayrıca, Karabayır'da görüldüğü gibi doğrudan temel üzerine uyumsuz olarak yerlesir.



Şekil 3.18. F15 Düzlemsel çapraz tabakalı konglomera fasiyesi (11. ÖSK, 340-350. m arası).

Fasiyesin maksimum tane boyu 1 m, bununla beraber düzensiz dağılmış çok seyrek, boyu 2.5 m'ye ulaşan iri bloklar da bulundurup, ortalama tane boyu 20 cm'dir. Tane bileşelerin büyük çoğunluğunu metamorfik karbonatlar, az bir kısmını da ofiyolitik taneler oluşturur. Fasiyes içinde metamorfik karbonat taneleri ofiyolitik tanelerden daima daha iri boydadır. Kırmızı çamurtaşlarının varlığı ve matriksi oluşturmalarından dolayı tümüyle kırmızı/kiremit rengindir. Merceksi, onlarca metre, yer yer ise yüz metreden fazla yanal devamlıdır. Yönlenmesiz taneler, köşeli/çok kötü yuvarlaklaşmış ve boylanmasızdır. Hemen daima ters dereceli ve fasiyes kalınlığı en fazla olarak 90 m, ortalama olarak ise 10 m arasında ölçülmüştür. Tabakalanma çok zayıftır. Herhangi bir seçilme ya da yönlenme yoksa da ender olarak uzun eksenleri birbirine paralel taneler gözlenir. Bu tanelerin uzun eksen doğrultuları her zaman havza ortasına doğrudur. Taban ve tavanı masif çamurtaşları (F17) ile keskin dokanaklıdır. Acıpayam güneyi Derindere civarında, Çameli ilçesi çevresinde ve Kömürlükdağ'ın batısında, Gölhisar kuzeyi Kumafşarı mevkisinde ve Karabayır kasabasında en iyi olarak yüzeysel. Akalan güneybatısında havza kenar tortulu olarak görülen matriks destekli konglomeralar ofiyolitik ve metamorfik karbonat tanelerinin yanında Mevlütler konglomerasından türemiş yeniden işlenmiş taneler ve Kale formasyonundan türemiş özellikle resifal kireçtaşları taneleri de bulundururlar. Fasiyes hemen daima masif çamurtaşları (F17) ile ardalanmalıdır.

Yorum: Düzensiz tabakalanma, kötü boyanma, iri blokların varlığı, matriks ve lokal olarak tane destekli oluş, ters ve az oranda da normal derecelerimeler fasiyesin moloz akması (debris flow) ürünü olduğunu gösterir (Hooke 1967, Enos 1977, Bull 1972, Lowe 1982, Gloppe ve Steel 1981, Nemec ve Muszynski 1982, Schultz 1984, Costa 1988, Miall 1996).



Şekil 3.19. F16 Matriks destekli konglomera fasiyesi (23. ÖSK, 0-20. m'ler arası Kumkısığı).

F17. Masif çamurtaşı

Tanım: Çameli formasyonunun en alt, en üst ve havza kenar kesimlerinde yaygın olan fasiyes esas olarak masif çamurtaşlarından kuruludur (Şekil 3.20; Ek 1; ÖSK 1, 5, 7, 8, 9, 10, 12, 13, 14, 15, 17 ve 20). Açık kırmızı ve açık kahve renkli olup siltli ve kumlu mercekler bulundurabilen fasiyes içinde çok ince ofiyolit ve metamorfik karbonat çakıl saçınımları yaygındır. Bitki kök ve parçaları görülebilir. Konglomeralarla keskin dokanaklı ve alt yüzeyi daima düzgündür. Kalınlığı değişken olup en fazla 15 m ve yanal yayılımı yüzlerce metredir. Masif görünümülü olan fasiyes, zayıf derecede tutturulmuştur. Daima matriks destekli konglomeralar (F16) ile ardalanmalı bulunur. Uzunoluk-Çameli, Bozdağ ve Dirmil fayları ile normal faylı ilişkidedir ve bu faylar boyunca oldukça yaygındır. En iyi yüzeylemeleri Acıpayam güneyi Derindere ve çevresinde, Çameli ilçesi güneyindeki Kavalcılar köyünde, Kömürlükdağ'ın batısında, Gölhisar kuzeyi Kumafşarı mevkisinde ve Karabayır köyünde görülür.

Yorum: Sediment yüklü sığ yaygı akıntıları içinde oluşturduğu belirtilir (Hooke 1967, Collinson 1978). Matriks destekli konglomeralarla ardalanmalı olarak gözlenen fasiyes alüvyon yelpazesinde çökelmiş olmalıdır.



Şekil 3.20. F17 Masif çamurtaşları fasiyesi (27. ÖSK, Akdere).

3.3. Çameli Formasyonu'nun Fasiyes Toplulukları ve Depolanma Ortamları

Fasiyes analizi yöntemi uygulanarak Çameli Formasyonu'nda ölçülen 34 adet ölçülü stratigrafik kesitte tanımlanan 17 adet fasiyes yardımı ile 8 adet fasiyes topluluğu tanımlanmıştır (Şekil 3.21). Bu fasiyes topluluklarına göre Çameli formasyonu alüvyon yelpazesı, akarsu ve gölsel ortamlarda oluşmuştur.

Fasiyes Topluluğu 1 (FT1)

Tanım: Bu fasiyes topluluğu, matriks destekli masif konglomera (F16), tane destekli konglomera (F13), paralel tabakalı konglomera (F14), masif çakılı kumtaşları (F7), masif çamurtaşları (F17) fasiyelerinden kuruludur. Topluluk Derindere ve Akdere çevresi, Karabayır, Oğlansını ve Suçatı köyleri, Gölhisar kuzeyi Kumkışığı mevkisi ve Kömürlükdağ batısında yaygın olarak görülür (Şekil 3.22; Ek 1; ÖSK 1, 6, 8, 10, 12, 13,

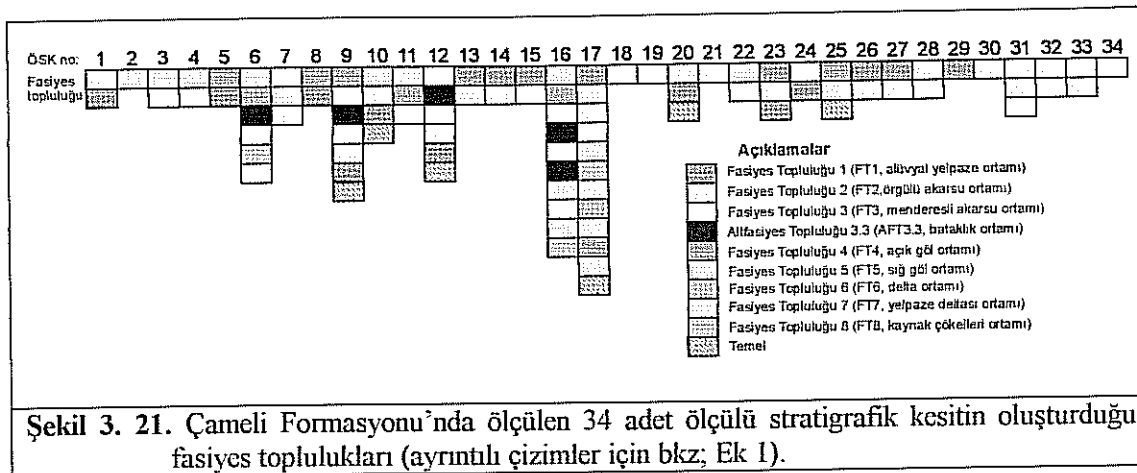
14, 15, 20). Derindere üyesinin tamamını oluşturan topluluğun kalınlığı 10 m ile 90 m arasında değişir. Onlarca metre yanal devamlılıkta matriks destekli masif konglomera (F16), tane destekli konglomera (F13) ve paralel tabakalı konglomeralardan (F14) oluşan kanal tortulları ile bunlar içinde yer alan masif çakılı kumtaşları (F7) ile konglomera tabakalarını alttan ve üstten sınırlayan masif çamurtaşlarından (F17) oluşur. Genellikle temele yakın kesimlerinde tane boyu çok büyük (1.5-2.5 m), hemen daima ters derecelidir. Kanal geometrisi çok belirgin değildir ve çamurtaşı oranı toplam alüvyal yelpaze istifine oranla % 10 civarındadır. Iraksak kesimlere doğru bu çamurtaşı oranı artar, kanallar daha yayvan şekilde kazanıp (merceksi geometride ve mercek geriliği 15-30 m, kalınlığı 5-8 m) ters derecelenme görülmez, tane destekli konglomera (F13) ve paralel tabakalı konglomera (F14) fasiyelerinde artış görülür. Fasiyes topluluğunun yanal veya düşey olarak Kumafşarı üyesinin geçtiği havzanın batısında Derindere civarında, doğusunda Kumkısığı mevkisinde havzanın güneyinde Karabayır'da ve daha az olarak havza içindeki faylarla ilişkili olarak görülür. Malzemesi faylı ya da uyumsuz ilişkide olduğu ofiyolitik veya metamorfik karbonatlardan oluşur. Taşınma yönü Derindere çevresinde GD'ya, Kumkısığı mevkisinde B'ya, Çameli civarında B-KB'ya ve Karabayır'da ise K-KD'ya doğrudur. Derindere, Çameli ve Kumkısığı'nda topluluk temel ile normal faylı ilişkide iken Karabayır'da uyumsuzdur. Topluluk yer yer flüvyal tortullar üzerinde (23, 26 ve 27. ÖSK'lar) yer yer ise altında gözlenir (1, 9, 12, 20, 23 ve 24. ÖSK'lar). Temel üzerine uyumsuz olarak yerleşimi en iyi olarak Karabayır köyünde gözlenir.

Yorum: Masif ve tabakalı konglomeralarla başlayıp kırmızı çamurtaşlarına geçen ardalanmalı istifler alüvyal yelpaze ortamının ürünlerini olarak yorumlanabilir (Rust 1979). Bu tortullar KD-GB doğrultulu faylarla sınırlanan bir graben havzasının kenarlarından havza merkezine doğru açılan alüvyal yelpaze çökelleridir. Topluluğun masif çamurtaşı (F17) kesimleri alüvyal yelpazenin iraksak kesimlerine karşılık gelir.

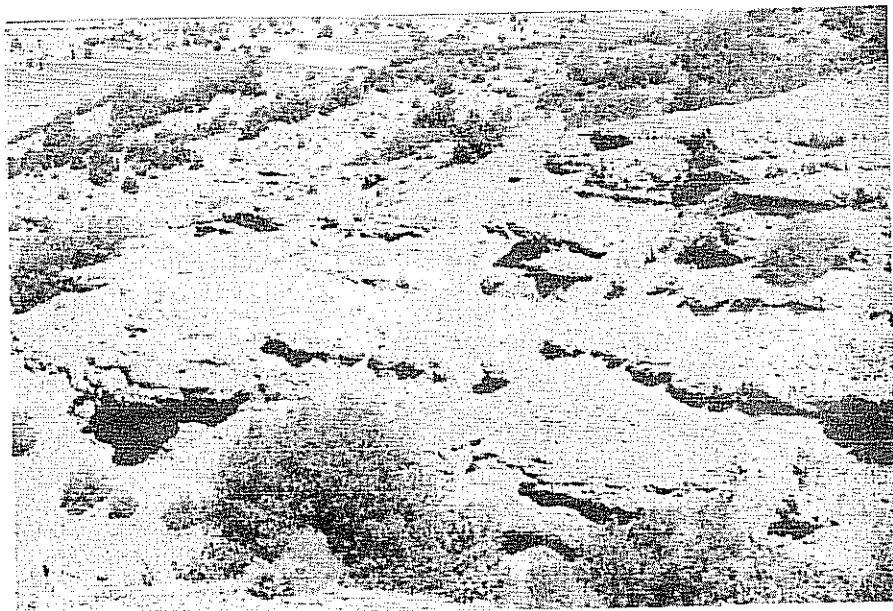
Fasiyes Topluluğu 2 (FT2)

Tanım: Kumafşarı üyesinin alt kısımlarını oluşturan bu topluluk masif çakılı kumtaşları (F7), düzlemsel çapraz tabakalı kumtaşları (F10), teknemsi çapraz tabakalı kumtaşları (F11) ve tane destekli konglomera (F13) fasiyelerinden kuruludur. Kumafşarı üyesinin en alt kesimlerinde, Değne Çayı boyunca yüzeyleyen Değne

üyesinin en alt kesimlerinde ve Derindere üyesi alüvyal yelpaze topluluğu (FT1) ile yanal ve düşey ilişkili olarak görülür (Şekil 3.23; Ek 1; ÖSK 3, 4, 5, 6, 7, 9, 10, 11, 13, 14, 16, 17, 18, 19, 20).



Şekil 3.22. Fasiyes Topluluğu 1 (Alüvyon yelpazesi ortamının ürünü olarak yorumlanmıştır, üstteki açık renkli kısım FT2'ye aittir, 9. ÖSK, KD'ya bakış, Karabayır köyü).



Şekil 3.23. Fasiyes Topluluğu 2 (Örgülü akarsu ortamının ürünü olarak yorumlanmıştır, 24. ÖSK, Kumafşarı köyü).

Tabanı her zaman gözlenemeyen topluluğun kalınlığı 10 m ile 120 m arasında değişir ve yukarı doğru tane boyunda incelme gösterir. Topluluk laminalı silttaşçımurtaşı (F6), masif çakılı kumtaşı (F7), düzlemsel çapraz tabakalı kumtaşı (F10), paralel tabakalı kumtaşı (F9), teknemsi çapraz tabakalı kumtaşı (F11), tane destekli konglomera (F13), düzlemsel çapraz tabakalı konglomera (F15) ve paralel tabakalı konglomera (F14) fasiyelerinden kuruludur ve tane bileşenlerinin büyük çoğunluğu çakıl boyu tanelerden oluşur. Kum ve ince çakıl boyu matriksten oluşan topluluk zayıf-orta derecede tutturulmuştur. Alüvyal yelpaze (FT1) ve menderesli akarsu (FT3) fasiyes toplulkları ile yanal ve düşey geçişlidir.

Yorum: Daha çok havzanın güneyinde yayılım gösteren istiflerin alt kesimlerinde yaygındır (5, 14, 17 ve 10. ÖSK'lar, Ek 1). Havzanın kuzeyinde, alüyon yelpazesi tortulları ile geçişli olduğu yerlerde yaygın olan topluluk çakılı derin kanallı örgülü akarsuların ürünüdür (Miall 1985).

Fasiyes Topluluğu 3 (FT3)

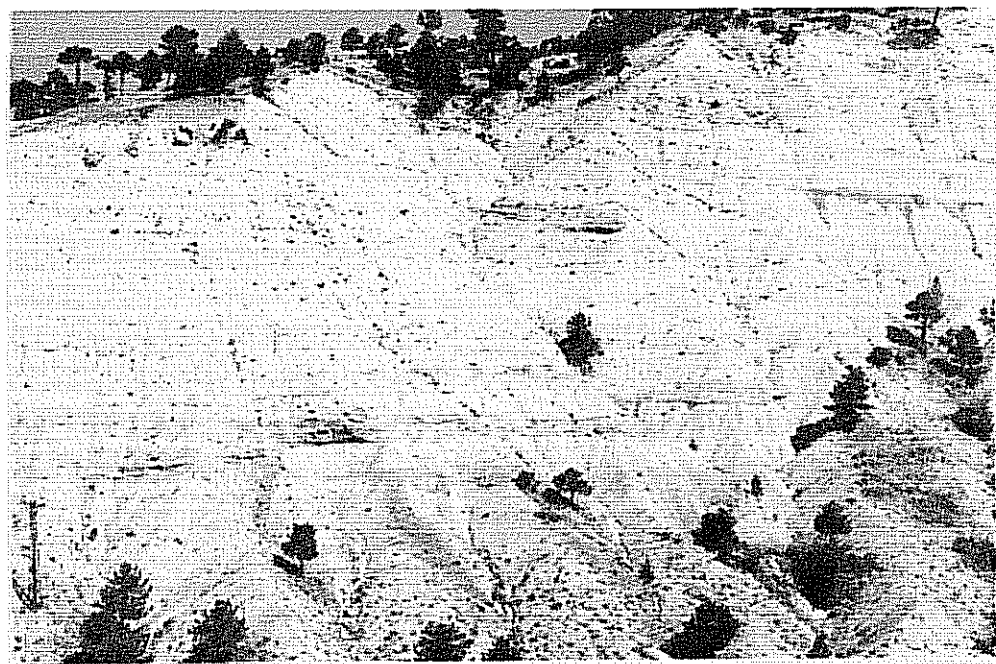
Tanım: Kumafşarı üyesinin büyük bir bölümünü oluşturan topluluk daha çok üyenin üst kesimlerinde hakimdir. Başlıca düzlemsel çapraz tabakalı kumtaşları (F10), epsilon çapraz tabakalı kumtaşları (F8), teknemsi çapraz tabakalı kumtaşları (F11), paralel tabakalı kumtaşları (F9) ve laminalı silttaşçımurtaşı (F6) fasiyelerinden kuruludur.

Havzanın kuzey kesimlerinde ve ölçülu stratigrafik kesitlerin daha çok üst kesimlerinde yaygındır (Şekil 3.24; Ek 1; ÖSK 3, 7, 10, 12, 15, 17, 18, 19, 21). Daha çok Kumafşarı üyesinin üst kısımlarını oluşturan topluluğun kalınlığı en fazla 150 m olarak ölçülmüştür (18 ve 19. ÖSK'lar). Tane boyu yukarı doğru incelen ardalanmalı istiflerden oluşur. Genellikle topluluğun alt kesimlerinde gecikme çökelleri içeren düzlemsel çapraz tabakalı kumtaşları (F10), epsilon çapraz tabakalı kumtaşları (F8) ve paralel tabakalı kumtaşları (F9) yaygındır. Üst kesimleri ise ripil laminalı kumtaşları (F12) ile laminalı silttaşı-çamurtaşı fasiyeleri (F6) oluşturur ve çoğunlukla bataklık fasiyes topluluğu ile (AFT3.3) ile sonlanır. Örgülü akarsu fasiyes topluluğu (FT2) ile yanal ve düşey geçişli olup bu üyenin üstünde ve hemen daima Değne üyesinin altında gözlenir. Değne üyesi ile bu topluluk arasında hemen daima bataklık altfasiyes topluluğu yer alır (AFT3.3). Bunun yanında delta fasiyes topluluğu (FT6), travertenler (F1) ve yelpaze deltası fasiyes topluluğu (FT7) ile yanal ve düşey ilişkidedir.

Yorum: Kumafşarı üyesinin üst kısımlarını oluşturan bu topluluk, düzlemsel çapraz tabakalı kumtaşları (F10), epsilon çapraz tabakalı kumtaşları (F8), teknemsi çapraz tabakalı kumtaşları (F11), paralel tabakalı kumtaşları (F9) ve laminalı silttaşı-çamurtaşı (F6) fasiyelerinin oluşturduğu kanal, set ve set üstü ortamlarında depolanmıştır. Topluluk içerisinde ardalanmalı istiflerin alt seviyelerini oluşturan epsilon çapraz tabakalar, menderesli nehirlerin dirsek barlarına ait yanal yığışım yüzeyleridir (Cant 1982, Miall 1985). Üst seviyelerde gözlenen çamurtaşları ise taşın düzlüklerini temsil ederler. Tane boyu yukarı doğru incelen ardalanmalı istiflerden oluşan topluluk menderesli nehirlerde çökelmiştir. Menderesli akarsu fasiyes topluluğu (FT3), dirsek barı ve set (AFT3.1), taşın düzlüğü (AFT3.2) ve bataklık (AFT3.3) altfasiyelerine ayrılarak ele alınmıştır:

Alt Fasiyes Topluluğu 3.1 (AFT 3.1)

Tanım: Paralel tabakalı konglomera (F14), epsilon çapraz tabakalı kumtaşları (F8), düzlemsel çapraz tabakalı kumtaşları (F10), teknemsi çapraz tabakalı kumtaşları (F11) ve ripil laminalı kumtaşlarından (F12) kurulu olan topluluk Kumafşarı üyesi içinde yaygındır ve kalınlığı bir kaç dm ile bir kaç metre arasında değişir (Ek 1; ÖSK 3, 7, 10, 12, 15, 17, 18, 19 ve 21).



Şekil 3.24. Fasiyes Topluluğu 3 (18. ÖSK, K'e bakış, Kinikyeri köyü).

Tane boyu yukarı doğru incelen topluluk, çoğunlukla tane destekli koglomeralarla (F13) başlar yukarı doğru masif çakılı kumtaşları (F7), teknemsi çapraz tabakalı kumtaşları (F11), düzlemsel çapraz tabakalı kumtaşları (F10) ve en üstte ripil laminalı kumtaşlarına (F12) geçer. Laminalı silttaşı-çamurtaşı (F6) ile üzerlenir ve yanal olarak bu fasiyese geçer. Merceksel geometrili olup altta laminalı silttaşı-çamurtaşı (F6) fasiyesi üzerine aşınmalı taban ile yerleşir, bu durumda tabana yakın yerlerde çamurtaşlarından oluşan gecikme çökeleri bulundurur. Aşınmalı yüzey istifin kendi içinde bir veya birden fazla görülebilir veya çapraz tabakalı fasiyeler birbirini keser halde yerleşmiş olabilir. Zayıf-orta derecede tutturulmuştur. Ofiyolit tanelerin yoğunluğunundan dolayı açık yeşil-yeşilimsi gri-gri renktedir. Paralel tabakalı kumtaşı (F9), laminalı silttaşı-çamurtaşı (F6) ve ripil laminalı kumtaşı (F12) ise set topluluğunu oluşturur. Kumafşarı üyesi içinde tane boyu yukarı doğru incelen istiflerin üst kesimlerinde oldukça yaygındır. Dirsek barı çökelleri üzerinde taşkın düzluğu çökelleri arasındaki geçişte bulunur.

Yorum: Dirsek barlarında tane destekli konglomera ile başlayıp, bunun üzerine gelen, set kalınlıkları 1 m'ye ulaşan düzlemsel çapraz tabakalı fasiyeler görülür ve bunlar teknemsi çapraz tabakalı (F11) veya ripil laminalı kumtaşı (F12) fasiyeleriyle üzerlenebilir. Buna göre konglomeralar ile başlayan teknemsi ve düzlemsel çapraz

tabakalı kumtaşları ve ripil çapraz laminalı kumtaşlarından oluşan istifler menderesli nehirlere ait dirsek barı çökelleri olarak yorumlanabilirler (Levey 1978). Dirsek barları üzerinde yer alan, yatay tabakalı kumtaşları, ripil çapraz laminalı kumtaşları ve çamurtaşı-silttaşlarından oluşan istif set tortulu olmalıdır. Dirsek barı ve set alt fasiyes topluluğu beraberce menderesli nehirlerde kanal çökellerini oluşturur (Collinson 1978).

Alt Fasiyes Topluluğu 3.2 (AFT 3.2)

Tanım: Kumafşarı ve Derindere üyeleri içinde ve daha çok Çameli havzasının kuzeyinde ve daha az olarak ise güney kesimlerinde yaygın olan, daha çok bu üyelerin üst kesimlerini oluşturan topluluk, büyük oranda laminalı silttaşı-çamurtaşı (F6), masif çamurtaşı (F17), az oranda ise kömür (F5) fasiyelerinden kuruludur (Ek 1; ÖSK 3, 7, 10, 12, 15, 17, 18, 19 ve 21). Topluluk esas olarak gri-yeşilimsi gri veya açık kırmızı renkte olup çamurtaşları içinde saçılımlı halde ince taneli çakıllar ile tutturulmamış kum veya silt merceklerinden oluşur. Üzerine geldiği paralel tabakalı kumtaşları (F9) ile geçişlidir. Üst kısımlarında, yanal devamlılığı bir kaç metre, kalınlığı en fazla 1 metre olan bitki köklü gözenekli tabakalı-gözenekli kireçtaşları (F2) görülebilir. Topluluk çoğunlukla dirsek barı ve set altfasiyes topluluğu (AFT3.1) veya alüvyal yelpaze fasiyes topluluğu (FT1) tarafından aşınmalı tabanla üzerlenir.

Yorum: Laminalı silttaşı-çamurtaşı (F6) veya masif çamurtaşı fasiyelerinden (F17) oluşan ve dirsek barı çökelleri tarafından sınırlanan bu topluluk taşkın düzluğu ortamını yansıtır (Allen 1965, Collinson 1978). Çamurtaşları içinde yer alan merceksi geometrili kumtaşları ise yarıntı (crevasse) tortulları olmalıdır. Kelly ve Olsen (1993)'e göre bu fasiyeler terminal yelpazelerin taşkın havzasında oluşur. Kumafşarı üyesi ve Derindere üyesi taşkın düzlüğü çökellerinin üzerinde görülen tabakalı-gözenekli kireçtaşları (F2) taşkın ovası gölü veya kopuk menderes gölü çökeli olmalıdır (Ghosh 1987, Alonso Zarza vd. 1992). Kireçtaşları içinde saçılımlı halde çok seyrek olarak ince kum taneleri bulunması bu tortulların taşkın ile ilişkili olduğunu işaret etmektedir.

Alt Fasiyes Topluluğu 3.3 (AFT 3.3)

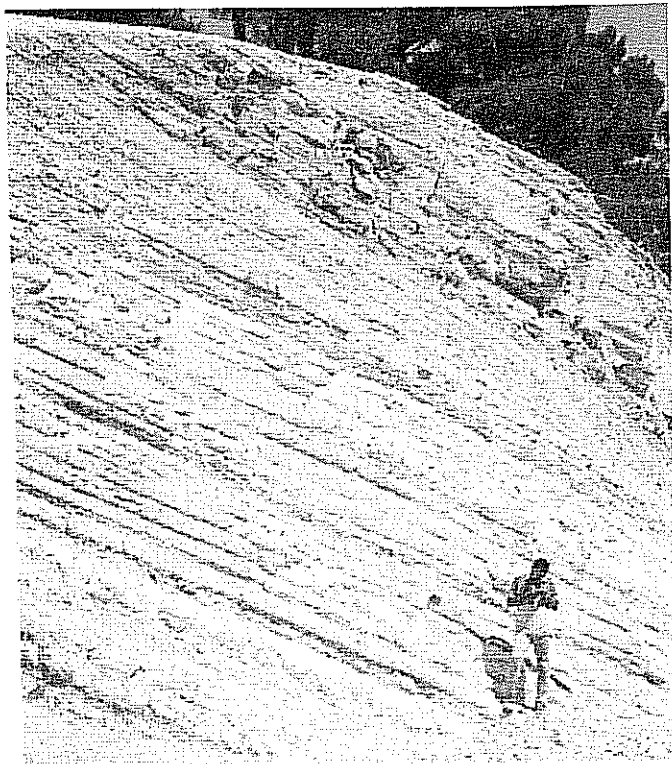
Tanım: Değne üyesi altında bir klavuz seviye olarak değişik kalınlıklarda görülen topluluk başlıca kömür (F5), laminalı silttaşı-çamurtaşı (F6) fasiyelerinden kuruludur (Ek 1; ÖSK 6, 16, 9, 8, 13). Oldukça gevşek ve dağılgan olan kömürler ekonomik

değerde değildirler ve bol mikro memeli fosilleri ile balık diş ve kemik fosilleri, ezilmiş veya bütün gastropoda fosilleri ve bitki kırıntı, kök ve kalıpları ile fosilleri içerir. Yanal devamlılığı yüzlerce metre ancak kalınlığı oldukça oldukça değişken olup en fazla 25 m'dir. Çamurtaşısı-silttaşı ardalanması ile kömür oranı yanal ve düşey yönde sıkça değişir. Oldukça yaygın olarak sedimantasyonla eşyaşlı normal faylanmalar içerir. Yer yer Kumafşarı üyesi içinde mercekler halinde de görülür. Menderesli akarsu fasiyes topluluğu ile açık göl fasiyes topluluğu arasında bir klavuz seviye olarak bulunur.

Yorum: Kömür, fosilli ve bitkisel malzemeli çamurtaşısı silttaşından oluşan topluluk, çamur düzluğu ve bataklık çökelleri olarak yorumlanmıştır (Belt vd. 1984, McCabe 1984). Fosil kömürler otokton olup bataklık ortamında çökelmiştir. Çamurtaşısı-silttaşları bunların flüyal çökellerle ilişkili olduğunu gösterir. Gölsel çökellerle üzerlenmesi ve yanal geçişli olması, göl kenarlarındaki bataklıkları işaret eder. Flüyal kanalların kenarlarında gözlenmesi de taşın olayı ile ilişkili olduğunu düşündürür.

Fasiyes Topluluğu 4 (FT 4)

Tanım: Değne üyesinin önemli bir bölümünü oluşturan topluluk çoğunlukla havzanın güneyinde yayılım gösterir (Şekil 3.25; Ek 1; ÖSK 2, 4, 5, 6, 8, 9, 11, 15, 16 ve 17). Başlıca laminalı marn (F4) ve killi kireçtaşısı (F3) fasiyelerinden kurulu olup bu fasiyelerin düzenli ve ritmik ardalanmasından oluşur. Topluluğun maksimum kalınlığı 225 m ve yanal devamlılığı yüzlerce metredir (6.ÖSK). Topluluk içindeki laminalı marnların (F4) ortalama kalınlığı 5 m, killi kireçtaşlarının (F3) ise 15 m'dir ve daima tabakalı laminalı marnlar killi kireçtaşlarından daha az kalınlığa sahiptirler. Bol kıraklı olup iç yapısı bozulmuş durumdadır. İç yapısının gözlemebildiği yerlerde hem tabakalı laminalı marnlar hem de killi kireçtaşları ince tabakalı ve/veya laminalıdır. Marnlar açık yeşil ve gevşek, killi kireçtaşları ise bundan daha açık renkte ve daha serttirler. Topluluk içinde *Melanopsis (Lyrcea) narzolina* BONELLI, *Pseudamnicola (Sandria) kochi*, BRUSINA, *Pseudamnicola margarita* NEUMAYR ve *Pseudamnicola margarita nuda* JEKELIUS fosilleri bulunmuştur (Kapan-Yeşilyurt 2001, sözlü görüşme). Tabanda bataklık altfasiyes topluluğu (AFT3.3) üzerine gelen bu topluluk içinde, hemen her yerde topluluğa ait kömürü seviyeler bulunur. Yanal olarak menderesli akarsu fasiyes topluluğu (FT3) ve bataklık alt fasiyes topluluğu ile (AFT3.3) geçişlidir. Topluluk en üstte geçişli olarak sığ göl fasiyes topluluğuna (FT5) geçer.



Şekil 3.25. Fasiyes Topluluğu 4 (11. ÖSK, 110-320. m'ler arası, Evciler köyü).

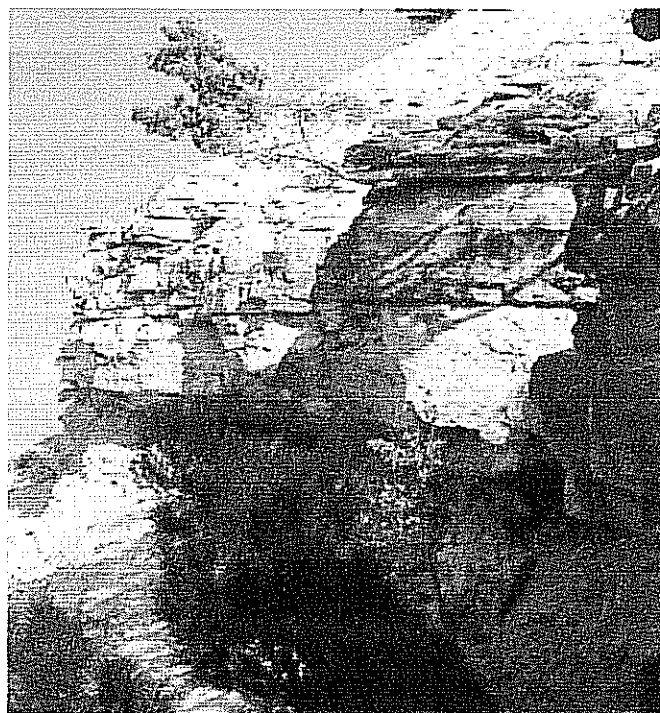
Yorum: Bu fasiyes topluluğunun monoton ve düzenli olarak devam etmesi, sürekli bir göl ortamında depolandığına işaret eder. İçerdiği *Melanopsis (Lyrcea)* narzolina BONELLI, *Pseudamnicola (Sandria) kochi*, BRUSINA, *Pseudamnicola margarita* NEUMAYR ve *Pseudamnicola margarita nuda* JEKELIUS (Kapan-Yeşilyurt 2001, sözlü görüşme) fosilleri ile dışa açık bir tatlı su gölünde depolandığı anlaşılmaktadır. İçinde herhangi bir evaporit oluşumunun gözlenmemesi ise dışa boşalımı olan tatlı su gölü olarak yorumlanabilir. İstifin düzenli devam etmesi, üzerine sıçrık fasiyes topluluğunun (FT5) gelmesi, kıritaklı fasiyes toplulukları (FT6 ve FT7) ile yanal ilişkide olması ve volkanik katkı içermemesi bu fasiyes topluluğunu nispeten tektonikçe dingin bir dönemde çökelmiş olduğunu işaret eder.

Fasiyes Topluluğu 5 (FT5)

Tanım: Değne üyesinin en üst kesimini temsil eden topluluk çokunulkla tabakalı-gözenekli kireçtaşı (F2) ve killi kireçtaşı (F3) fasiyelerinden kuruludur (Şekil 3.26; Ek 1; ÖSK 1, 2, 3, 4, 16, 11, 6, 17, 7, 9, 15, 10, 12, 13, 14, 18, 19, 20 ve 21). Topluluğun altındaki laminalli marn (F4) ve killi kireçtaşlarından (F3) oluşan açık göl fasiyes topluluğu ile düşey geçişlidir. Aynı zamanda yelpaze deltası (FT7) ve delta fasiyes

toplulukları (FT6) ile yanal ve düşey geçişli olarak görülür. Kalınlığı en fazla 20 m'dir (16. ÖSK) ve yanal yönde kalınlığı değişebilir. Özellikle topluluğun en alt kesimlerinde yer yer kendinden türeme tanelerden oluşan kumlu seviyeler bulunur. Bol bitki kökü ve daha az oranda gastropoda fosilleri içerir. Kırıklı, çatlaklı, boşluklu/gözenekli ve biyoturbasyonludur. Açık sarı, kirli beyaz, beyaz renkte görülen topluluk çoğunlukla düzgün tabakalıdır. En iyi yüzeylemeleri, Çameli havzasının güney kesimlerinde olmak üzere Suçatı, Ericek ve Kolak çevresi ile Yeşildere ve Sarıkavak köylerindedir.

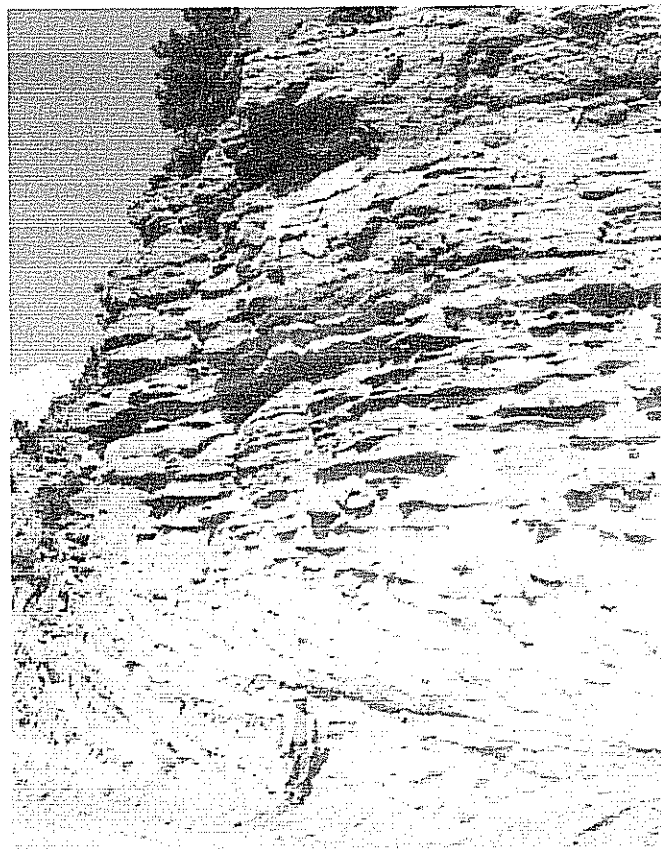
Yorum: Fosilli ve bitki köklü, laminalı marnlar (F4) içeren topluluk sığ göl ortamında çökelmiştir (Anadon vd. 1989). Çoğunlukla havzanın güney kesimlerinde yoğunlaşması ve daima açık göl fasiyes topluluğu (FT4) üzerine yerleşmesi ile çökel birikimi sonucu dolup siğlaşan bir gölün (Değne üyesi) son ürünleri olduğu düşünülebilir. Ayrıca 11 ve 17. ÖSK'larda Değne üyesi üzerine yerleşen delta ve yelpaze deltası tortulları da sözü edilen bu dolma döneminde göle ilerleyen göl kenar tortulları olmalıdır. Yelpaze deltası (FT7) ve delta fasiyes topluluğu (FT6) ile yanal geçişli olması ve üzerinde başka bir birimin depolanmaması, tortul ile dolup siğlaşmış bir gölün en son evresini temsil ettiğini ve ait olduğu gölsel ortamın siğlaştığını işaret eder.



Şekil 3.26. Fasiyes Topluluğu 5 (16. ÖSK, 170-190. m'ler arası, Ericek köyü).

Fasiyes Topluluğu 6 (FT 6)

Tanım: Değne üyesinin en üst kesimlerini oluşturan topluluk 'masif çakılı kumtaşı' (F7), paralel tabakalı kumtaşı (F9), düzlemsel çapraz tabakalı kumtaşı (F15) ve ripil laminalı kumtaşı (F12) fasiyelerinden oluşur. Çameli güneyinde Kavalcılar'da ve Gölhisor güneyinde yaygındır (Şekil 3.27; Ek 1; ÖSK 11 ve 17).



Şekil 3.27. Fasiyes Topluluğu 6 (17. ÖSK, 265-305. m'ler arası, Kavalcılar köyü).

Topluluk, Kavalçılarda yelpaze deltası fasiyes topluluğu (FT7) ile Değne üyesinin açık göl fasiyes topluluğu (FT4) tortulları üzerine yerleşmiştir (11 ve 17. ÖSK'lar). Kalınlıkları 55 m (17. ÖSK) ile 45 m (11. ÖSK) arasında değişir. Topluluk içerisinde bol miktarda balık diş ve kemik fosilleri bulunur. Örgülü akarsu (FT2), menderesli akarsu (FT3), açık göl (FT4) fasiyes toplulukları ile yanal geçişlidir. Üzerine örgülü akarsu fasiyes topluluğu (FT2) yerlesir. 17. ÖSK'da yelpaze deltası fasiyes topluluğu (FT7) tortulları, 11. ÖSK'da ise açık göl fasiyes topluluğu (FT4) tortulları bu topluluğun taban takımlarını oluşturur. 17 ve 11. ÖSK'larda üzerine gelen örgülü akarsu fasiyes topluluğu (FT2) ve menderesli akarsu fasiyes topluluğu (FT3) ise tavan

takımlarını oluştururlar. Oldukça yoğun şekilde sedimentasyonla eş yaşı normal faylanmalar ve yumuşak sedimanter deformasyon yapıları gözlenir. Sığ göl fasiyes topluluğu (FT5), yelpaze deltası fasiyes topluluğu (FT7) ve açık göl fasiyes topluluğu (FT4) ile yanal ve düşey ilişkidedir.

Yorum: Menderesli akarsularla oluşmuş Gilbert tipi delta çökelleridir. Yanal ilişkide olduğu örgülü ve mederesli akarsu litofasiyes toplulukları (FT2 ve FT3) tarafından beslenmiştir. 17. ÖSK'da olduğu gibi sığ göl fasiyes topluluğu (FT5) ile yanal ilişkide olan yelpaze deltası fasiyes topluluğunun (FT7) üzerinde görülmesi ile içine boşaldığı açık göl ortamının sağlamasını ifade eder. Ayrıca akarsu fasiyes toplulukları (FT 2 ve FT3) ile üzerinden bu duruma bir başka kanıttır.

Fasiyes Topluluğu 7 (FT 7)

Tanım: Özellikle Çameli havzasının orta ve güney kesimlerinde yaygın olarak görülen topluluk, masif çakılı kumtaşı (F7), paralel tabakalı kumtaşları (F9), düzlemsel çapraz tabakalı kumtaşları (F10), teknemsi çapraz tabakalı kumtaşları (F11), tane destekli konglomera (F13), paralel tabakalı konglomera (F14) ve laminalı silttaşçımurtaşı (F6) fasiyeslerinden kuruludur (Şekil 3.28; Ek 1; ÖSK 13, 14 ve 17). Açık göl (FT4), sığ göl (FT5), menderesli akarsu (FT3) ve örgülü akarsu (FT2), delta (FT6) ve alüvyon yelpazesi (FT1) fasiyes toplulukları ile yanal ve düşey ilişkidedir (13, 14 ve 17. ÖSK'lar). Daima açık göl (FT4) fasiyes topluluğunu üzerler ve yukarı doğru tane boyunda kabalaşma gösterir (17. ÖSK). Alüvyon yelpazesi (FT1) fasiyes topluluğu tarafından üzerinden (13 ve 17. ÖSK'lar). Çameli formasyonunun en üst kesimlerinde bulunur ve üzerine alüvyon yelpazesi (FT1) fasiyes topluluğu ya da delta (FT6) fasiyes topluluğu yerlesir. Açık göl (FT4) ve sığ göl (FT5) fasiyes topluluklarının üzerine geçişli olarak yerleşmesi ve üzerinde delta (FT6) ve alüvyon yelpazesi (FT1) tortullarının yerleşmesi nedeniyle yukarı doğru tane boyunda kabalaşma gösterir. Delta fasiyes topluluğu (FT6) altında bulunan topluluk ile alüvyon yelpazesi fasiyes topluluğu (FT1) altında olmak üzere istif içinde iki ayrı seviye halinde görülürler (17. ÖSK).

Yorum: Bu topluluk yelpaze deltası istifi olarak yorumlanmıştır. Yelpaze deltası, alüvyon yelpazelerinin durgun suya (örneğin göl) ilerlemesi ile oluşan birikimlerin adıdır. Akarsu deltalarından farkı tek nokta yerine çok noktadan beslenmeleridir. Benzer fasiyes topluluklar Burdur havzası Pleystosen ve Holosen yaşı tortullarında

tanımlanmıştır (Nemec ve Steel 1988, Kazancı 1988, Kazancı 1990). Çameli formasyonunun en üst kesimlerinde bulunması ve üzerine alüvyon yelpazesi fasiyes topluluğu (FT1, 17. ÖSK) ya da delta fasiyes topluluğunun (FT6, 17. ÖSK) yerleşmesi, bu topluluklarla beraber açık göl fasiyes topluluğu (FT4) üzerinde bulunması nedeniyle havzadaki gölsel ortamin siğlaşmaya başladığı ilk evreye karşılık geldiği söylenebilir. Delta fasiyes topluluğu (FT6) altında bulunan yelpaze deltası fasiyes topluluğu ile alüvyon yelpazesi fasiyes topluluğu (FT1) altında bulunan yelpaze deltası fasiyes toplulukları farklı zamanlarda meydana gelmiş ve farklı tektonizma etkisi ile oluşmuş topluluklardır. Sedimentasyonla eş yaşı normal faylar içermesi ve üzerine delta fasiyes topluluğu (FT6) veya alüvyon yelpazesi fasyes topluluğunun (FT1) yerleşmesi, topluluğun yukarı doğru tane boyunda kabalaşan bir özellikte olduğunu ve bunlarla beraber açık göl fasiyes topluluğunun (FT4) üzerine yerleşmesi ile de topluluğun, tortul ile dolup siğlaşan bir göle ait olduğu fikrini destekler.



Şekil 3.28. Fasyes Topluluğu 7 (17. ÖSK, 200-260. m'ler arası, Kavalcılar köyü).

Fasiyes Topluluğu 8 (FT 8)

Tanım: Değne üyesinin alt ve üstünde iki ayrı seviye halinde görülen topluluk esas olarak travertenler (F1) ve bunlarla çokince ara tabakalı olmak üzere laminalı silttaşılı çamurtaşı (F6), killi kireçtaşları (F3) ve laminalı marn (F4) fasiyelerinden oluşur (Ek 1; ÖSK 16 ve 17). Her iki seviyedeki travertenler altındaki fasiyelerle keskin dokanaklıdır. Laminalı silttaşılı-çamurtaşı (F6) ve killi kireçtaşları (F3) ile aratabakalı, yanal ve düşey geçişlidir. Birinci traverten seviyesi Sarıkavak-Kumafşarı Fayı ile ilişkili olup Sarıkavak ve Ericek köylerinde KD-GB uzanımlı bir yayılımda yüzeyler ve kalınlığı 10 m ile 60 m arasında değişir. İnce çamurtaşı ve marn araseviyeleri içeriip, flüvyal çökeller ile alttan ve üstten sınırlanır. İkinci traverten seviyesi Uzunoluk-Çameli Fayı ile ilişkili olup Kavalcılar köyü civarında KD-GB uzanımlı olarak yayılım gösterir. Burada tek tabaka halinde, sert ve masif olarak görülen topluluğun kalınlığı en fazla 6 m'dir. Altta örgülü akarsu fasiyes topluluğu (FT2) üzerine gelen topluluk üstten laminalı silttaşılı-çamurtaşı (F6) fasiyesi ile üzerlenir. En iyi yüzeylemeleri Ericek (16. ÖSK) ve Kavalcılar köyündedir (17. ÖSK).

Yorum: Topluluğun beslendiği kaynak alanlar metamorfik karbonatlardan oluşup bu temel ile faylı ilişkidedir. Bölgede ilk genişleme evresini izleyen ayrı ayrı iki büyük genişleme ve bu olayla ilişkili normal faylanmanın belirtecidir. Faylanma sonrası, fay düzlemi boyunca yükselen suların geçtiği yerlerdeki temel kayaların bileşimine bağlı olarak bünyesine aldığı karbonatları yüzeye çıkışınca çökeltmesi ile oluşmuşlardır. Günümüzde benzer mekanizma ile gelişen oluşuklar Büyük Menderes grabenin de ve özellikle Denizli bölgesinde oldukça yaygındır. Buradaki travertenler de, çalışma bölgesinde olduğu gibi kaynaklandıkları faylar boyunca, onlarla ilişkili olarak gelişmişlerdir. Bu mekanizmanın, Çameli bölgesindeki eski örneklerinde olduğu gibi, Denizli bölgesindeki güncel örneklerinde de kaynaklandıkları faylardan uzaklaşıkça kalınlıkları azalır ve bu faylar boyunca yayılım gösterirler.

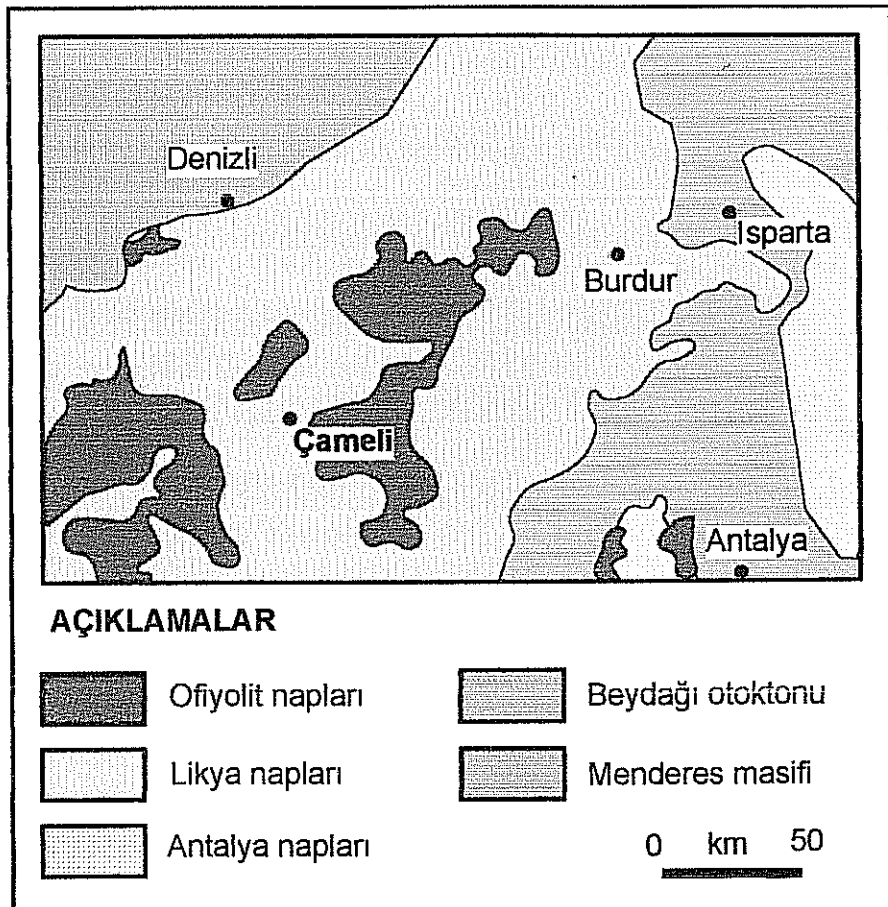
4. TARTIŞMA: ÇAMELİ HAVZASININ JEOLOJİK EVRİMİ

Bölüm III'te fasiyes analizi yöntemi ile Çameli Formasyonu'nun sedimanter özellikleri incelenmiş ve formasyon içinde fasiyes toplulukları tanımlanarak hangi ortamlarda depolandıkları açıklanmıştır. Bu bölümde ise, fasiyes topluluklarının belli bir zamandaki alansal dağılışı ile paleocoğrafyalar oluşturulmuş ve bunların jeolojik zaman içindeki değişimleri ile jeolojik evrimlerinin tartışılması konu edilmiştir.

4.1. Havza Öncesi Durum

Alp-Himalaya orojenik kuşağındaki Anadolu, Avrasya ve Arap levhaları üzerinde yeralıp, Paleo-Tetis ve Neo-Tetis sütürleri ile çevrelenen küçük ve büyük kıtasal bloklardan oluşur. Neotetis okyanusu Mesozoyik başlarında Gondwana'nın kuzeyinin rıftleşmesi ile açılmış ve bu okyanusun kolları Geç Kretase'de yakınlaşmaya başlamıştır. Pontid yayı ile Anatolid-Torid platformu arasındaki kuzey kolun kapanması Orta Eosen'e kadar sürmüştür (Platzman vd. 1994). Bu olayın ardından ofiyolitik melanjdan oluşan Likya napları güneye ilerleyerek Menderes Masifi'ni üzerlemeye başlamıştır (Şengör vd. 1984, Zanchi vd. 1993, Yılmaz 1997, Şekil 4.1).

Türkiye'de Neotektonik dönem, Doğu Anadolu'da kabuk kalınlaşması ve kısmasına neden olan kıtasal çarşışma ile başlayan ve Anadolu bloğunun Kuzey ve Doğu Anadolu fayları boyunca batıya doğru kaçışı ile süren olayları kapsar (Dewey vd. 1986, McKenzie 1972, Şengör ve Yılmaz 1981). Anadolu ve Arap levhaları arasındaki Orta Eosen'de Bitlis sütürü boyunca gerçekleşen çarşışma sonucu doğu Anadolu kabuğu kalınlaşıp kırılmış ve sıkışan Anadolu levhasının Kuzey ve Doğu Anadolu Fayları boyunca batıya doğru tektonik kaçışı Geç Miyosen'de başlamıştır (Şengör ve Yılmaz 1981, Yılmaz 1992). Bu olaydan sonra batı Anadolu'da K-G sıkışma rejimi gerilme rejimine dönüştür (Zanchi vd. 1993, Yılmaz 1997) ve bu tektonik kaçma olayının batı Anadolu'daki Ege graben sisteminin gelişimindeki ana etken olduğu önerilir (Şengör 1979, Şengör ve Yılmaz 1981, Şengör vd. 1985). Angelier vd. (1981)'e göre Miyosen sıkışma döneminin ardından güneybatı Anadolu'daki graben sisteminin gelişiminin nedeni olan baskın KKD-GGB yönlü genişleme Geç Miyosen veya Erken Pliyosen'de başlamıştır. Ancak batı Anadolu'daki grabenleşmenin başlangıç zamanı üzerindeki tartışmalar devam etmektedir (Bölüm 2.2 ve Şekil 4.2).

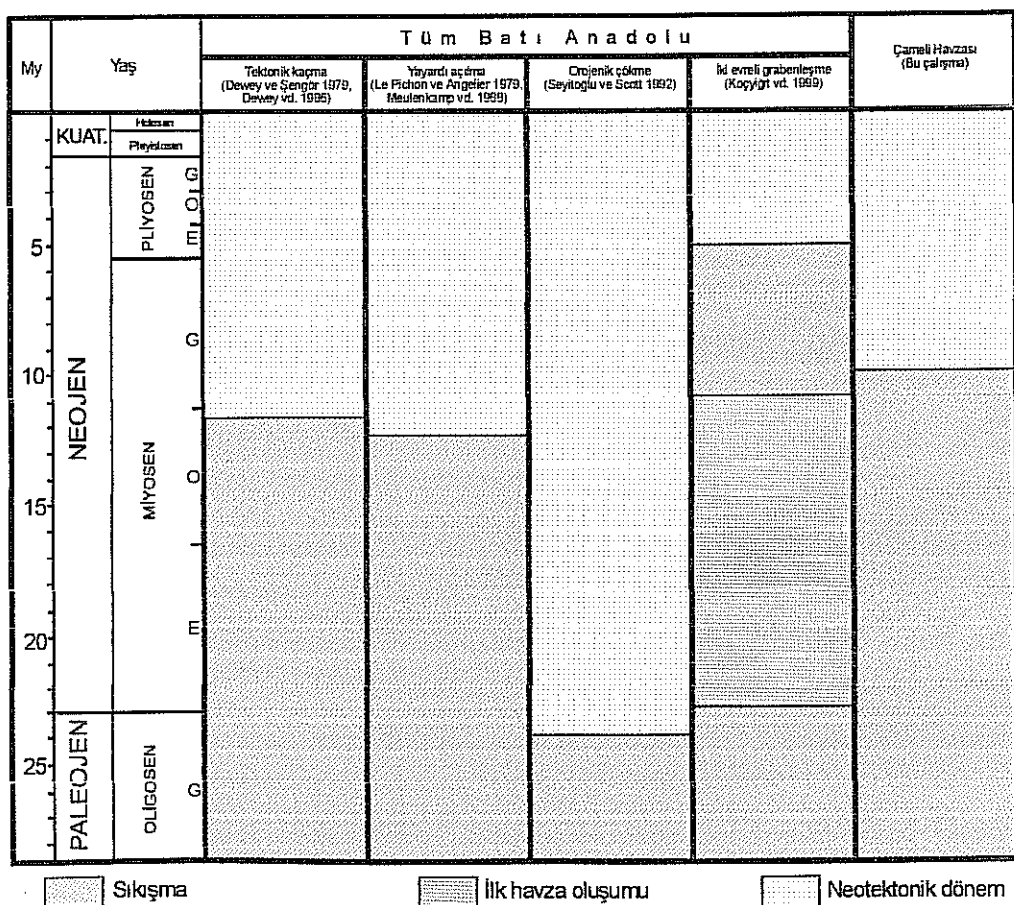


Şekil 4.1. Çameli havzasının oluşumundan önce güneybatı Anadolu'daki jeolojik durum.

4.2. Havza Oluşumu ve Tortullaşma

Batı Anadolu'daki grabenleşmelerin başlangıcı üzerine çeşitli görüşler bulunmasına karşın, Erken Eosen-Orta Miyosen zamanında batı Anadolu'daki kıtasal kabuğun sıkışlığı, kalınlaşlığı ve ardından Geç Miyosen-Pliyosen'de batı Anadolu'da kabuksal genişlemenin baskın tektonik rejim olduğu ve bunun ardından K-G gidişli grabenler geliştiği ileri sürülmektedir (Angelier vd. 1981, Zanchi vd. 1993, Yılmaz 1997). Oligosen sonundaki sıkışma fazından sonra olasılıkla Akitaniyen ortalarına doğru Menderes bloğu yükselirken, Teke bloğu çökmeye başlamış ve bu alçalma, tüm güneybatı Anadolu'yu etkileyen Erken Miyosen transgresyonunu başlatmıştır. Akitaniyen sonrasında bögesel sıkışmanın kesintiye uğrattığı transgresyon süreci, Erken Burdigaliyen'de tekrar etkinleşmiştir. Erken Miyosen transgresyonu, Langiyan'de KB-GD yönünde Likya naplarının ilerlemesi ile sona ermiştir. Bu olaydan sonra kıyı çizgisi güneydoğuya çekilmiş ve güneybatı Anadolu'nun su üstüne çıkan bölümünde, günümüze kadar süren karasal tortullaşma egemen olmuştur (Koçyiğit 1984).

Havzanın ilk açılması (Vallesiyen, 10.8-9.7 My): Çameli Formasyonu'nun en alt düzeylerinden (Çameli ilçesi güneyindeki Elmaliyurt köyü) bulunmuş Perissodactyle-Equidae Hipparrison cf. *primigenium* sp. memeli fosili ile havzanın graben tarzında Vallesiyen'de (10,8-9.7 My) dolmaya başladığı anlaşılmaktadır (Şekil 4.3). Bölgede bu graben tarzındaki açılma, doğuda Dirmil Fayı (Şekil 4.4, Şekil 2.1) batıda ise Bozdağ Fayı (Şekil 4.5) ile sınırlanmıştır. Havza güneyinde ise istifler doğrudan temel üzerine uyumsuzlukla yerleşirler (Şekil 4.6 ve 9. ÖSK, Ek 1). Çameli Formasyonu, havzanın batısındaki Bozdağ Fayı boyunca temel ile normal faylı ilişkide iken Ören-Akalan arasında formasyon aynı fayla Erken Miyosen tortulları ile yine normal faylı ilişkidedir (Şekil 4.7). Oluşan çöküntü alanına kenarlardan alüvyal yelpazeler ilerlemiştir (Derindere üyesi) ve havza merkezinde doğru ise akarsu tortulları (Kumafşarı üyesi) egemen olmuştur. Bu dönemde tektonizmanın aktif olduğu ve havzanın sürekli sübsidansa uğradığı, havzanın bu ilk tortulları içinde görülen büyümeye fayları ile belirgindir (Şekil 4.8).



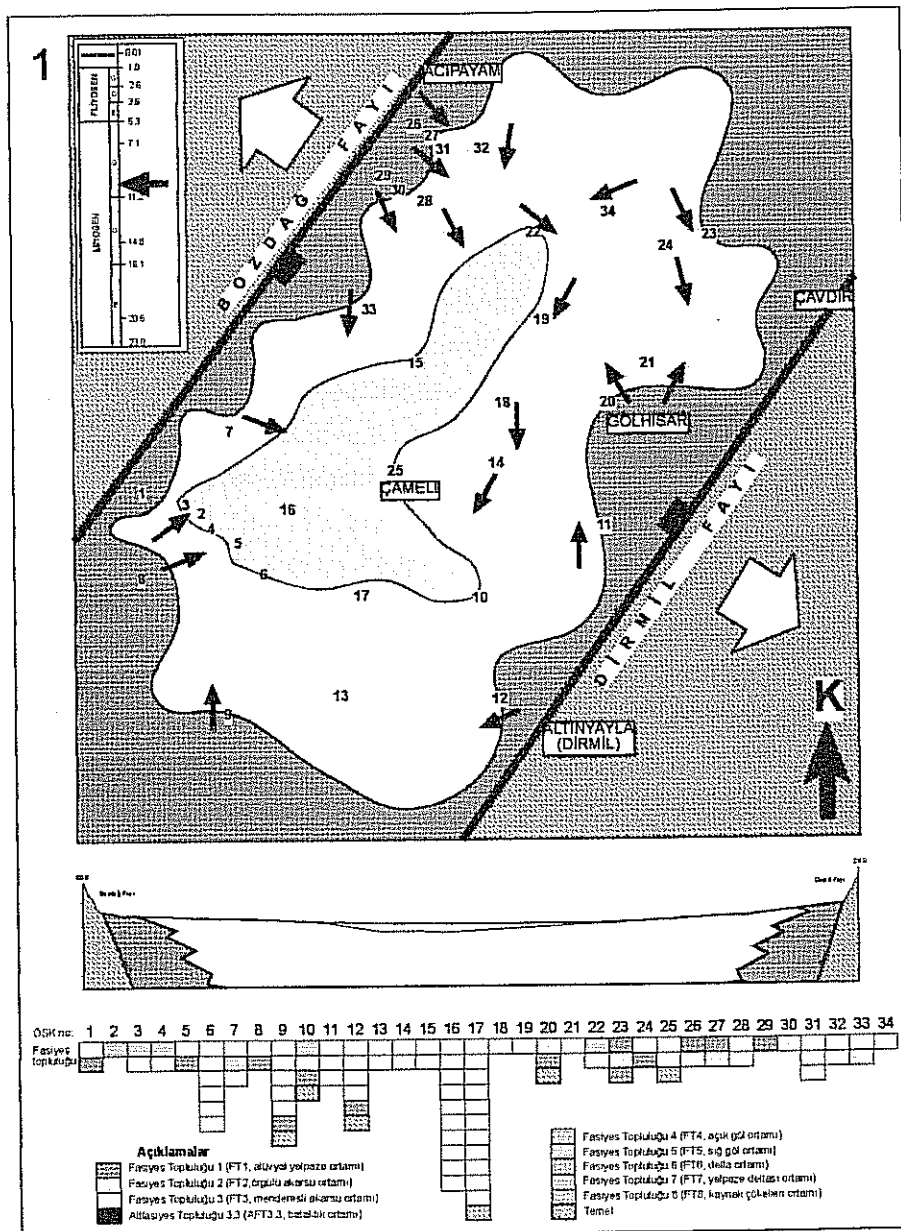
Şekil 4.2. Ege Bölgesi'nde Neotektonik rejim ile ilgili farklı görüşlerin karşılaştırılması.

İkinci genişleme evresi (Erken-Orta Pliyosen, 3.8-3.2 My): Uzun bir depolanma dönemi sonunda, devam eden genişleme rejimi KD-GB doğrultulu ve KB'ya eğimli bir normal fayla (Sarıkavak-Kumafşarı Fayı, Şekil 2.1), önceden oluşan ilk graben havzası, bu evre ile kendi içinde kırılır (Şekil 4.9). Havzayı, kenar faylara paralel olmak üzere yaklaşık ikiye bölen bu olay, fay zonu boyunca özellikle Sarıkavak, Ericek ve Kolak köylerinde gözlenen ve fay zonundan KB'ya doğru uzaklaşıkça yanal olarak tabakalı karbonatlara geçen en fazla 60 m kalınlıktaki çamurtaşları ara kataklı bir traverten seviyesi ile belirgindir. Traverten oluşumu sonlanınca üzerine yeniden akarsu ve bataklık tortulları yerleşmiştir (6 ve 16. ÖSK, Ek 1). Bu bataklık tortulları içindeki kömürlü seviyeler bol miktarda *Mimomys occitanus*, *Apodemus dominans*, *Orientalomys similis*, ve *Pseudomeriones tchaltaensis* mikro-memeli fosilleri içerirler (bkz; Çizelge 2.1; 16. ÖSK'da 50-70. m'ler arası). Elde edilen bu fosiller MN 15–16 (3.8-3.2 My, Geç Ruskiniyen, Erken-Orta Pliyosen) yaşını verirler.

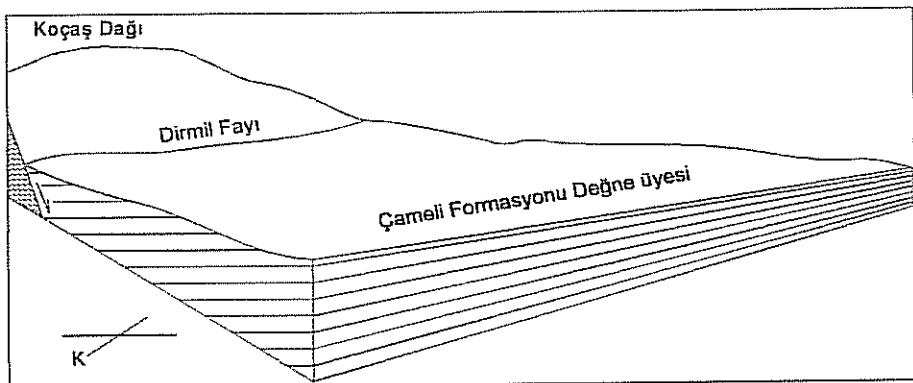
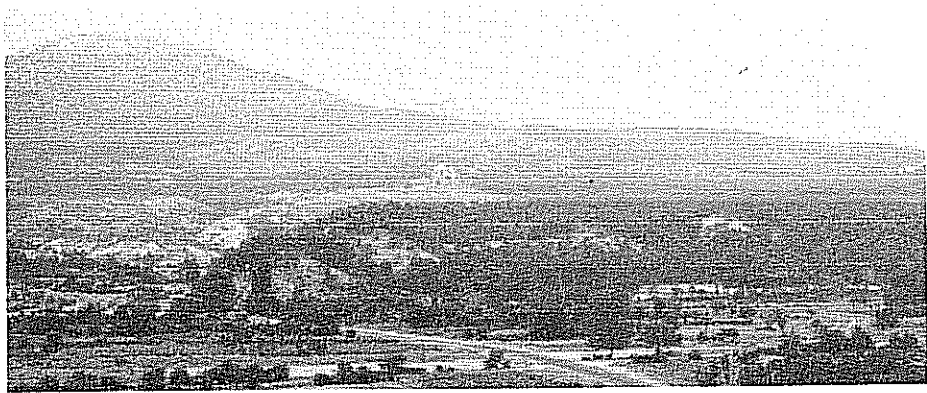
Bu büyük kırılma evresinin ardından, havza kenar faylarını da örtecek şekilde büyük bir açık göl ortamı hakim olmuştur (Şekil 4.10). Çameli ilçesi kuzeyindeki Çamlıbel köyünde bulunan bir memeli fosil lokalitesi, yine Kumafşarı üyesi flüyal tortulları ile Değne üyesi gölsel tortulları arasındaki bataklık çökelleri içindeki kömürlü seviyelerdedir (15. ÖSK'da 5-10. m'ler arası, Ek 1). Bu lokalitede, MN 15–16 (3.5-2.5 My) Geç Ruskiniyen-Erken Villaniyen (Orta-Geç Pliyosen) yaşı, Rodentia-Arviccolidae *Mimomys* sp. fosilleri bulunmuştur. Ayrıca; 6 ve 16 nolu ÖSK'lardaki birinci traverten seviyesi üzerine gelen fosil lokalitesi ile bu lokalite arasındaki zaman farkı, gölsel ortamın havzada egemen olmaya başladığı, gittikçe derinleştiği ve kuzey alanlarda Kumafşarı üyesini üzerine ilerlediğini gösterir (Şekil 4.11).

Toplam 220 m kalınlıktaki bu açık göl litofasiyes topluluğunun killi kireçtaşısı ve tabakalı-laminalli marn fasyeslerinin monoton ardalanmalı oluşları ve bu dönemden önceki dönemde olduğu gibi içinde herhangi bir büyümeye fayı veya tektonizma belirtisinin olmaması, bölgede ya tektonikçe dingin bir dönemi ya da sabit sübsidans dönemi olduğu anlamına gelir. Ancak bu dönemin, sabit sübsidansla çöken bir grabenden çok, tektonik aktivitenin bir önceki döneme göre nispeten yavaşlamış olduğu bir dönem olmalıdır. Çünkü açık göl ortamının tortulları monoton ardalanmalıdır ve ÖSK 17 ve 25'te görüldüğü gibi, ikinci kırılma evresini yaratan Sarıkavak-Kumafşarı fayını aşmakta ve en üst kesimlerinde ise sıçrılık litofasiyes topluluklarına geçerek,

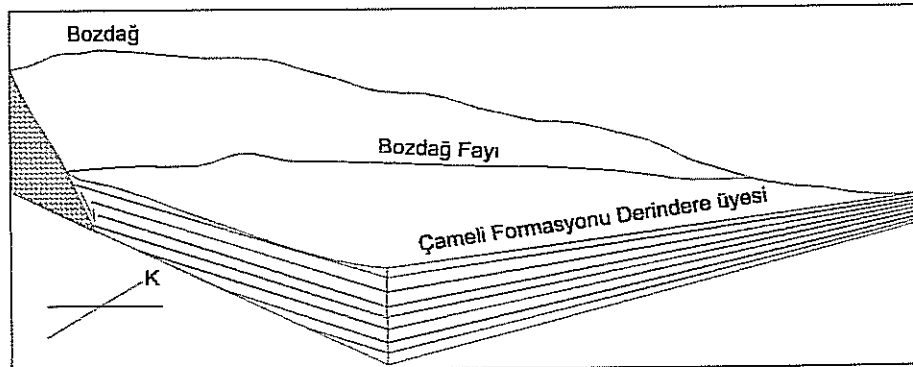
tortulla dolup sıглаşan bir ortamı işaret etmektedirler (Şekil 4.10 ve 4.11). Burada metamorfik temel üzerine doğrudan gölsel fasiyesler yerleşmektektir (Şekil 4.12; Ek 1; ÖSK 11, 17 ve 25). Bu dönemin sonuna doğru açık göl litofasiyes topluluğu, sıg göl litofasiyes topluluğu tarafından örtülüp, delta ve yelpaze deltası litofasiyes toplulukları ile yanal ve düşey ilişkide bulunmaktadır. Bu dönemin sonunda açık göl ortamı tortulla dolarak sıglasır (Şekil 4. 13).



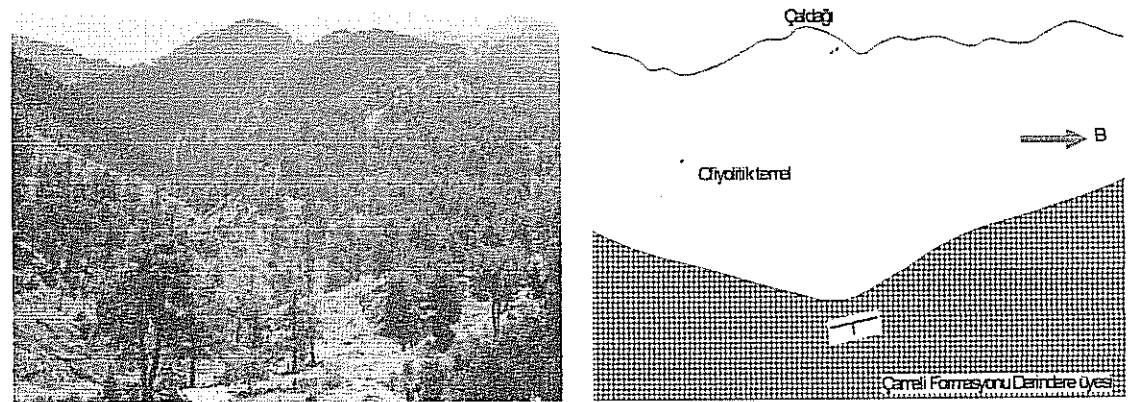
Şekil 4.3. Büyük Çameli graben havzasının açılması (Vallesiyen, 10.8-9.7 My) ve ilk evre tortulları (10.8-9.7 My-3.8-3.2 My aralığı; Şekil 2.1'deki jeoloji haritası ve Şekil 3.18'deki fasiyes toplulukları ile karşılaştırınız. Oklar paleoakıntı yönünü gösterir ve paleocoografik harita üzerindeki rakamlar ÖSK yerleridir).



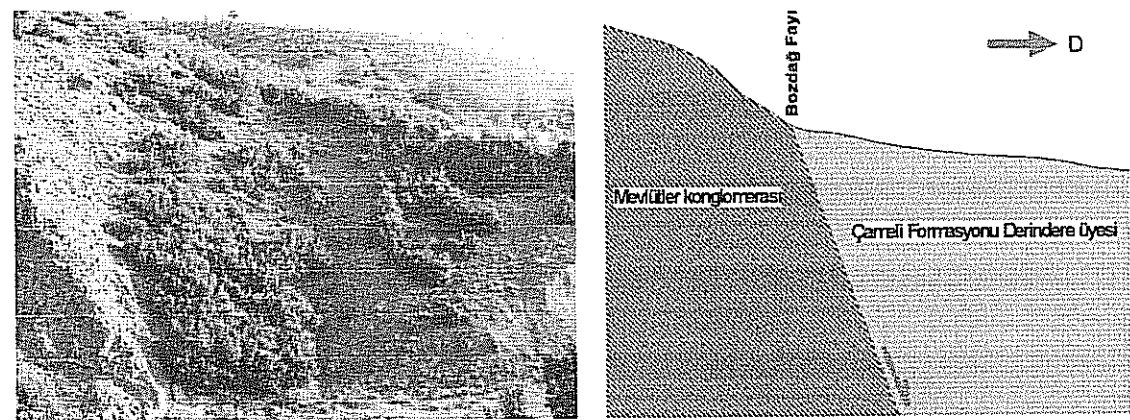
Şekil 4.4. Çameli havzasını doğudan sınırlayan Dirmil Fayı (Gölhisar'dan GD'ya bakış)



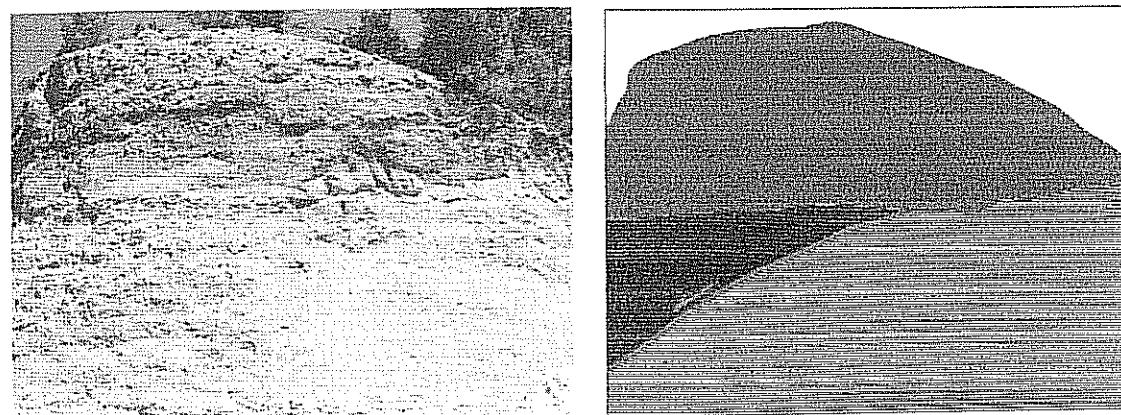
Şekil 4.5. Çameli havzasını batıdan sınırlayan Bozdağ Fayı (Kırıkkale KB'ya Bozdağ'a bakış)



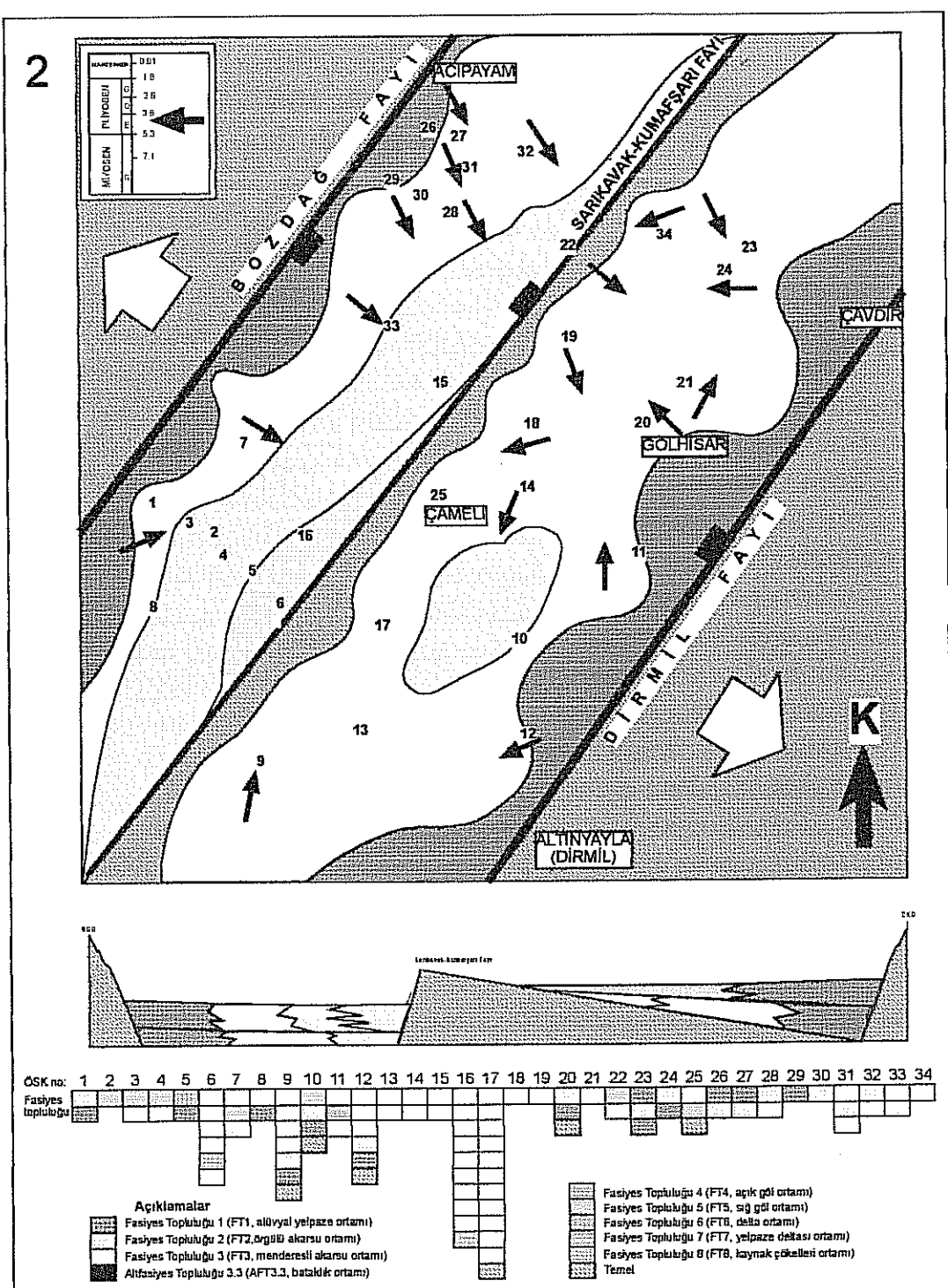
Şekil 4.6. Çameli havzasının güneyinde Çameli Formasyonu'nun temel üzerine açısal uyumsuzlukla gelişti (9. ÖSK başlangıcı, Karabayır'dan güneye, Çaldağı'na bakış)



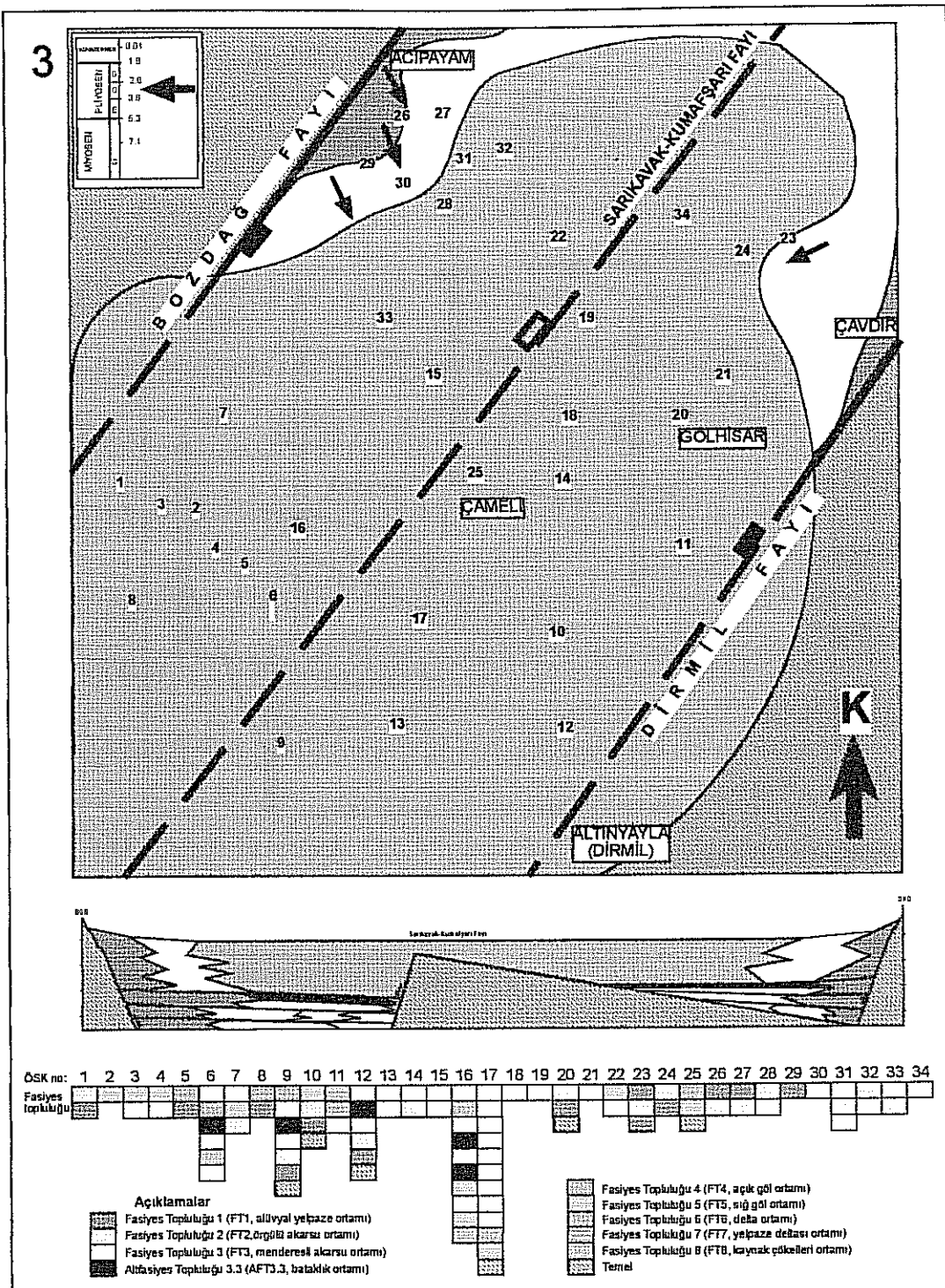
Şekil 4.7. Çameli Formasyonu ile Alt Miyosen tortulları arasında Bozdağ fayı boyunca normal faylı ilişki (Akalan güneyi, bakış kuzeye).



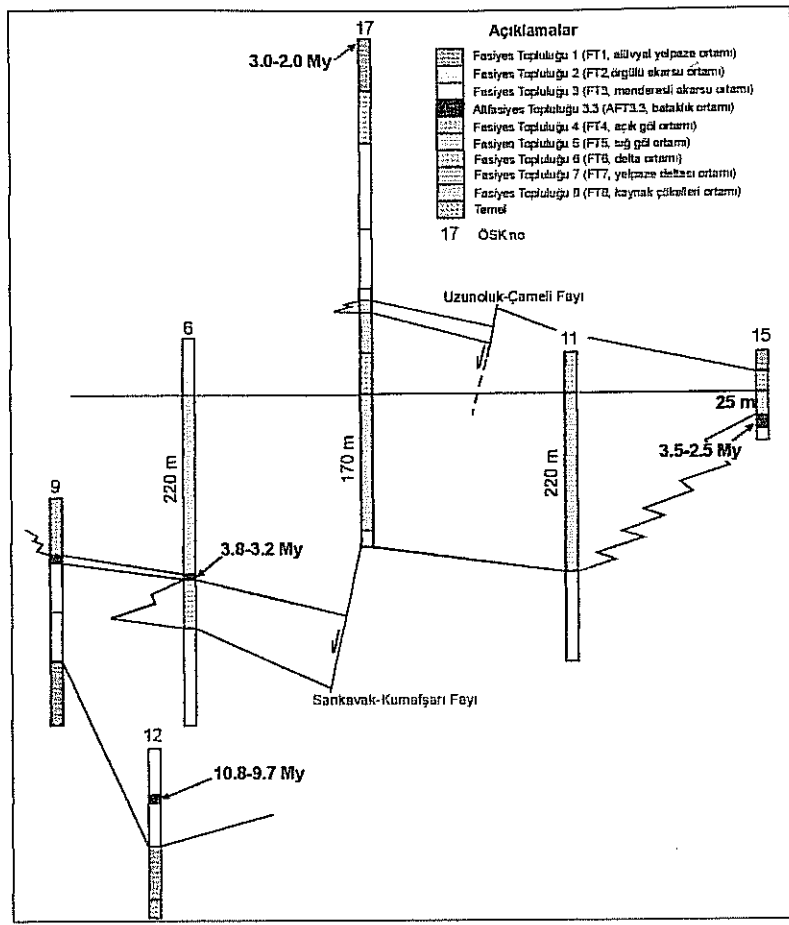
Şekil 4.8. Çameli havzasının ilk tortulları içinde yaygın olarak görülen büyümeye faylarından biri (5. ÖSK, Kızılarmut köyü).



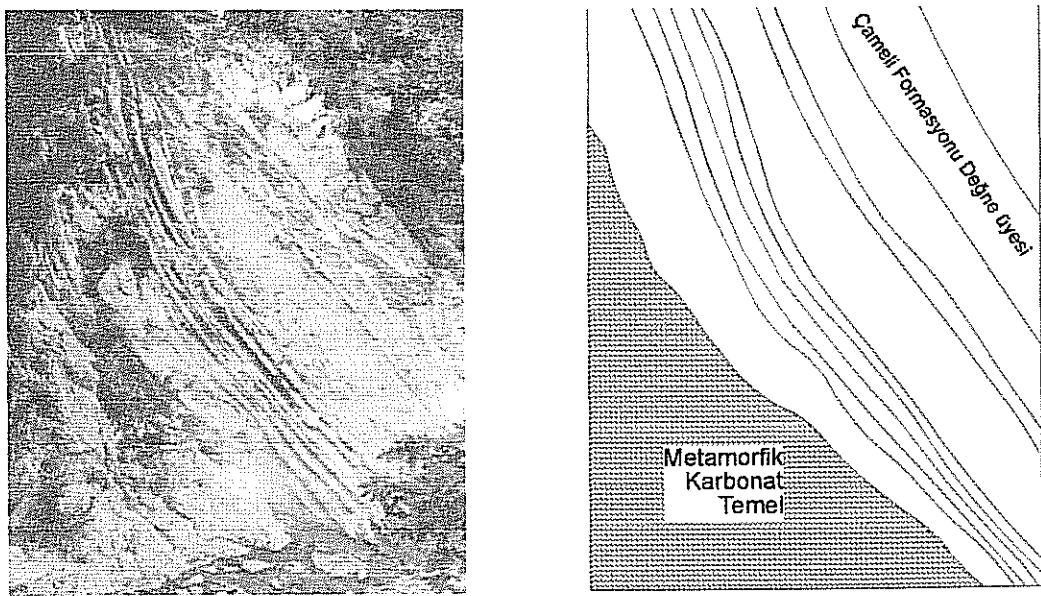
Şekil 4.9. İkinci kırılma evresi ile Sarıkavak-Kumafşarı Fayının oluşumu (3.8-3.2 My; Şekil 2.1'deki jeoloji haritası ve Şekil 3.18'deki fasiyes toplulukları ile karşılaştırınız. Oklar paleoakıntı yönünü gösterir ve paleocoografik harita üzerindeki rakamlar OSK yerleridir).



Şekil 4.10. Sarıkavak-Kumafşarı fayının oluşumundan sonra Çameli havzasında açık göl ortamının hakim olması (3.8-3.2 My-3.5-2.5 My aralığı, Şekil 2.1'deki jeoloji haritası ve Şekil 3.18'deki fasiyes toplulukları ile karşılaştırınız. Oklar paleoakıntı yönünü gösterir ve paleocoğrafik harita üzerindeki rakamlar ÖSK yerleridir).



Şekil 4.11. Çameli havzasında Geç Miyosen-Geç Pliyosen aralığındaki olayların şematik görünümü (Açıklama için metne bakınız, Şekil 2.1'deki jeoloji haritası ve Ek 1'deki ÖSK'lar ile karşılaştırınız).



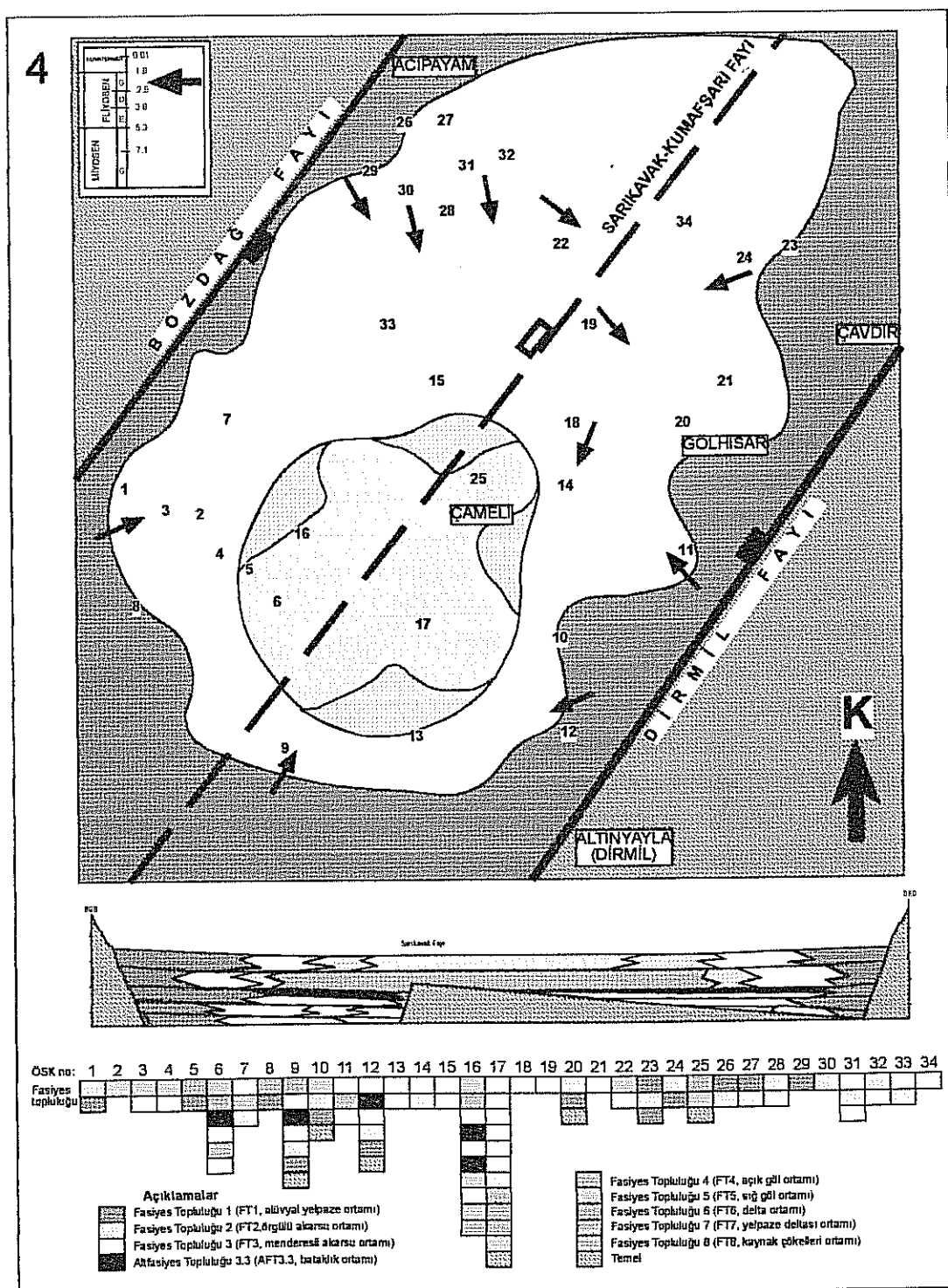
Şekil 4.12. Karaman derede temel üzerine uyumsuz olarak yerleşen açık göl tortulları. Gölsel tortulların Sarıkavak-Kumafşarı fayını aşması nedeniyle istif (17 ve 25 ÖSK'lar) doğrudan ince taneli tortullarla başlamaktadır (17. ÖSK başlangıcı).

Üçüncü genişleme evresi (Geç Pliyosen sonu): Bu dönem, Sarıkavak-Kumafşarı fayını örten ve havzanın büyük bir bölümünde egemen olan gölsel ortama, havza kenarına yakın yerlerde yelpaze deltası veya deltaların ilerlemesi, havza merkezinde ise sığ göl karbonatlarının depolanarak ortamın sığlaşmasına neden olmasının ardından oluşan yeni bir kırılma evresidir. Bu kırılma evresi, biri Uzunoluk-Çameli diğerinin Alçı-Kelekçi arasında uzanan iki ayrı fay sistemi ile temsil edilir. Bu dönemde Kavalcılar köyünde faya paralel yayılıma sahip ve KB'ya doğru tabakalı kireçtaşları ile yanal geçişli olan bir traverten seviyesi ile belirlenmiştir (17. ÖSK, Ek 1). Bu traverten seviyesinin üzerine, oluşan bu yeni faylanmaların yarattığı topografik engebe ile alüvyon yelpazeleri depolanır. Bu yelpazelerin iraksak kesimlerindeki bataklık ortamlarında *Mimomys pliocaenius*, *Apodemus dominans* ve *Micromys praeminutus* fosillerine ile Geç Villaniyen (Geç Pliyosen) yaşı (MN 17, 3.0-2.0 My) elde edilmiştir. Her iki fay sistemi, ikinci genişleme evresinde oluşan Sarıkavak-Kumafşarı fayının ile yaklaşık aynı duruşa sahiptir (Şekil 4. 14, Şekil 2.1). Böylece tüm Çameli Formasyonu D-GD yönüne doğru eğimlenir (Şekil 4.15). Böylece Geç Miyosen'de depolanmaya başlayan Çameli Formasyonu'nun oluşumu Geç Pliyosen'de tamamlanır.

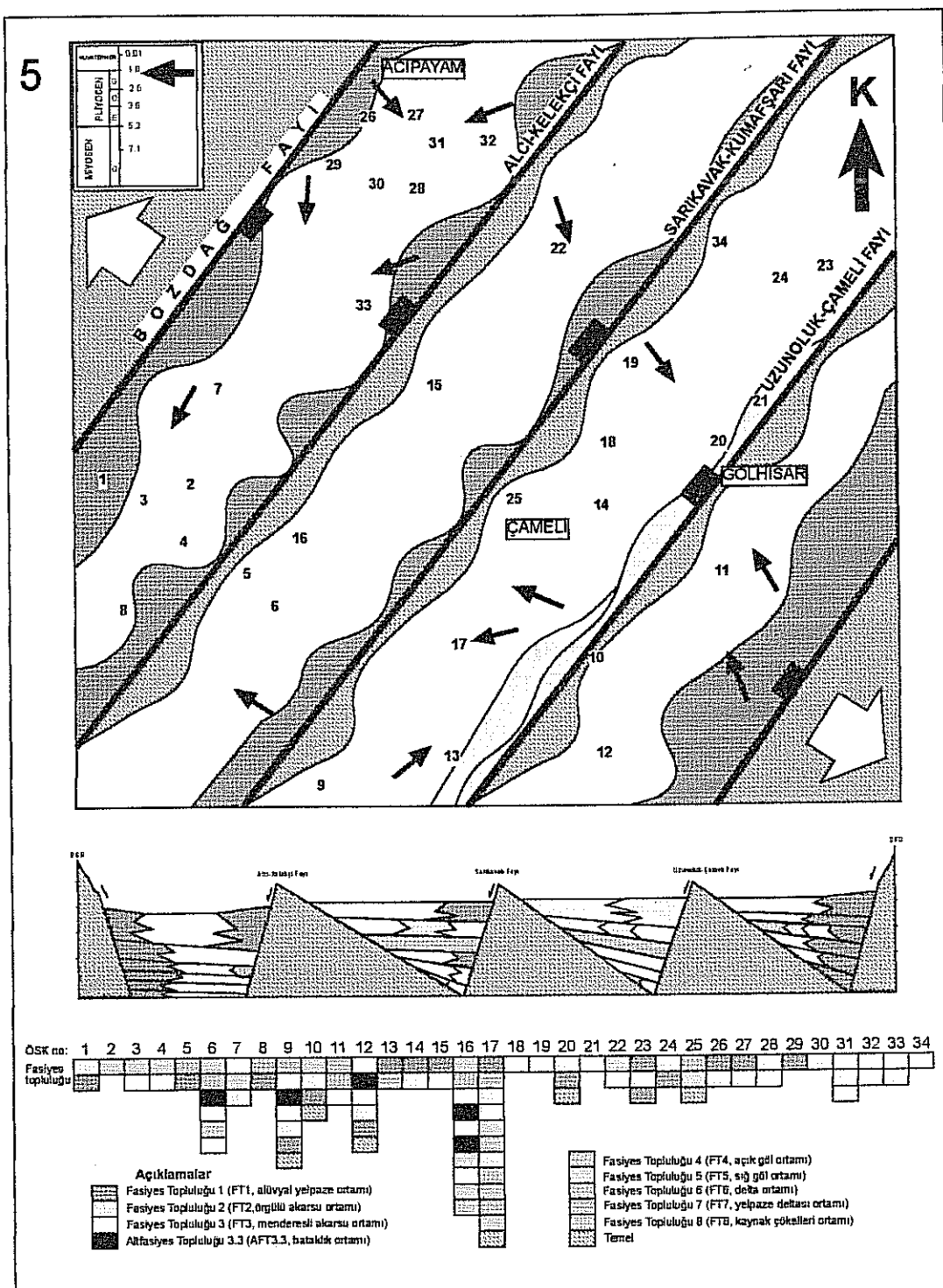
En iyi yüzeylemeleri Kömürlükdağ batısında olan ve Çameli Formasyonu'nun en üst kesimini oluşturan eski alüvyon yelpazelerinin ilerlemesi bu dönemde sonunda duraksar, kaynaklandıkları faya doğru eğimlenirler ve üzerlerine önceden var olan fay sarılığına bağlı olarak çok daha küçük boyutlu güncel yelpazeler gelişir (Şekil 4. 16). Eski ve yeni alüvyon yelpazeleri arasındaki sınır, Çameli Formasyonu'nun görülebilen en üst sınırı olduğundan, bu formasyonun oluşum zamanının en üst zaman sınırıdır. Üçüncü genişleme evresinin sonu ile Çameli Formasyonu'nun oluşumu tamamlanmış ve Çameli bölgesinde Geç Miyosen'den bu yana en fazla % 10 oranında bir genişleme meydana gelmiştir. Çameli Formasyonu bu dönemin sonu itibarı ile aşınmaya başlamıştır. Günümüzde Çameli bölgesini drene eden Dalaman Çayı ve kolları, üçüncü genişleme evresinin oluşturduğu topografyaya yerleşmiştir. Çameli havzasının, özellikle üçüncü genişleme evresinden sonra her üç fay kuşağı boyunca istiflerin ayrı ayrı GD'ya, Dirmil Fay'na doğru eğimlenmeleri ile, her üç kuşağın GD tarafından istiflerin kalınlığı artmıştır. Havza dolgusunun deşilmesi evresinde eğimlenmelerin yarattığı topografik olarak alçak alanlarda, daima faylara yaslı olan göller oluşmuştur (Gölhisar, Acipayam ve Karaman gölleri gibi). Bugün bu göllerden sadece Gölhisar Gölü bulunmaktadır.

Eski haritalardan ve yöre halkından, bir kaç on yıl öncesine kadar Acıpayam (Acıpayam gölü) ve Çameli'de de (Karaman gölü) havzanın içindeki veya kenarındaki faylara yani GD'ya yashı göller olduğu öğrenilmiştir. Ancak bugün mevcut olmayan bu göllerin suları, göl alanlarının tarım alanı olarak kullanılması amacı ile drene edilmiştir. Özellikle Çameli'deki eski Karaman gölü alanı içinde turba işletmeleri bulunmakta ayrıca bu gün var olmayan bu göl Pamir (1974)'de gösterilmektedir. Üçüncü kırılma evresinin oluşturduğu topografyanın izlerini günümüzde havzanın KB'sındaki derelerin derine kazımı (Şekil 4. 17) ve havzanın GD'sunda ise böyle bir kazmanın olmadığı tersine depoalanmalar olduğunu görülmektedir (örneğin Gölhisar gölü).

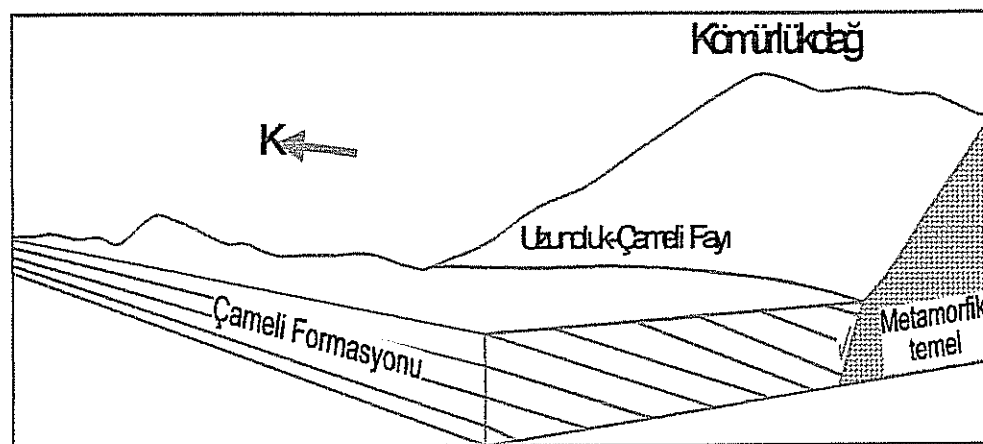
Acıpayam-Gölhisar yolu Kumkısığı mevkiiinde, havzanın doğu kenar fayına doğru 12° eğimlenmiş kaba taneli kenar tortulları içinde açığa çıkmış ve Çameli havzası çökellerini keser durumda fay düzlemleri gözlenmiştir (Şekil 4. 18). Kum-çakıl ocağı olarak işletilen bu tortullardaki fay düzlemleri, yataya yakın kayma çiziklerine sahiptirler (Şekil 4. 19). Fay düzlemleri, K30D-70 KB, K25D-75 GD veya K35D-65KB gibi duruşlara sahiptirler. Oysa Çameli Formasyonu'nun depolandığı Çameli havzasını bir graben havzasıdır ve eğim atımlı normal faylarla sınırlıdır (Şekil 20). Bu mevkinin 15 km GB'sında, Gölhisar'ın KB'sında antik Cibyra yer almaktadır. Akyüz ve Altunel (1997) ve Akyüz ve Altunel (2001)'e göre bu kent doğrultu atımlı sol yönlü hareket meydana getirmiş depremlerle MS 23 ve 417 yıllarında yıkılmış ve terkedilmiştir. Ayrıca yazarlar, bu kenti tahrip eden bu doğrultu atımlı sol yönlü fayları, Ege içindeki Hellen dalma-batmasının kuzeydoğu devamı olan Pliny transform fayının Anadolu içindeki devamı olan "Burdur-Fethiye fay zonu"nun parçası olarak göstermektedirler. Bu kent kalıntıları üzerinde doğrultu atımlı hareketi işaret eden faylar bulunur ve atımları bu yazarlara göre 50 cm sol yönlüdür. Ayrıca bu fay ile Kumkısığı mevkisinde görülen doğrultu atımlı fay düzlemlerinin doğrultuları aynıdır (Şekil 4.21). Çalışmalar sırasında gözlenen bu faylar, çalışmanın konusu dışında olduklarından, bu çalışma kapsamında ele alınmamışlardır. Bölgede gözlenen ve Çameli havzasının evrimi ile ilişkili olmayan bu kırıkların anlamı ve iddia edildiği gibi Burdur-Fethiye fay zonu'nun devamı olup olmadığı konusu detay haritalama, fay çözümleri ve sismik özellikleri ortaya konularak ilerde yapılacak çalışmalarda inceleme konusu yapılabilir.



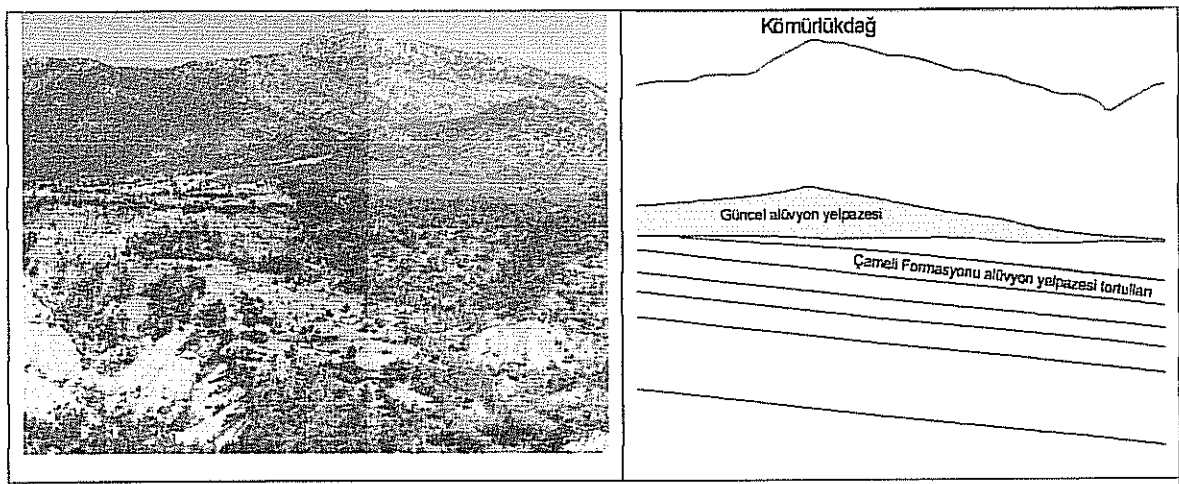
Şekil 4.13. Havzada açık göl ortamının tortulla dolup sıkışarak sona ermesi (3.5-2.5 My aralığı; Şekil 2.1'deki jeoloji haritası ve Şekil 3.18'deki fasiyeler toplulukları ile karşılaştırınız. Oklar paleoakıntı yönünü gösterir ve paleocoografik harita üzerindeki rakamlar ÖSK yerleridir).



Şekil 4.14. Üçüncü kırılma evresi ile Alçı-Kelekçi ve Uzunoluk-Çameli Fayları'nın oluşumu (3.5-2.5 My aralığı; Bkz; Şekil 2.1'deki jeoloji haritası. Oklar paleoakıntı yönünü gösterir ve paleocoğrafik harita üzerindeki rakamlar ÖSK yerleridir).



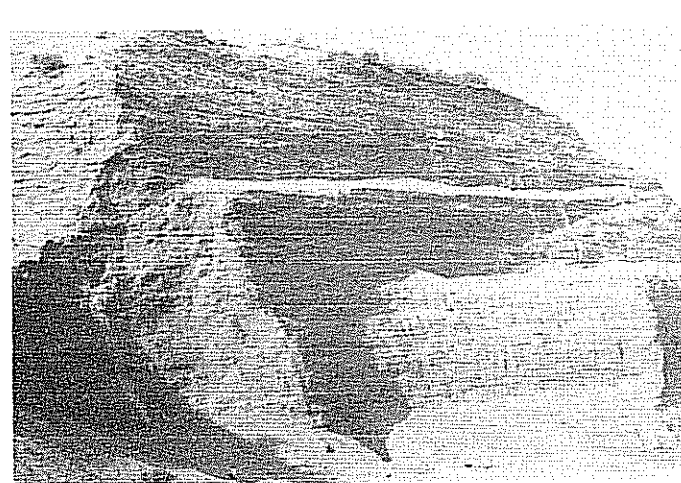
Şekil 4.15. Kömürükdağ batısında Uzunluk-Çameli fayına doğru eğimlenen Çameli Formasyonu'nun görünüşü (Kirazliyayla'dan KD'ya, Kömürükdağ'a bakış).



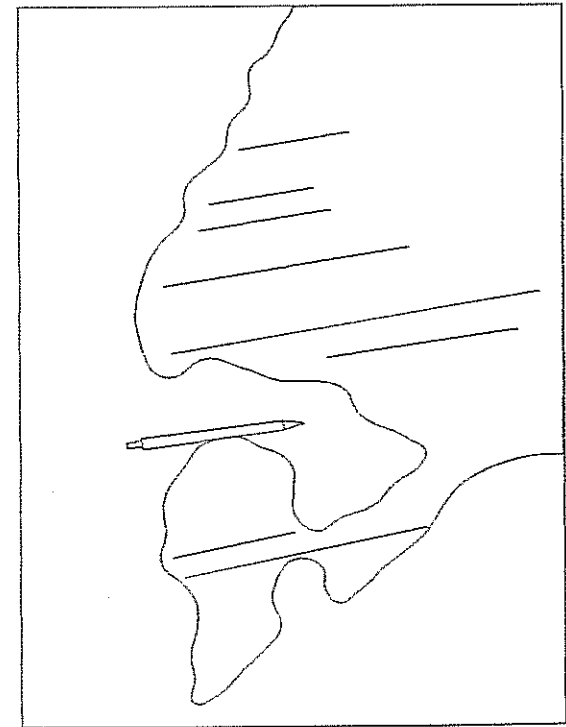
Şekil 4.16. Kömürükdağ batısında Çameli Formasyonu üzerine yerleşen güncel yelpazeler. (Açıklama için metne bakınız, 17. ÖSK en üst kesimleri, Ek 1).



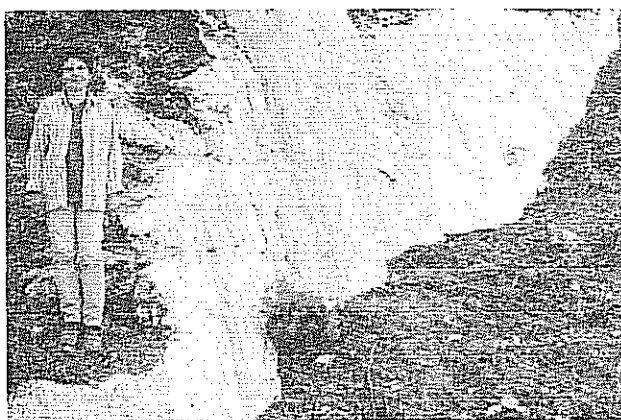
Şekil 4.17. Bozdağ fayı boyuca, gözlenen derine kazıyan vadiler (Derindere)



Şekil 4.18. Çameli Formasyonu'nun en üst kesiminde ve kenar tortulları içinde gözlenen FBFZ'na ait kırıklar (Kumafşarı GD'su Kumkısığı mevkisi)

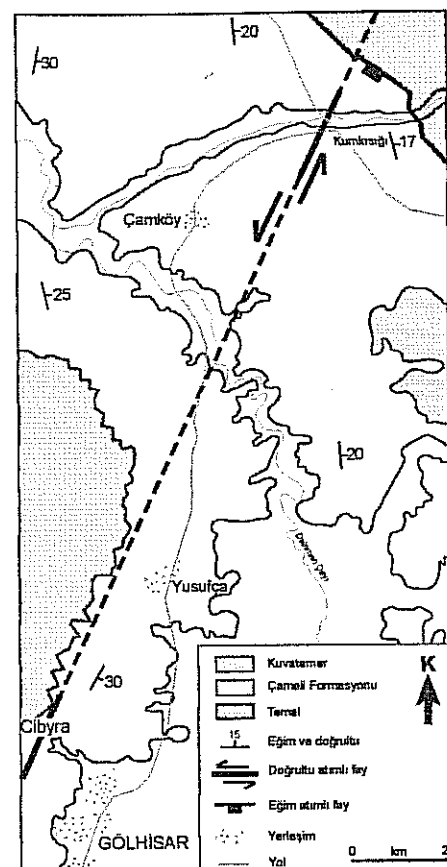


Şekil 4.19. FBFZ'na ait ve yataya yakın kayma çiziklerine sahip fay yüzeylerinden biri.



Şekil 4.20. Kömürlükdağda, Çameli Formasyonu'nun eğimlendiği Sarıkavak-Kumafşarı eğim atımlı normal fay aynası (Kömürlekdağ batısı).

Şekil 4.21. Çameli havzası doğusunda gözlenen FBFZ'na ait düzlemlerin görüldüğü yer. Bu kırıkların doğrultuları antik Kibyra kentinden geçmektedir ve Çameli havzasını sınırlayan kenar fayları ile havza içindeki ikincil faylarla az çok aynı doğrultudadırlar



5. SONUÇLAR

Çameli havzası, batı Anadolu grabenlerinden biri olup bu sistemin en güneyinde ve batı Toroslar'da yer alır. Havzanın temel kayaçları; ofiyolitler, metamorfik kireçtaşları ve bunları uyumsuz olarak üzerleyen transgresif birimlerden oluşan Likya Napları'na aittir. İnceleme konusu olan Çameli Formasyonu'nun depolanması Geç Miyosen'de başlamıştır. Bu dönemden önce bölgede en son Erken Miyosen'de, karasal ve denizel ortamlarda depolanma olmuştur. Bölgede Orta Miyosen yaşı tortul bulunmaz. Dolayısı ile Çameli bölgesi için, Çameli havzasının açılma zamanının Neotektonik dönem başlangıcı olduğu söylenebilir.

Çalışmada, Geç Miyosen'de KD-GB gidişli bir graben olarak açılan Çameli havzasının, Çameli Formasyonu olarak adlandırılan tortul dolgusu sedimentolojik yöntemlerle ayrıntılı olarak incelenmiştir. Havza dolgusunun litolojisi, depolanma özelliklerinin belirlenmesi için izlenen fasiyes analizi yöntemi ile birim içinde, kırıntılı ve karbonatlı olmak üzere 17 fasiyes ve 8 fasiyes topluluğu tanımlanmıştır. Buna göre Çameli Formasyonu tamamen karasal, graben havzası dolgusu olarak, alüvyon yelpazesı, örgülü akarsu, menderesli akarsu, açık göl, sığ göl, delta ve yelpaze deltası ortamlarında depolanmıştır. Ayrıca Çameli Formasyonu, litostratigrafik olarak üç üyeye ayrılarak incelenmiştir. Birimin alüvyal yelpaze tortulları Derindere, akarsu tortulları Kumafşarı ve gölsel tortulları Değne üyesi olarak ele alınmıştır. Birimin haritalanması, önceki yıllarda yapılmış haritaların sahada denetlenmesi, düzenlenmesi ve gerektiğinde yeniden çizilmesi ile tamamlanmış ve birim içinde ayrılan üyeler de ayrıca haritalanmıştır.

Çalışma konusu edilen Çameli Formasyonu'nun stratigrafik konumunun aydınlatılması için paleontolojik yöntemler kullanılmıştır. Bu çalışma ile havza dolgusunun çeşitli seviyelerinden elde edilen memeli fosil toplulukları yardımcı Çameli Formasyonu'nun Geç Miyosen (Vallesiyen, 10.8-9.7 My)-Geç Pliyosen (Geç Villaniyen, 3.0-2.0 My) aralığında depolandığı belirlenmiştir. Ayrıca depolanmayı denetleyen bir çok olay yine memeli fosil topluluklarından elde edilen yaşlarla açıklanmıştır.

Bununla beraber Çameli havzasında, başlangıçtan günümüze kadar, depolanmayı denetleyen jeolojik olaylar da tartışılmıştır. Tartışılan bu jeolojik evrim, sedimentolojik yöntemlere, özellikle ölçülu stratigrafik kesit alımına ve fasiyelerin yanal ve düşey

ilişkilerine ve dağlışlarına dayalı olarak açıklanabilmiş olması önemlidir. Buna göre havza Vallesiyen'de graben tarzında açılmış ve havzanın ilk ürünleri alüvyon yelpazesи, akarsu ve sıg göl tortulları olmuştur. Bunun ardından havzada, Geç Ruskiniyen'de genişlemenin nispeten etkinleşmesi ile büyük bir kırılma olmuş (Sarıkavak-Kumafşarı fayı) ve havza, hemen her yerinde kömür içeren bir bataklık ortamıyla açık göl ortamına dönüşmüştür. Genişlemenin etkinliğinin nispeten azalması nedeniyle killi kireçtaşı ve marnların monoton ardalanmasından oluşan bu gölsel ortam, Geç Ruskiniyen-Erken Villaniyen'e kadar havzanın her tarafına yayılmış ve kenar fayları da örtmüştür. Elde edilen gölser fosil topluluklarına göre, dışa boşalımı olan bir tatlı su gölü olduğu anlaşılan bu gölser ortam, zamanla kenarlardan ilerleyen akarsu ve alüvyal yelpaze tortulları ile doldurularak sıg göl ortamına dönüşmüştür, havza ortasında ise sıg göl karbonatları depolanmıştır. Geç Villaniyen'de etkinleşen genişleme ile havzada görülen yeni bir kırılma evresi ile oluşan yeni fay takımları (Alçı-Kelekçi ve Uzunoluk-Çameli fayları) ile bölünen havza, az çok bugünkü şeklini almıştır. Böylece Çameli bölgesinde Geç Miyosen'den-Geç Pliyosen'e kadar en fazla olarak % 10 oranında bir genişleme meydana gelmiştir.

6. KAYNAKLAR

- AKYÜZ, H.S. Altunel, E., 417 Cibyra depremi: Burdur-Fethiye Fay Zonu'nun sol-yanal hareketine ait veriler (GB Anadolu), Aktif Tektonik Araştırma Grubu 1. toplantısı, İTÜ, İstanbul, (1997) s: 161-170.
- ALLEN, J.R.L., The classification of cross-stratified units, with notes on their origin, *Sedimentology*, 2, 93-144, (1963).
- ALLEN, J.R.L., A review of the origin and characteristics of recent alluvial sediments. *Sedimentology*, 5, 89-191, (1965).
- ALLEN, J.R.L., Devonian lake margin environments and processes, SE Shetland, Scotland. *J. Geol. Soc. London*, 138, 1-14, (1981).
- ALLEN, J.R.L., Studies in fluvial sedimentation: bars, bar complexes and sandstone sheets (low-sinuosity braided streams) in the Brownstones (L. Devonian), Welsh Borders, *Sediment Geol.* 33, 237-293, (1983).
- ALONSO ZARZA, A.M., Wright, V.P., Calpo, J.P. and Gargica, Del C., Soil-landscape and climatic relationship in the Middle Miocene of the Madrid Basin, *Sedimentology*, 39, 17-35, (1992).
- ALTINLI, E., Denizli güneyinin jeolojik incelenmesi; MTA Enst. Derleme Rap. no: 2794, (1954).
- ALTINLI, E., Denizli güneyinin jeolojik incelemesi; İst. Ünv. Fen. Fak. Mecm. B.XX, 1/2, 1-47, (1955).
- ALTUNEL, E., and Hancock, P.L., Morphology and structural setting of Quaternary travertines at Pamukkale, Turkey. *Geol. Jour.*, 28, 335-346, (1993).
- ALTUNEL, E. and Hancock, P.L., Active fissuring and faulting in Quaternary travertines at Pamukkale, western Turkey. *Z. Geomorphol. Suppl.*, 94, 285-302, (1994).
- ANADON, P., Cabrera, L.I., Julia, R., Roca, E. and Rosell, L., Lacustrine oil-shale basins in Tertiary grabens from NE Spain (Western European Rift Systems). *Palaeogeography, Palaeoclimatology, Palaeoecology*, 70, 7-28, (1989).
- ARAL, E., Gölhisar-Burdur sahası petrol aramaları rezistivite etüdü raporu, TPAO Rap, 2030, (1982-83).
- BALCI, M., Sarıkaya, A. ve Yıldız, M., Burdur (Yeşilova-Tefenni) ve Denizli (Acıpayam) peridotit masiflerinde krom-nikel prospeksiyonu, MTA Enst. Rap. no: 6336, (1974).
- BALCI, M., Sarıkaya, A. ve Yıldız, M., Denizli-Acıpayam peridotit masifinin Çatak-Mevlütler çevresinin jeolojisi, MTA Enst. Rap. no: 6447, (1976).
- BATES, R.L. and Jackson, J.A., (eds). *Glossary of Geology*. Second edition, American Geological Institute Falls Church, Virginia, 749 p, (1980).
- BECKER-PLATEN, J.D., Lithostratigraphische Unterschungen im Kanozoikum Südwest Anatoliens (Türkei)-(Kanozoikum und Braunkohlen der Turkei)-Beihefte zum Geologischen Jahrbuch, Hannover, 97- 244 pp, (1970).
- BECKER-PLATEN, J.D., Stratigraphic division of the Neogene and oldest Pleistocene in Southwest Anatolia. *Newsl. Stratigr.*, 1/3, 9-10, (1971).
- BELT, E.S., Flores, R.M., Warwick, P.D., Conway, K.M., Johnson, K.R. and Waskowitez, R.S., Relationship of fluvio-deltaic facies to coal deposition in the Lower Fort Union Formation (Paleocene), South-Western North Dakota. In: R.A. Rahmani and R.M. Floras (eds.) *Sedimentology of Coal and Coal Bearing Sequences*. Int. Ass. Sediment. Spec. Publ., 7, 177-195, (1984.).
- BENDA, L., Meulenkamp J.E., Schmidt R.R. and Zachariasse J. Biostratigraphic correlations in the Eastern Mediterranean Neogene; 2. Correlation between sporomorph associations and marine microfossils from the Upper Oligocene-Lower Miocene of Turkey, *Newsl. Stratigr.*, 6, 1-22, (1977).
- BOOTHROYD, J.C. and Ashley, G.M., Process, bar morphology and sedimentary structures on braided outwash fans, northeastern Gulf of Alaska. In: A.V. Jopling and B.C Mac Donald

- (eds.) Glacio-fluvial and glacilacustrine sedimentation. Soc. Econ. Paleontol. Mineral. Spec. Publ., 23, 193-222, (1975).
- BOZKURT, E., Timing of extension on the Büyük Menderes Graben, western Turkey, and its tectonic implications. Bozkurt E. Winchester J.A. and Piper J.D.A. (eds) Tectonics and Magmatism in Turkey and the Surrounding Area. Geol. Soc. London Spec. Publ. 173, 385-403, (2000).
- BÖLÜKBAŞI, A.S., Elmalı (Antalya)-Acıgöl-Burdur Gölü (Burdur)-Korkuteli (Antalya) arasında kalan Elmalı naplarının jeolojisi; TPAO Rap: 2415, (1987).
- BRIDGE, J.S., Large-scale facies sequences in alluvial overbank environment. J. Sediment. Petrol., 54, 583-588, (1984).
- BULL, W.B., Recognition of alluvial-fan deposits in the stratigraphic record. In: Rigby, K.J. and Hamblin, W.K. (eds), Recognition of Ancient Sedimentary Environments. Spec. Publ. SEPM, Tulsa ,16, 68-83, (1972).
- BULL, W.B., 1977. The alluvial fan environment. Prog. Phys. Geog., 1; 222-270.
- CANT, D.J. Fluvial facies models; In: P.A. Secholle and D. Spearing (eds.) Sandstone Depositional Environments, Amer Assoc. Petrol. Geol., Publ., Tulsa, 115-138, (1982).
- COLLINSON, J.D., Alluvial sediments: Reading, H.G. Ed, Sedimentary Environments and Facies, Blackwell Sci. Publ.,15-60, (1978).
- COSTA, J.E., Rheologic, geomorphic and sedimentologic differentiation of water floods, hyperconcentrated flows and debris flows. In: V.R. Baker, R.C. Kochel and P.C. Patton (eds.) Flood geomorphology, New York, Wiley, 113-122, (1988).
- CROWLEY, K.D. Large-scale bed configurations (macroforms), Platte River basin, Colorado and Nebraska: primary structures and formative processes. Geol. Soc. Am. Bull., 94, 117-133, (1983).
- DE CELLES, P.G., Gray, M.B., Ridgway, K.D., Cole, R.B., Pivnik, D.A., Pequera, N. and Serivastava P., Controls on synorogenic alluvial fan architecture, Beartooth Conglomerate (Palaeocene), Wyoming and Montana. Sedimentology, 38, 567-590, (1991).
- DEWEY, J.F., Hempton, M.R., Kidd, W.S.F., Saroğlu, F. and Şengör, A.M.C., Shortening of continental lithosphere: the neotectonic of eastern Anatolia-a young collision zone; In: Coward, M.P., Ries, A.C. (Eds), Collision Tectonics. Geol. Soc. London. Spec. Publ. 29, 2-36, (1986).
- DEWEY, J.F. and Şengör, A.M.C., Aegean and surrounding regions complex multiplate and continuum tectonics in a convergent zone; Bull. Geol. Soc. Amer. 190, 84-92, (1979).
- DEWEY, J. F., Extensional collapse of orogens, Tectonics, 7, 1123-1139, (1988).
- DUMONT, J.F., Uysal, S., Şimşek, Ş., Karamanderesi, İ.H. ve Letouzey, J., Güneybatı Anadolu'daki grabenlerin oluşumu, MTA Enst. Derg., 97, 7-18, (1979).
- DUNHAM, R.J., Classification of carbonate rocks according to depositional texture; Ham, W.E. Ed, Classification of Carbonate Rocks da, Mem AAPG, 1, Tulsa,108-121, (1962).
- EASTWOOD, W.J. and Pearce, N.J.G., Recognition of Santorini (Minoan) tephra in lake sediments from Göllhisar Gölü, southwest Turkey by laser ablation ICP-MS, Jour. of Archaeological Sci., 25, 677-687, (1998).
- EASTWOOD, W.J., Pearce, N.J.G., Westgate, J.A., Perkins, W.T., Lamb, H.F. and Roberts, N., Geochemistry of Santorini tephra in lake sediments from Southwest Turkey, Global and Planetary Change, 21, 17-29, (1999).
- EASTWOOD, W.J., Roberts, N. and Lamb, H.F., Paleoecological and archaeological evidence for human occupancy in southwest Turkey: the Beyşehir occupation phase, Anatolian Studies, 48, 69-86, (1998).
- ENOS, P., Flow regimes in debris flow. Sedimentology, 24, 133-142, (1977).
- ERAKMAN, B., Meşhur, M., Gül, M.A., Alkan, H., Öztaş, Y. ve Akpinar, M.,Toros projesine bağlı Kalkan-Köyceğiz-Çameli-Tefenni arasında kalan alanın jeolojisi ve hidrokarbon olanakları raporu; TPAO Rap: 1732, (1982).

- ERAKMAN, B., Meşhur, M., Gü'l M.A., Alkan, H., Öztaş, Y. ve Akpinar, M., Fethiye-Köyceğiz-Tefenni-Elmalı-Kalkan arasında kalan alanın jeolojisi, Türkiye 6. Petrol Kong. Jeoloji bildirileri, 23-32, (1986)..
- ERCAN, T., Günay E. ve Baş H., Denizli Volkanitlerinin petrolojisi ve plaka tektoniği açısından bölgesel yorumu, TJK Bült, 26/2, 153-158, (1983).
- FIELDING, C.R., Upper delta plain lacustrine and fluvilacustrine facies from the Wessalian of the Durham coalfield, NE England. *Sedimentology*, 31, 547-567, (1984).
- FOLK, R.F., Spectral subdivision of limestone types. In: W.E. Ham (ed.) *Classification of Carbonate rocks*, Mem. Amer. Assoc. Petrol. Geol. 1, 62-84, (1962).
- FORD, T.D. and Pedley H.M. A review of tufa and travertine deposits of the world. *Earth Sci. Review*, 44, 117-175, (1996).
- GHOSH, S.K., Cyclicity and facies characteristics of alluvial sediments in the Upper Paleozoic Monongahela-Dunkard Groups, Central West Virginia. In: F.G. Ethridge, R.M. Flores and M.D. Harvey (eds.), *Recent Developments In Fluvial Sedimentology*. Soc. Econ. Paleont. Mineral. Spec. Publ., 39, 229-239, (1987).
- GLOPPEN, T.G. and Steel, R.J. The deposits, internal structure and geometry in six alluvial fan delta bodies (Devonian-Norway): a study in the significance of bedding sequence in conglomerates; In: *Recent and Ancient Nonmarine Depositinal Environments: Models for Exploration*, (Eds: F.G. Ethridge and R.M. Flores) Spec. Pub. SEPM 31, 49-69, (1981).
- GÖKTAS, F., Denizli M22-b1, b2, b3, paftalarının jeolojisi, MTA Rap, (1990) no: 9114.
- HAKYEMEZ, H.Y., Kale-Kurbalı (GB Denizli) bölgesindeki Senozoyik yaşı çökel kayaların jeolojisi ve stratigrafisi, MTA Derg, 109, 9-21, (1989).
- HAKYEMEZ, Y. ve Örçen, S., Muğla ve Denizli arasındaki (GB Anadolu) Senozoyik yaşı çökel kayaların sedimentolojik ve biyostratigrafik incelemesi, MTA Rap, (1982) no: 7311.
- HAKYEMEZ, Y. Sözlü görüşme. Maden Tetkik ve Arama Genel Müdürlüğü, Ankara, (2000).
- HARDIE L.A., Smooth, J.P. and Eugster H.P. Saline lakes and their deposits. *Sedimen. Approach Spec. Publ. Int. Ass. Sediment.*, 2, 7-41, (1978).
- HARMS, J.C. and Fahnestock, R.K., Stratification bed forms and flow phenomena (with an examples from the Rio Grande). In: G.V. Middleton (ed.) *Primary sedimentary structures and their hydrodynamic interpretation*. SEPM, Spec. Publ., 12, 84-115, (1965).
- HARMS, J.C., Southard, J.B. and Walker, R.G. Structures and sequences in clastic rocks. *Soc. Econ. Paleontol. Miner. Short Course* 9, (1982).
- HAYWARD, A.B. Sedimentation and basin formation related to ophiolite emplacement, Miocene, SW Turkey, *Sedimentary Geol.*, 40, 105-129, (1984).
- HEIMAN, A., and Sass, E., Travertines in the northern Hula Valley, Israel. *Sedimentology*, 36, 95-108, (1989).
- HEIN, F.J. and Walker, R.G., Bar evolution and development of stratification in the gravelly, braided, Kicking Horse River, British Columbia. *Can. J. Earth Sci.*, 14, 562-570, (1977)
- HEWARD, A.P., Alluvial fan and lacustrine sediments from the Stephanian A and B (La Magdalena, Cinera-Matallana and Sabero) coalfields, northern Spain. *Sedimentology*, 25, 451-488
- Hooke, R. Le B. 1967. Processes on arid-region alluvial fans, *J. Geol.*, 75, 438-460, (1978).
- KARA, H., Acıpayam (Denizli) ovasının ve civarındaki Neojen havzalarının jeolojik etüdü; MTA Enst, Derleme Rap., no: 6153 (1976).
- KASTELLI, M., Denizli Vilayeti güneyinin jeoloji incelemesi ve jeotermal enerji olanakları; MTA Enst, Rap., no: 5199 (1971).
- KAZANCI, N., Repetitive deposition of alluvial fan and fan-deltas wedges at a fault-controlled margin of the Pleistocene-Holocene Burdur Lake graben, southwestern Anatolia, Turkey. In: *Fan Deltas: Sedimentology and Tectonic Settings*, W. Nemec and R. J. Steel (Eds.), Blackie and Son, Glasgow, 186-196, (1988).
- KAZANCI, N., Fan-delta sequences in the Pleistocene and Holocene Burdur Basin, Turkey: the role of basin-margin configuration in sediment entrapment and differential facies

- development. In: Coarse Grained Deltas, A. Collela and D.B. Prior), Int. Assoc. Sediment. Spec. Publ. 10, 185-198, (1990).
- KELLY, S.B. and Olsen, H.O., Terminal fans: a review with reference to Devonian examples. *Sediment. Geol.*, 85; 339-374, (1993).
- KISSEL, C., Averbunch, O., Frizon, De Lamotte, D., Monod, O. and Allerton, S., First paleomagnetic evidence for a post-Eocene clockwise rotation of western Taurides thrust belt east of the Isparta re-entrant (Southwestern, Turkey); *Earth Planet. Sci. Lett.* 117, 1-14, (1993).
- KISSEL, C., Laj, C., Poisson, A., Savaşçın, Y., Simeakis, K. and Mercier, J.L., Paleomagnetic evidence for Neogene rotation in the Aegean domain; *Tectonics*, 5/5, 783-795, (1986)
- KOÇYİĞİT, A., Güneybatı Türkiye ve yakın dolayında Levha içi yeri tektonik gelişim, *TJK Bül.* 27/1, 1-12, (1984).
- KOÇYİĞİT, A., Yusufoglu, H. and Bozkurt, E., Evidence from the Gediz graben for episodic two-stage extension in western Turkey; *Jour. Geol. Soc. London*, 156, 605-616, (1999).
- KOÇYİĞİT, A., Ünay, E. and Saraç, G., Episodic graben formation and extensional neotectonic regime in west Central Anatolia and the Isparta Angle: a case study in the Akşehir-Afyon Graben, Turkey. In: Bozkurt E. Winchester J.A. & Piper J.D.A. (eds) *Tectonic and Magmatism in Turkey and the Surrounding Area*. Geological Society, London, Special Publications, 173, 405-421, (2000).
- KOÇYİĞİT, A., Özcar, A.A. ve Cihan, M., Batı Anadolu horst-graben sisteminin doğu uzantısı ve Isparta açısı ile ilişkisi nedir? "Fethiye-Burdur Zonu" olarak bilinen yapının tektonik niteliği. Aktif Tektonik Araştırma Grubu 4. Toplantısı (ATAG-4), bildiri özleri, Kasım, Eskişehir s. 4-5, 16-17, (2000).
- LE PICHON, X. and Angelier, J., The Hellenic arc and trench systems: a key to the neotectonic evolution of the Eastern Mediterranean area, *Tectonophysics*, 60, 1-42, (1979).
- LESLIE, A.B., Tucker, M.E. and Spiro, B., A sedimentological and stable isotopic study of travertines and associated sediments within Upper Triassic lacustrine limestone, South Wales, UK. *Sedimentology*, 39, 613-629, (1992).
- LEWEY, R.A., Bed-form distribution and internal stratification of coarse-grained point bars Upper Congaree River. In: A.D. Miall (ed.) *Fluvial sedimentology*. Can. Soc. Pet. Geol. Mem., 5, 105-127, (1978).
- LOWE, D.R., Sediment gravity flows: their classification and some problems of application to natural flows and deposits. In: *Geology of Continental Slopes* (Eds L.J. Doyle and O.H. Pilkey), Spec. Publ. SEPM, 27, 75-82, (1979).
- LOWE, D.R., Sediment gravity flows: II Depositional models with special reference to the deposits of high-density turbidite currents; *J. Sedim. Petr.* 52, 279-297, (1982).
- MAIZELS, J., Lithofacies variations within sandur deposits: the role of runoff regime, flow dynamics and sediment supply characteristics. *Sediment. Geol.*, 85, 299-325, (1993).
- MAULENKAMP, J.E., Wortel, W.J.R., Van Wamel, W.A., Spakman W. and Hoogerduyn Strating E., On the Hellenic subduction zone and geodynamic evolution of Crete in the late middle Miocene, *Tectonophysics*, 146, 215-230, (1988).
- MC KENZIE, D.P., Active tectonic of the Mediterranean regions, *Geophysical Journal of the Royal Astronomical Society*, 30, 109-185, (1972).
- MC CABE, P.J., Depositional environments of coal and coal-bearing strata. In. Rahmani R.A. and Flores R.M. (eds). *Sedimentology of Coal and Coal-bearing Sequences*. IAS Spec. Publ., 7, 13-42, (1984).
- MEŞHUR, M. ve Yoldemir, O., Köyceğiz (Muğla)-Datça (Muğla)-Yatağan (Muğla)-Kale (Denizli) arasında kalan alanın jeolojisi ve petrol olanakları, TPAO Rap., no: 1847 (1983).
- MEŞHUR, M. ve Akpinar, M., Yatağan-Milas-Bodrum-Karacasu-Kale-Açıpayam-Tavas civarlarının jeolojisi ve petrol olanakları, TPAO Rap. no:1963 (1984).
- MIALL, A.D., A review of the braided river depositional environment. *Earth Science Reviews*, 13, 1-62, (1977).

- MIALL, A.D., Lithofacies types and vertical profile models in braided river deposits: a summary: In: fluvial sedimentology; (Ed: A.D. Miall), Mem. Can. Soc. Petr. Geol. 5, 597-604, (1978).
- MIALL, A.D., Principles of Sedimentary Basin Analysis, Springer-Verlag, New York, 490p, (1984.).
- MIALL, A.D., Architectural-element analysis a new method of facies analysis applied to fluvial deposits; Earth Sci. Rev. 22, 261-308, (1985).
- MIALL, A.D., The Geology of Fluvial Deposits. Springer, 582pp., (1996).
- MIDDLETON, G.V. and Hampton, M.A. Subaqueous sediment transport and deposition by sediment gravity flows; In: Marine Sediment Transport and Environment Management (Eds: D.J. Stanley and D.J.P. Swift), Wiley, New York, 197-218, (1976).
- MORISON, S.R. and Hein, F.J., Sedimentology of the Whie Channel gravels, Klondike area, Yukon Territory: fluvial deposits of a confined valley. In: Ethridge F.G. Flores R.M. Harley M.D (eds) Recent development in fluvial sedimentology. Soc. Econ. Paleontol. Mineral. Spec. Publ., 39, 205-216, (1987).
- NEBERT, K., Denizli 105/1, 105/2 1:100 000 ölçekli paftalarının jeolojik harita raporu, MTA Rap. no: 2509 (1956).
- NEMEC, W. and Muszynski, A., Volcaniclastic alluvial aprons in the Tertiary of Sofia district (Bulgaria). Ann. Soc. Geol. Polon., 52, 239-303, (1982).
- NEMEC, W. and Steel, R.J., What is a fan delta and how do we recognize it? In: W. Nemec and R.J. Steel (eds.) Fan Deltas: Sedimentology and Tectonic Settings. Blackie and Son, London, 3-13, (1988).
- NEMEC, W. and Postma, G., Quaternary alluvial fans in southewestern Crete: sedimentation processes and geomorphic evolution. In: Alluvial sedimentation, M. Marzo and C. Puigdefabregas (eds.) Spec. Publ. of IAS, 235-276, (1993).
- NILSEN, T.H., Alluvial fan deposits. In: P.A. Scholle and D. Spearing (eds.) Sandstone depositional environments. Am. Assoc. Petrol. Geol. Tulsa., 49-86, (1982).
- ÖZKUL, M. and Alçıçek, M.C., Facies variation in Recent to Quaternary ridge hot spring travertines, Denizli Basin, Interior Western Turkey. International Earth Sciences Colloquium on the Aegean Region, Abstracts September, İzmir-Turkey, 91, 25-29, (2000).
- ÖZPINAR, Y., Denizli-Acipayam batisının jeolojik, petrografik ve petrokimyasal incelenmesi; Doktora tezi, KTÜ Fen Bil. Enst, 220s. Trabzon, (1987).
- PAMİR, H.N., 1/500 000 ölçekli Türkiye jeoloji haritası (Denizli). MTA Ens. yayını, 83 s,(1974).
- PEDLEY, H.M., Classification and environmental models of cool freshwater tufas. Sedimentary Geol., 68, 143-154, (1990).
- PLATZMAN, E.S. Platt, J.P. Tapirdamaz, C. Sanver, M. and Rundle, C.C. Why are there no clockwise rotations along the North Anatolian fault zone? J. Geophys. Res., 99, 21-705, (1994).
- PLINT, A.G., Sandy fluvial point bar sediments from the Middle Eocene of Dorset England. In: J.D. Collinson and J. Lewin (eds.) Modern and ancient fluvial systems. Int. Ass. Sediment. Spec. Publ., 6; 355-368, (1983.).
- REINECK, H.E. and Sighn, I.B., Depositional sedimentary environments. 2nd edition, Springer-Verlag, Berlin, Heidelberg, Newyork, 549 p, (1980).
- ROBERTS, N., Eastwood, W.J., Lamb, H.F. and Tibby, J. The age and causes of Mid-Late Holocene environmental change in southwest Turkey; In: Third Millenium BC Climate Change and Old World Collapse (Eds: H.N. Dalfes, G. Kukla, H. Weiss), Springer-Verlag, Berlin-Heidelberg, 413-429, (1997).
- ROBERTSON, A.H.F. and Dixon, J.E., Introduction: Aspects of the geological evolution of the eastern Mediterranean; In: Dixon J.E. & Robertson A.H.F. (eds.), The evolution of the Eastern Mediterranean. Spec.Publ.Geol.Soc.London, 17, 1-74, (1984).
- RUST, B.R., Structures and process in a braided river. Sedimentology, 18; 221-248, (1972).

- RUST, B.R., Depositional models for braided alluvium. In: A.D.Miall (ed.) Fluvial sedimentology, Can. Soc. Petrol. Geol. Mem., 5; 605-625, (1978).
- RUST, B.R., Facies models 2: Coarse alluvial deposits; In: Facies Models (Ed: R.G. Walker), Geosci. Can. Reprint Serie, 1, 9-21, (1979).
- RUST, B.R., Proximal braid plain deposits in the Middle Devonian Malbaie Formation of eastern Gaspe, Quebec, Canada. Sedimentology, 31; 675-695, (1984).
- SEYİTOĞLU, G. and Scott, B.C., Late Cenozoic crustal extension and basin formation in west Turkey: Gördes basin; tectonics and sedimentation, Geol. Magazine 128, 155-166, (1991)
- SEYİTOĞLU, G. and Scott, B.C., The age of the Büyük Menderes graben (west Turkey) and its tectonic implications, Geol. Mag. 129, 239-242, (1992).
- SEYİTOĞLU, G., Discussion on evidence from the Gediz Graben for episodic two-stage extention in western Turkey. J. Geol. Soc. London, 156, 1240-1242, (1999).
- SEYİTOĞLU, G., Çemen İ. and Tekeli O., Extentional folding in the Alaşehir (Gediz) graben, western Turkey. J. Geol. Soc. London, 157, 1097-1100, (2000).
- SHULTZ, A.W., Subaerial debris flow deposition in the Upper Paleozoic Cutler Formation, Western Colorado; J. Sediment. Petrol. 54, 759-772, (1984).
- SIEGENTHALER, C. and Huggenberger P., Pleistocene Rhine gravel: deposits of a braided river system with dominant pool preservation. In: J.L. Best and C.S. Bristow (eds.) Braided rivers. Geol. Soc. Lond. Spec. Publ., 75, 147-162, (1993).
- SIMONS, D.B., Richardson E.V. and Nordin C.F., Sedimentary structures generated by flow in alluvial channels. In: G.V. Middleton (ed.) Primary sedimentary structures and their hydrodynamic interpretation. Soc. Econ. Paleont. Miner., Spec. Publ., 12; 34-42, (1965).
- SMITH, N.D., Some sedimentological aspect of planar cross-stratification in a sandy braided river. J. Sediment. Pertol., 42, 624-634, (1972).
- SOUTHARD, J.B., Laboratory studies of oscillating-flow bed configurations and their bearing no stratification in shallow-marine sands (abs). Can. Soc. Petrol. Geol., Shelf sands and sandstones symps. Program and abstracts, 65 p., (1984).
- STEININGER, F.F., Berggren, W.B., Kent, D.V., Bernor, R.L., Şen, Ş. and Agusti, J., Circum Mediterranean Neogene marine-continental chronologic correlations of European mammal units and zones. In: R. Bernor, V. Fahlbusch and W. Mittmann (eds.), Evolution of Western Eurasian Neogene mammal faunas. Colombia Univ. Press, p. 7-46, (1996).
- ŞAROĞLU, F., Emre, Ö. ve Boray, A.. Türkiye'nin diri fayları ve depremselliği; MTA Rap, No: 8174 (1987).
- ŞENEL, M., Selçuk, H., Bilgin, Z.R., Şen, A.M., Karaman, T., Dinçer, M.A. Durukan, E., Arbas, A., Örcen, S. ve Bilgi, C., Çameli (Denizli)-Yeşilova (Burdur)-Elmalı (Antalya) ve dolayının jeolojisi; MTA Rap: 9429, Ankara (1989).
- ŞENEL, M. 1/1000000 ölçekli Türkiye Jeoloji Haritaları, Fethiye-L8, No:2, MTA, Ankara (1997a).
- ŞENEL, M. 1/1000000 ölçekli Türkiye Jeoloji Haritaları, Fethiye-L9, No:3, MTA, Ankara (1997b).
- ŞENEL, M. 1/1000000 ölçekli Türkiye Jeoloji Haritaları, Denizli-K9, No:17, MTA Ankara (1997c).
- ŞENGÖR, A.M.C., The North Anatolian Transform Fault: its age, offset and tectonic significance, Journal of the Geological Society, London, 13, 268-282, (1979)
- ŞENGÖR, A.M.C., Türkiye'nin Neotektoniği'nin esasları; TJK Konf. Ser. no:2, 40s, (1980).
- ŞENGÖR, A.M.C. and Yilmaz Y., Tethyan evolution of Turkey: A plate tectonic approach; Tectonophysics, 75, 181-241, (1981).
- ŞENGÖR, A.M.C., Ege'nin Neotektonik evrimini yöneten etkenler: Erol, O. ve Öygür. V. (Eds), Batı Anadolu'nun genç tektoniği ve volkanizması paneli, Türkiye Jeo. Kong. 59-71, (1982)
- ŞENGÖR, A.M.C., Satır M. and Akkök R., Timing of tectonic events in the Menderes massif, western Turkey: imlications for tectonic evolution for Pan-African basement in Turkey. Tectonics, 3, 693-707, (1984).

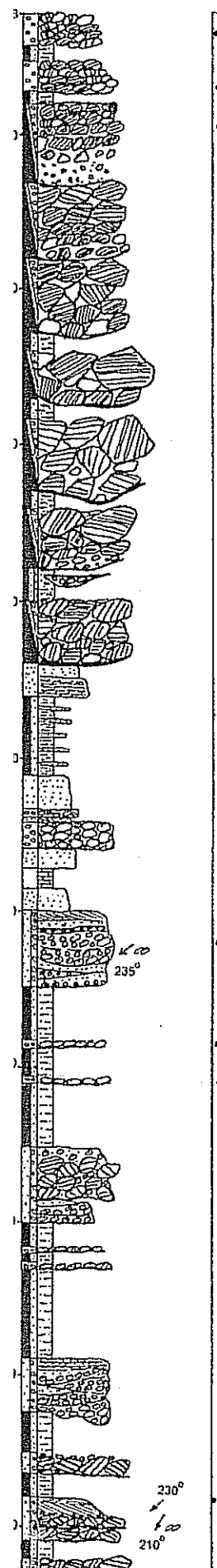
- ŞENGÖR, A.M.C., Görür, N. and Saroğlu, F., Strike-slip faulting and related basin formation in zones of tectonic escape: as a case study; In: Biddle, K.T. and Christie-Blick, N. (Eds), strike-slip faulting and basin formation, SEPM spec. pub, 37, 227-264, (1985).
- TATAR, O., Gürsoy, H. and Temiz, H., Recent deformation at the eastern end of the Gediz Graben, Western Turkey. Wokshop on Active Tectonics of Western Turkey in memorial to Paul L. Hancock, Abstracts, June, İTU, 15-16, (2000).
- TODD, S.P., Stream-driven, high-density gravelly traction carpets: possible deposits in Trabeg Conglomerate Formation, SW Ireland and theoretical consideration of their origin. *Sedimentology*, 36; 513-530, (1989).
- TODD, S.P., Process deduction from fluvial sedimentary structures. In: P.A. Carling and M.R. Dawson (eds.) Advances in Fluvial Dynamics and Stratigraphy, Wiley, Chichester, 299-350, (1996).
- TYLER, N. and Ethridge, F.G., Fluvial architecture of Jurassic uranium bearing sandstone, Colorado Plateau, western United States. In: J.D. Collinson and J. Lewin (eds.) Modern and ancient fluvial systems. Int. Assoc. Sedim. Spec. Publ., 6; 533-537, (1983).
- ÜNAL, İ., Acıpayam (Denizli) güneyindeki Neojen çökellerinin stratigrafisi ve sedimentolojisi. Yüksek Lisans Tezi. Pamukkale Univ. Fen Bil. Enst. Sy, 58, (1999).
- WALKER, R.G. and Cant, D.J., Facies Models 3, Sandy Fluvial Systems. In: Facies Models (Ed: R.G. Walker), Geosci. Can. Reprint Serie, Geol. Ass. Of Canada, 1, 23-32, (1979).
- WILLIAMS, G.E., Flood deposits of the sand-bed ephemeral streams of Central Australia. *Sedimentology*, 17; 1-40, (1971).
- YILMAZ, Y., New evidence an model on the evolution of south Turkey; *Geol. Soc. Amer. Bull.*, 105, 251-271, (1992).
- YILMAZ, Y., The geology of western Anatolia. In: Active Tectonic of Northwestern Anatolia- The Marmara Poly-Project; A Multidisciplinary Approach by Space-Geodesy, Geology, Hydrogeology, Geothermics and Seismology, C. Schindler and M. Pfister(eds). Vdf Hochschulverag Ag an der ETH Zurich, 31-53, (1997).
- ZANCHI, A., Kissel, C. and Tapirdamaz, C., Late Cenozoic and Quaternary brittle continental deformation in western Turkey; *Bull. Soc. Geol. France*, 164, 507-517, (1993).

BİBLİYOGRAFİK BİLGİ FORMU

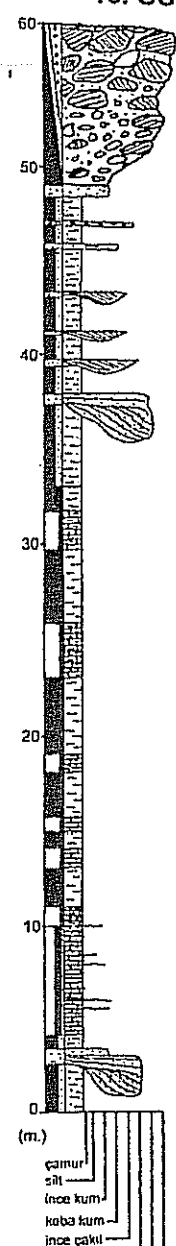
1. Proje No: YDABÇAG 100 Y 004	2. Rapor Tarihi: .. / .. / ..
3. Projenin Başlangıç ve Bitiş Tarihleri: 01 / 08 / 2000 - 01 / 08 / 2002	
4. Projenin Adı: ACIPAYAM-ÇAMELİ (DENİZLİ, GB TÜRKİYE) NEOJEN HAVZASININ SEDİMANTOLOJİK İNCELEMESİ	
5. Proje Yürüttücsü ve Yardımcı Araştırmacılar: Prof. Dr. Nizamettin KAZANCI, Prof. Dr. Şevket SEN, Doç. Dr. Mehmet ÖZKUL, Dr. Levent KARADENİZLİ, Dr. Mehmet Cihat ALÇİÇEK, ve Arş. Gör. Hüseyin ERTEM.	
6. Projenin Yürüttüğü Kuruluş ve Adresi: Ankara Üniversitesi Mühendislik Fakültesi	
7. Destekleyen Kuruluş(ların) Adı ve Adresi: Yok	
8. Özet (Abstract): Çalışma, batı Anadolu grabenlerinden biri olan Çameli Havzası tortul dolgusunun sedimentolojik yöntemlerle incelenmesini ve böylece oluşumundan günümüze kadar geçirdiği jeolojik evrimi açıklamayı amaçlar. Havzanın temelini oluşturan Likya naplarının yerlesimi Geç Miyosen başında tamamlanır. Bu yerleşimin ardından Çameli havzası, Memeli fosil bulgularına göre, Geç Miyosen'de (10.8-9.7 My), doğuda Dirmil fayı batıda ise Bozdağ fayı denetiminde graben havzası tarzında açılmaya başlar ve dolgulanması Geç Pliyosen'e kadar sürer. Alüvyon yelpazesi, flüyal ve gölsel tortullardan oluşan, havzanın ilk ırınları içinde yaygın olarak görülen büyümeye fayları, genişlemenin yoğun bir şekilde devam ettiğini gösterir. Oldukça etkin olan bu genişleme evresi memeli fosillerine göre Orta Pliyosen'e (3.8-3.2 My) kadar devam eder ve bu zamanda havza, bir traverten seviyesi ile belirgin olan büyük bir faylanma ile ikiye bölünür (Sarkavak-Kumafşarı fayı). Bu dönemden sonra genişleme tektoniğinin etkinliği nispeten azalır ve havza büyük bir göl ortamına dönüşür. GölSEL tortullar havza kenar fayları dahil, havzayı sonradan ikiye bölen fayı da aşar ve bu dönemde memeli fosillerine göre Geç Pliyosen'e (3.5-2.5 My) kadar sürer. Bu göl ortamı, kenarlardan yelpaze deltaları ve deltaların ilerlemesi ile tortulla doldurularak sağlaşıır ve aynı zamanda havzamın merkez kesimlerinde sig göl karbonatları depolanır. Havza bu dönemden sonra kenar faylarına paralel olmak üzere ve bir traverten seviyesi ile belirgin olan iki ayrı fay sistemi (Alçı-Kelekçi ve Uzunoluk-Çameli fayları) ile en Geç Pliyosen sonunda yeniden kırılır (3.0-2.0 My). Havzanın en son ırınları bu faylanma evresinin neden olduğu alüvyon yelpazesi tortullarıdır. Bu kırılma evresinden sonra depolanan tortullar içinde görülen büyümeye fayları genişlemenin yeniden etkinlik kazandığını gösterir. Bu olayın ardından Çameli Havzası'nın ve dolayısı ile Çameli Formasyonu'nun oluşumu tamamlanır.	
Anahtar Kelimeler : Güneybatı Anadolu, Çameli, Neojen, alüvyal, akarsu ve gölSEL graben dolgusu tortulları.	
9. Proje ile ilgili Yayın/Tebliğlerle ilgili Bilgiler:	
ALÇİÇEK M.C. KAZANCI N. ve ÖZKUL. M. 2000. Çameli-Acipayam havzası ve tortul dolgusu. 53. Türkiye Jeoloji Kurultayı, s. 201-202, 21-25 Şubat, Ankara.	
ALÇİÇEK M.C. KAZANCI N. and ÖZKUL M. Multiple rifting pulses and sedimentation in the Çameli graben, southwestern Anatolia, Turkey. Sedimentary Geology. (hakem incelemesinde).	
10. Bilim Dalı: Sedimentoloji	ISIC Kodu:
Doçentlik B. Dalı Kodu:	
Uzmanlık Alanı Kodu:	
11. Dağıtım (*) MTA, TPAO	<input type="checkbox"/> Sınırlı <input checked="" type="checkbox"/> Sınırsız
12. Raporun Gizlilik Durumu:	<input type="checkbox"/> Gizli <input checked="" type="checkbox"/> Gizli Değil

* Projenizin Sonuç Raporunun ullaştırılmasını istediğiniz kurum ve kuruluşları ayrıca belirtiniz.

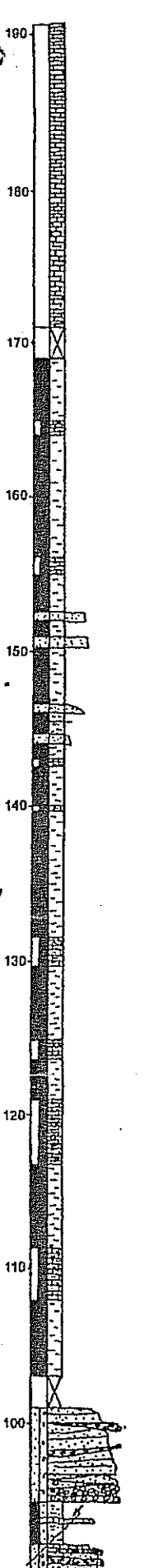
14. ÖSK - İMAMLAR



15. ÖSK - ÇAMLIBEL



16. ÖSK - ERİCEK

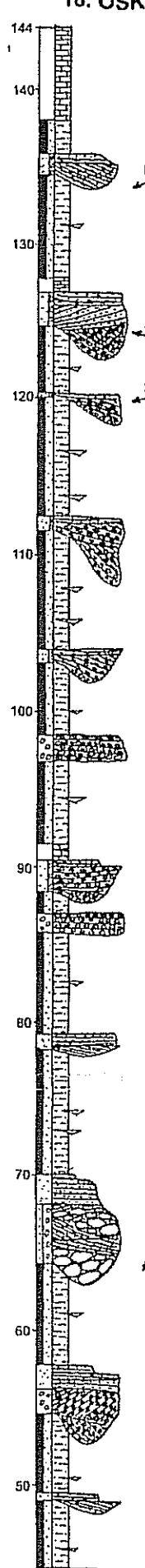


FT5

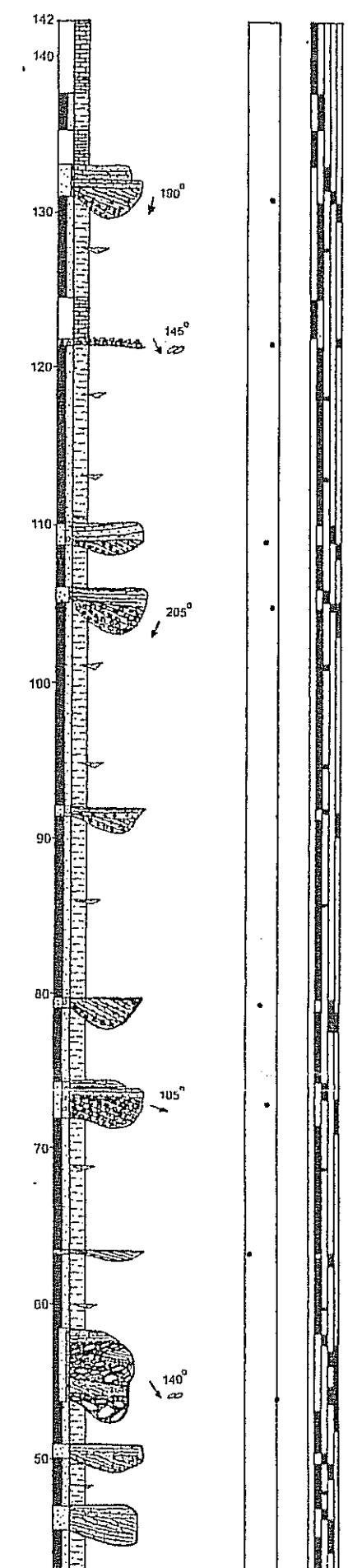
FT4

FT3

18. ÖSK - KINIYERİ

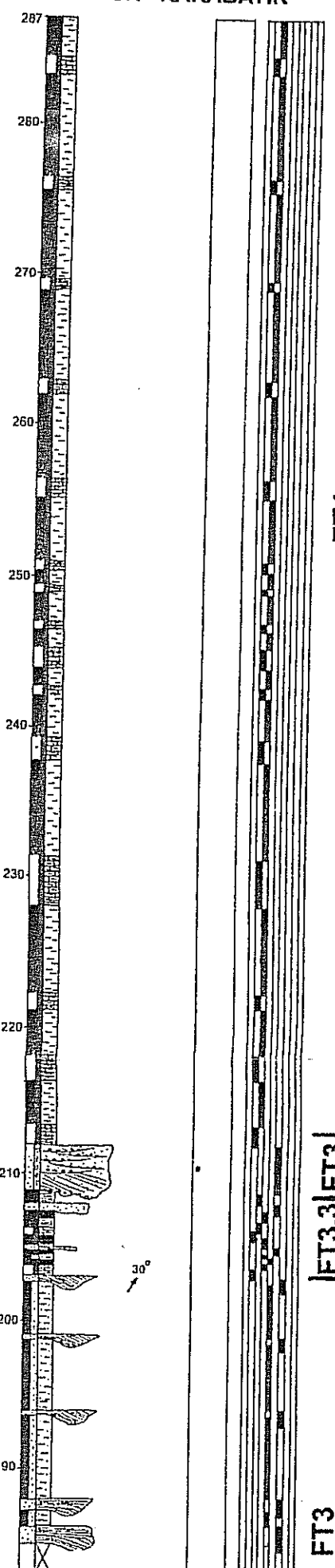


19. ÖSK - ALİVEREN



FT3

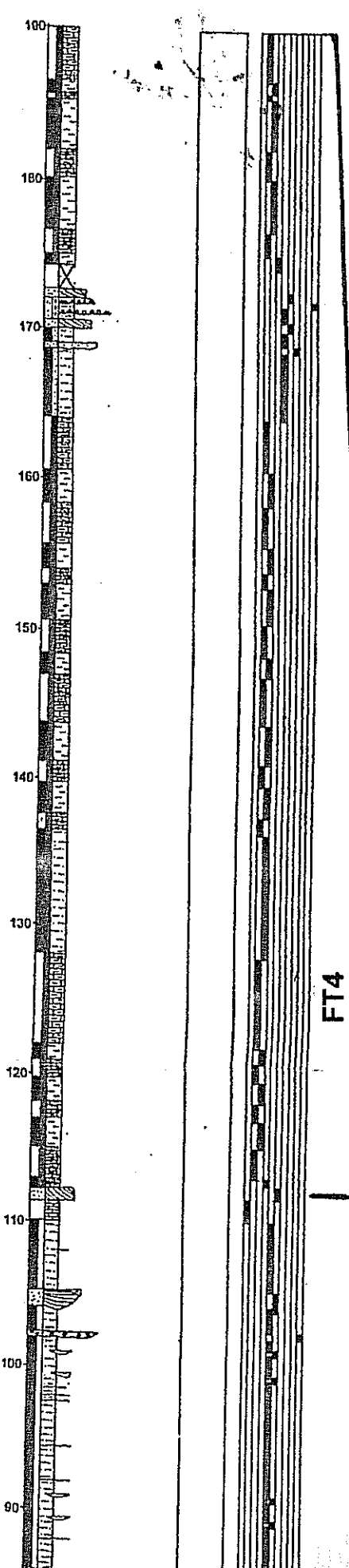
9. ÖSK - KARABAYIR



FT3

|FT3.3|FT3|

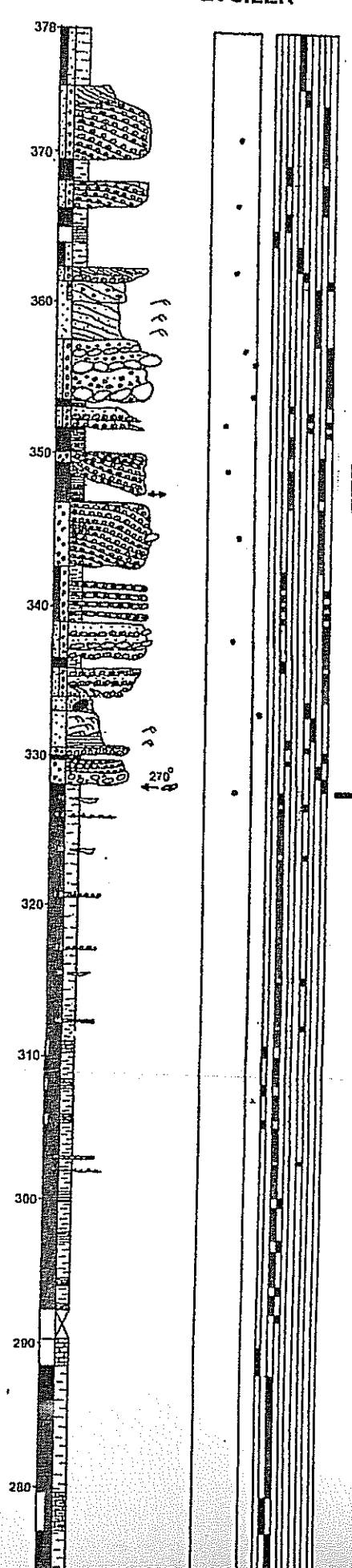
FT4



FT4

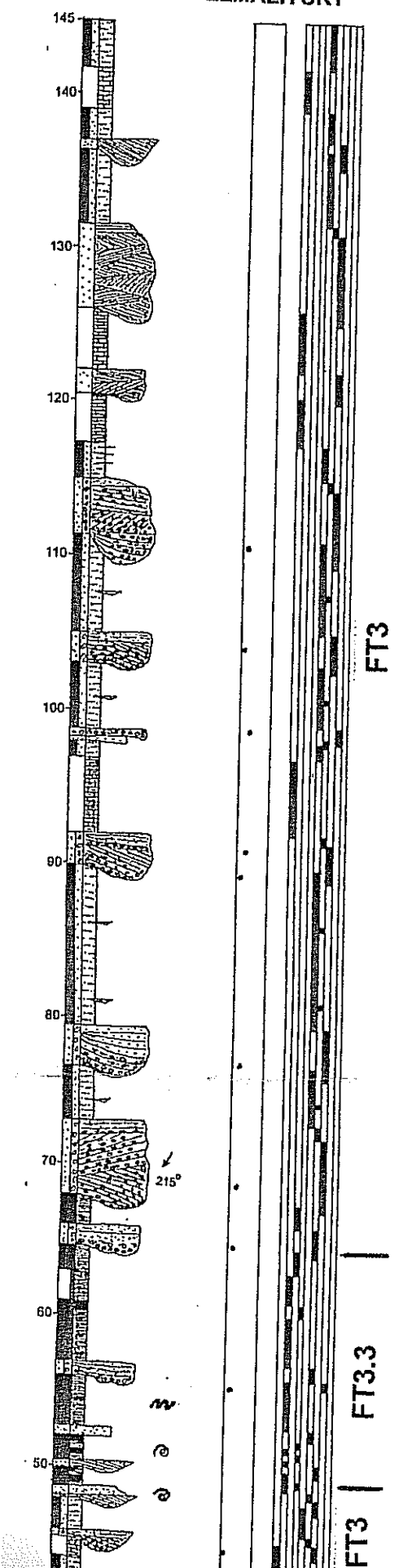
FT4

11. ÖSK - EVCİLER



FT7

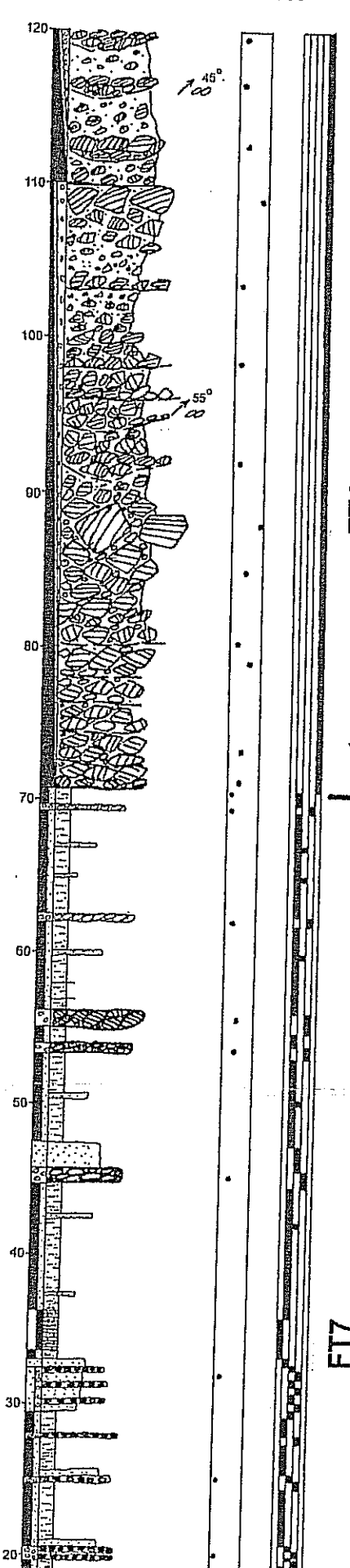
12. ÖSK - ELMALIYURT



FT3 | FT3.3

FT3

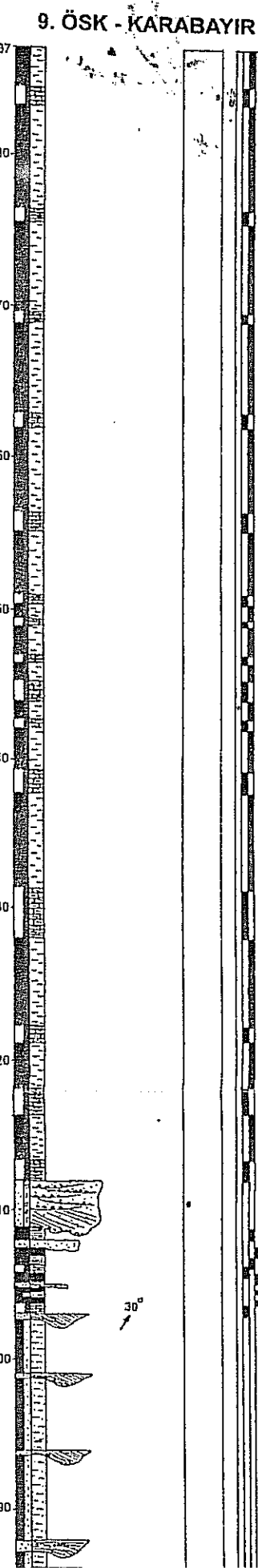
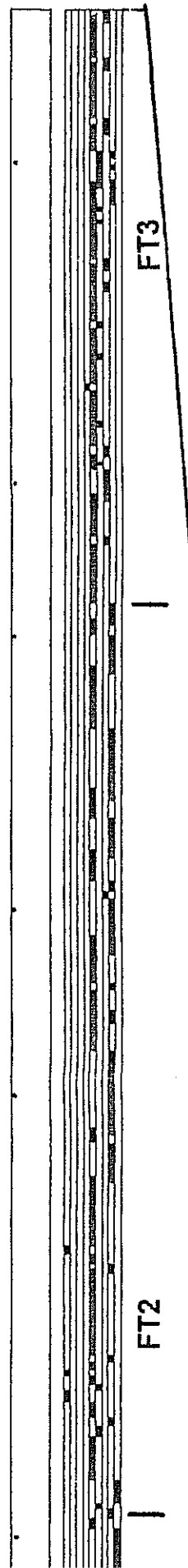
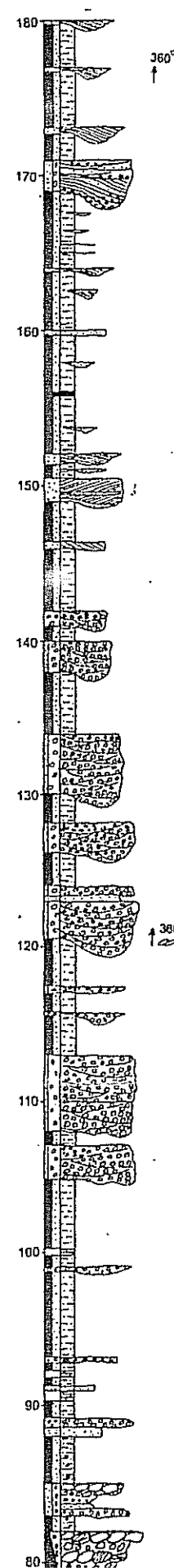
13. ÖSK - UZUNOLUK



FT7

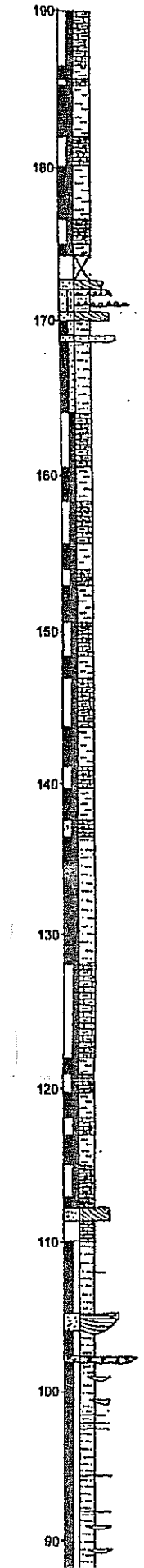
FT1

EK 1(devam)

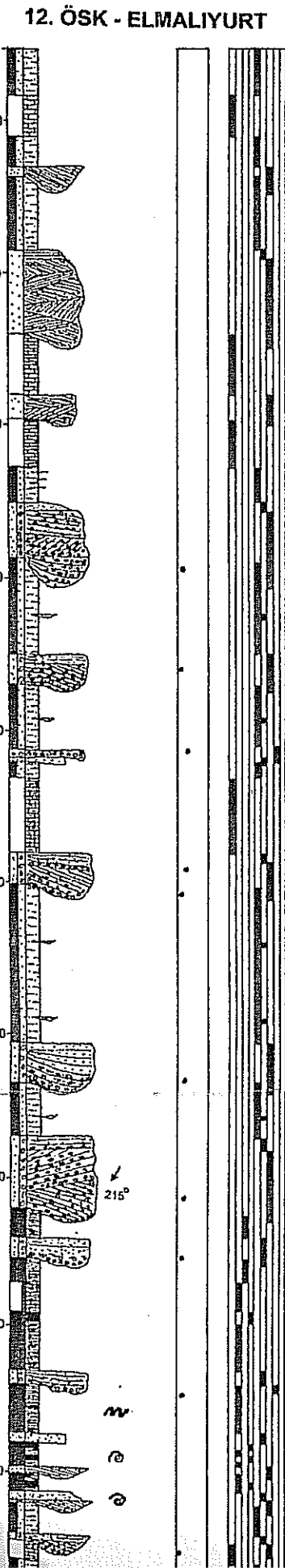
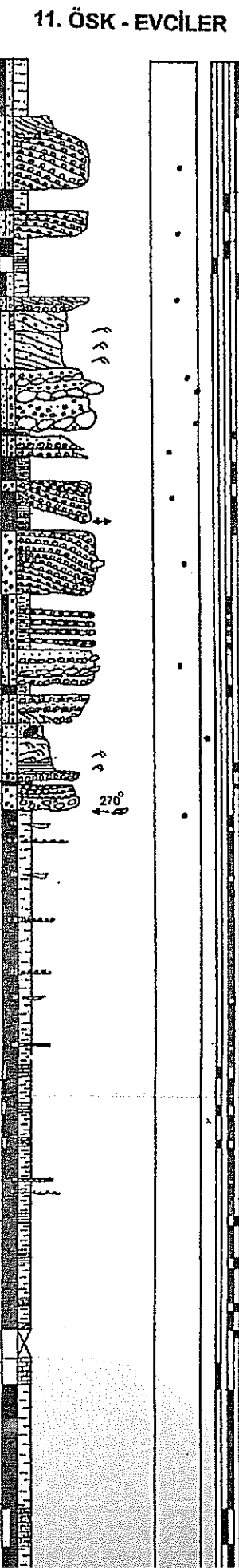


|FT3.3|FT3|

FT4

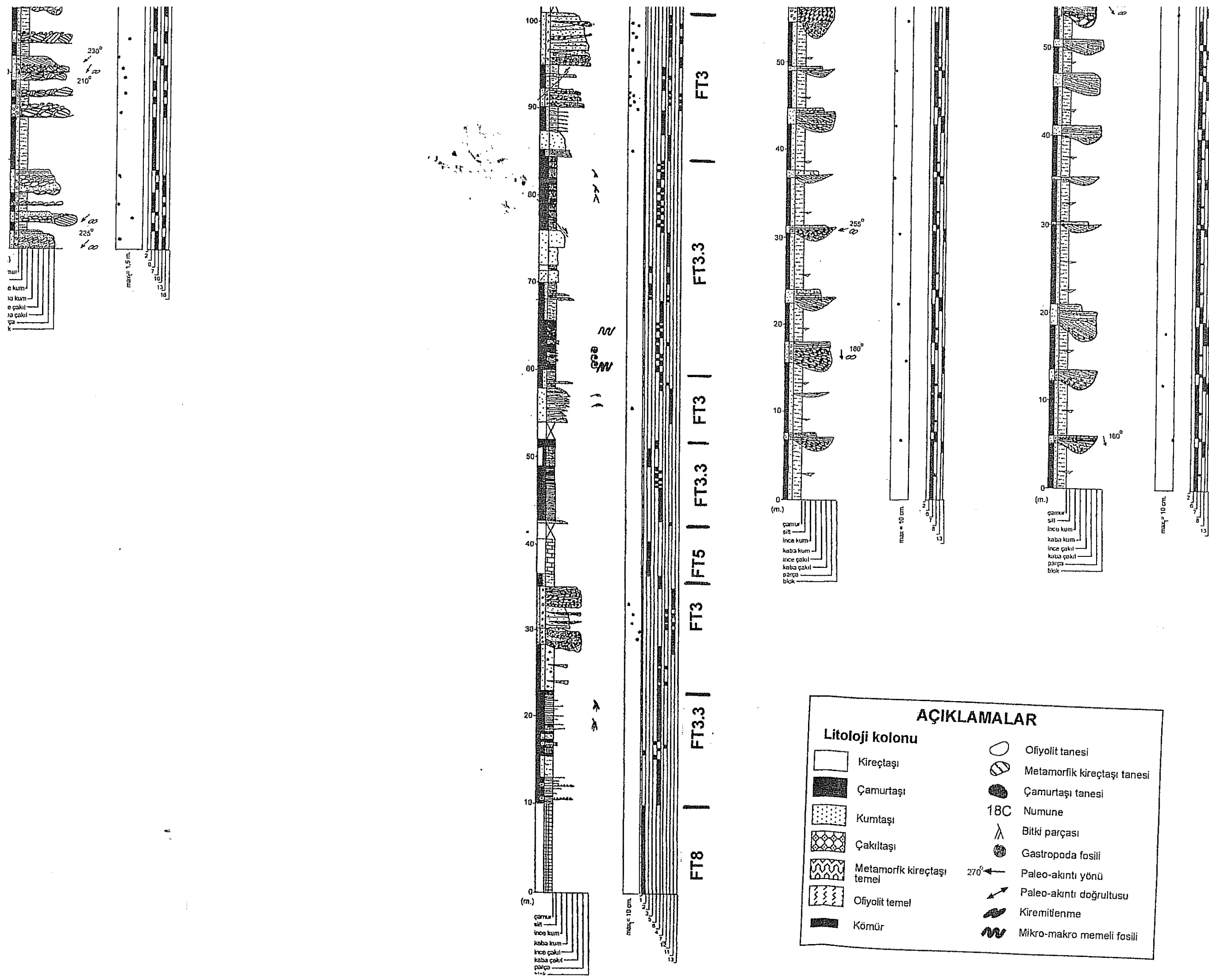


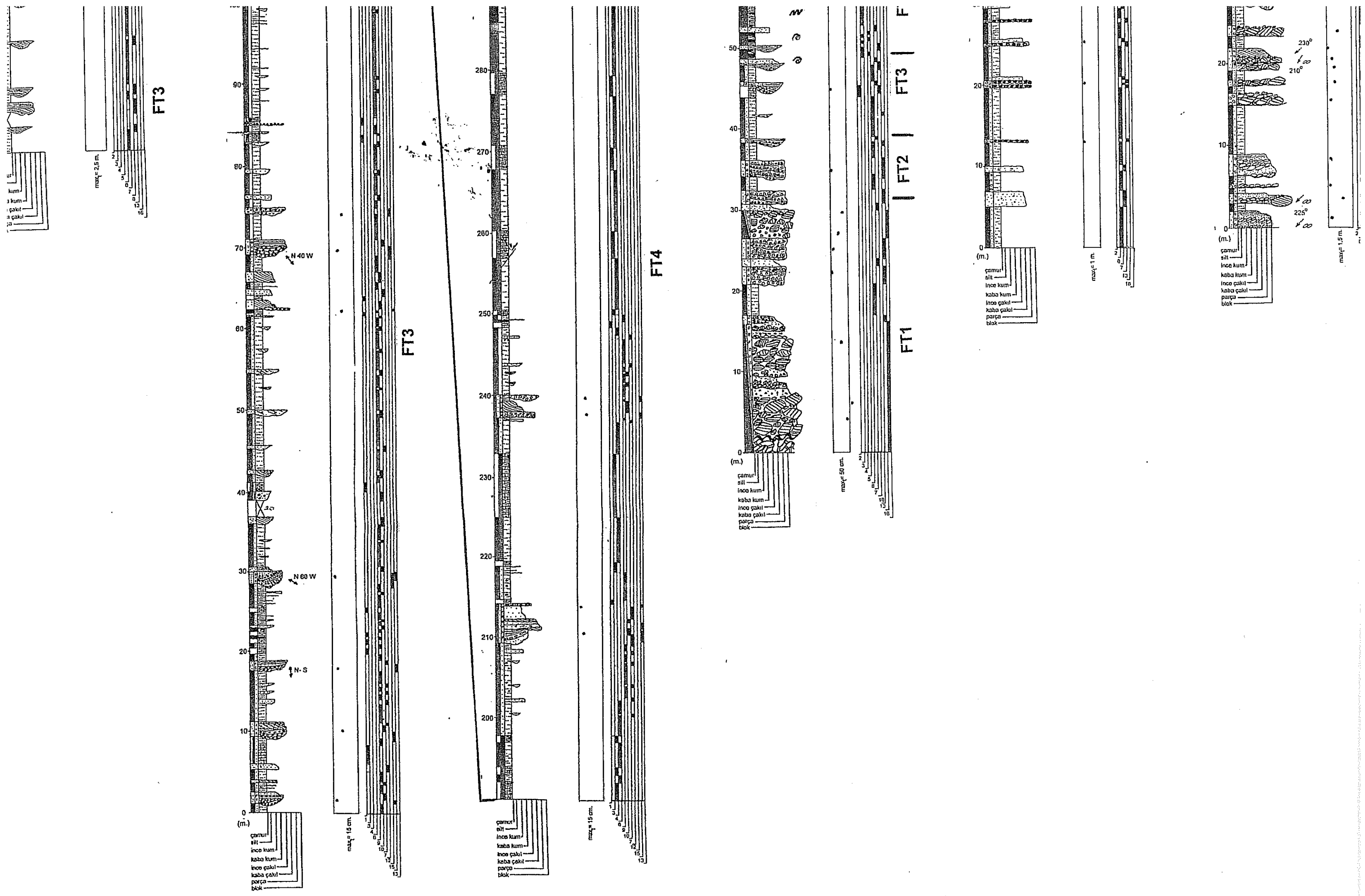
FT4

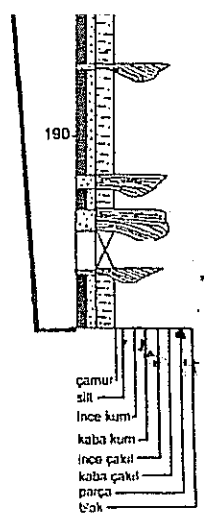
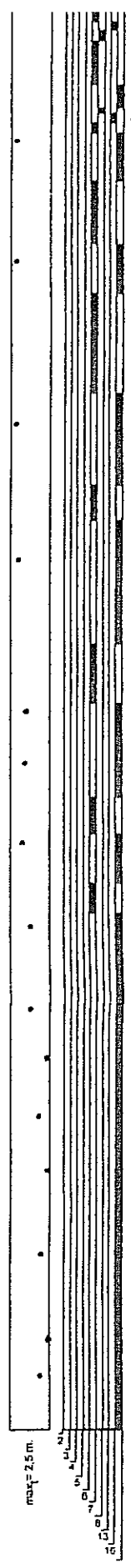
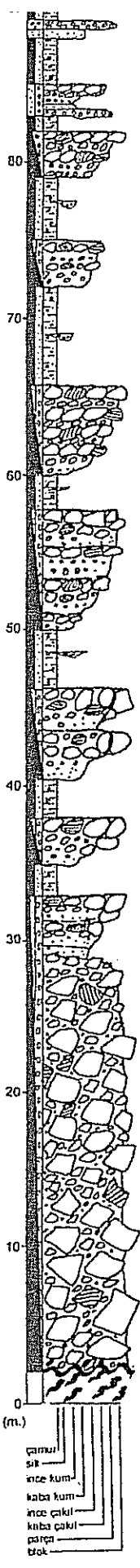


FT3 | FT3.3 |

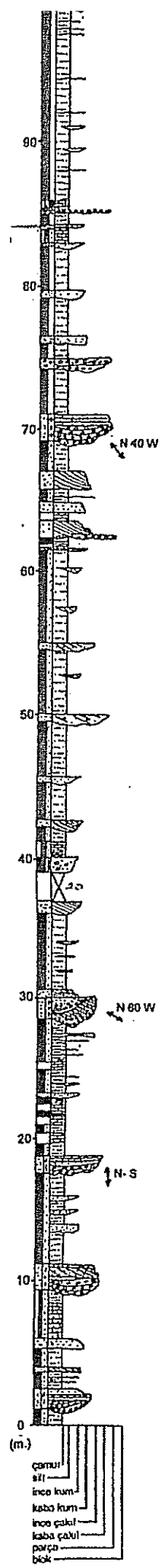
FT3



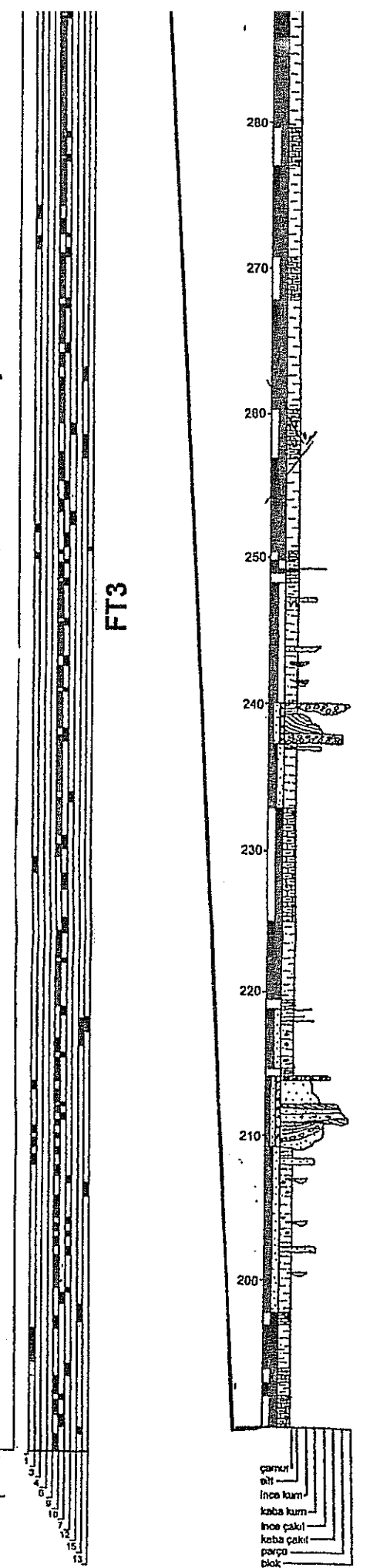




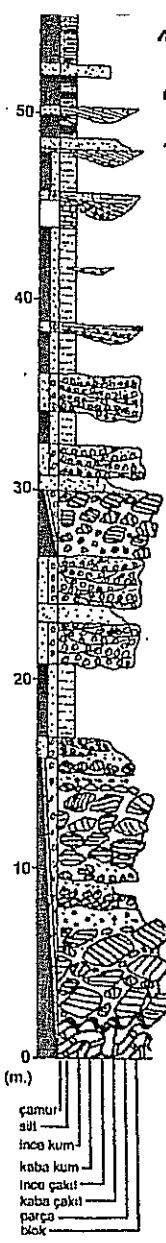
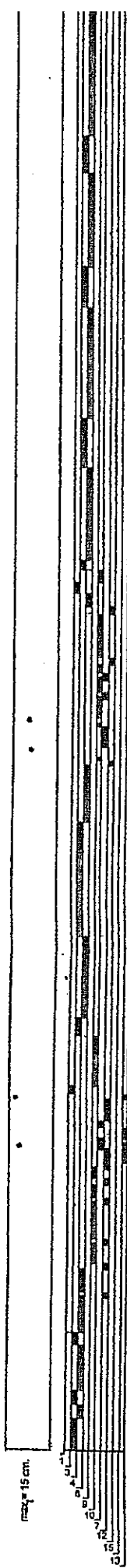
FT3



FT3

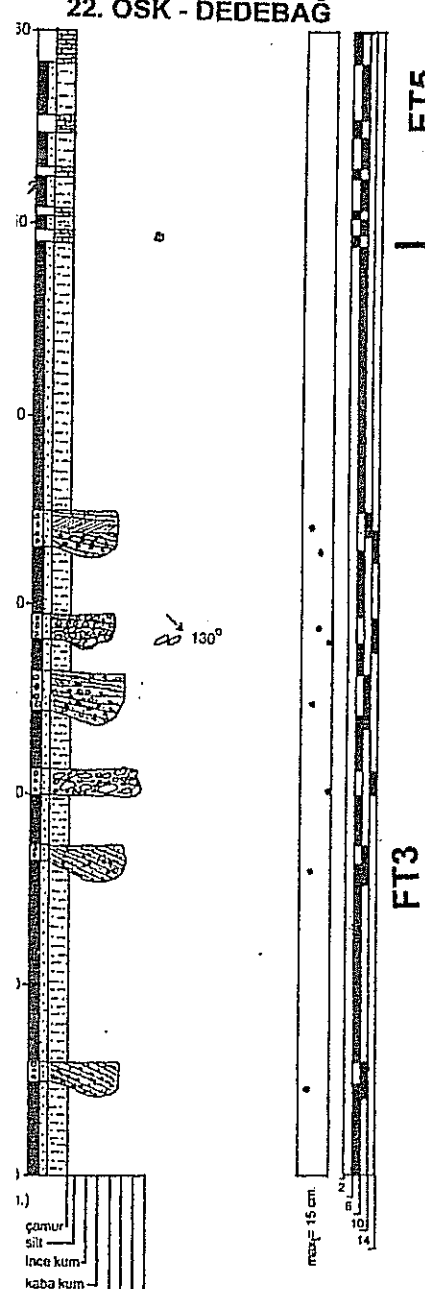


FT4

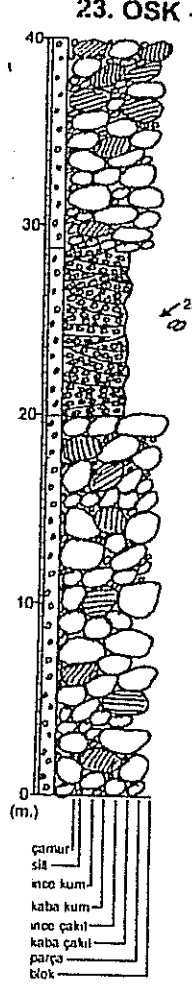


FT1 | FT2 | FT3 | F

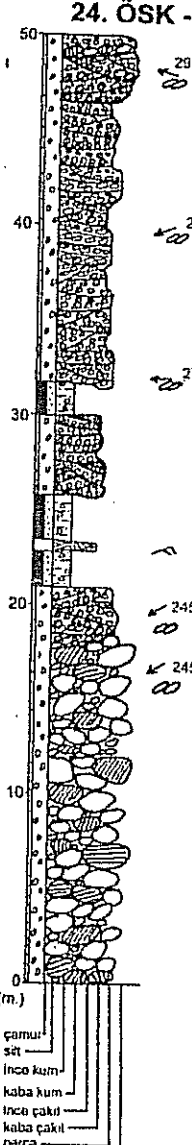
22. ÖSK - DEDEBAĞ



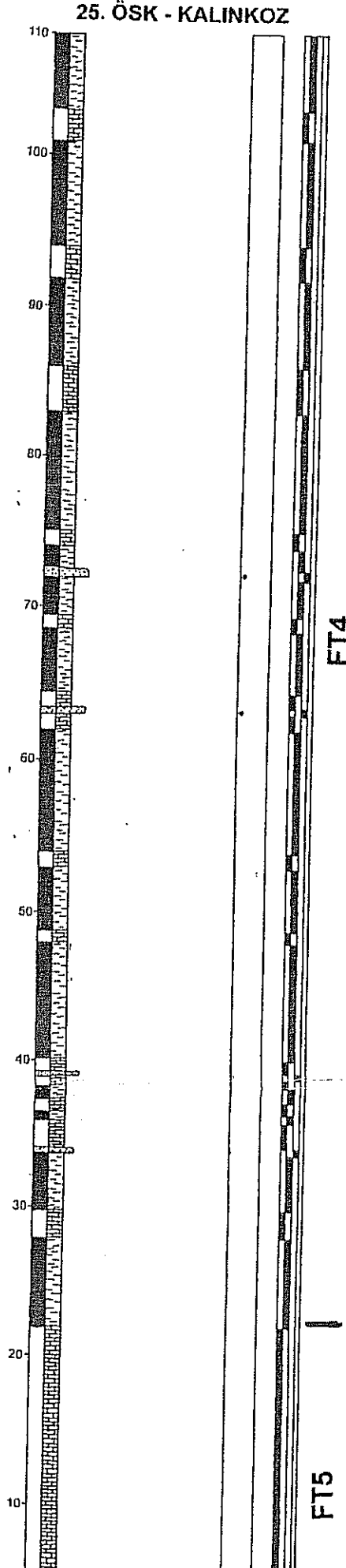
23. ÖSK - KUMKISIĞI - 1



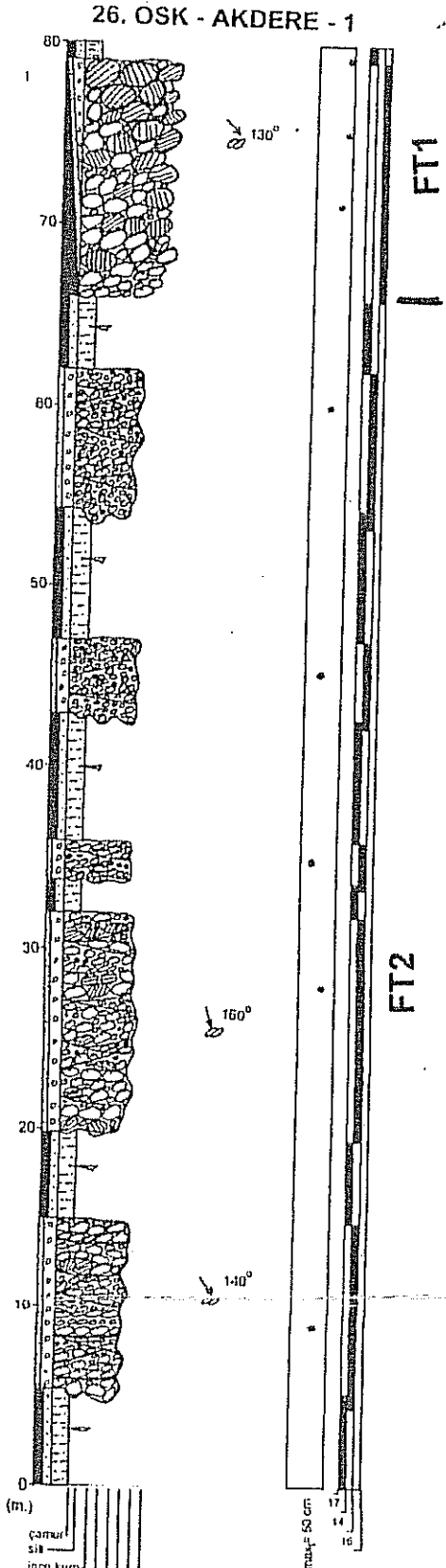
24. ÖSK - KUMKISIĞI - 2



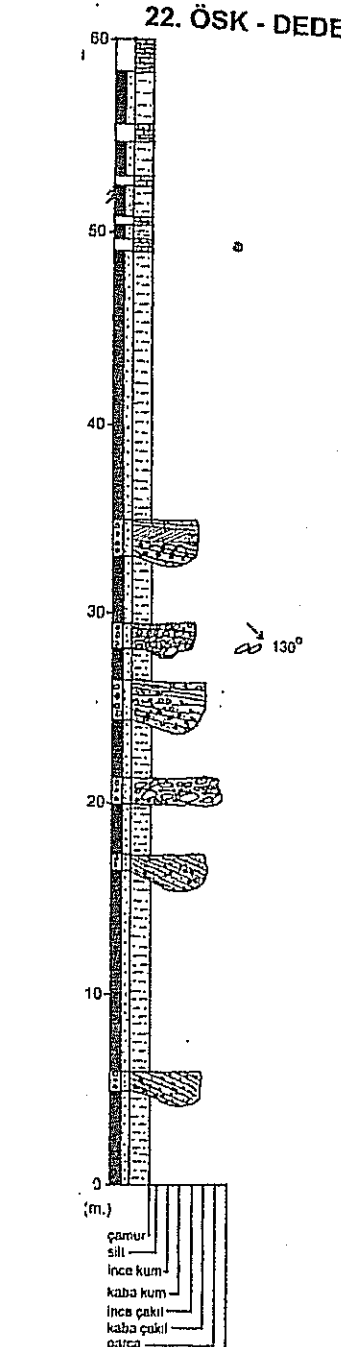
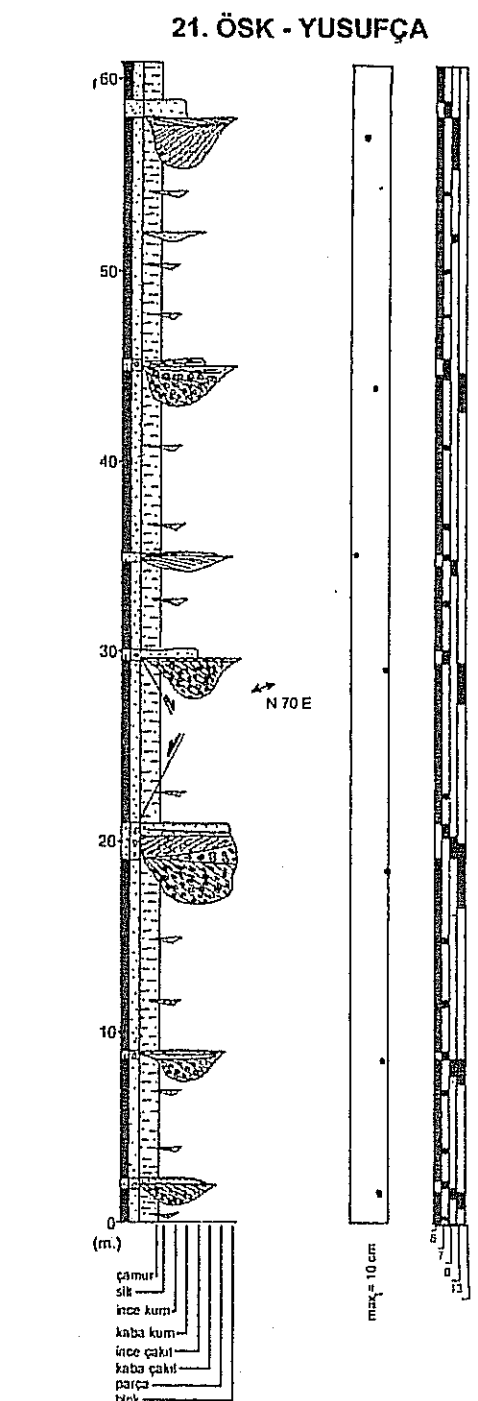
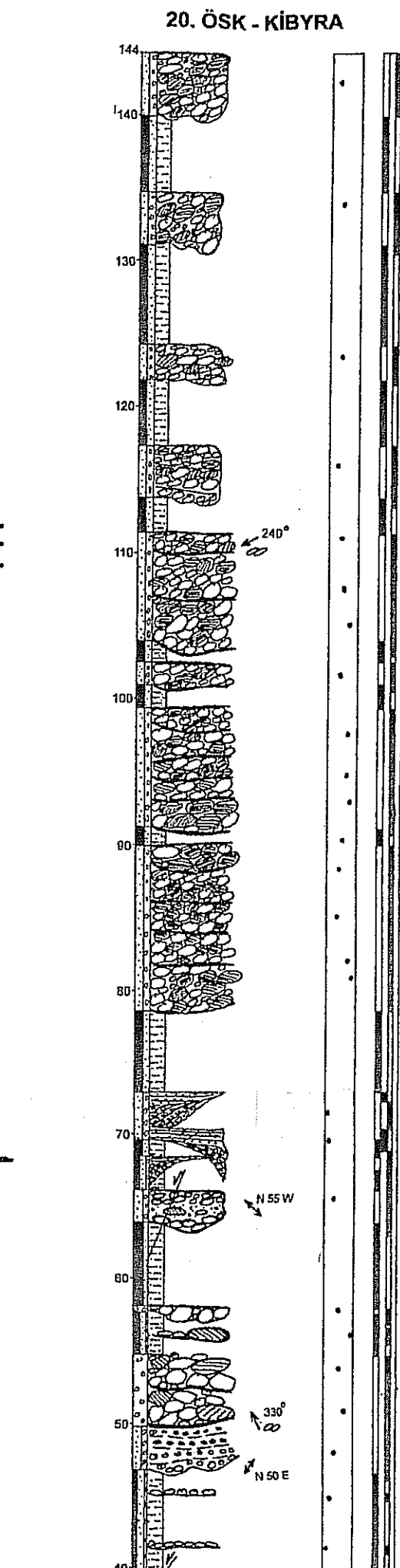
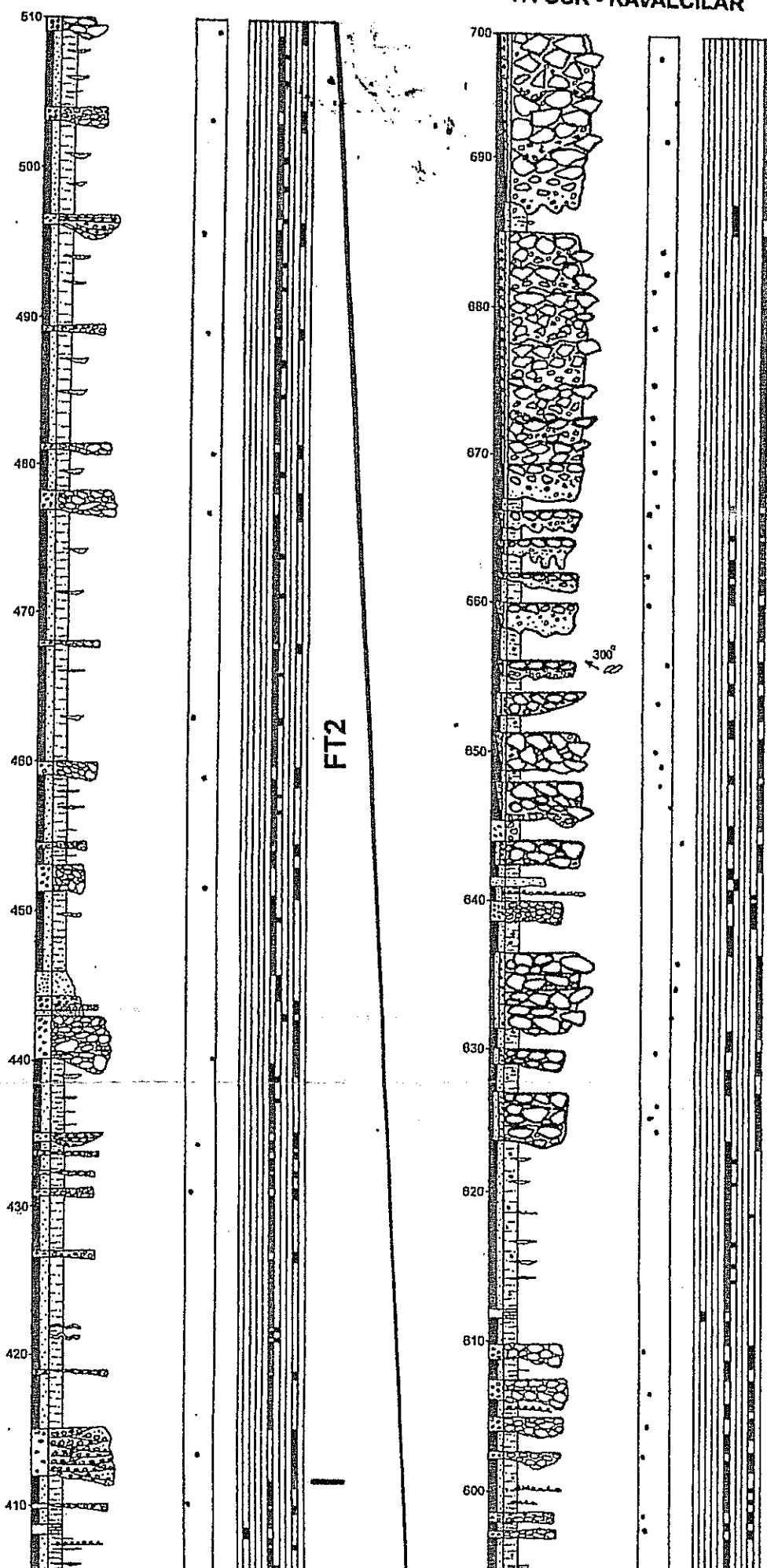
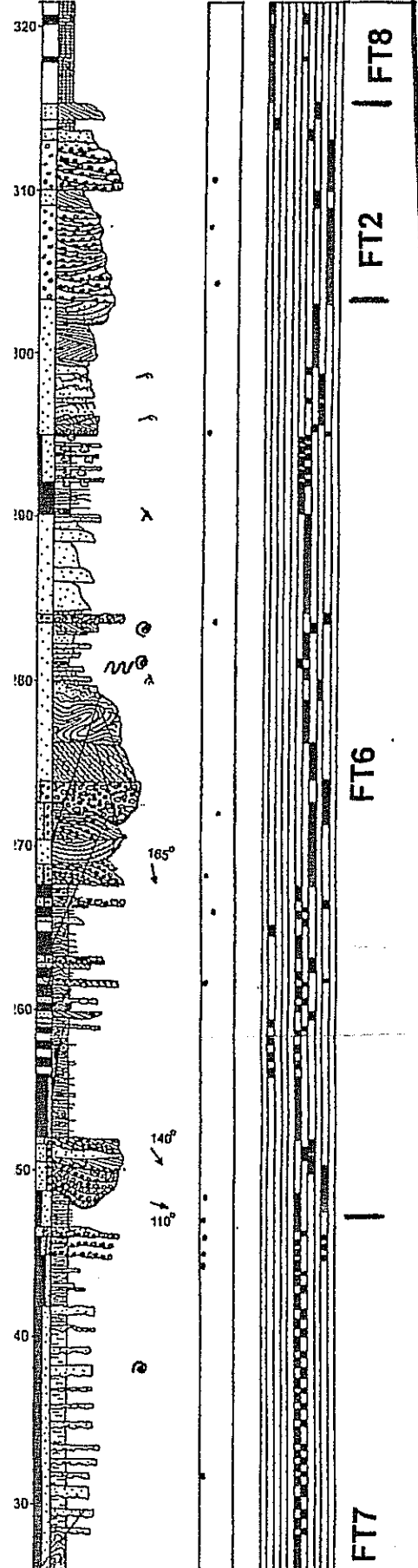
25. ÖSK - KALINKOZ



26. OSK - AKDERE - 1

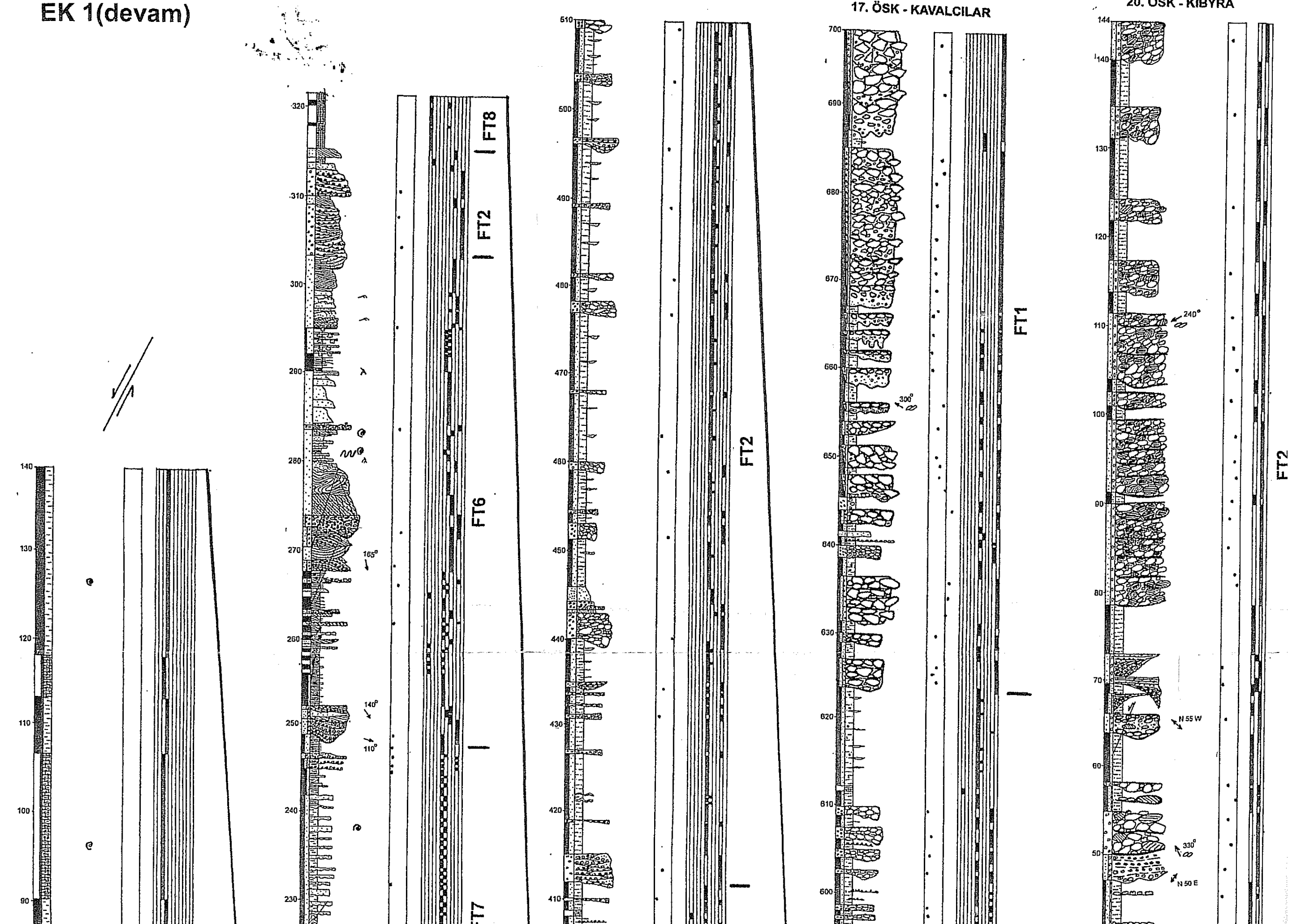


ölit tanesi
ümorfik kireçtaşı tanesi
ortaşı tanesi
une
parçası
ropoda fosili
→-akıntı yönü
→-akıntı doğrultusu
nitlenme

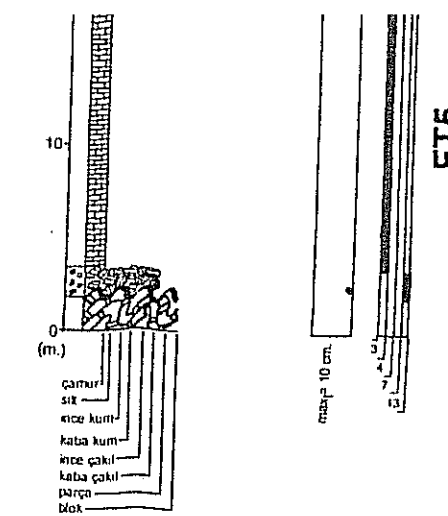


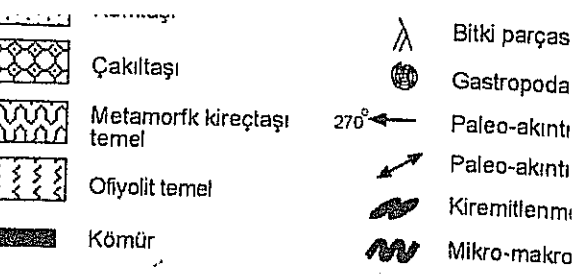
AÇIKLAMALAR	
Litoloji kolonu	
[Kireçtaşı]	Oflyolit tanesi
[Çamurtaşı]	Metamorfik kireçtaşları tanesi
[Kumtaşı]	Çamurtaşı tanesi
[18C]	Numune
[Bitki parçası]	Bitki parçası
[Çakıltaşı]	Gastropoda fosili
[Metamorfik kireçtaşları temel]	Paleo-akıntı yönü
[Oflyolit temel]	Paleo-akıntı doğrultusu
[Kiremitlenme]	Kiremitlenme

EK 1(devam)

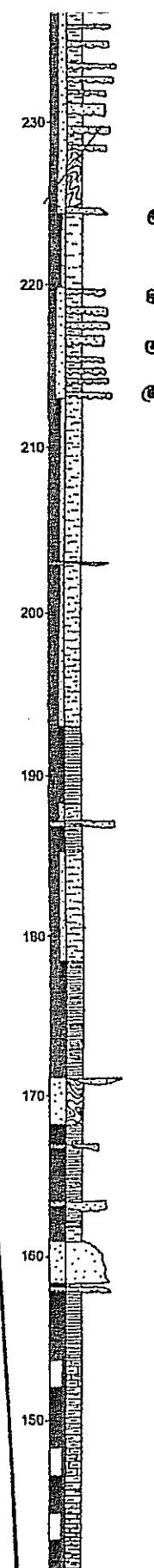


İçerik
poda fosili
akıntı yönü
ikinci doğrultusu
enme
makro memeli fosili

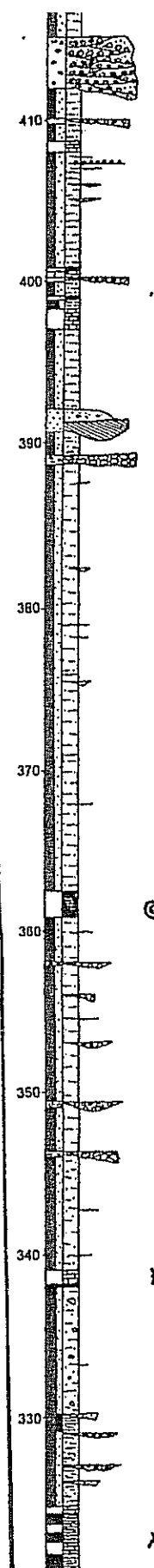




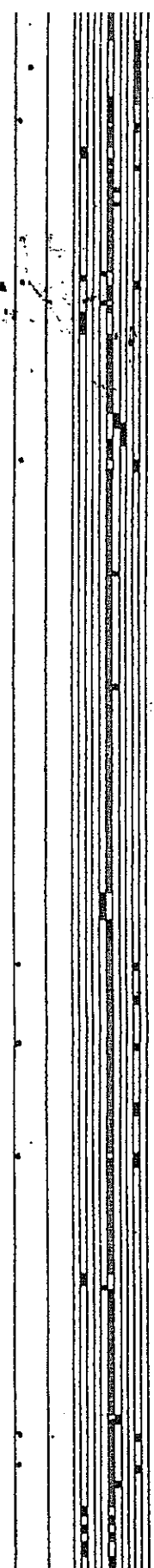
FT4



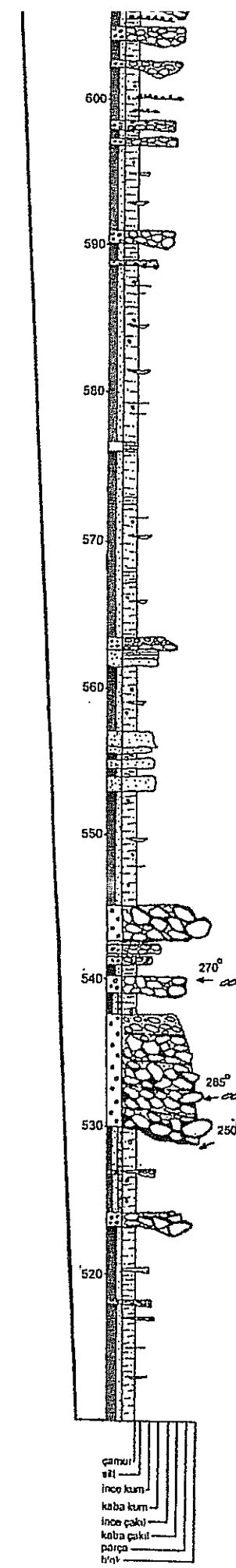
FT7



A



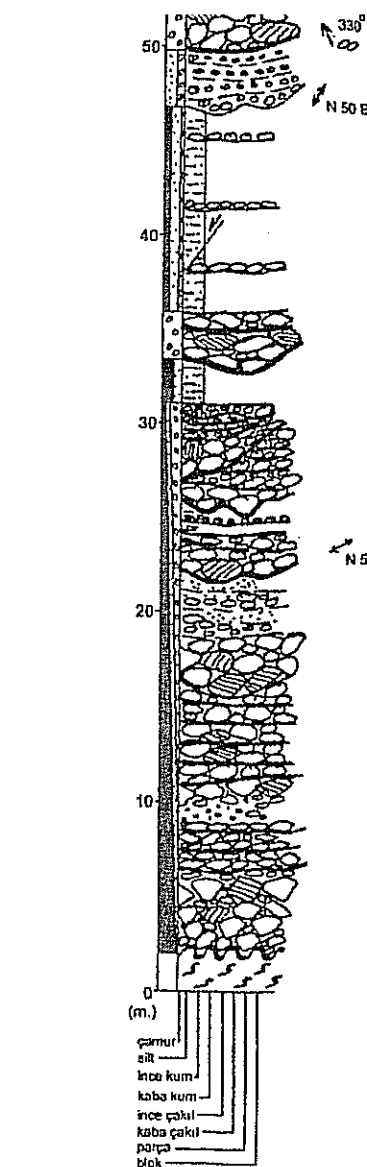
FT5



FT3



FT2

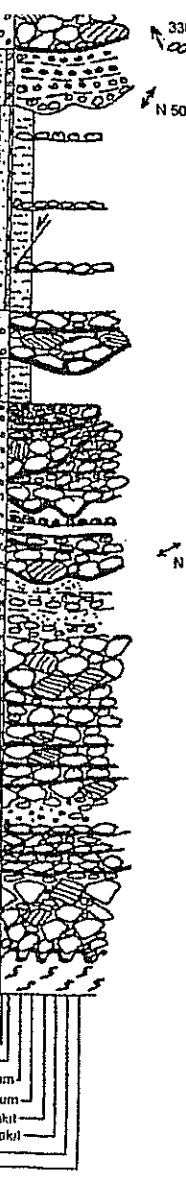
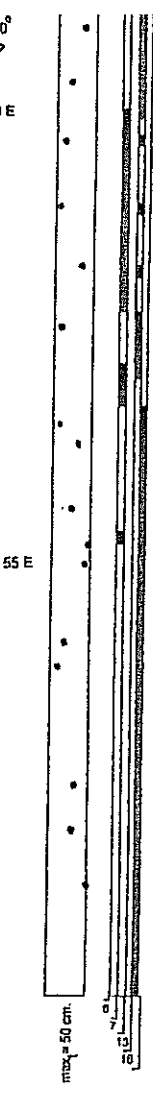


FT7

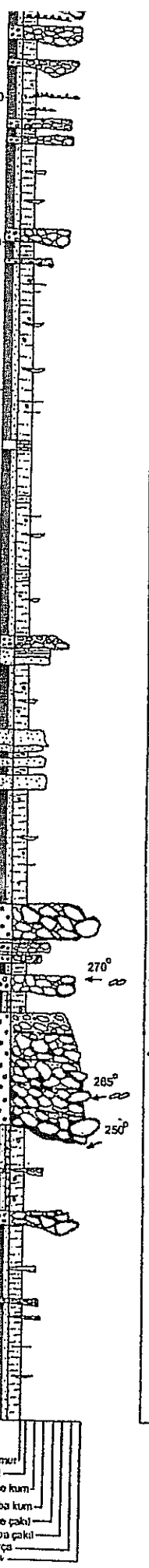


FT1

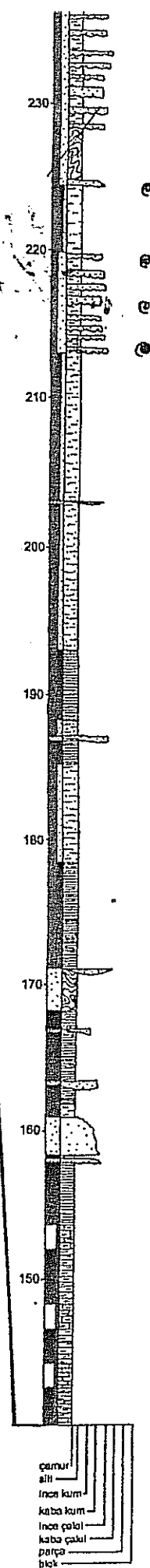
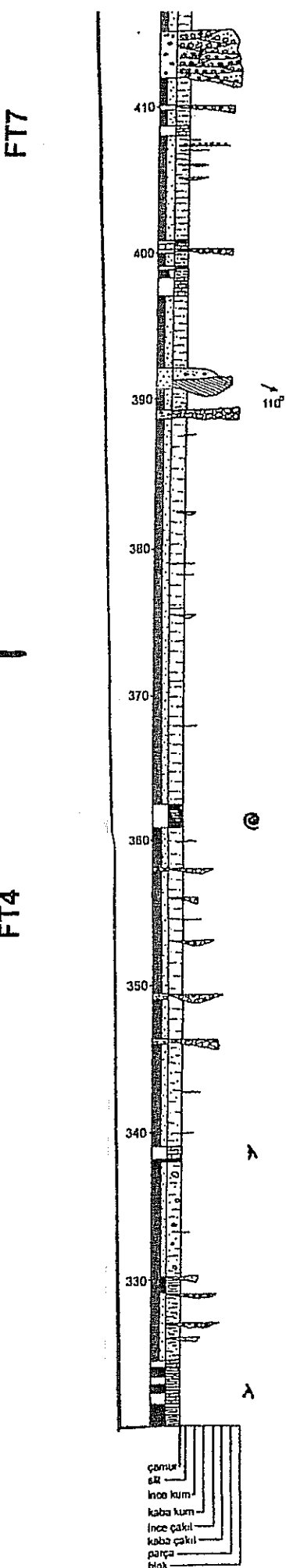




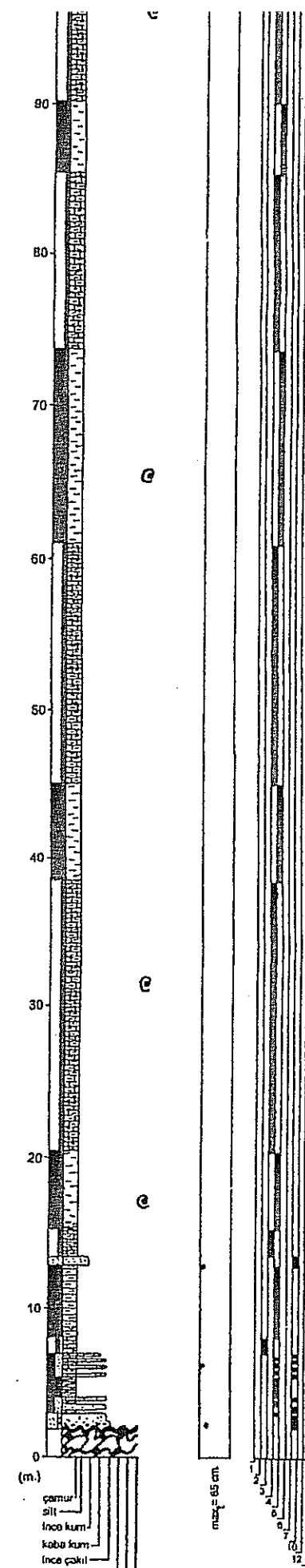
FT2 | FT7



FT5 | FT3



FT5 | FT4



C

C

C

C

C

C

(m.)
çamur
silt
ince kum
kaba kum
ince çakıl
kaba çakıl
parça
blok

max= 65 cm.

max= 65 cm.

FT5

FT4

FT7

A

A

A

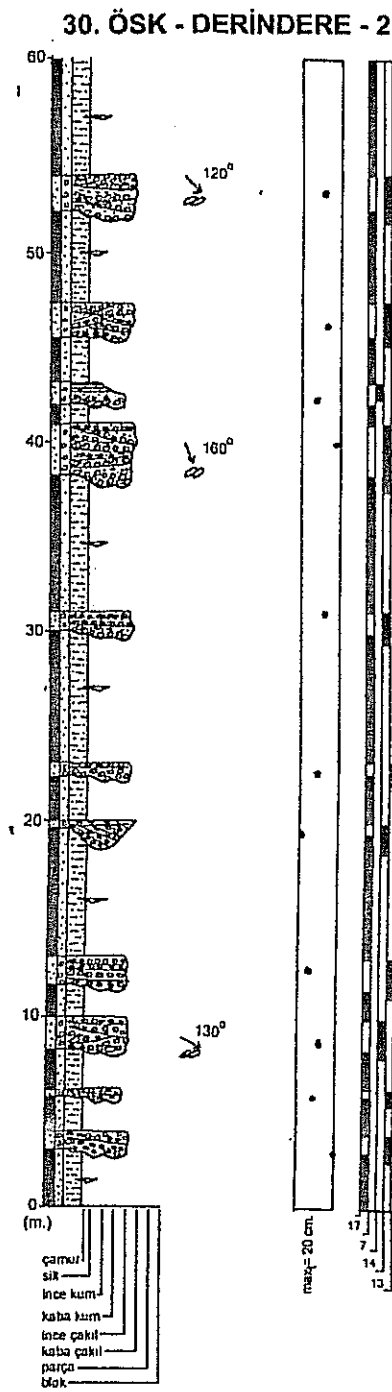
FT3

FT5

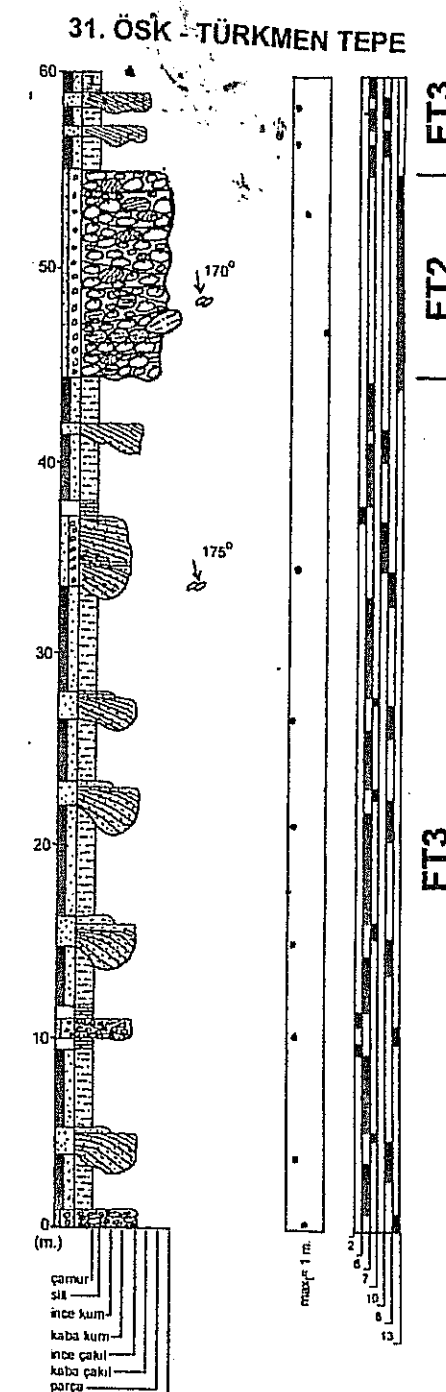
FT4



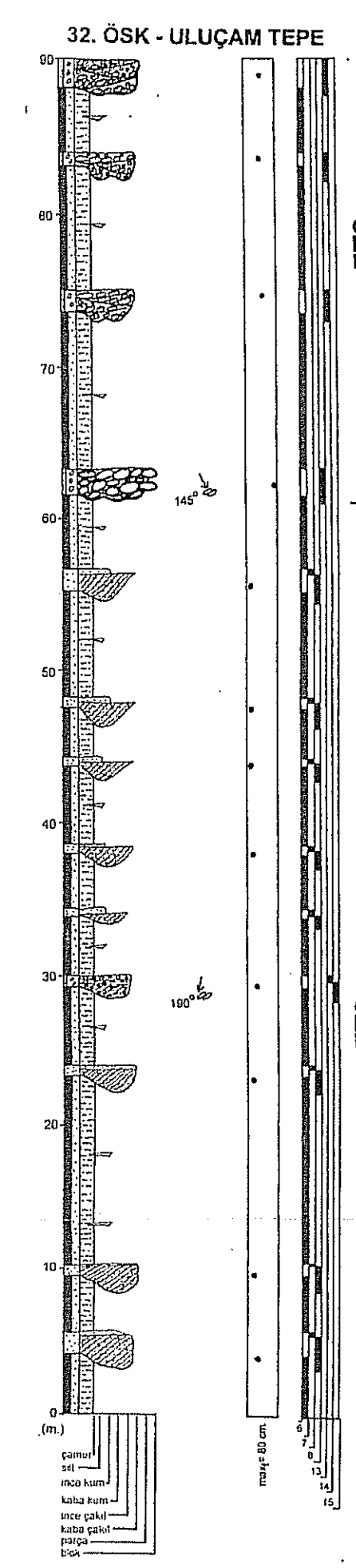
ERE - 1



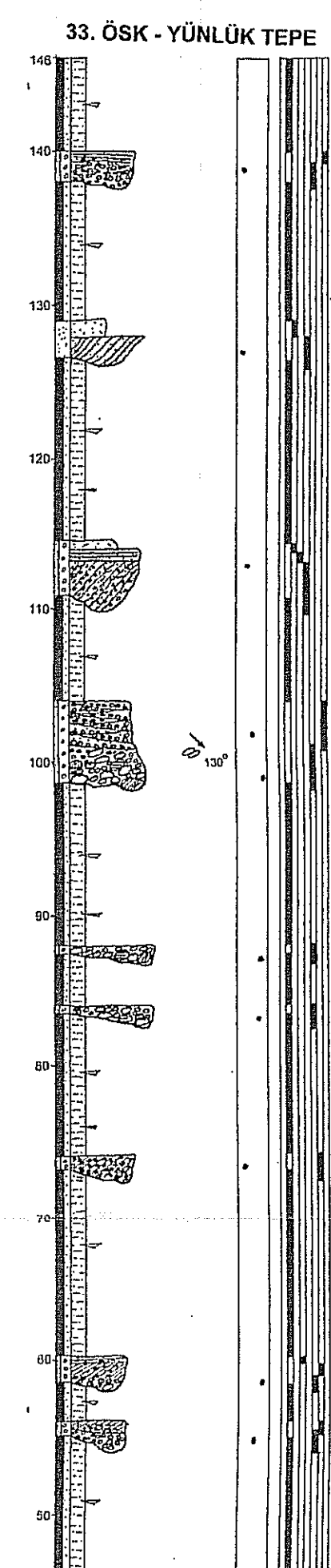
30. ÖSK - DERİNDERE - 2



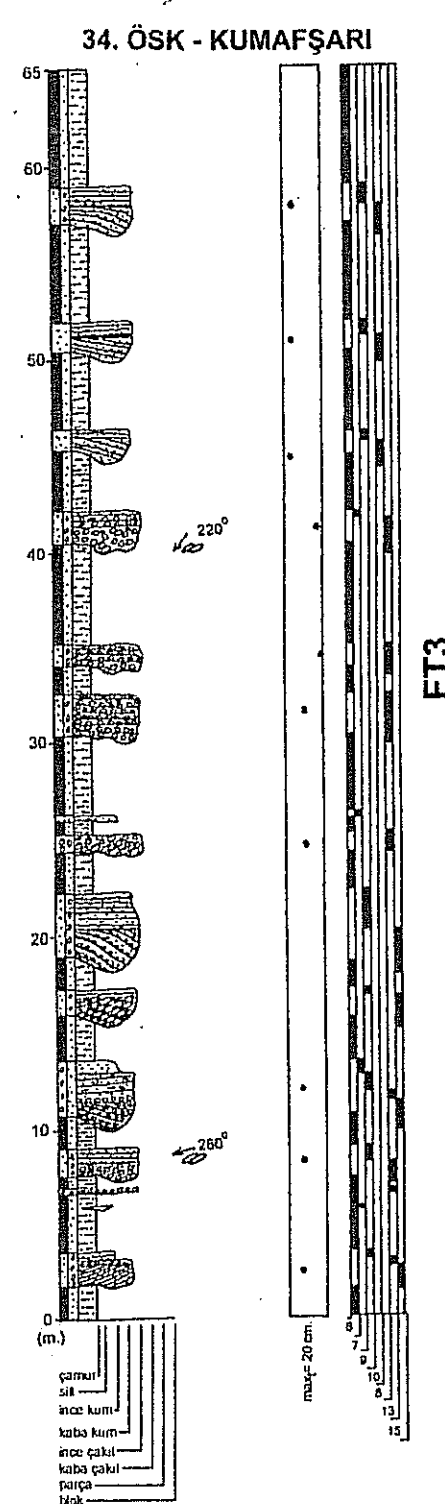
31. ÖSK - TÜRKMEN TEPE



32. ÖSK - ULUÇAM TEPE

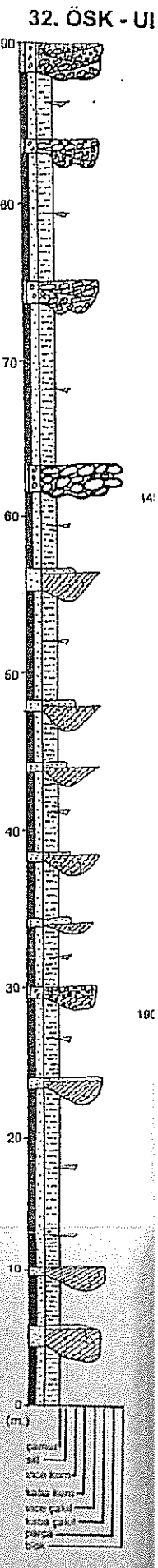
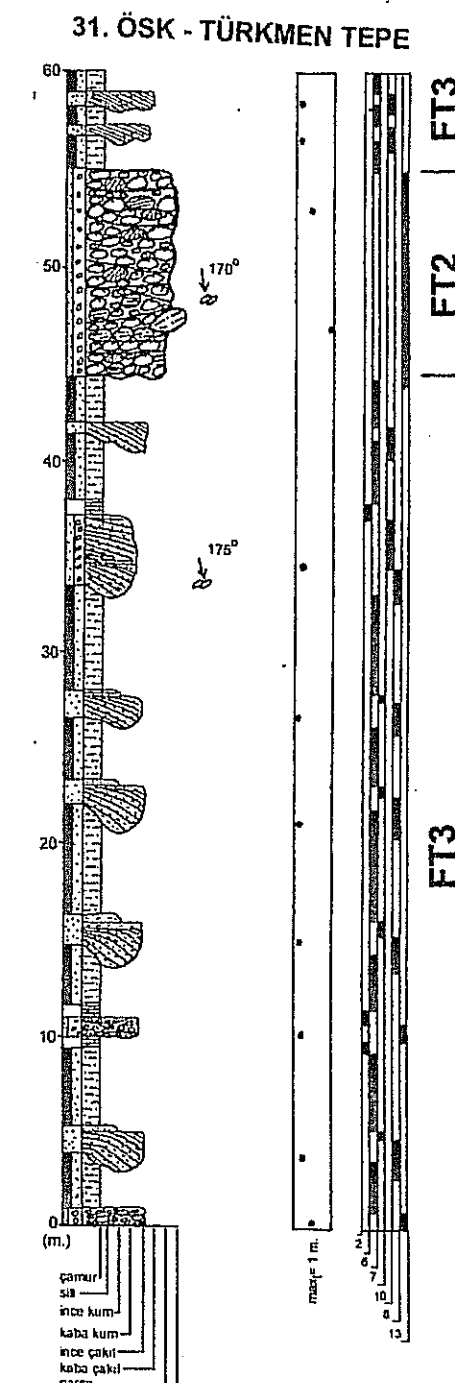
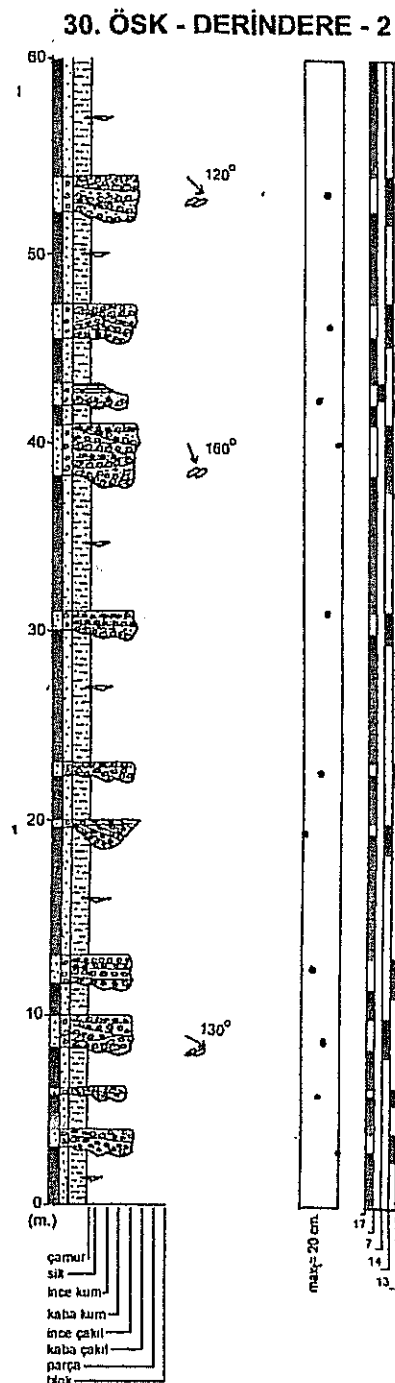
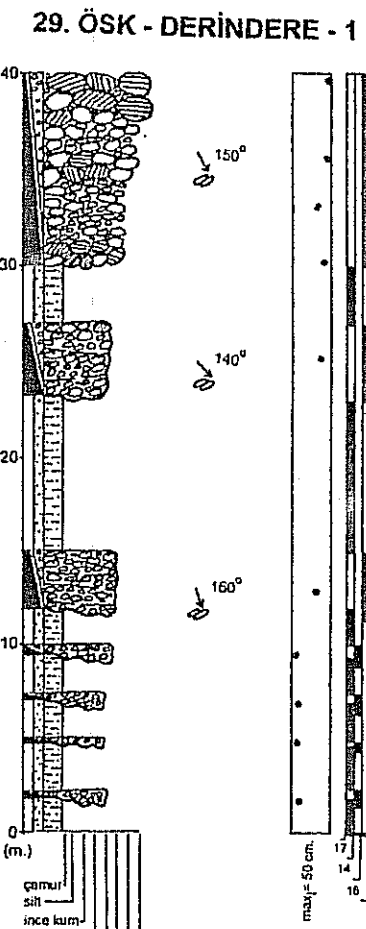
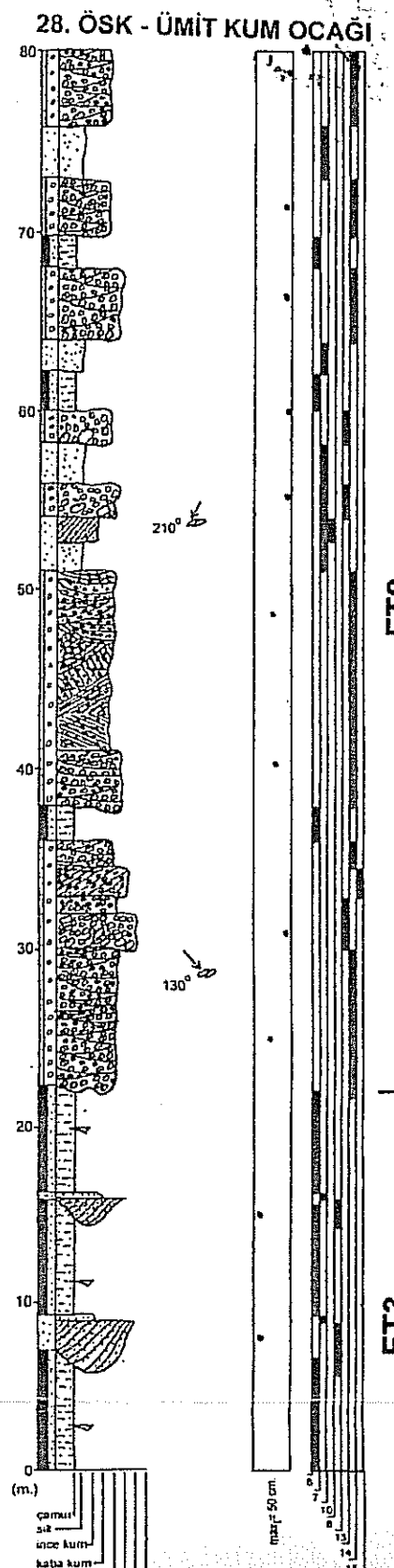
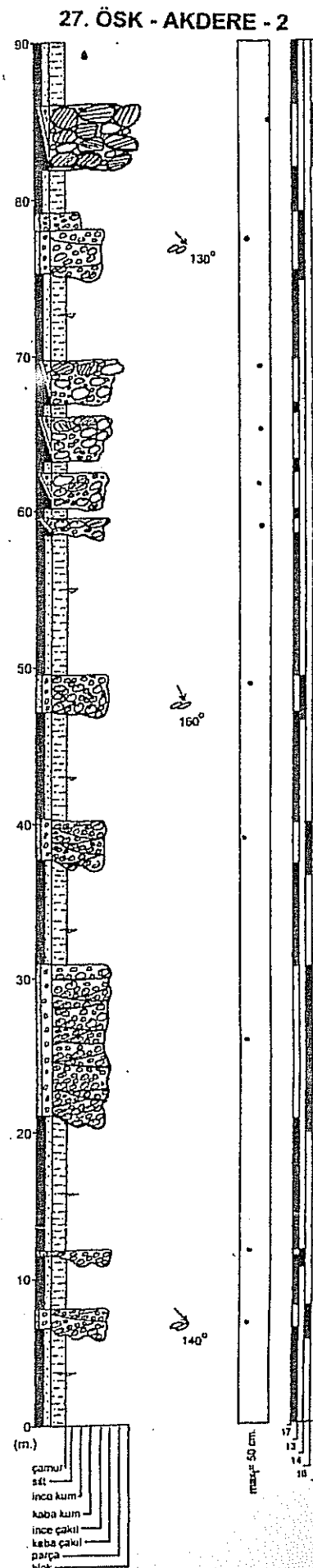


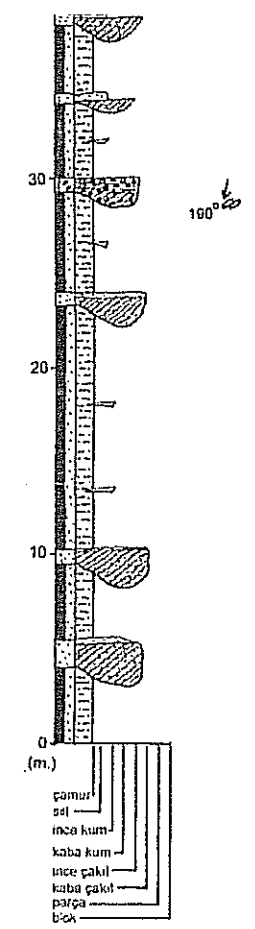
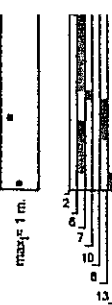
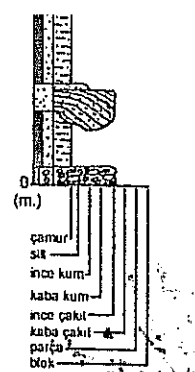
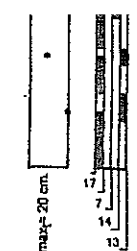
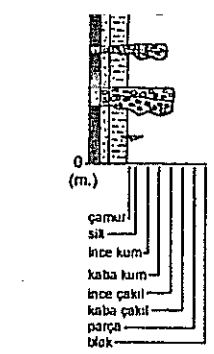
33. ÖSK - YÜNLÜK TEPE



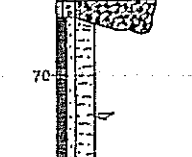
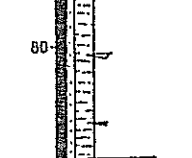
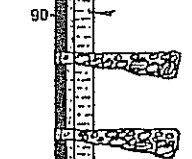
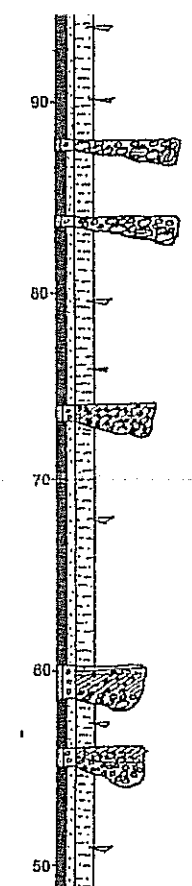
34. ÖSK - KUMAFŞARI

EK 1(devam)

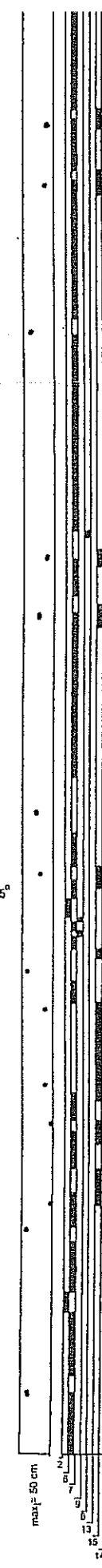


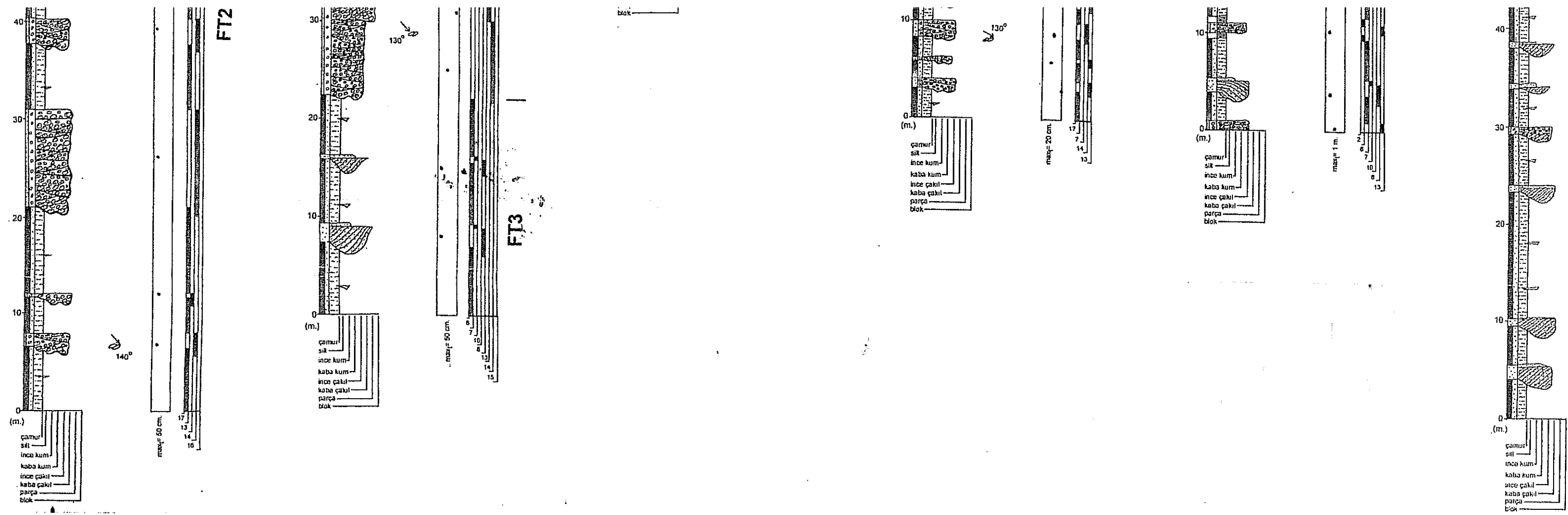


FT3



FT2



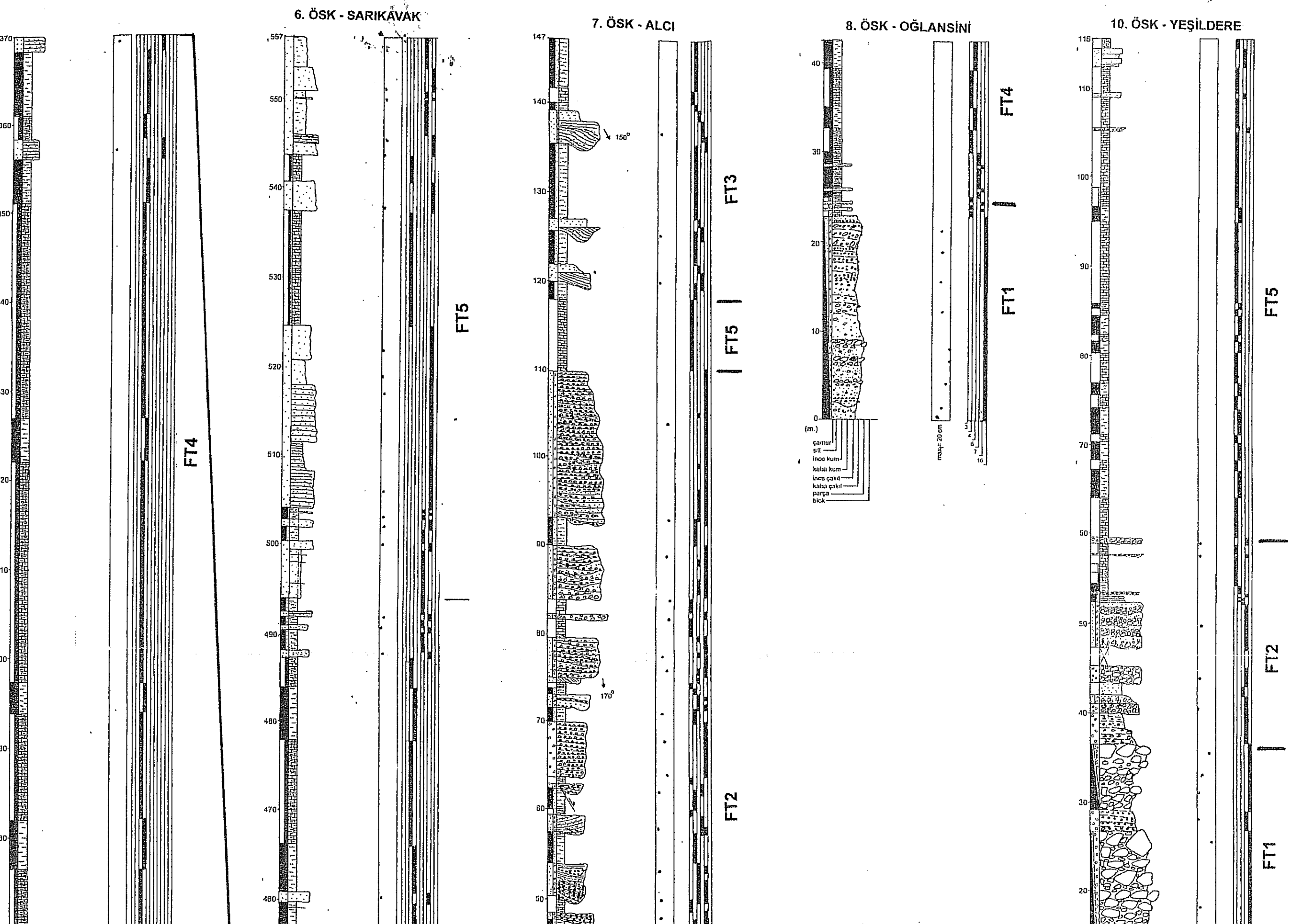


AÇIKLAMALAR

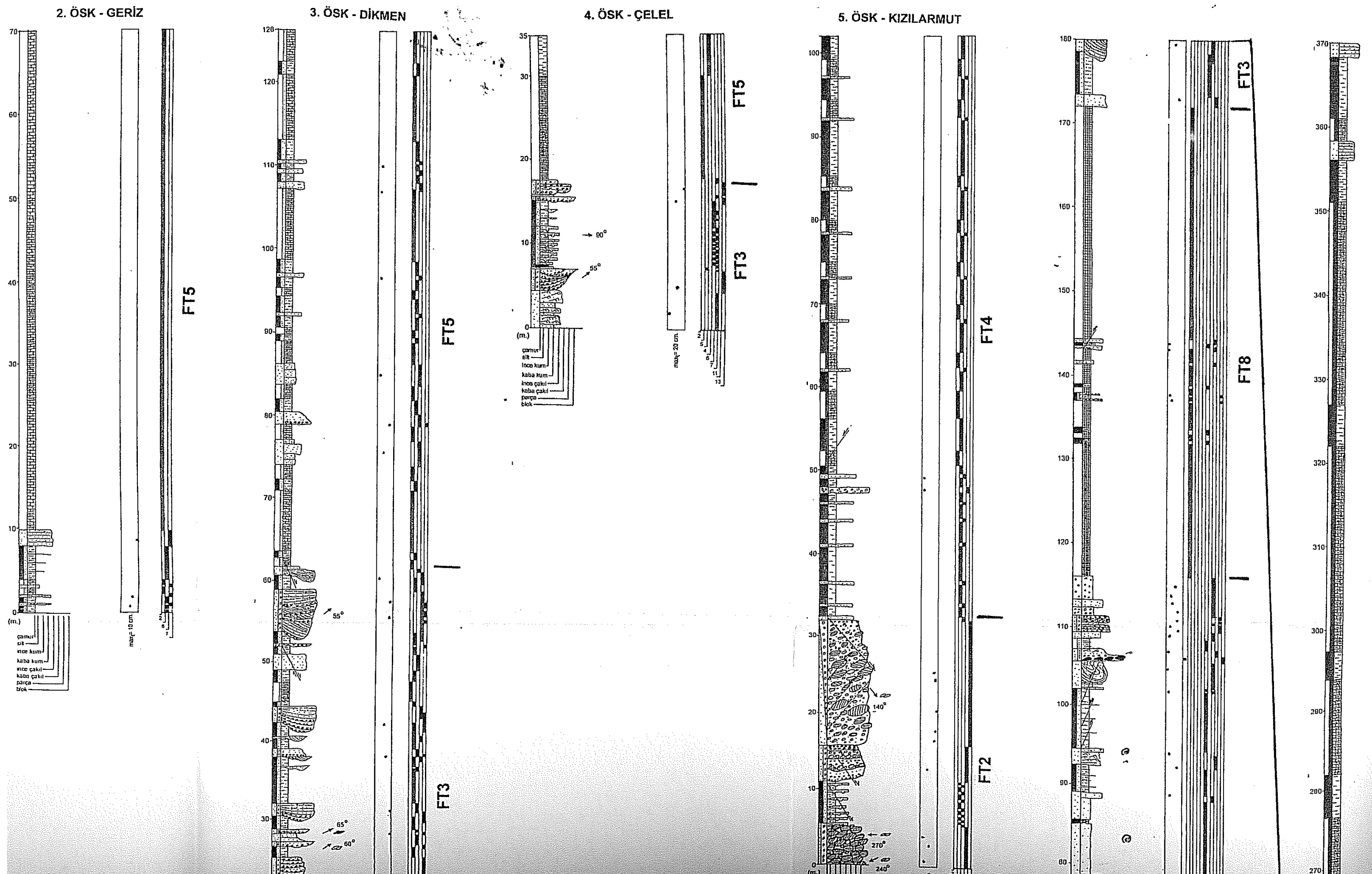
Litoloji kolonu

	Kireçtaşı
	Çamurtaşı
	Kumtaşı
	Çakıltası
	Metamorfik kireçtaşı temel
	Ofiyolit temel
	Kömür

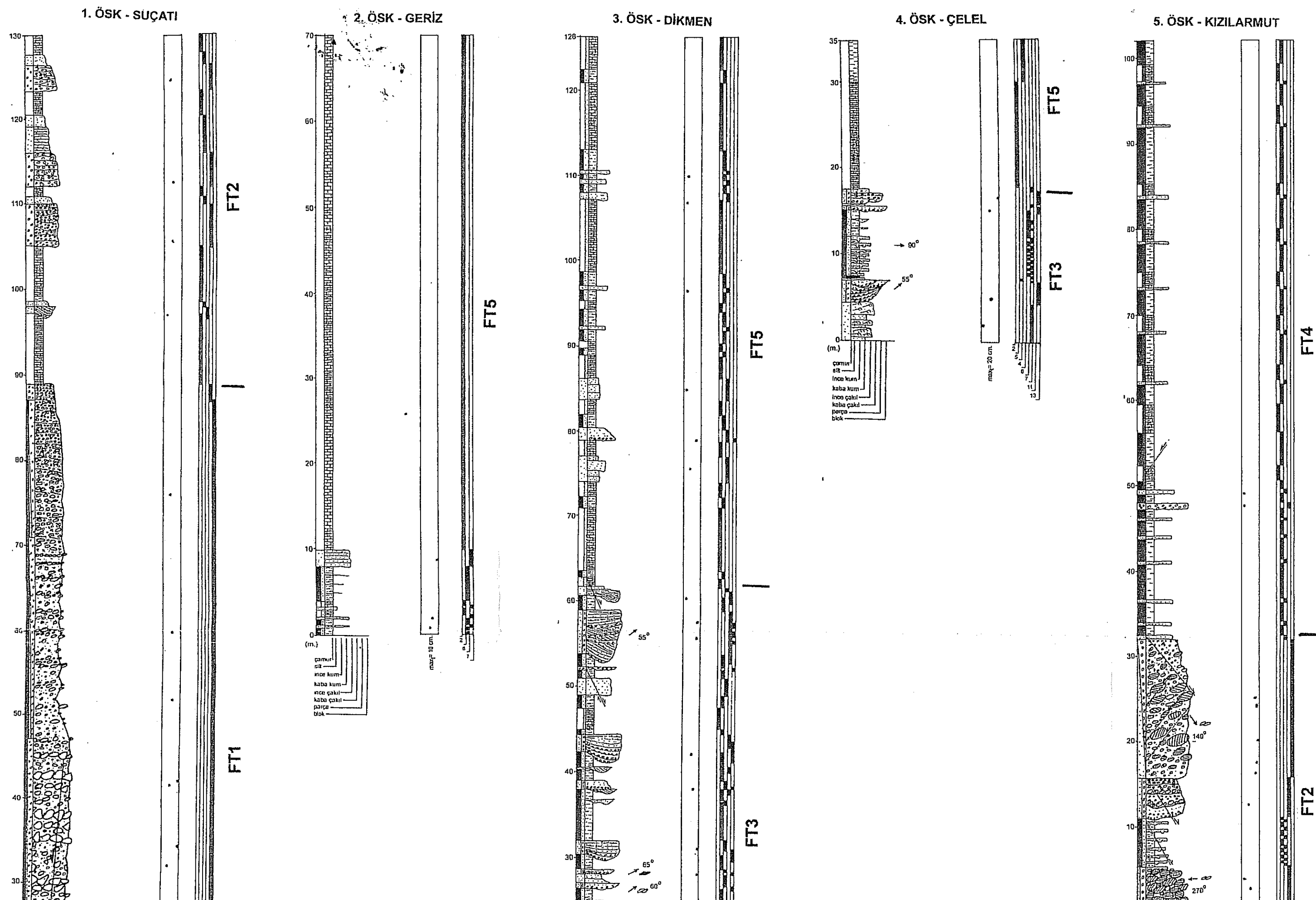
	Ofiyolit tanesi
	Metamorfik kireçtaşı tanesi
	Çamurtaşı tanesi
	18C Numune
	Bitki parçası
	Gastropoda fosili
	270° ← Paleo-akıntı yönü
	→ Paleo-akıntı doğrultusu
	Kiremitlenme
	Mikro-makro memeli fosili



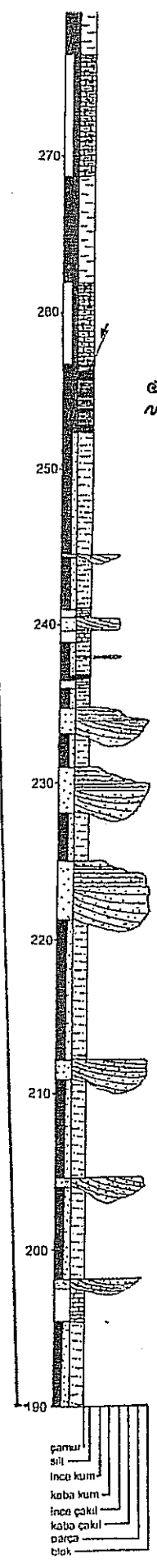
İt 34 adet ölçüülü stratigrafik kesit



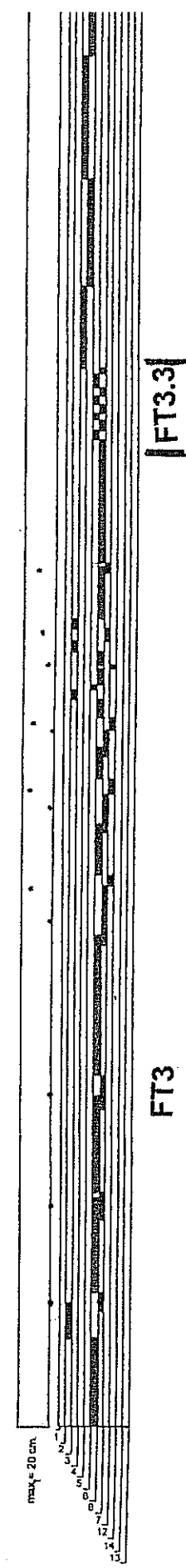
EK 1. Çameli havzasına ait 34 adet ölçülü stratigrafik kesit



FT3



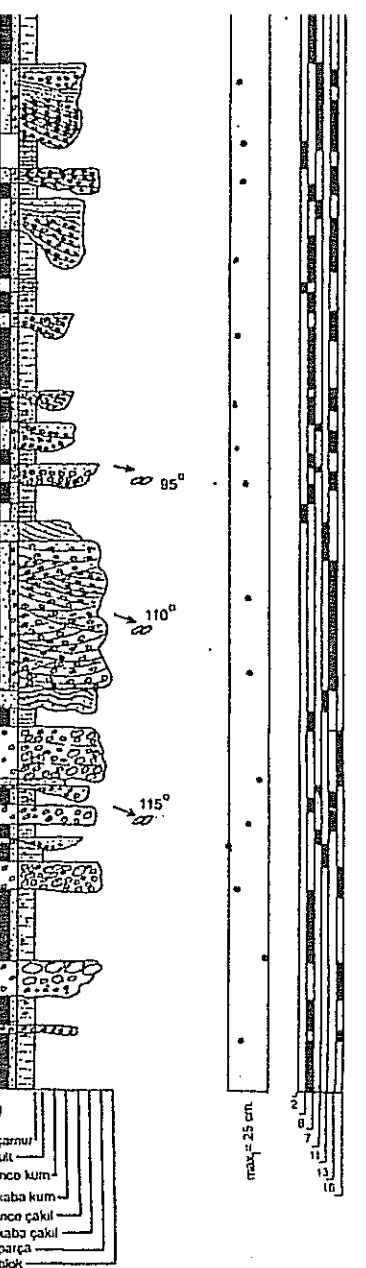
FT3



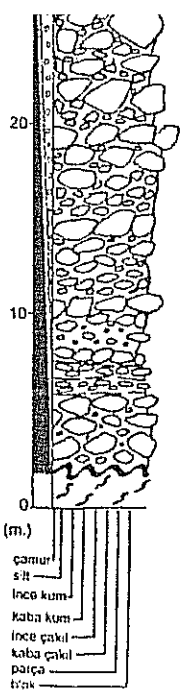
|FT3.3|



FT3

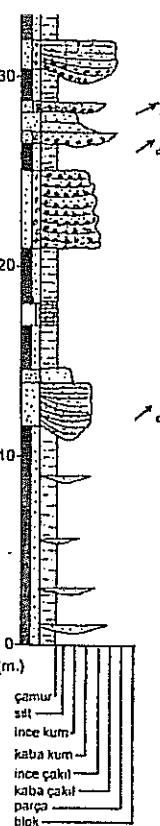


FT4

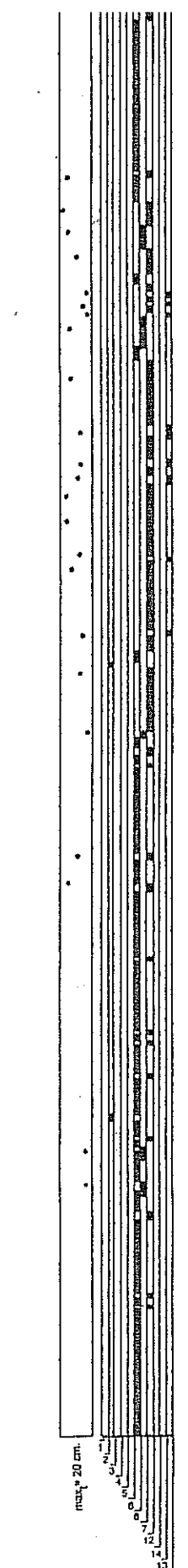
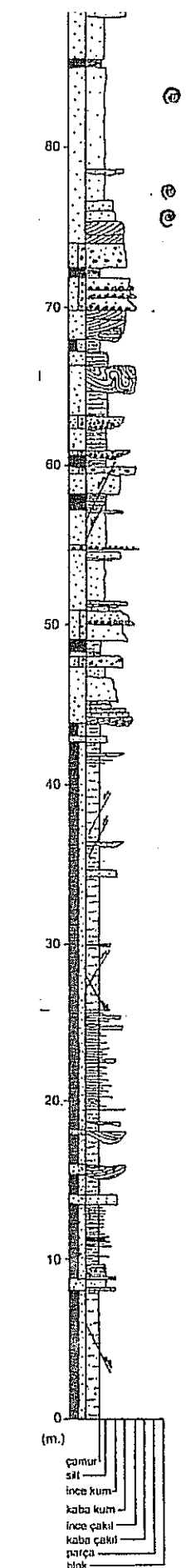
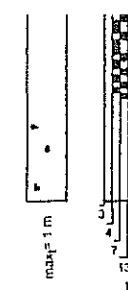
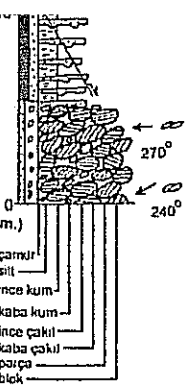


FT1

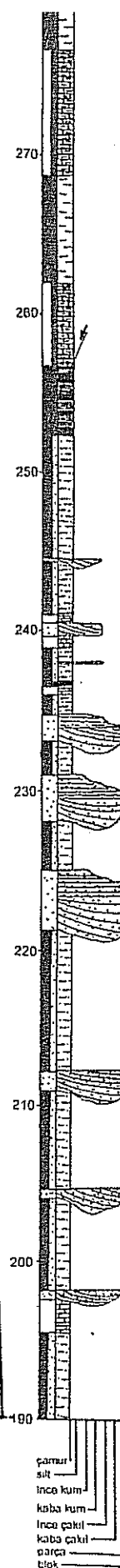
: tanesi
 iorfolik kireçtaşları tanesi
 taşı tanesi
 te
 erçası
 poda fosili
 akıntı yönü
 akıntı doğrultusu
 lenme
 nakro memeli fosili

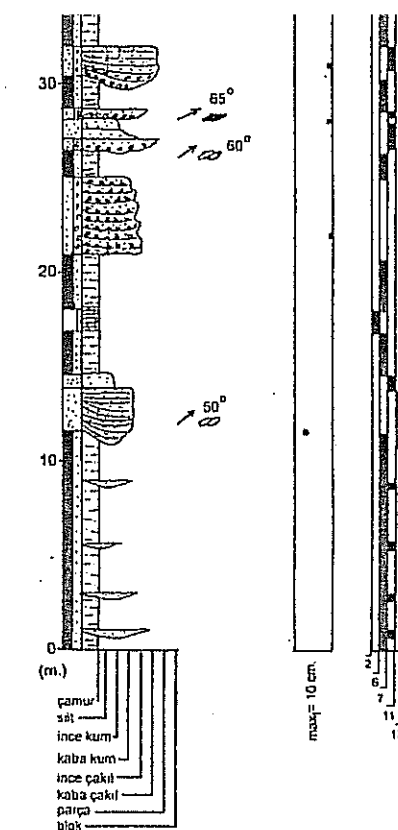
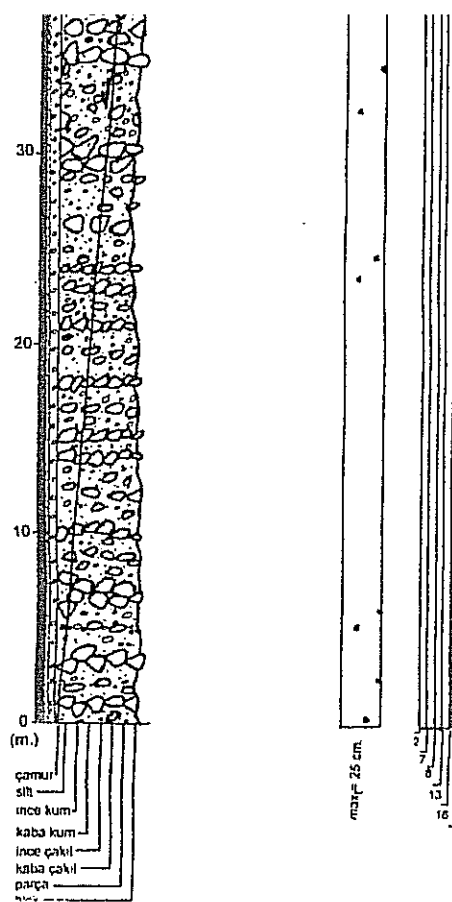
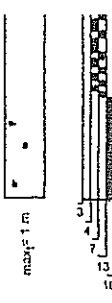
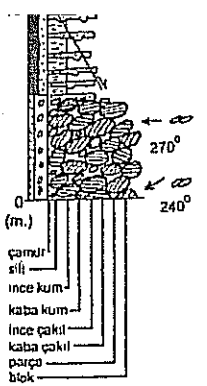


FT



FT3





FT:

AÇIKLAMALAR	
Litoloji kolonu	
Kireçtaşı	Ofiyolit tanesi
Çamurtaşı	Metamorfik kireçtaşı tanesi
Kumtaşı	Çamurtaşı tanesi
Çakıltası	18C Numune
Metamorfik kireçtaşı temel	Bitki parçası
Ofiyolit temel	Gastropoda fosili
Kömür	270° ← Paleo-akıntı yönü
	↗ Paleo-akıntı doğrultusu
	↔ Kiremitlenme
	↔ Mikro-makro memeli fosili